

MANUAL
DEL
INGENIERO Y ARQUITECTO.

RESÚMEN

DE LA MAYOR PARTE DE LOS CONOCIMIENTOS ELEMENTALES
Y DE APLICACION
EN LAS PROFESIONES DEL INGENIERO Y ARQUITECTO,

POR EL CORONEL RETIRADO DE INGENIEROS

D. NICOLÁS VALDÉS,

Miembro corresponsal de la Academia de Ciencias de Madrid.

ATLAS DE 133 LÁMINAS.

SEGUNDA EDICION.

MADRID

ESTABLECIMIENTO TIPOGRÁFICO DE GABRIEL ALHAMBRA,

Calle de San Bernardo, número 73.

1870.

MANUAL
DEL INGENIERO
Y ARQUITECTO.

EXPLICACIONES

que no se contienen en el texto de varias significaciones y detalles en algunas figuras del presente atlas.

Lámina 14.

(Presa del Croton (acueducto de Nueva-York).)

Fig. Ω = C, D, F, G, H. Macizos formados de piedra en seco, entre encajonado de vigas de Abeto unidas por travesaños de roble. Las vigas, de 12 pulgadas de escuadria, estan puestas unas sobre otras, y sujetas entre si por medio de pernos de madera de 2 pulgadas de grueso y 30 de largo. Las manguetas ó travesaños, de 7 pulgadas de escuadria, estan ensambladas á las vigas á cola de milano, y distan 10 pies una de otra.

K, L = Macizos de igual construccion. Sus travesaños distan menos que los anteriores (los de la parte superior 3 pies), y su grueso = 8 pulgadas.

Sobre cada una de las referidas pilas ó macizos se construyó un piso de tabloncillos de olmo y pino de 6 pulgadas de grueso.

E = Rellenos de argamasa ú hormigon hidráulico.

N = Construccion de piedra labrada, asentada con mortero hidráulico y terminada en arco inverso.

O = Plano de esta construccion.

P = Relleno de tierra.

Q = Indicacion del túnel sin revestimiento y por entre roca, de 180 pies de extension. A partir de esté limite se halla la 1.ª arca ó casa de compuertas con espesas rejas de madera para impedir el paso á las malezas y pescados. La bóveda de este canal sigue horizontalmente hasta 2270 pies, y el fondo con la pendiente de 7 pulgadas por milla en la extension de 4,949 millas: mas allá empieza la pendiente general de 13,3 pulgadas por milla.

En la figura ω se ve, 300 pies mas avanzada, la segunda presa del propio modo construida, y cuyo objeto es mantener debajo del agua la madera de las pilas K, L, y amortiguar el choque sobre el fondo de la presa principal.

Fig. ω A = Canal de desagüe, bastante inferior á la superficie del agua, con dos órdenes de compuertas á distinta altura en el pozo con el que se comunica y cubre la casa de piedra B, á que se llega por el puente C.

Lámina 15.

(Depósito de recepcion del Croton.)

Las dos porciones en que se halla dividido el depósito de recepcion son del todo independientes una de otra; recibiendo y transmitiendo el agua directamente á las cañerías. Así, en el supuesto de descomponerse uno de estos tanques el otro basta al abastecimiento. El fondo está mas profundo que el piso de las calles indicadas en la figura.

Los diques son de tierra crasa arcillosa, mezclada con grava, y asentada á tongas de un pié. Al exterior estan revestidos de mamposteria en seco, empañetada en los paramentos. Interiormente hay otro revestimiento de 15 pulgadas de grueso.

Cuando el agua pasa del nivel determinado en el depósito, á 4 pies debajo del anden, entra por si sola en el pozo B C y sale por el conducto D E.

El agua del acueducto llega á F, donde hay 5 compuertas que la contienen y hacen penetrar por otros canales F G G' en ambos depósitos. Para la salida hay otras casas-compuertas Y Y', de las que nacen 6 tubos, 3 por cada una, que á su union se convierten en 4, como demuestra la fig. X. De ellos el uno conduce las aguas al Este de la poblacion alta, y los restantes al depósito de distribucion. En las otras dos casas H H' hay otro tubo de que se hará uso á medida que se pueble la parte Oeste. El diámetro de todos estos conductos es de 3 pies, á excepcion del que hace el número 4 que tiene 2½. Estan sentados y dispuestos sobre maderos y hormigon.

Lámina 16.

(Depósito de distribucion.)

La parte superior del anden está 49 pies sobre la calle, y 39 la superficie del agua.

d. d. = Bóvedas de ladrillo, con entradas ó comunicaciones en los pilares para el escape del agua que filtre por la rampa R.

f, g, h... = Canales circulares de piedra y ladrillo que conducen fuera estas aguas.

S, S, = Pozos á los que pasan las aguas sobrantes de los depósitos cuando sube en estos el nivel. En ellos toma origen el canal h de desagüe.

t, t, = Cubetas en que vierten sus aguas los tubos 1, 2, 3.

i, i, = Pozo que conduce al tubo de comunicacion entre ambos depósitos para que permanezca el agua en ellos á un mismo nivel.

Con objeto de que puedan quedar independientes uno de otro los dos depósitos, tiene este tubo una llave que cierra y abre la comunicacion.

m, m, o, o, = Cubetas y conductos por los que pasan las aguas del fondo de ambos depósitos (cuando se vacian estos) al canal de desagüe g h.

T = Muro que divide ambos depósitos.

u, u, = Tanques y compuertas para la distribucion de las aguas,

x, y, z = Tubos de distribucion á diferentes barrios.

Entre los dos primeros x, z, existe otro de comunicacion con su llave para pasar el agua cuando se halle vacío uno de los tanques principales.

El fondo del depósito se compone de una capa de 2 pies de Puddle (grava y tierra crasa), y sobre ella otra de hormigon de 12 pulgadas. Los taludes estan revestidos de piedra puesta con mortero hidráulico.

Lámina 18.

FIGURA 232. (Turbina de Fourneyron).

A = Rueda movable ó verdadera turbina. Se compone de las piezas siguientes.

a, a', a'' = Paletas curvas ó directrices en las que entra el agua sin violencia moviendo la rueda por su presion antes de salir al depósito. Los cajones curvos que componen estas paletas estan divididos en 3 departamentos d, d' d'', á donde llega el agua motriz segun baje ó suba la compuerta circular C.

- o, o'*...= Aberturas que tiene el disco ligeramente esférico de la rueda para limpiar la broza que entra del depósito.
- c, c'*...= Cuñas que sujetan este disco en union de los nervios que lleva el eje.
- p, p'*...= Partes redondeadas en que terminan las paletas en la planta horizontal; representando la terminación de la tapa que tienen los cajones formados por las directrices.
- B*=Rueda fija, en que entra primero el agua por la abertura practicada sobre uno de sus compartimientos. La composición de este cuerpo es análoga á la de la corona exterior. Su ajuste se hace de igual manera sobre el tubo *G* por medio de nervios y las cuñas *z, z'*.
- e, e', e''*...= Piezas de madera sujetas interiormente al cuerpo de la compuerta cilíndrica por medio de pernos ó clavijas. Sirven con sus extremos redondeados para impedir la contracción del agua estableciendo regularidad en el curso al entrar en las paletas.
- C*=Compuerta cilíndrica que, por medio de los vástagos *D D* sube y baja ludiendo el cuerpo *E E* sujeto á las piezas de madera *F F*.
- G*=Cilindro que rodea el eje de la turbina y sostiene el cuerpo fijo ó 2.^a rueda *B*. Se apoya por presión, como se vé en la figura, por medio de las planchas y barras *h, j*, que descansan en los coginetes *l, l'*, sentados sobre la fábrica del depósito.
- H*=Palanca para hacer subir toda la máquina cuanto es necesario.
- J*...=Tubo que por debajo del fondo comunica aceite al pivote, puesto sobre el círculo *m* y crapodina *n*.
- M M*=Piso de la fábrica.

Lámina 21.

FIGURAS 269 á 273. (Manómetros ordinarios.)

- c*=Flotador. *c'*=Péndulo ó contrapeso indicador de la presión; el cual sustituye á la varilla vertical de las figuras 270, 271 y 272.
- A*=Cubeta en que se echa el mercurio.
- B*=Tubo de hierro, continuación de la cubeta, en que queda sumergido el tubo de cristal.
- C*=Cerrado y lleno de aire ó de gas (equivalente este á una atmósfera).
- D*=Tablilla en que se marcan las divisiones en centímetros, y también en décimos de atmósfera, para expresar por ellas, según lo que suba el mercurio, las diferencias de tensión entre el vapor y aire, y por consiguiente la presión efectiva de aquel.

Lámina 22.

FIGURAS 282 y 283. (Máquina de vapor de Maudslayi.)

- A B*=Bastidor para el movimiento vertical del émbolo.
- C*=Cilindro, sujeto á una armanzon de hierro colado *D D*.
- F*=Vástago del émbolo, enlazado á la barra ó travesa *b* y guiado

- por las ruedas *r, r*, cuyos cantos entran en rebajos del bastidor *A B*.
- Sx*=Palancas móviles que toman el doble manubrio *N x*.
- N, N*=Dos excéntricos para el movimiento de las travesas *O, T*, por medio de las palancas *P*, cuyos extremos *Q, Q'* están fijos, enlazándose los opuestos á los vástagos *R V* de los émbolos de las bombas *S' X* de agua fría y neumática.
- Y*=Bomba alimenticia que trasmite el agua á la caldera por el tubo *Z Z*.
- d*=Condensador.
- f*=Depósito de agua fría.
- g*=Válvula por donde pasa el aire y vapor condensado á la bomba neumática *X*.
- f'*=Llave para verter el agua fría en el condensador.
- e*=Tubo de escape del vapor del cilindro al condensador.
- K*=Excéntrico unido á la palanca *lm*. El eje superior de esta lo es también de una rueda cónica que engrana con otra igual horizontal, por medio de la que la llave *n* se mueve en rotación á derecha ó izquierda, abriendo y cerrando así el paso al vapor. El mango *h* sirve para poner en juego á mano ó parar la máquina.
- v*=Válvula de cuello, puesta en movimiento por el regulador *W*.

Lámina 23.

FIGURAS. 284, 285 y 286. (Caldera de vapor.)

- A*=Caldera.
- B*=Cenicero.
- C*=Parrilla.
- D, D', D''*=Circuito. Pasando el fuego de las parrillas al circuito *D* llega luego á *D'* para seguir después costearo la caldera y salir por *D''* con el humo por la chimenea.
- E*=Tubo de admisión del vapor.
- F*=Tubo de alimentación de la caldera.
- G*=Llave para evacuar la caldera.
- H*=Registro.
- Y*=Silbato de aviso.
- l, l'*=Flotadores.
- l'*=Contrapeso del flotador del silbato de aviso.
- K*=Válvula de seguridad de palanca.
- L*=Indicador del flotador *l'* y su contrapeso *l''*.
- M*=Tubo de vidrio que indica la altura del agua en la caldera.
- N'*=Llaves indicadoras de esta altura ó nivel: una debe producir siempre agua, y la otra vapor.
- N, N*=Hervidores.
- P, P*=Tubos de comunicación entre los hervidores y caldera.
- O*=Tronera de fundición que forma la boca del horno, sobre la que se aplica y fija la puerta.
- Q*=Vástago que sirve para regular el tiro de la chimenea por medio de la correspondiente válvula de registro.
- e, e', e''*...=Apoyos de ladrillo refractario.

Lámina 24.

FIGURAS 288 y 289. (Máquinas de vapor de los barcos.)

- a*=Arbol ó eje de las ruedas de paletas.
- b*=Manubrio ó manivela.
- c*=Traversa del vástago del émbolo.
- d*=Cabeza del mismo vástago.
- e*=Biela ó barra de conexión.
- f*=Bielas laterales que mueven el émbolo.
- g*=Eje de las balanzas.
- h*=Tubo de vapor.
- i*=Bomba alimenticia.
- j*=Bomba de aire ó neumática.
- k*=Una de las dos balanzas.
- l*=Traversas de las bombas de aire y alimenticia.
- m*=Traversa que une el extremo inferior de la biela principal á las palancas *m'* unidas al extremo de las balanzas.
- n*=Válvula destinada á introducir el vapor en el condensador cuando la máquina empieza á funcionar.
- o*=Válvula de tirador.
- r, r'*=Excéntrico.
- r'*=Manivela del excéntrico para sacarle ó ponerle en su lugar cuando convenga parar ó hacer andar la máquina.
- ss*=Palanca de codo del excéntrico, que toma el vástago del tirador.
- tt, uu*=Barras que forman el paralelogramo.
- C*=Cilindro. El de la figura 289 tiene una camisa ó capa exterior al rededor de la cual pasa el vapor antes de llegar al tirador.
- x*=Esfera de hierro que sirve para contrapesar el excéntrico por medio de una palanca.
- z*=Caja de descarga del agua producida por la condensación; la cual sale por un conducto particular después de introducida por la bomba de aire.
- H, H*=Chimeneas. *H' H'*=Tubos de descarga del vapor.
- v, v'*=Válvulas de seguridad.
- c, c,*=Calderas tubulares.
- o, o,*=Hogares.

Lámina 26. (LOCOMOTORAS).

FIGURAS 310, 311 y 312.=Elevación y cortes por medio de la caldera y caja de humo de la locomotora de Stephenson (1845) para viajeros, de cilindros exteriores. Supeso=21 toneladas.

FIGURA 313.=Corte longitudinal de una locomotora, muy semejante á la de Stephenson, empleada en el ferro-carril del norte de Francia.

FIGURA 314.=Plano de la locomotora.

En estos sistemas la distribución del vapor se hace por medio de válvulas de tirador de corredera. La biela del vástago del émbolo es ahorquillada, y la caja de vapor se halla sobre la de fuego.

- A*=Caldera tubular cilíndrica, de 140 tubos.
- B*=Caja de fuego.
- C*=Caja de humo.

D=Cilindros exteriores. Diámetro interior=0^m,30. Curso del émbolo=0^m,618.
 E=Tubo de conduccion del vapor desde la cúpula X al cilindro, graduando su cantidad por el regulador R (lámina 29) que abre ó cierra el maquinista por medio del manubrio M' m.
 F=Tubo que conduce el humo del hogar á la chimenea.
 H=Bomba alimenticia.
 I=Tubo que toma del tender el agua que alimenta la caldera.
 G=Tubo de alimentacion.
 K=Excéntricos, cuyas barras producen por la corredera C' el movimiento de la máquina hácia adelante ó hácia atrás (lámina 29): para lo cual el maquinista dispone de la palanca T que mueve de manera que cuando está en la direccion *ab* (fig. 313) la marcha es de frente, y al contrario cuando se halla en la B C.
 L=Tirador de la válvula de distribucion M.
 N=Biela ahorquillada del vástago del émbolo.
 O=Rueda motriz.
 S=Silbato de vapor.
 V=Válvula de seguridad (lámina 29).

Lámina 27 (LOCOMOTORAS).

FIGURA 315. = *Locomotora para viajeros y mercancías por el sistema Polonceau.*

A=Caldera. B=caja de vapor. C=caja de fuego. V, S= válvula de seguridad y silbato. M=manivela del regulador que se halla en B. T=palanca para cambiar el sentido de la marcha. D=bomba alimenticia. *e, f*=tubos de recepcion del agua y conduccion á la caldera por D. K=excéntricos de corredera.
 Los cilindros son interiores; su diámetro=0^m,38, y el curso del émbolo=0^m,6.
 No hay acopladas mas que 4 ruedas, que producen suficiente adherencia para remolcar los mas pesados trenes por una pendiente de 0,008. Los ejes son acodados.

FIGURA 316. = *Máquina y tender unidos de Hawthorn.*
 Su peso total = 27 toneladas.

Superficie de caldeo { caja de fuego = 5^{m²},75 } = 55^{m²},75.
 tubos = 50 }
 Número de tubos = 105.
 Diámetro del cilindro = 0^m,25. Curso del émbolo = 0^m,49.
 A=Depósito de agua que toma directamente la bomba alimenticia B.
 T=Depósito de carbon.
 F=Freno, semejante al de las máquinas de Sharp y Roberts.
 Con el agua y coke que lleva el tender puede recorrer la máquina cerca de 80 kilómetros.

FIGURAS 317 y 318. = *Elevacion y plano de un tender.*

a=Depósito de agua. *c*=depósito de coke.
b=Cofres de socorro.

e=Roperia, herramientas y otros varios objetos.
f=Manivela para cerrar el freno.
g=Freno (fig. 319).
i=Tubos de conduccion de agua.
j=Eje de union á la máquina.
k=Topes.

FIGURA 319. = *Freno.*

A=Zapata. B=barras de presion. C=palanca. D=barra de maniobra. G=collares de suspension.
 Hay varias clases de frenos, cuyo objeto principal es impedir la rotacion á las ruedas del tender y algunos wagones, obligándolas á resbalar sobre el carril; con lo que, aumentándose considerablemente y por grados el rozamiento, disminuye el tren sucesivamente de velocidad hasta quedar parado.

Lámina 28 (LOCOMOTORAS).

FIGURA 320. = *Locomotora del sistema Crampton.*

Cilindros = 0^m,45 x 0^m,5. Rueda motriz = 2^m,4 de diámetro.
 Rueda del medio = 1^m,22 *id.* Rueda delantera = 1^m,35 *id.*

Superficie de caldeo { de la caja de fuego 7,377 } = 137^{m²}
 de los tubos . . . 129,623 }
 Número de tubos = 229 de 0^m,05 de diámetro y 3^m,6 de largo.
 Su espesor = 0^m,002.
 Peso de la máquina = 24 toneladas.
 Peso de su tender = 20 *id.*
 Con un tren de 15 coches de 75 ton^s la marcha llega á 55,4 millas en el intervalo de 90 (97 kilómetros en la distancia de 48). En el ferro-carril del norte de Francia llega la velocidad en cortos intervalos á mas de 100 kilómetros. Su marcha ordinaria es, con tren regular, de 60 á 80 kilómetros.

El Autor presentó en la exposicion general de Londres (1851) otra idéntica máquina de 8 ruedas mucho mas potente; cuyo sistema fué empleado en el ferro-carril de Londres al Noroeste, llevando 40 carruajes con igual velocidad que tendrían 3 máquinas ordinarias. Su peso es de 35 toneladas, y 21 el tender. Tiene 300 tubos de 0^m,055 de diámetro y 3^m,75 de largo; presentando una superficie total de caldeo de 214^{m²}, y la parilla 2^{m²}. La longitud total es de 8^m,3.
 En estas máquinas el vástago de la bomba alimenticia está en la prolongacion de el del émbolo.

FIGURA 321. = *Distribucion del vapor segun el sistema Mayer.*

Se compone de dos tiradores, de los que el inmediato al cilindro está regulado á un avance constante para producir igual cantidad de vapor. El otro, compuesto de dos prismas móviles sobre un vástago de hilo de alambre, varia la admision de vapor y por consiguiente la expansion relativa de ambos prismas á voluntad del maquinista por medio de engranes y cadenas á lo Vaucanson. Tiene este sistema el inconveniente del considerable rozamiento de los tiradores al resbalar el uno sobre el otro.

FIGURA 322. = *Distribucion del vapor segun el sistema de Gozembach.*

Se compone de un 1^{er} tirador como el anterior para la presion llena, y de otro de un curso variable segun el grado de expansion que se desee, verificando su movimiento en una cámara separada. Aunque se evita el rozamiento del sistema de Mayer se cae en el inconveniente de esparcir el vapor en la 1.^a cámara en contacto con el cilindro.

FIGURA 323. Bomba alimenticia (Crampton). El vástago (buzo) E se halla en la prolongacion de el del émbolo, cuyo movimiento sigue.
 V, V' = Válvulas esféricas de bronce. C, C' = guías de las mismas.
 D, D' = Asientos de *id.*

FIGURA 324. = *Tubo de conduccion de agua.*

T=Tubo que viene del tender. R=tubo que vá á la bomba alimenticia.
 Se unen ambos á rosca en m.
 Fig. 325 = Nivel de agua en la caldera. Se vé al través de un tubo de cristal unido por sus extremos á dos cubos de bronce con llaves. En caso de romperse el cristal se cierra inmediatamente la llave del tubo que proviene de la caldera.

Lámina 29. (LOCOMOTORAS).

FIGURAS 326 y 327. = *Distribucion del vapor.*

Figura 326. = Tirador movido por medio de dos excéntricos de horquilla. La expansion del vapor no es variable, pues depende de lo que cubra la válvula las entradas del vapor en proporcion al avance lineal que resulte del tirador por el angular del excéntrico.

Fig. 327. = Tirador movido por dos excéntricos unidos á la corredera XY (fig. 333) (sistema de Stephenson). La expansion puede ser variable cambiando el curso del tirador por el empleo de la corredera. La barra del excéntrico de marcha al frente se halla unida á la parte superior de la corredera; á la inferior de la cual se fija la barra del excéntrico de marcha atrás. Al collar de este último se une el vástago de la bomba alimenticia.

A=Tubo que conduce el agua del tender.
 B=Tubo que trasmite el agua á la caldera.

FIGURA 328. = *Silbato de vapor.*

E=Tubo que comunica con la caldera.
o=Orificio por donde pasa el vapor á voluntad moviendo el manubrio *m*, para chocar y producir su especial sonido bajo la superficie de la pieza F.

Fig. 329. = *Regulador.* Se compone de dos diafragmas D, de iguales secciones que se cubren exactamente, el uno fijo y el otro móvil por medio de la palanca de mano M que maneja el maquinista para aumentar ó disminuir el paso del vapor á los cilindros.

Fig. 330. = *Guías del vástago del émbolo* Z=Union de la biela.

Fig. 331. = *Cabezas de la biela* V=Union del manubrio

Fig. 332. = *Collar del excéntrico* (fig. 327.)

c d=Extremo y union de su barra á la corredera Y.

Fig. 333. = *Corredera.*

X=Union del excéntrico para la marcha de frente.
 Y=Union del excéntrico para la marcha atrás.

c d ==Suspension de la corredera.
 a d ==Union y corte del vástago del tirador.

Fig. 334. = *Válvula de seguridad*. Se obtiene su tension por medio de un vástago fijo á la extremidad de un resorte en espiral. Una aguja que sale fuera de la cubierta cilindrica, graduada en atmósferas, indica la presion del vapor, mas allá de la cual se escapa este de la caldera levantando la válvula. La tuerca puesta al extremo del vástago permite cambiar la carga de la válvula variando la tension del resorte.

Lámina 73.

TEATRO REAL DE MADRID.

PLANTA BAJA.

1. Pórtico. Entrada de coches.
2. Vestíbulo.
3. Escalera de SS. MM.
4. Galería de ingreso á los palcos.
5. Palcos.
6. Palcos de proscenio.
7. Platea.
8. Sitio de la orquesta.
9. Palco escénico.
10. Escaleras del público.
11. Salon de ensayo de baile.
12. Salon de descanso.

PLANTA DEL PISO PRINCIPAL.

1. Azotea sobre el pórtico.
2. Desembarco de las escaleras de SS. MM. á ingreso á la galería de palcos.
3. Salones de descanso de SS. MM. con salida á la azotea.
4. Retretes.
5. Palco real.
6. Escaleras del público.
7. Galería de ingreso á los palcos.
8. Palcos.
9. Palcos de proscenio.
10. Salones de descanso.

PLANTA BAJA.

13. Escaleras de servicio interior.
14. Escaleras para la maquinaria.
15. Portería.
16. Taller y depósito de herramientas.
17. Café y sus dependencias.
18. Departamento de coristas.
19. Ingreso y escaleras al gran salon del piso principal.
20. Vestíbulo que dá á la Plaza de Isabel II.
21. Patios.
22. Retretes.

PLANTA DEL PISO PRINCIPAL.

11. Oficinas de direccion y administracion del teatro.
12. Escaleras generales para las dependencias.
13. Escaleras para el servicio de la maquinaria.
14. Escaleros y galería de ingreso al
15. Salon de baile.
16. Piezas adyacentes al mismo.
17. Depósito de agua para incendi
18. Retretes.

Lámina 104.

FIGURA 694. = *Puente giratorio doble*.

a = Cimbra. b = Viguetas. c = Cabezal. d = Talon.
 c, f = Travesaños que unen las cimbras y viguetas.
 m, n = Contrapeso para el equilibrio del puente; compuesto de piezas de madera ensambladas á las viguetas.
 o = Eje de giro. Se verifica este por medio de 6 roldanas esféricas q , de que hay dos en los extremos del travesaño f dos en los de la pieza n , y dos en los del talon d ; marchando sobre círculos de hierro concéntricos dispuestos horizontalmente.
 t = Uno de los dos tornillos que existen en la cola del tablero, y cuyo objeto es hacer coincidir el talon d con la pieza de madera x (fija esta en la mampostería) para evitar que por exceso de carga en el cabezal pueda bascular el puente y originar desgracias.

u = Rodillos de madera sujetos con una cuña bajo cada vigueta, para ayudar á los tornillos t á soportar el peso de la cola.

FIGURA 696. = *Tablero de los puentes levadizos*.

$L(1,2,3)$ = 5 viguetas.
 $B(1,3)$ = Barra de hierro que reemplaza el antiguo cabezal, terminada por los husos cónicos u , y sujeta por las orejeras b (4) á las viguetas.
 $D, D, (2,5)$ = Teleras ó travesaños que forman el talon del puente.
 d (5) = Eje del puente; compuesto de una barra de hierro embutida en la pieza superior D , y asegurada por las bridas e que á la vez obligan á mantener comprimidas las viguetas contra las teleras, haciéndose uso para ello de los tornillos que unen los brazos á la plancha inferior (1).
 E = Durmientes, bajo el umbral de la puerta y en el extremo del puente estable.
 f (1,2) = Llantas de hierro para preservar la madera del tablero por el paso de los carruajes.
 g = Cerrojos.
 h = Tablones del pavimento sujetos á las viguetas con pernos.
 R = Repisas de piedra en que descansa la telera inferior D para evitar sufran los muñones el peso de las cargas adicionales.
 p = Cadenas de leva.
 x = Barra-guardalados, que corren horizontalmente sobre roldanas z al través de taladros practicados en el muro.
 i (5) = Repisas de hierro. r, o, s = Muñonera, sobremuñonera y muñon ó gorron del eje de giro.

NOTA. Por error de numeracion en las láminas, se ha pasado de la 34 á la 36, subsanándose este vacío con la 62*.

Fig. 1ª

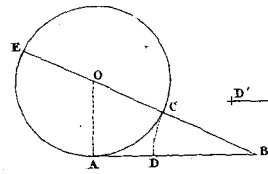


Fig. 2ª

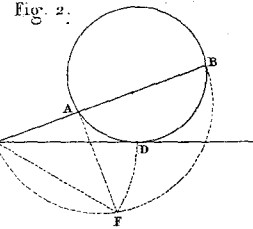


Fig. 3ª

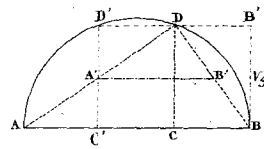


Fig. 4ª

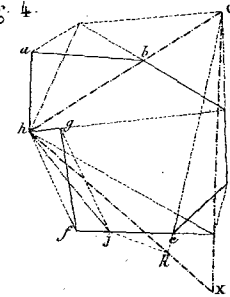


Fig. 5ª

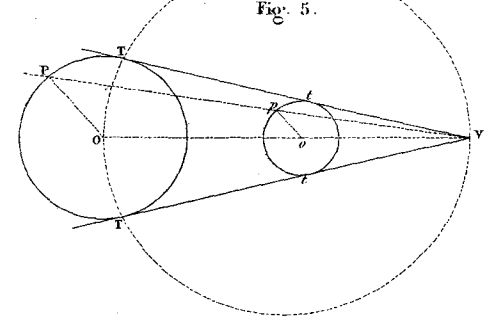


Fig. 6ª

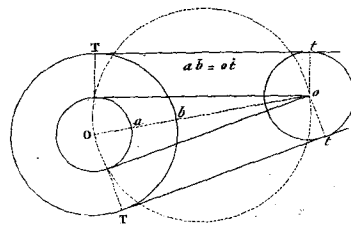


Fig. 7ª

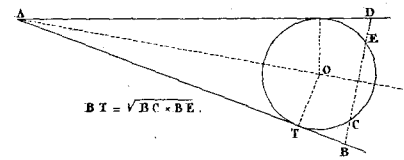
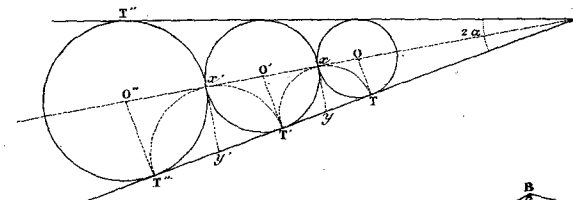
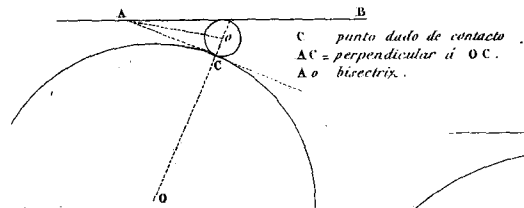


Fig. 8ª



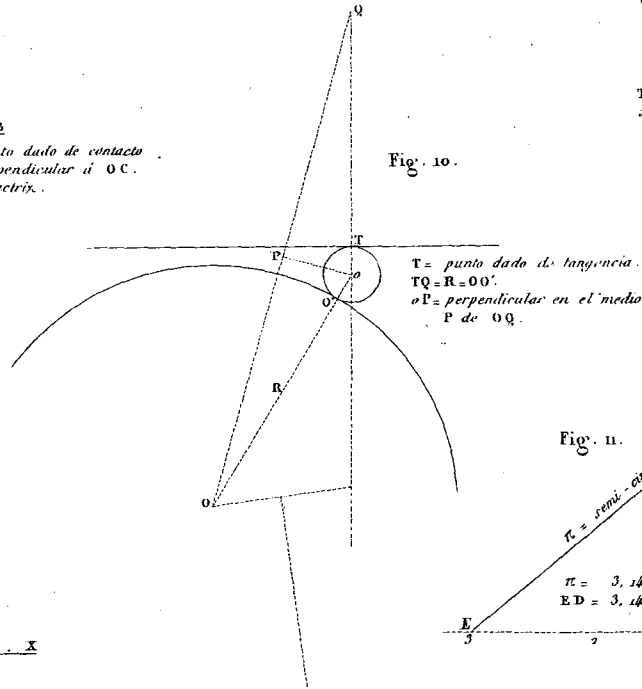
TO...perpend. a VT.
xy...perpend. a la
bisectriz VO'.

Fig. 9ª



C punto dado de contacto.
AC = perpendicular a OC.
AO = bisectriz.

Fig. 10ª



T = punto dado de tangencia.
TQ = R = OO'.
OP = perpendicular en el medio
P de OQ.

Fig. 15ª

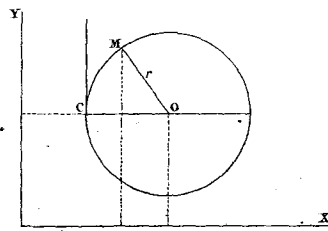
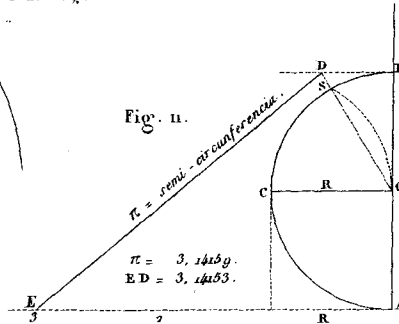


Fig. 11ª



π = semi-circunferencia.
 $\pi = 3,14159$.
 $ED = 3,14153$.

Fig. 12ª

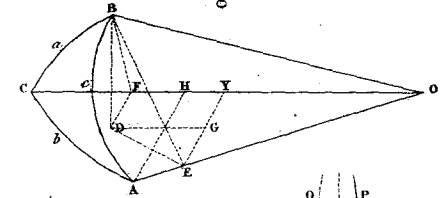


Fig. 14ª

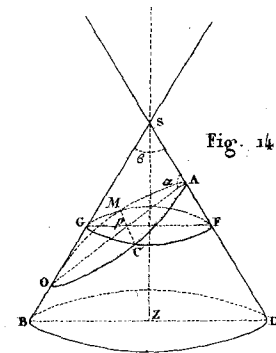
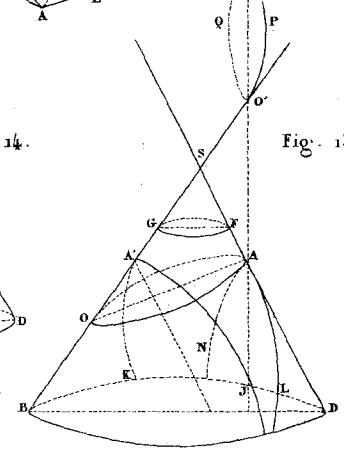


Fig. 15ª



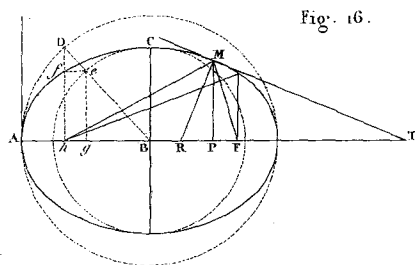


Fig. 16.

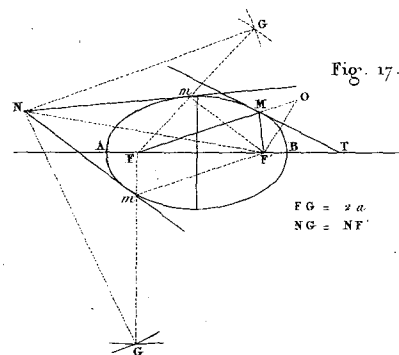


Fig. 17.

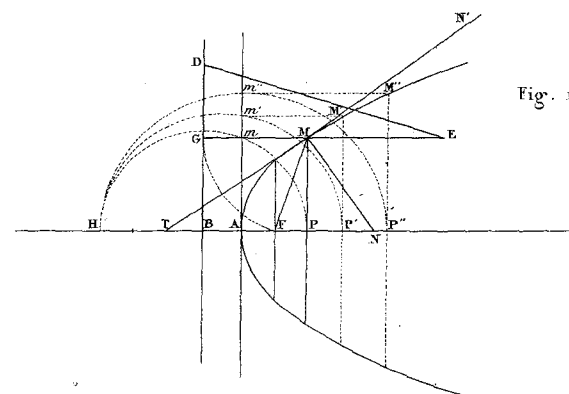


Fig. 18.

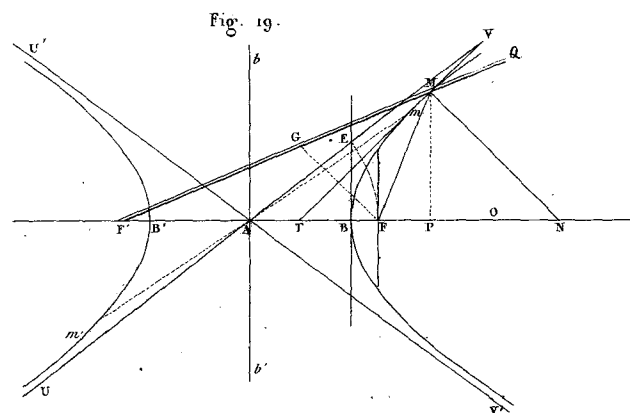


Fig. 19.

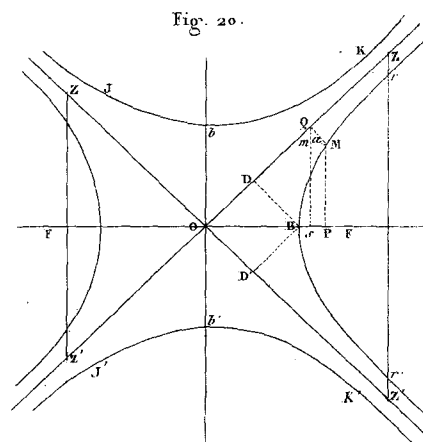


Fig. 20.

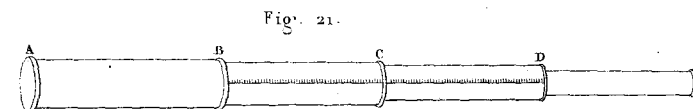


Fig. 21.

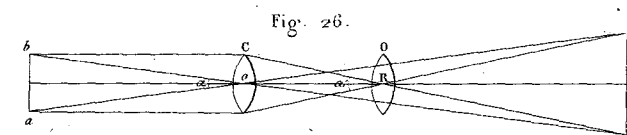
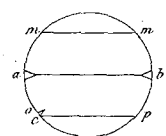


Fig. 26.



Fig' 22.

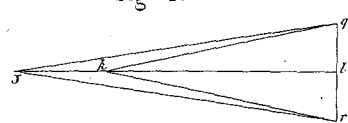


Fig. 23

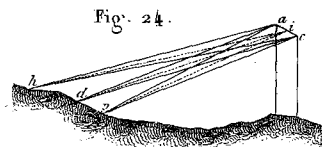


Fig. 24.

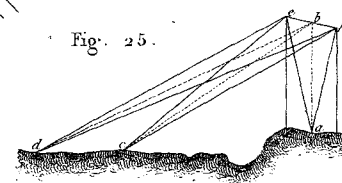


Fig. 25.

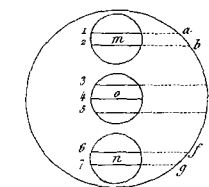


Fig. 27.

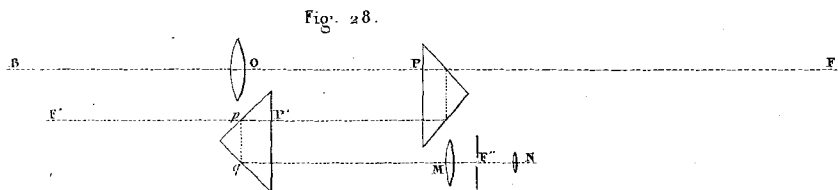


Fig. 28.

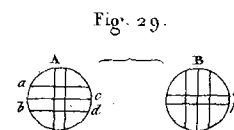


Fig. 29.

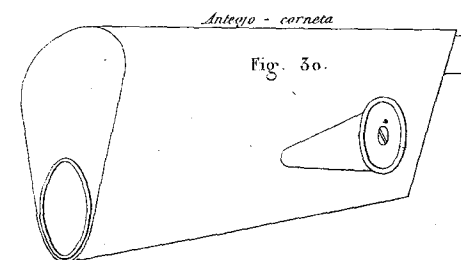
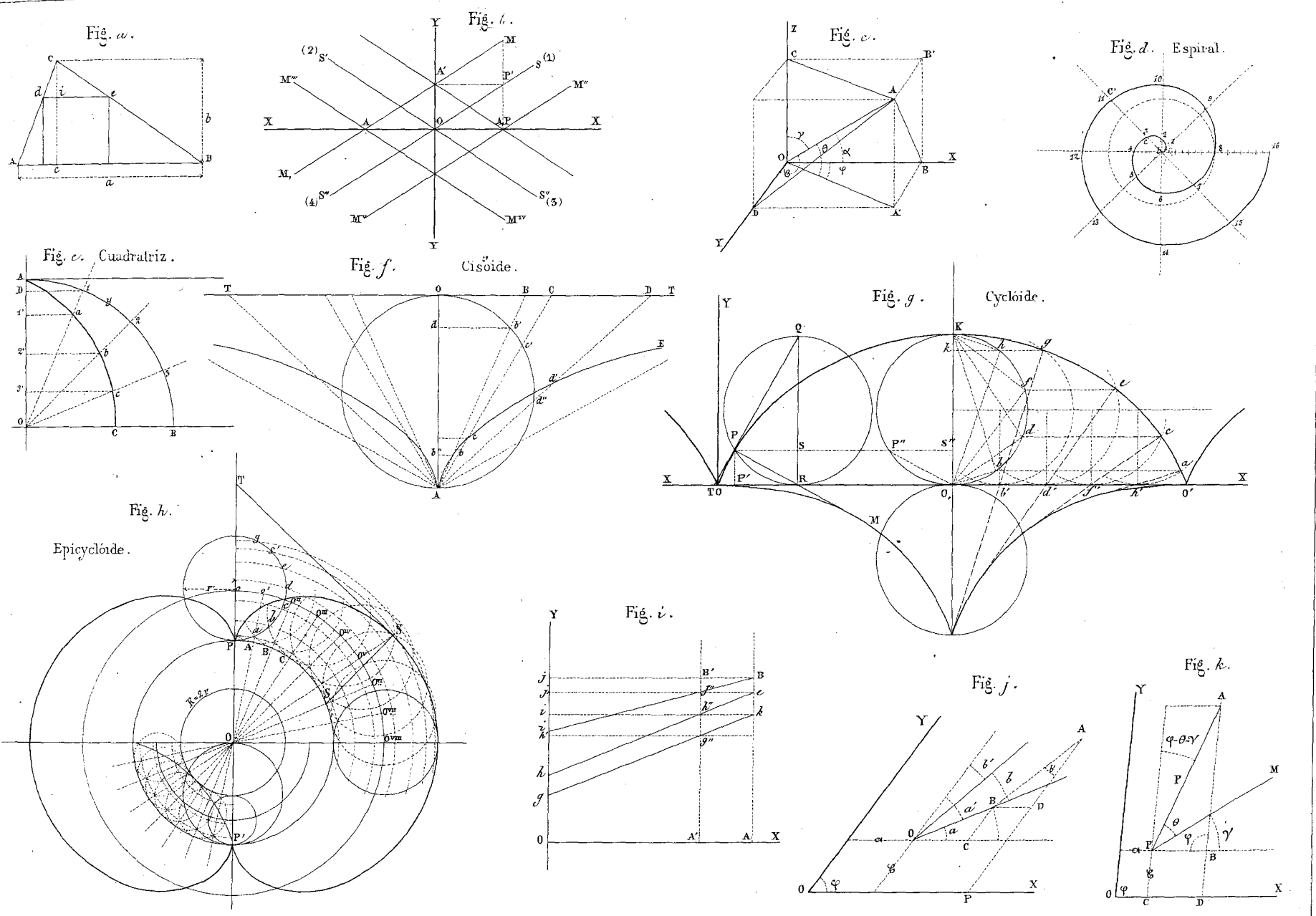
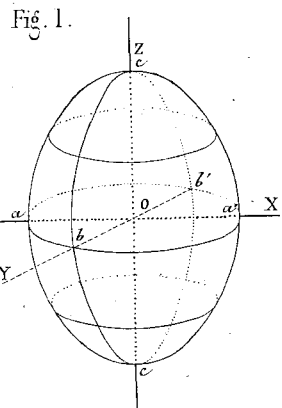


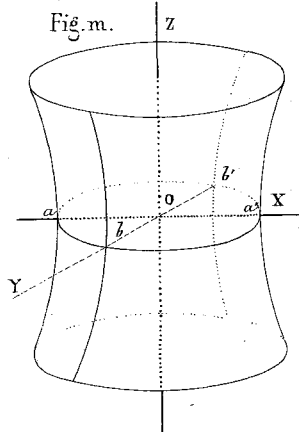
Fig. 30.



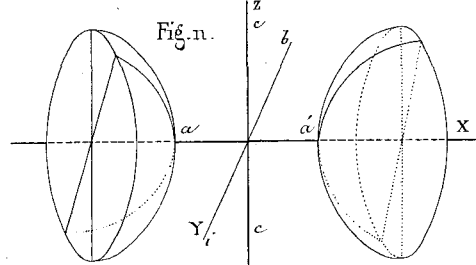
Elipsoide.



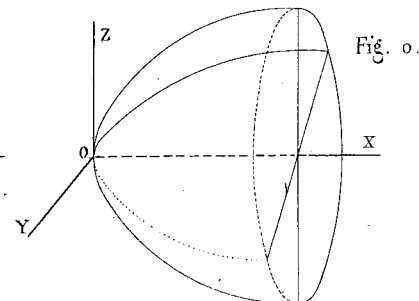
Hiperboloide de una hoja.



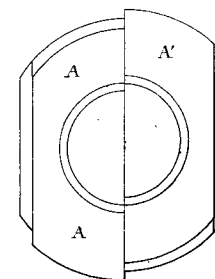
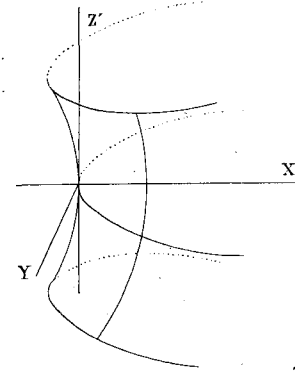
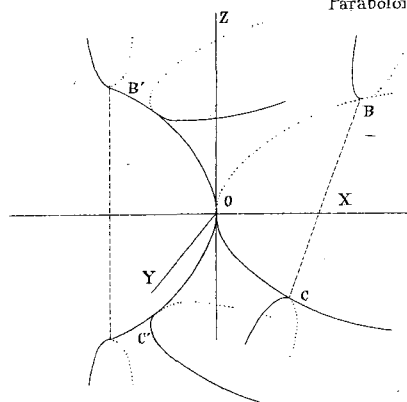
Hiperboloide de dos hojas.



Parabolóide elíptico.



Parabolóide hiperbólico.



Micrómetro de Lugeol.

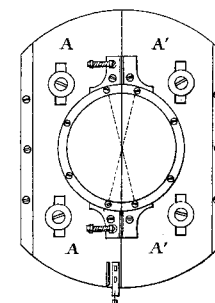
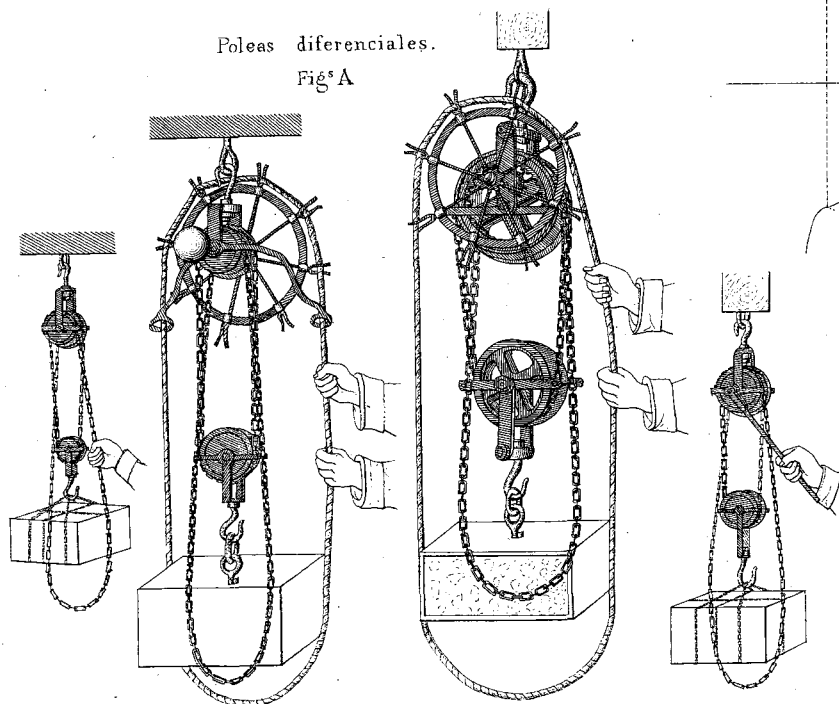


Fig. 1.

Poleas diferenciales.

Fig. A



- L L Anteojo de direccion sirviendo de diámetro á un semicírculo graduado con su nonio para apreciar los ángulos de 1 en 1°.
- N Nivel. N. al. esférico.
- O O Objeto.
- L Microscopio para observar las imágenes.
- C C Cámara oscura.
- B Brújula.
- P Bastidor y Cristal sensibilizado.
- V Tornillo de longitud para el movimiento de rotacion.
- C Círculo graduado horizontal.
- M Moderador del movimiento del volante.
- P Pínon que engrana á voluntad con el tornillo V.
- N N Aparato de relojería para el movimiento.
- D Llave para desmontar el instrumento.
- V V Tornillos. Pies.

PLANCHETA FOTOGRÁFICA DE CHEVALIER.

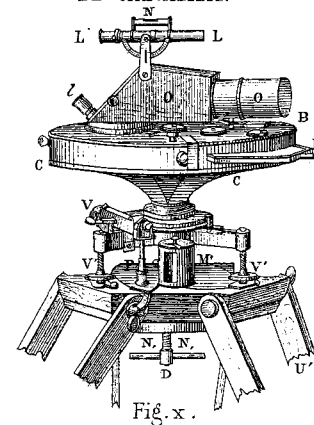


Fig. x.

Fig. 2ª

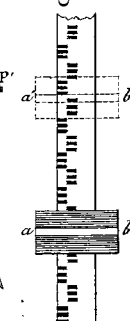
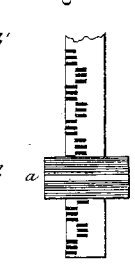
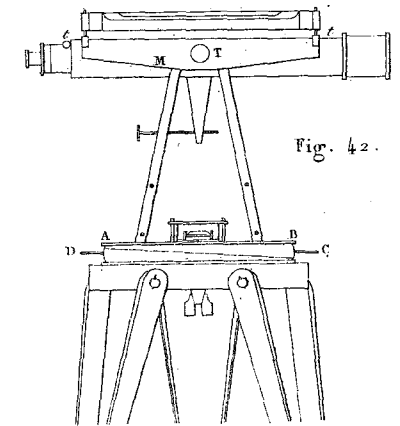
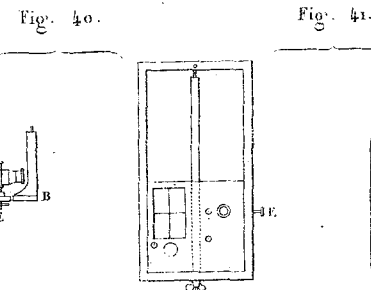
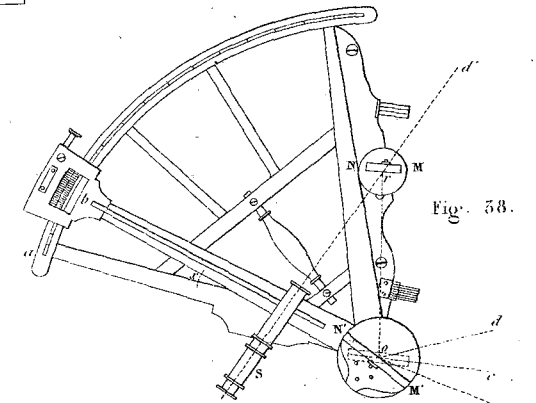
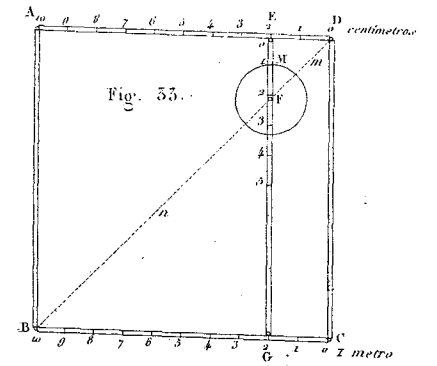
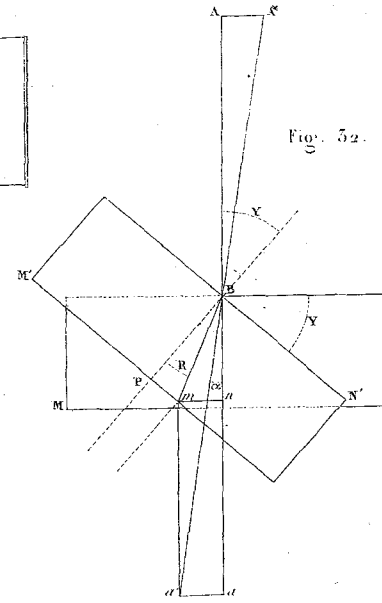
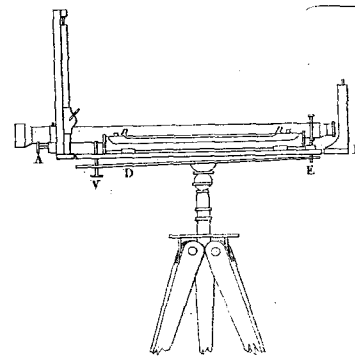
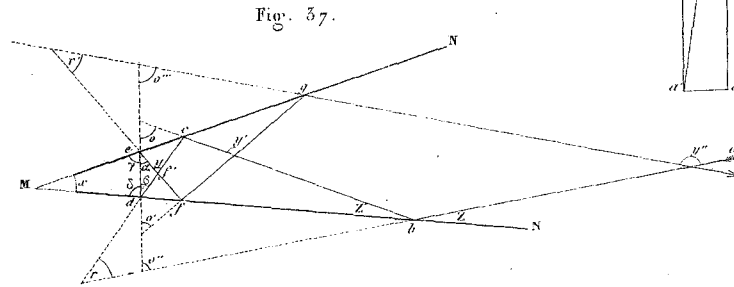
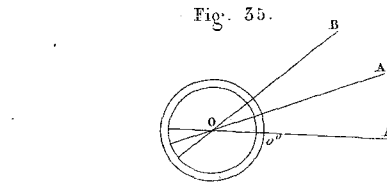
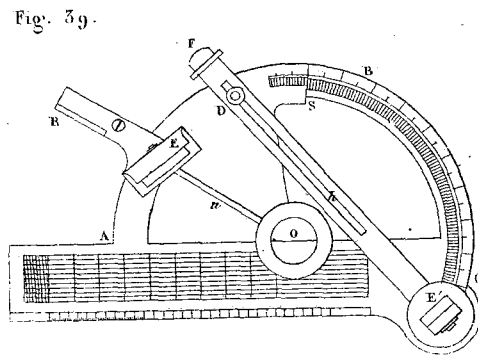
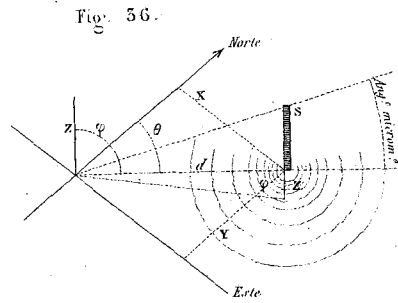
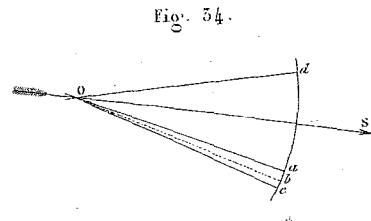
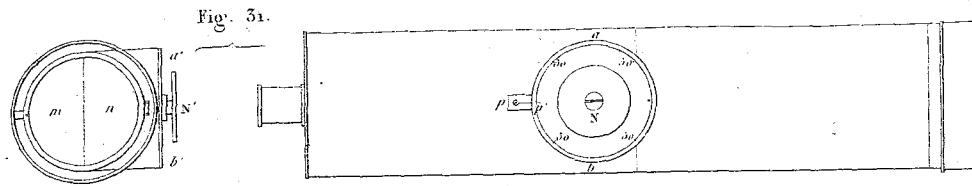


Fig. 3ª





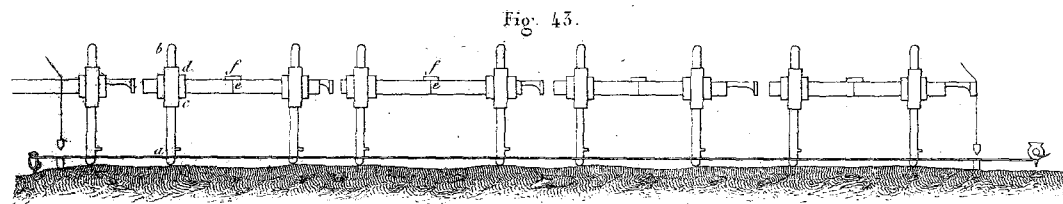


Fig. 43.

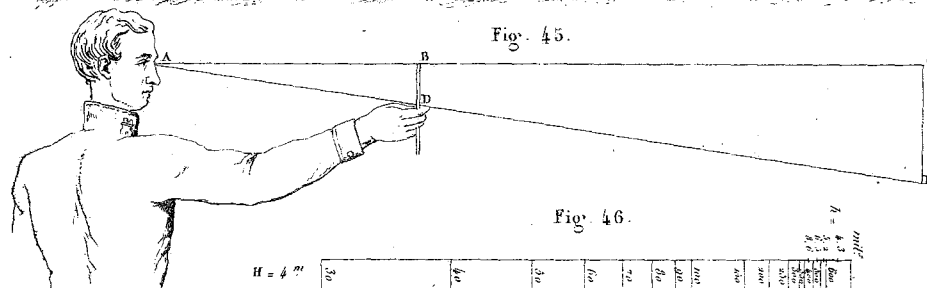


Fig. 45.

Fig. 46.

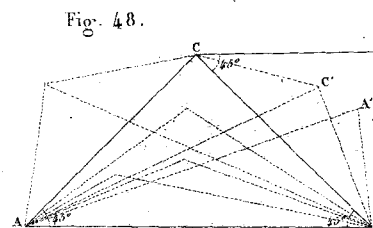
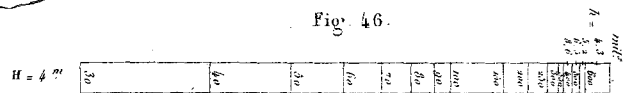


Fig. 48.

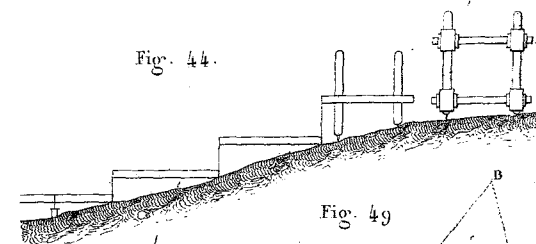


Fig. 44.

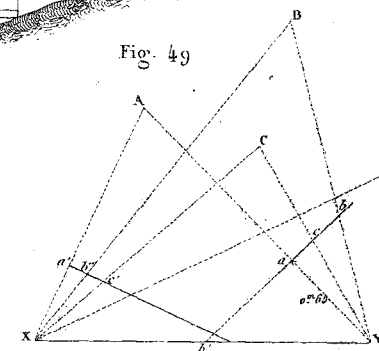


Fig. 49.

Fig. 47.

Para $x = 300^m$ { Para iguales valores de x reculan dobles en esta escala los de h .

108 mil												108 mil											
Valores de H												Valores de h											
5	10	15	20	25	30	35	40	45	50	55	60	5	10	15	20	25	30	35	40	45	50	55	60
h.4	10.8	16	22	27	32	37	43	48	54	60	66	h.4	10.8	16	22	27	32	37	43	48	54	60	66

Para $x = 600^m$

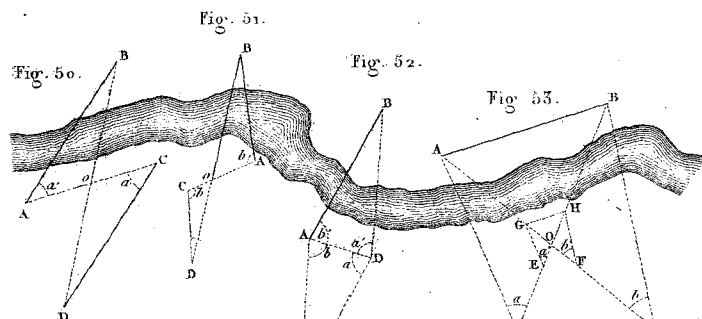


Fig. 51.

Fig. 52.

Fig. 53.

Fig. 56.

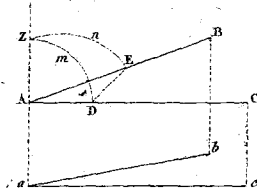


Fig. 57.

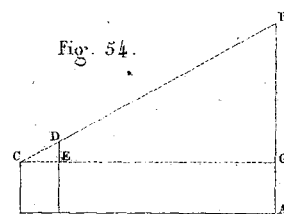
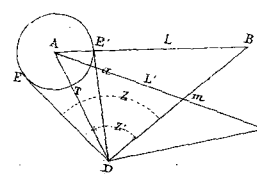


Fig. 54.

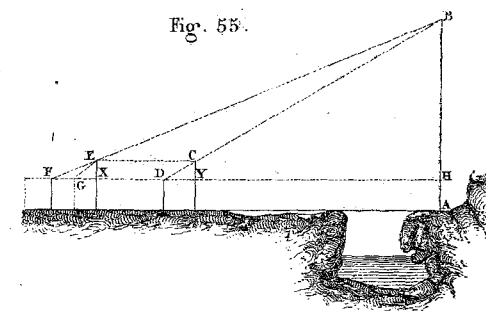


Fig. 55.

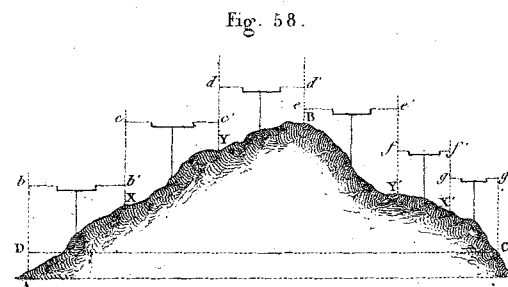


Fig. 58.

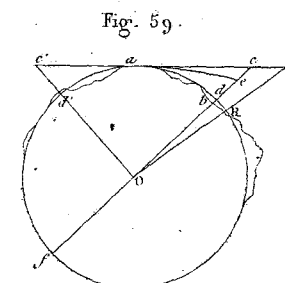
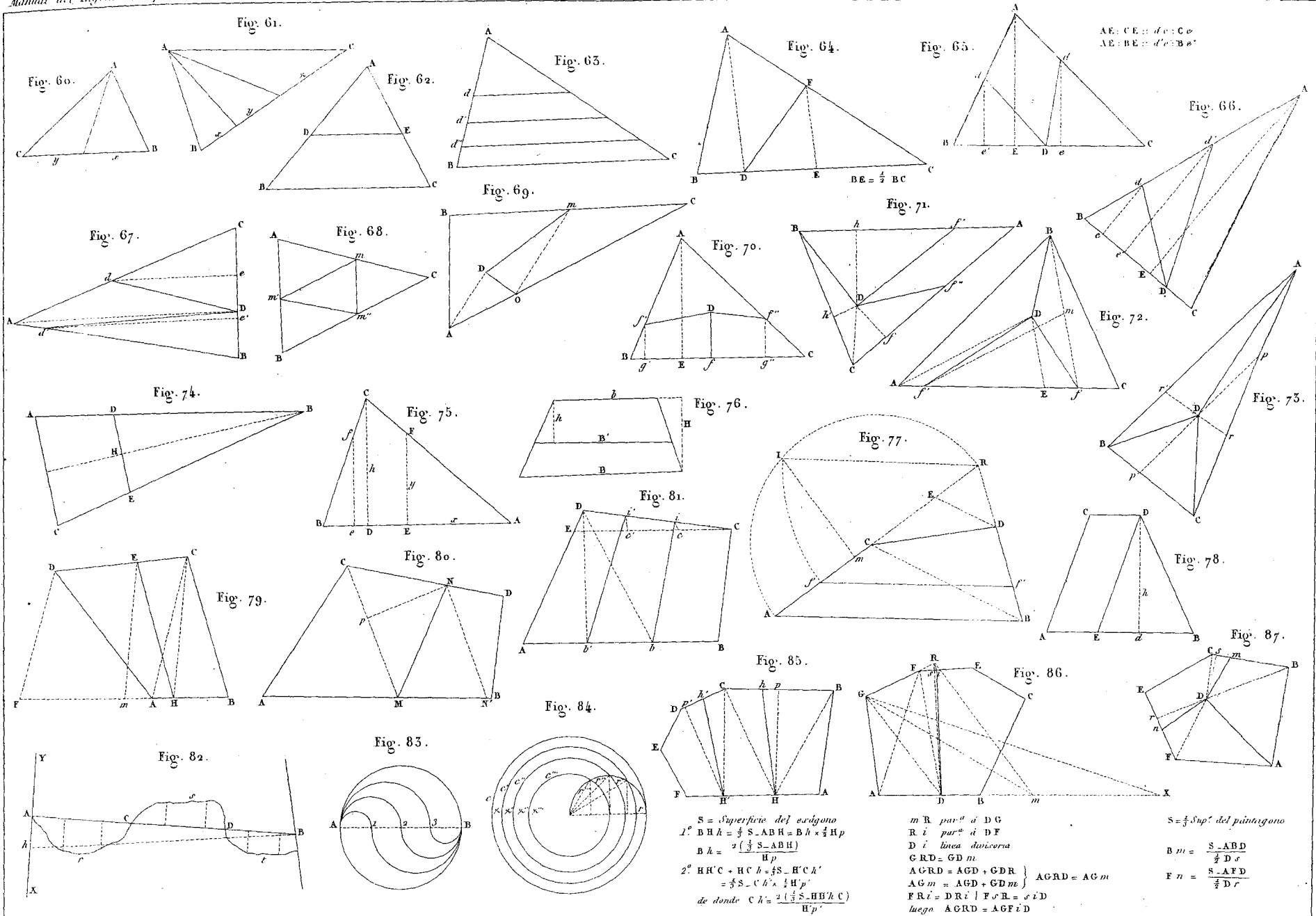
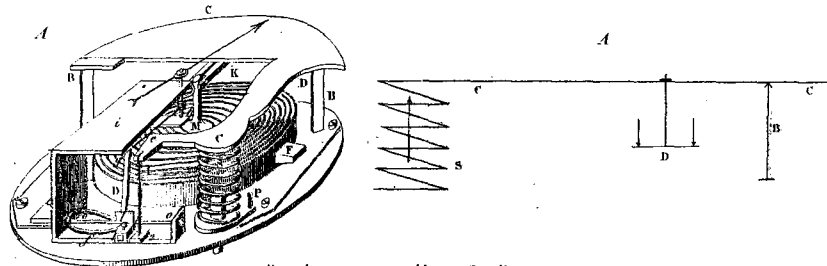
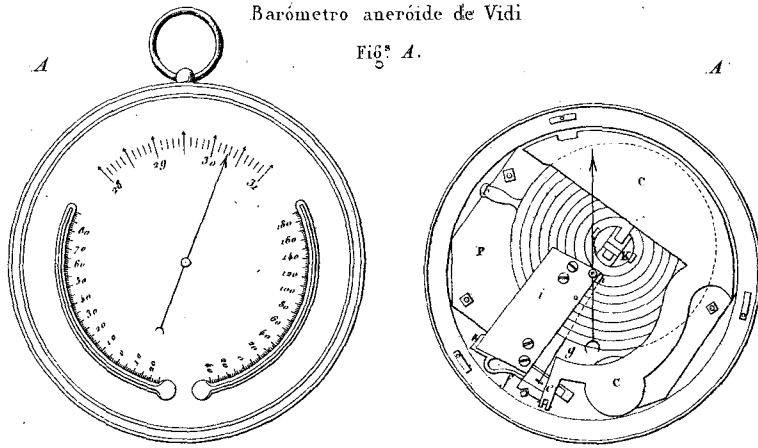


Fig. 59.



Barómetro aneróide de Vidi

Fig.ª A.



Barómetro metálico de Bourdon.

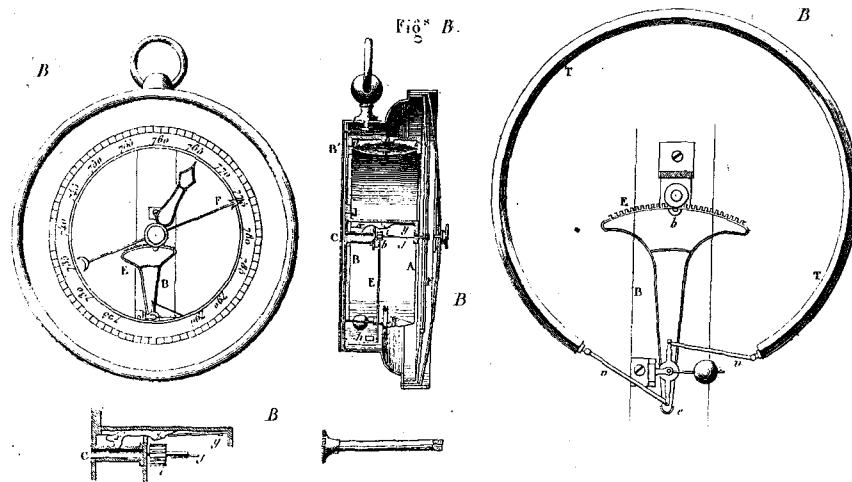


Fig. 88.

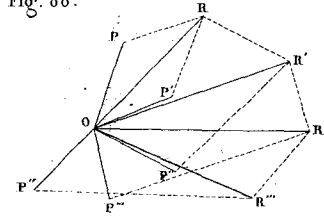


Fig. 89.

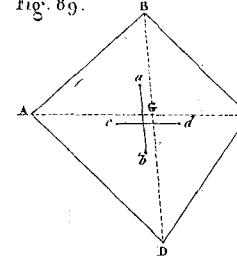


Fig. 90.

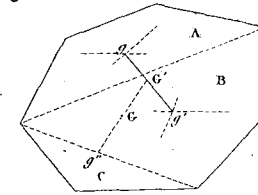


Fig. 91.

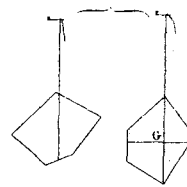


Fig. 92.

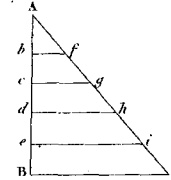


Fig. 95.

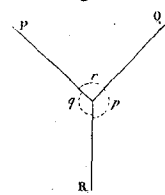
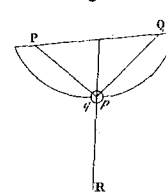


Fig. 96.



Escala p.ª AO = 50 m

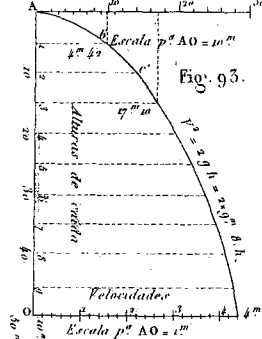


Fig. 93.

Fig. 94.

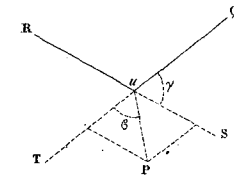


Fig. 97.

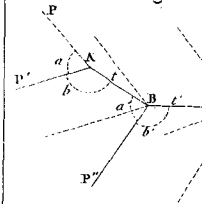


Fig. 98.

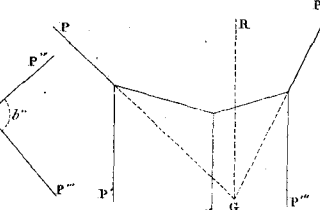


Fig. 99.

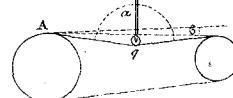


Fig. 100.

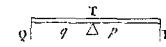


Fig. 101.

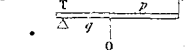


Fig. 102.

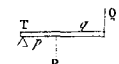


Fig. 103.

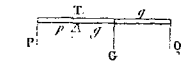


Fig. 104.

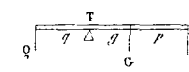
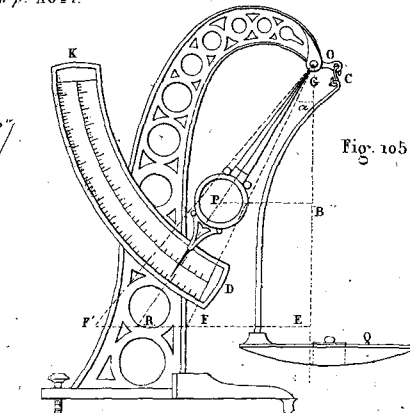


Fig. 105.



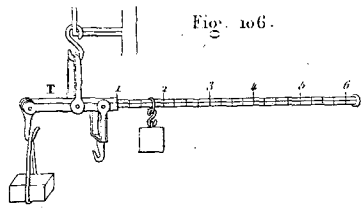


Fig. 106.

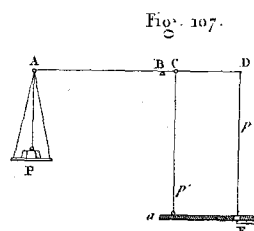


Fig. 107.

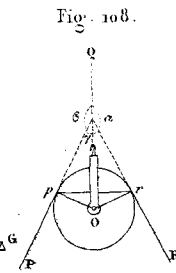


Fig. 108.

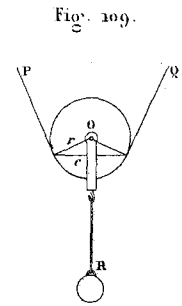


Fig. 109.

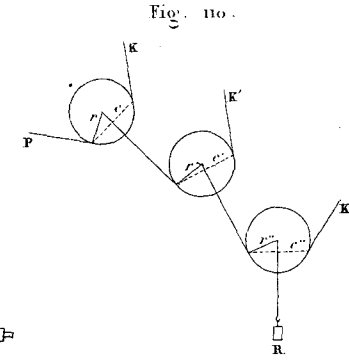


Fig. 110.

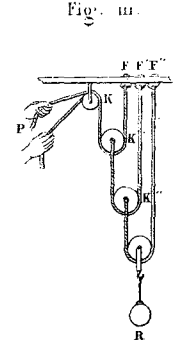


Fig. 111.

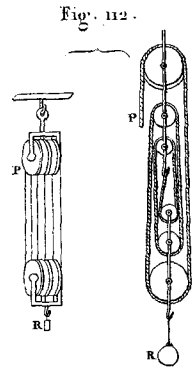


Fig. 112.

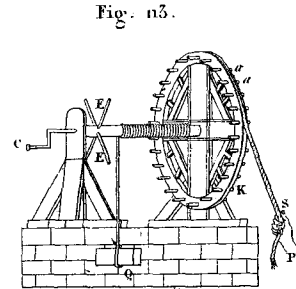


Fig. 113.

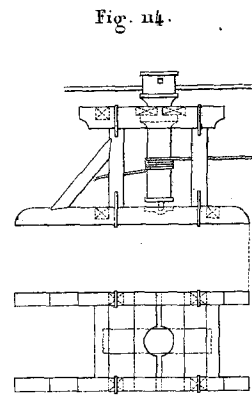


Fig. 114.

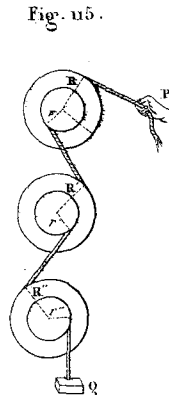


Fig. 115.

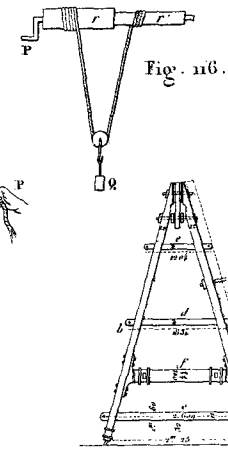


Fig. 116.

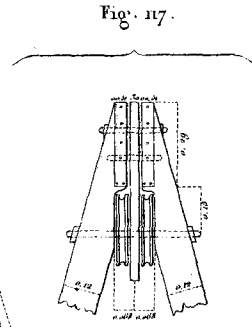


Fig. 117.

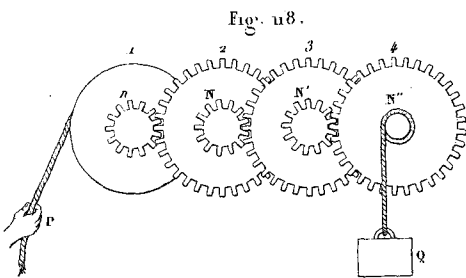
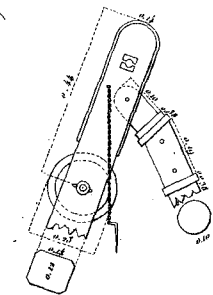


Fig. 118.

Fig. 120.

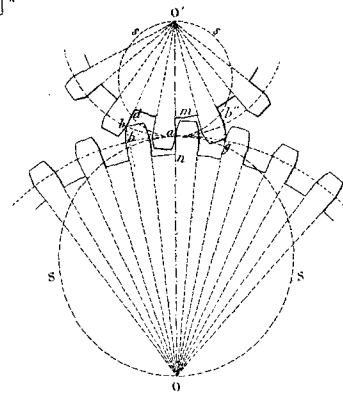


Fig. 121.

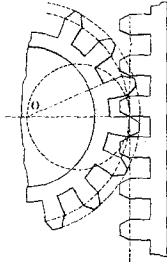


Fig. 122.

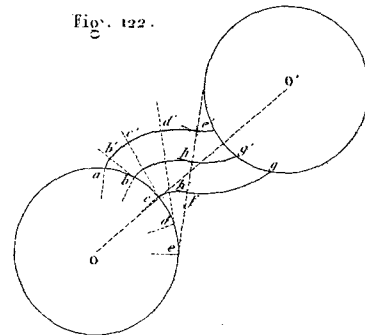
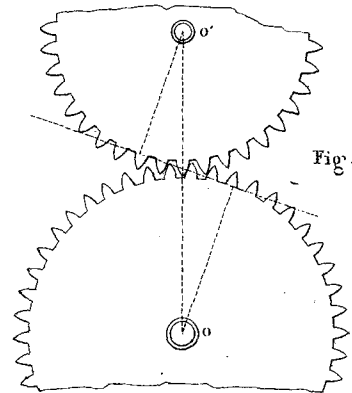


Fig. 123.



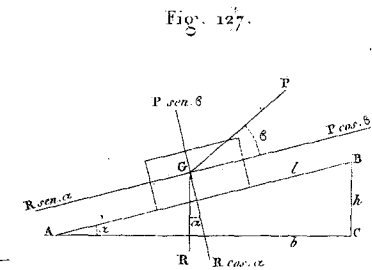
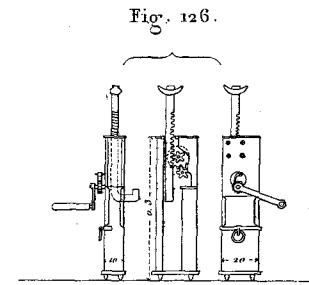
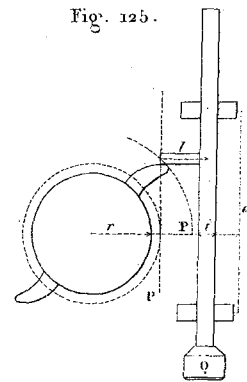
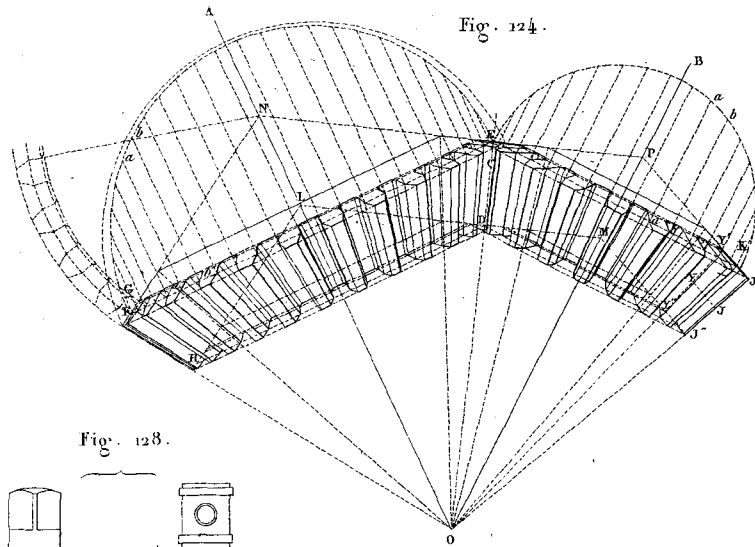


Fig. 128.

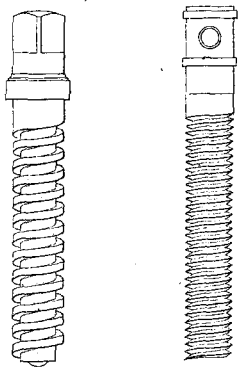


Fig. 129.

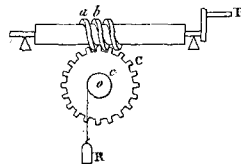


Fig. 130.

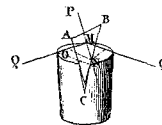


Fig. 131.

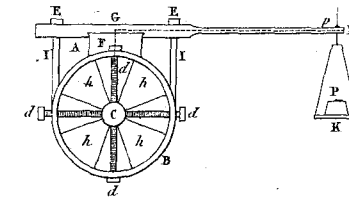
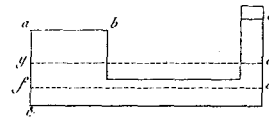


Fig. 132.

Fig. 134.

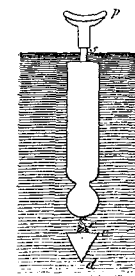


Fig. 135.

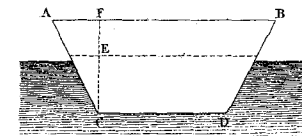
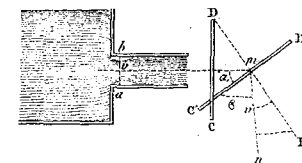
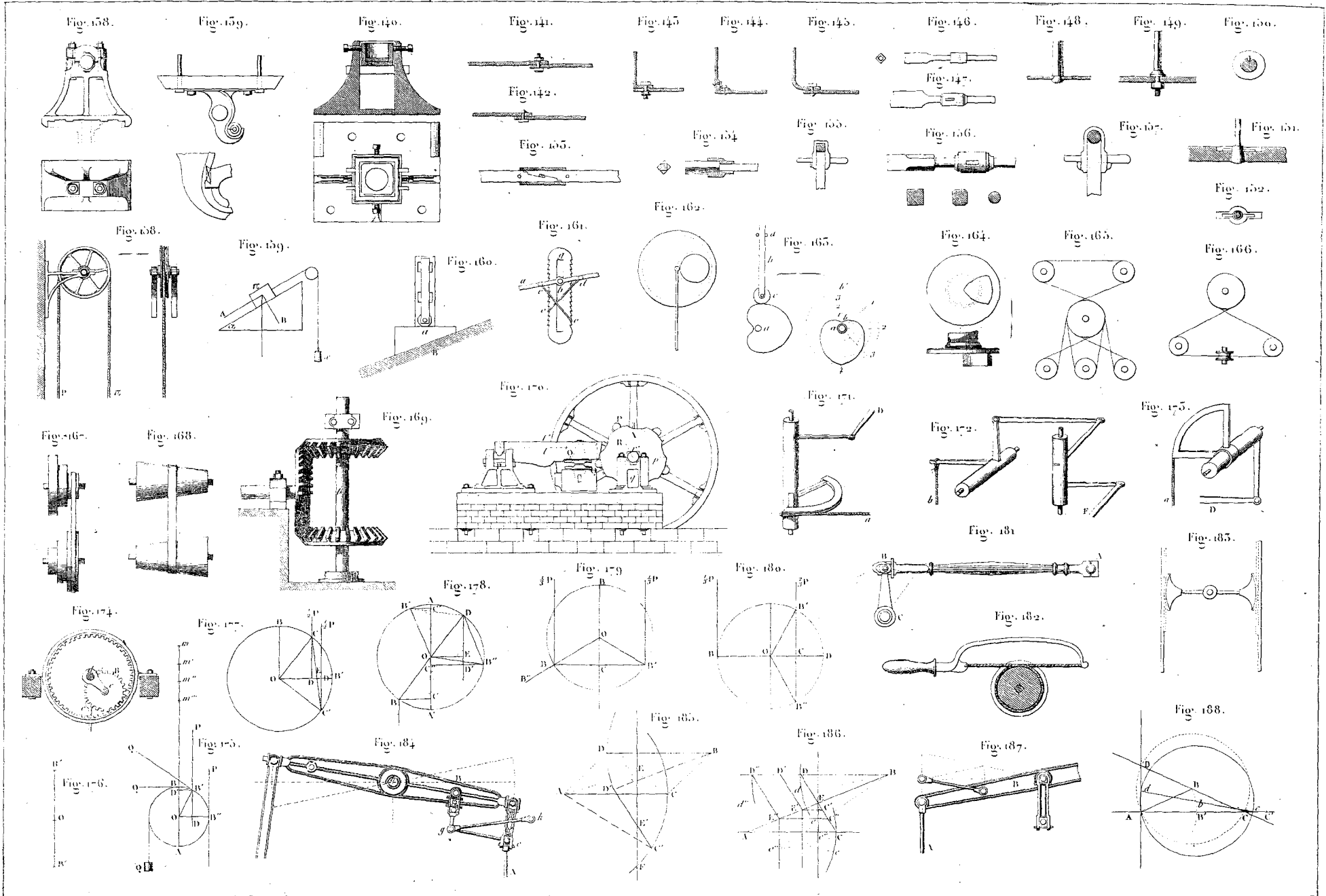
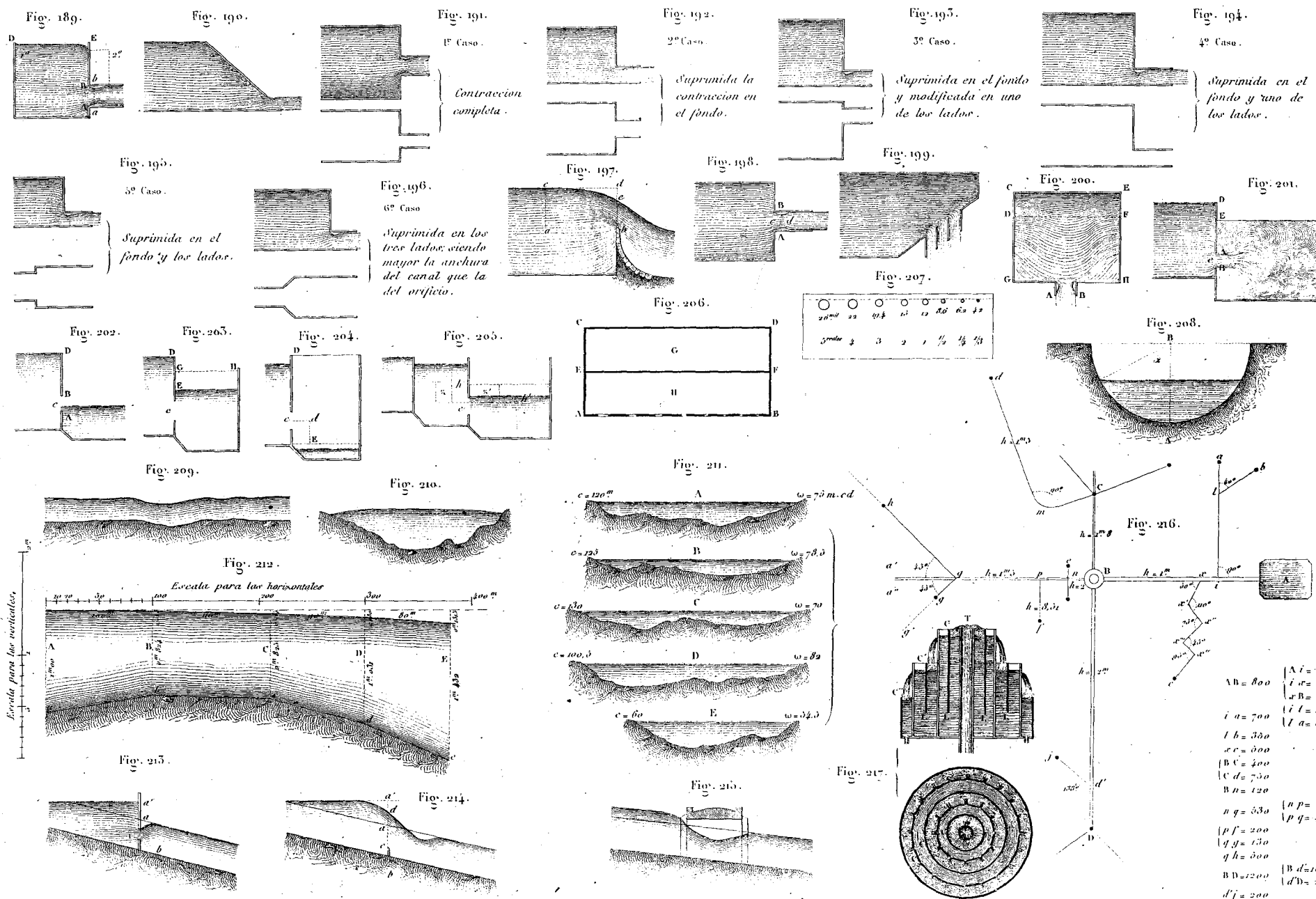


Fig. 136.







PUENTE ACUEDUCTO SOBRE EL RIO HARLEM. (NUEVA-YORK)

Fig. 6.

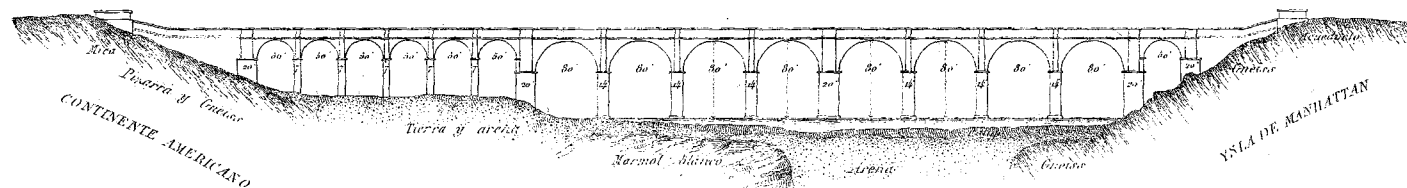


Fig. 7.

Perfil General del acueducto

Fig. α.

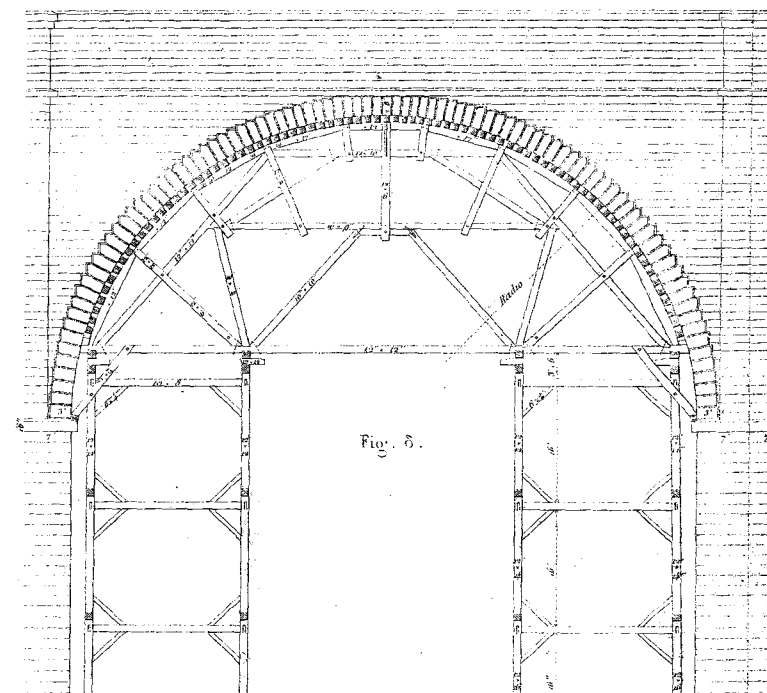
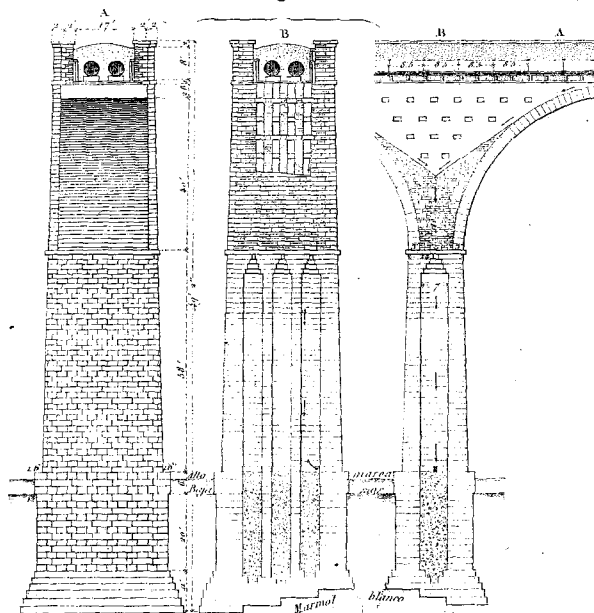
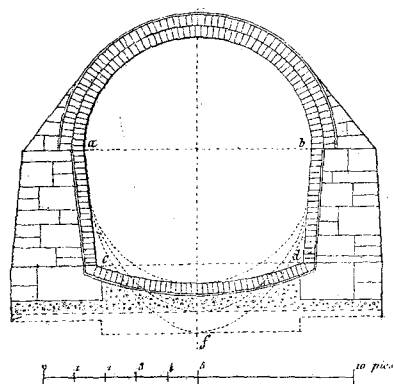
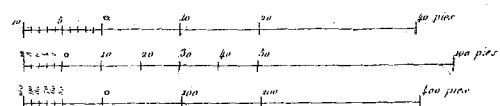


Fig. 8.



12' = 12 pies
12" = 12 pulgadas

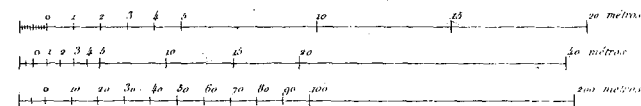


Fig. 6.

(La explicacion al principio del atlas)

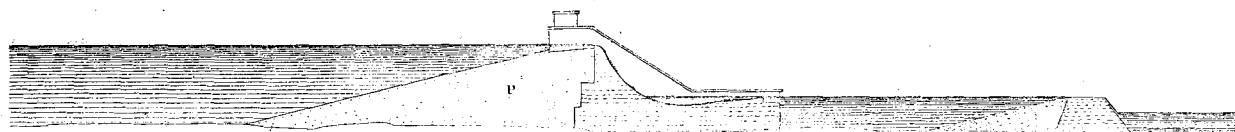


Fig. 6.

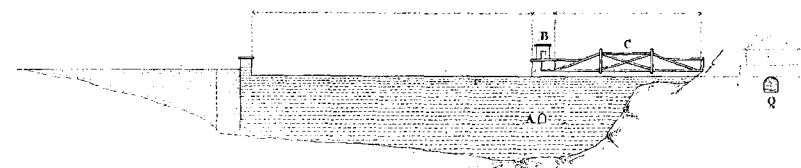


Fig. 9.

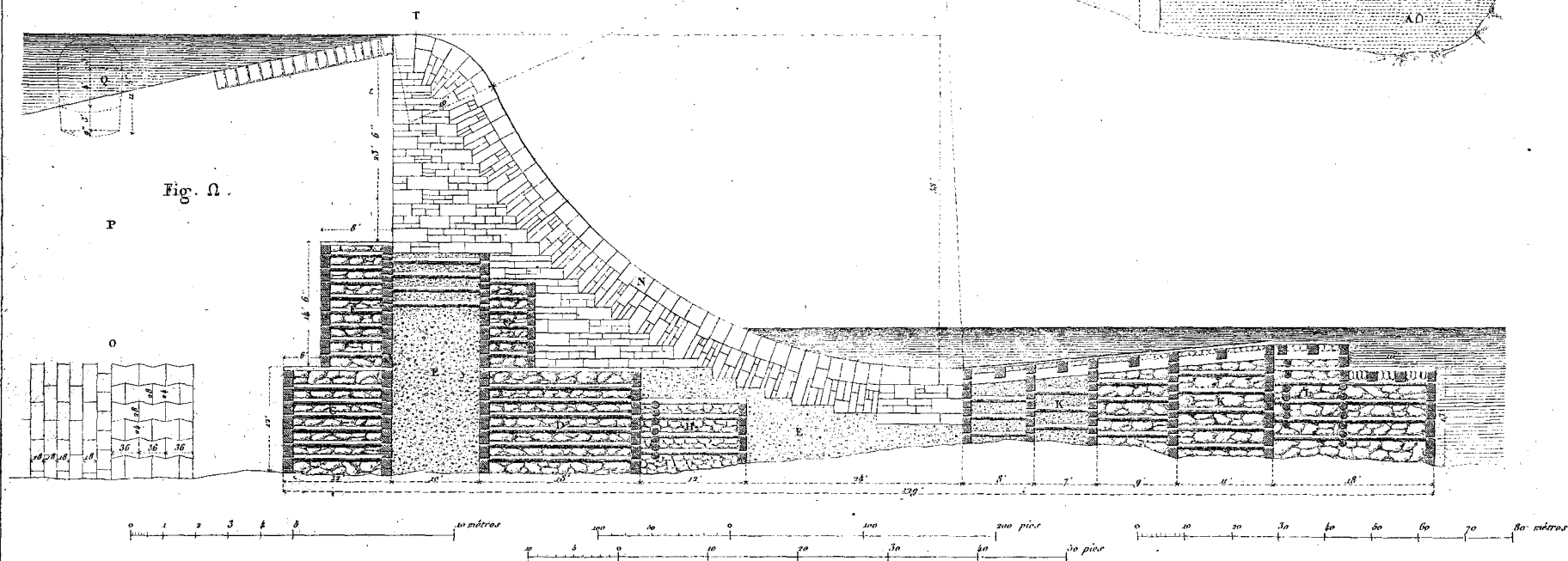


Fig. 9 ω = Cortes transversales de la presa establecida en el río CROTON (Nueva-York) para la toma de aguas del acueducto

Fig. 5. $\omega' =$ Corte longitudinal por T.

DEPÓSITO DE RECEPCION DEL ACUEDUCTO CROTON (NUEVA-YORK).

(La explicacion al principio del atlas.)

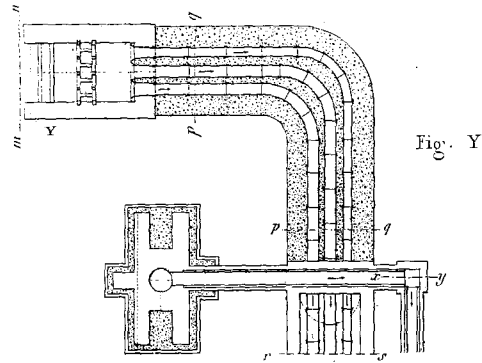


Fig. Y

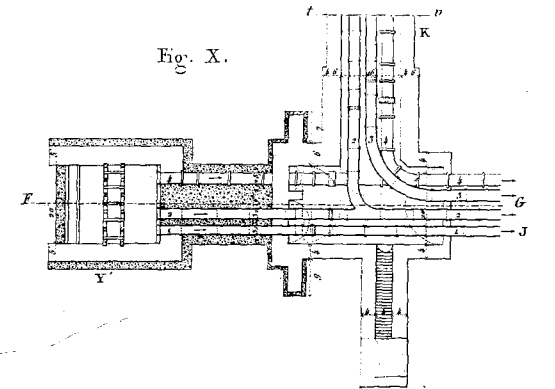
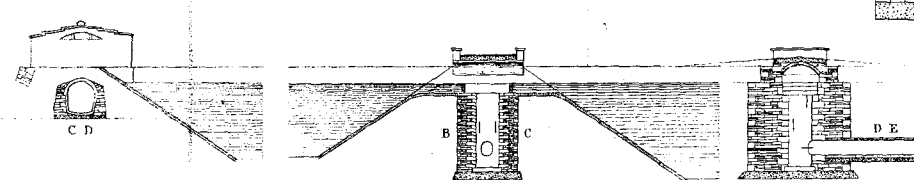
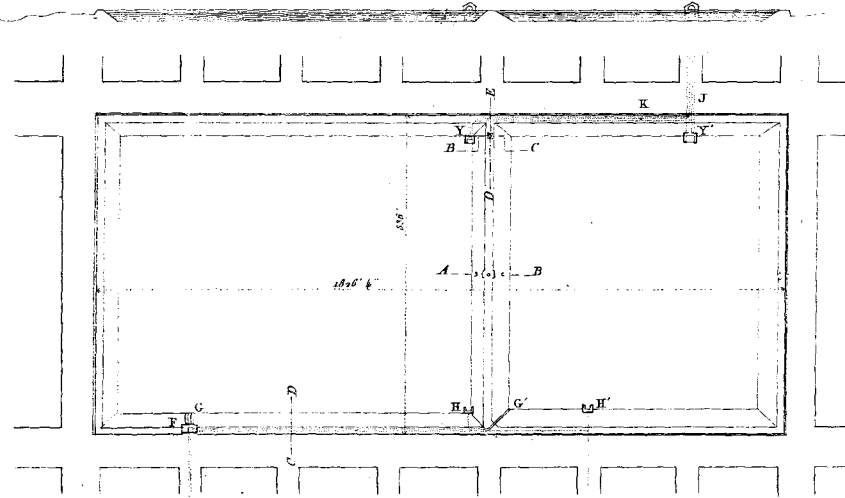
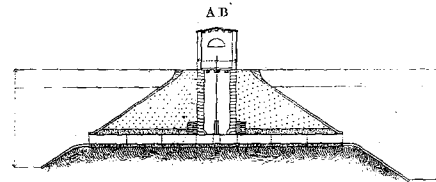
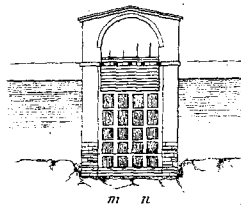
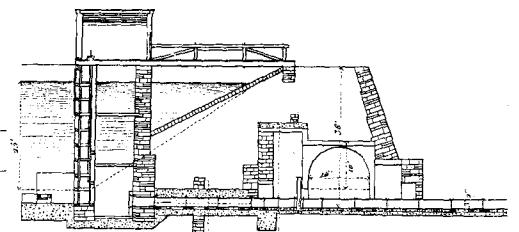
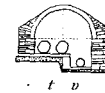
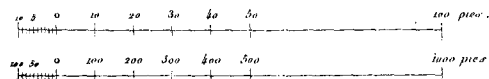


Fig. X.



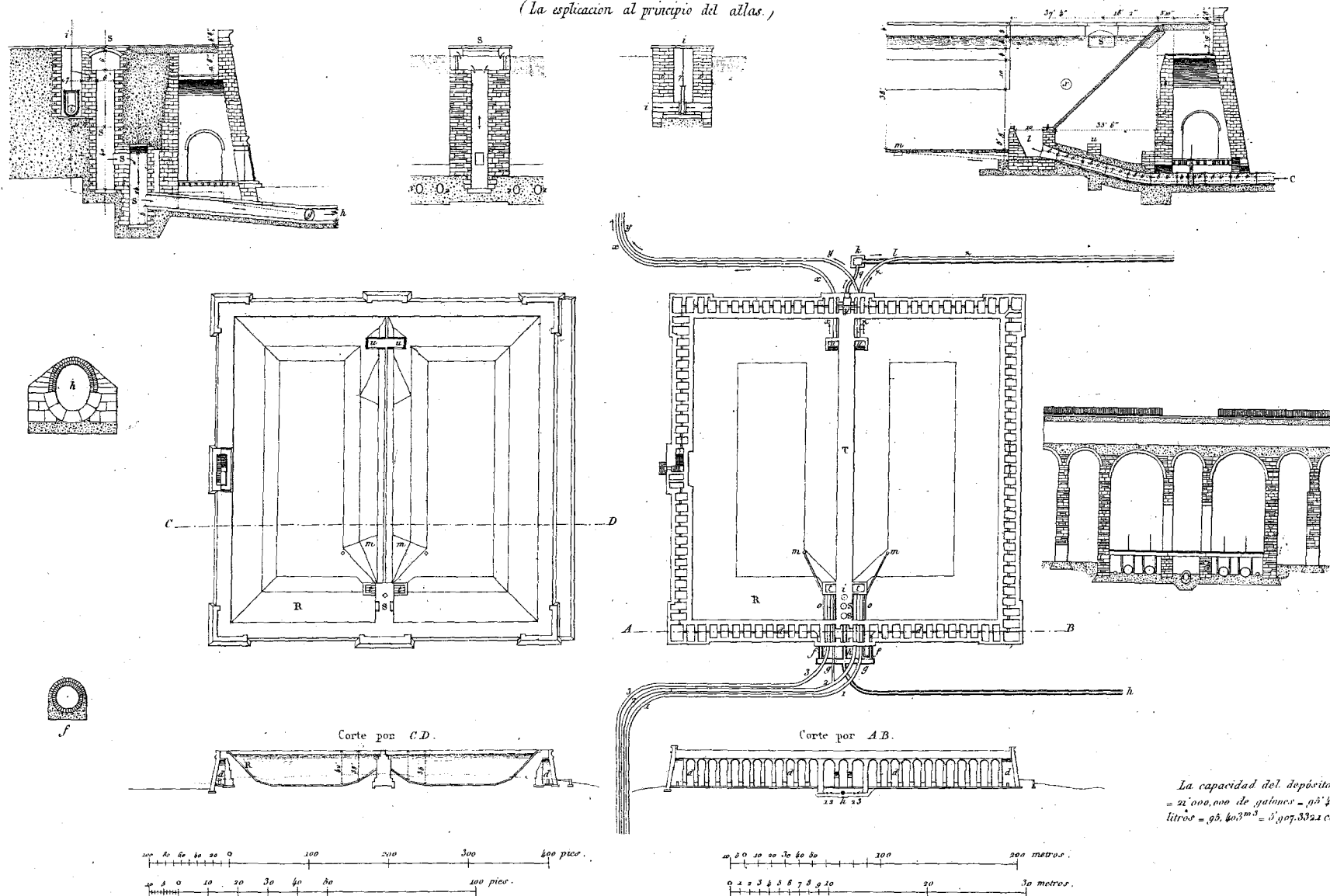
F G

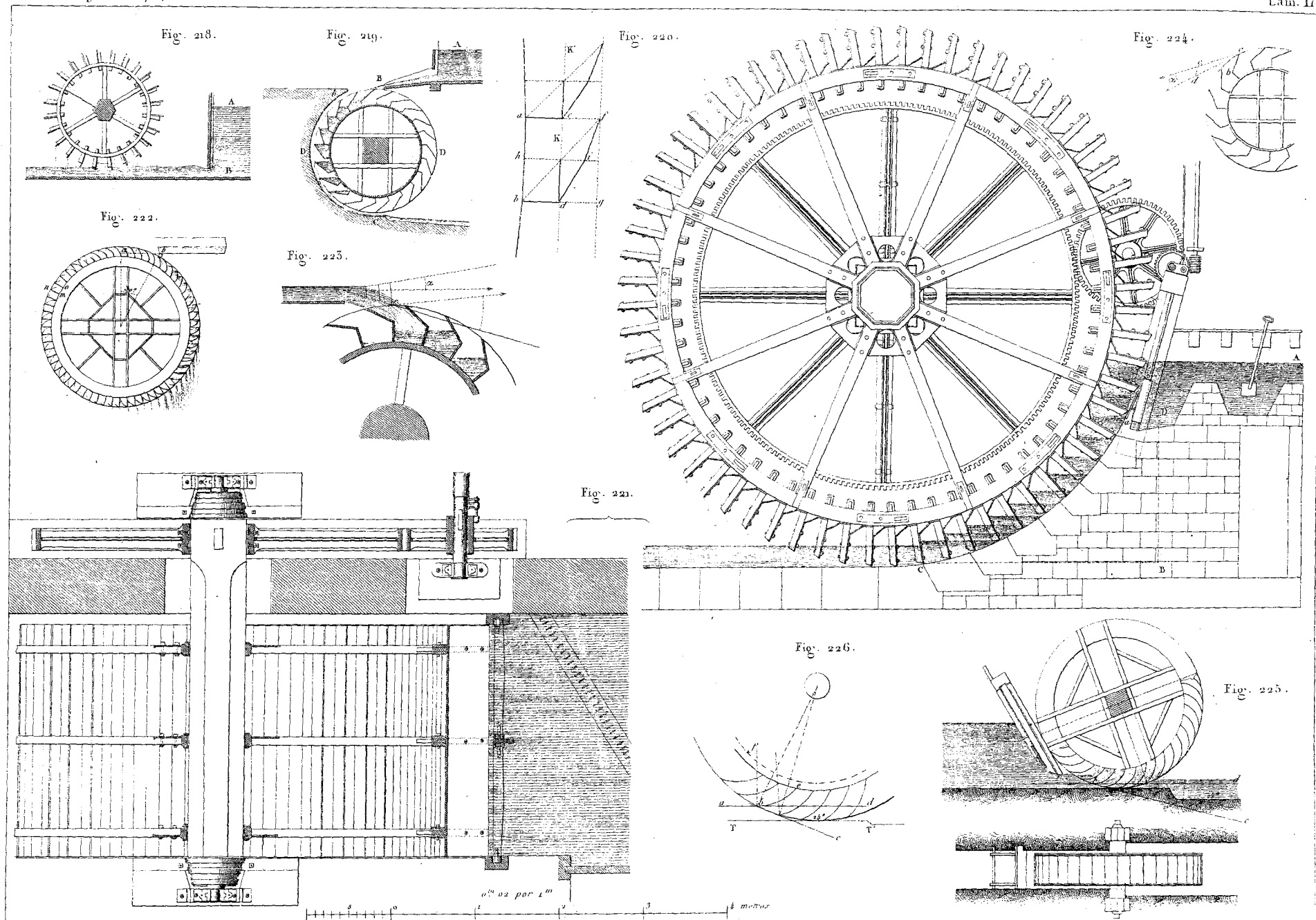
La superficie total es de
 36,05 acres = 22,025 fúnegas =
 1418,4 áreas.
 La del agua es = 31 acres =
 19,48 fúnegas = 1234,57 áreas.
 La capacidad = 160,000,000
 galones = 681,450 m³ = 42'239,810
 cántaros.

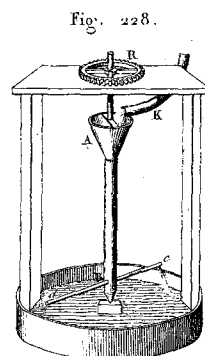
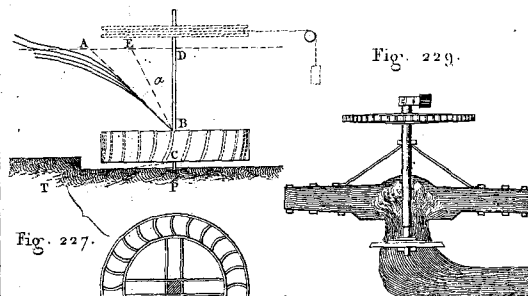


DEPÓSITO DE DISTRIBUCION DEL CROTON.

(La explicacion al principio del atlas.)







(La explicacion al principio del atlas.)

Escala de la Turbina = 0.^m 02 por 1.^m

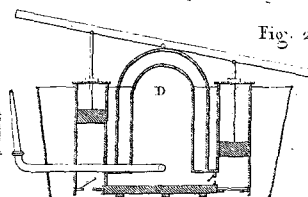
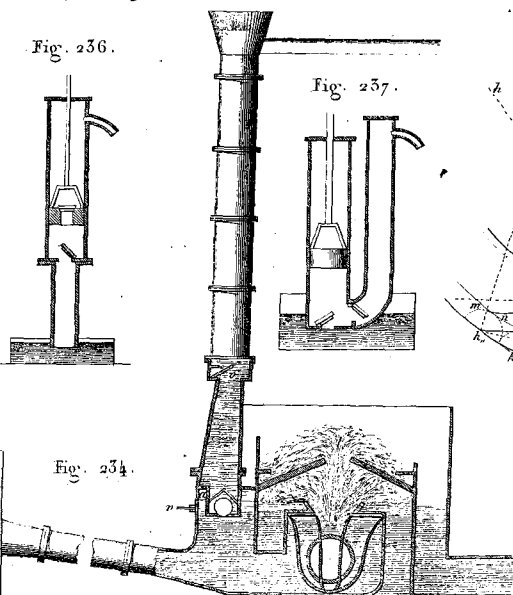
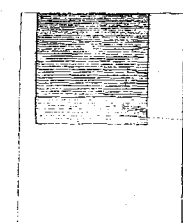
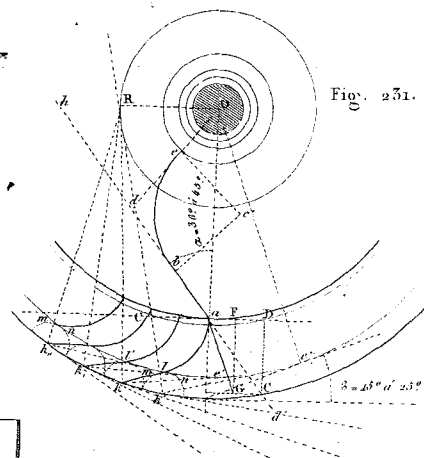
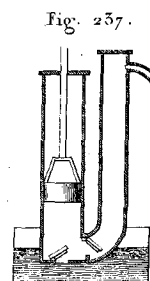
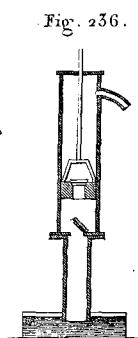
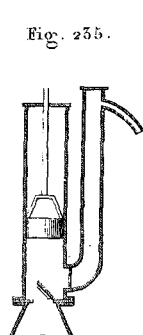
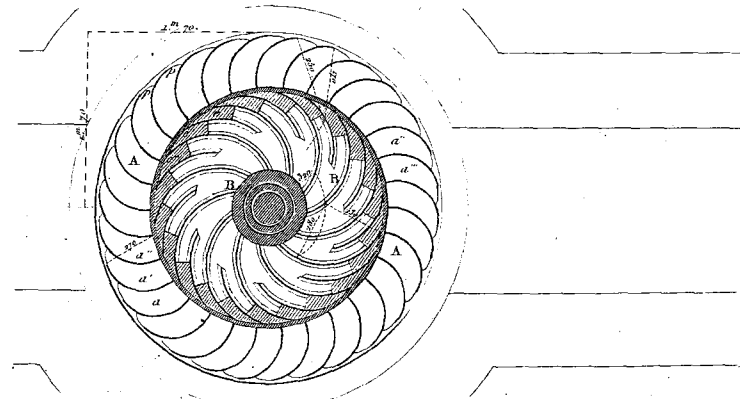
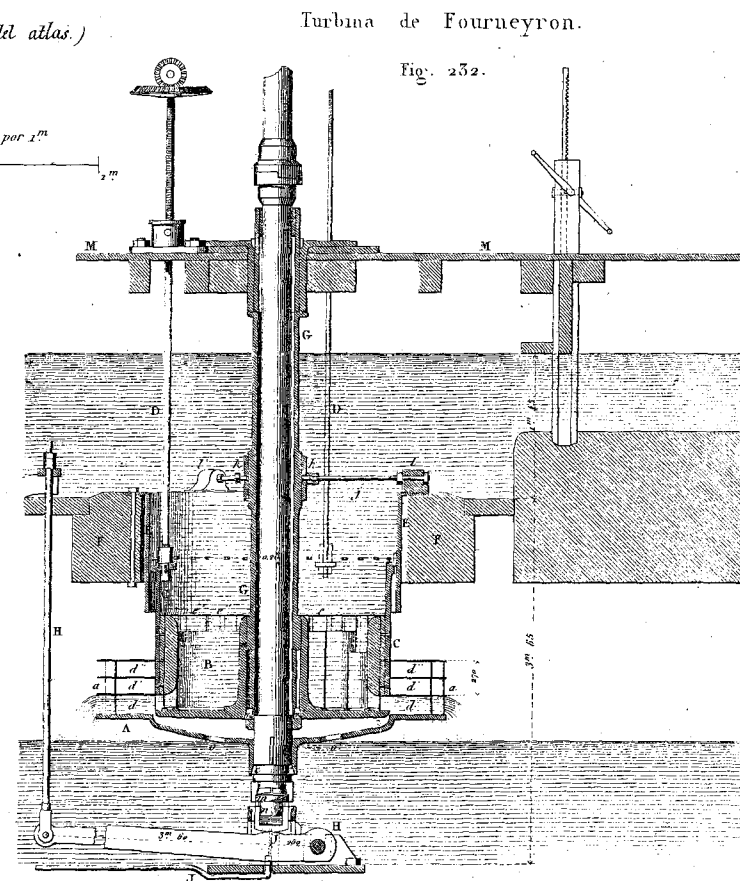
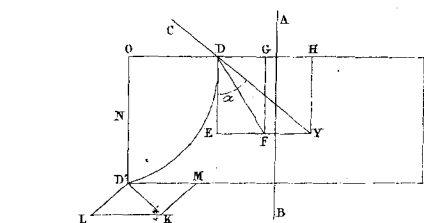
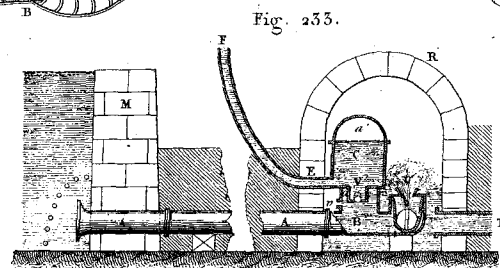
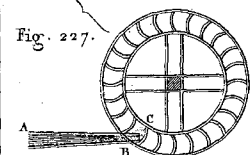


Fig. 239.

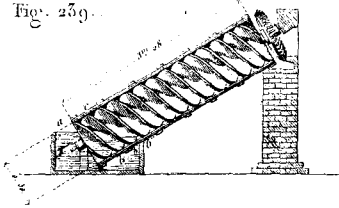


Fig. 240.

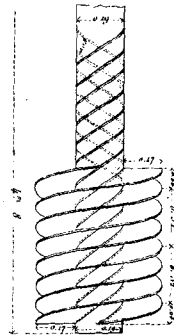


Fig. 241.

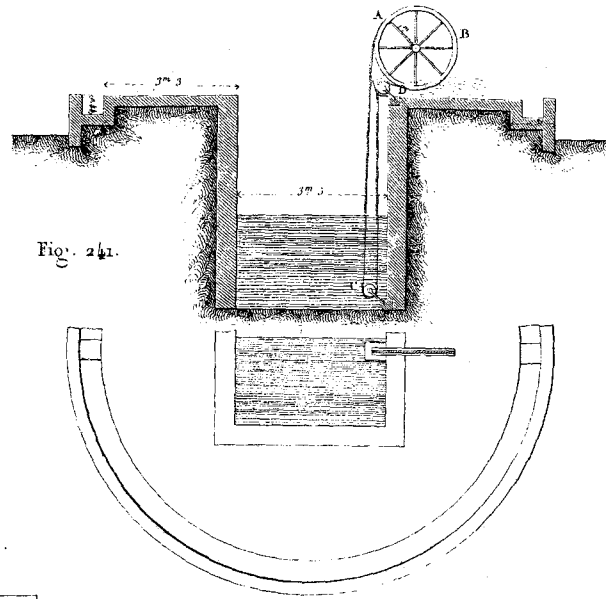


Fig. 244.



Fig. 243.

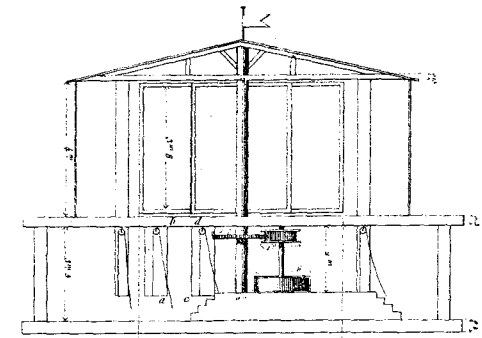
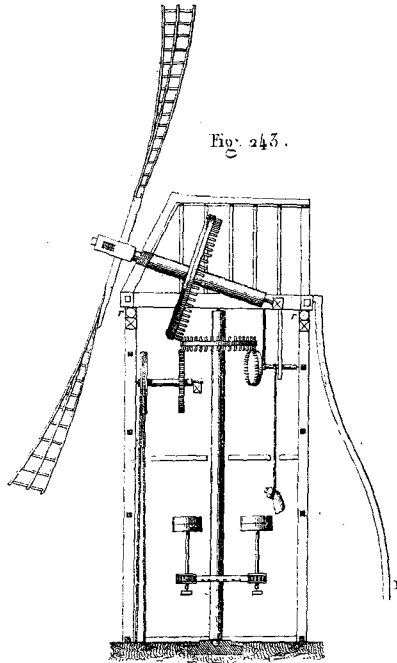
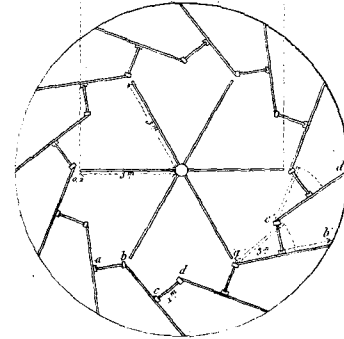


Fig. 242.



Escala para las alas

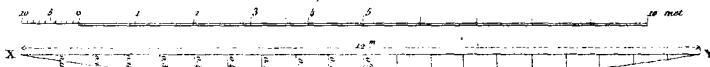


Fig. 245.

Fig. 246.

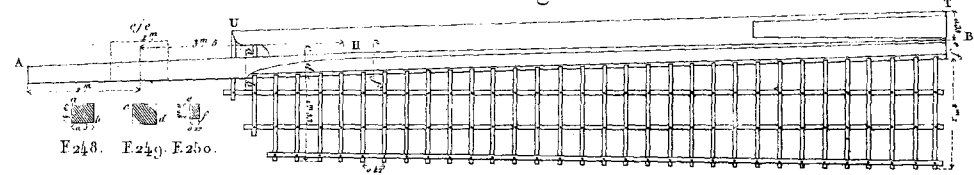


Fig. 247.



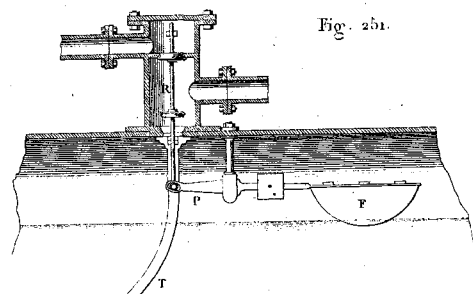


Fig. 251.

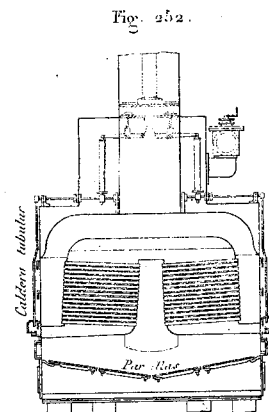


Fig. 252.

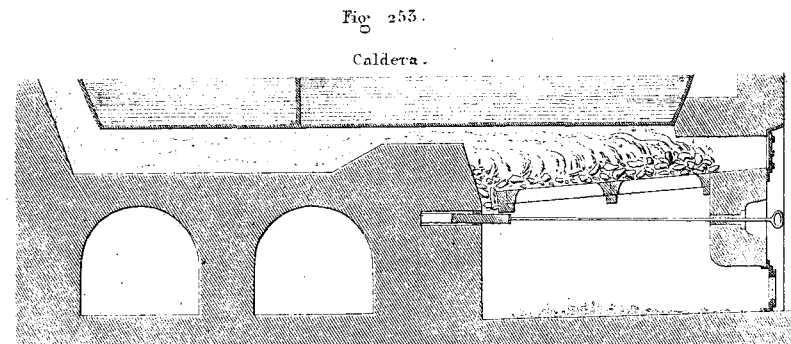


Fig. 253.

Caldera.

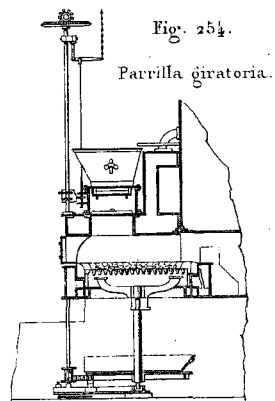


Fig. 254.
Parrilla giratoria.

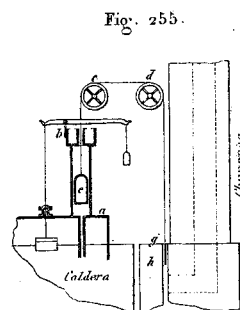


Fig. 255.

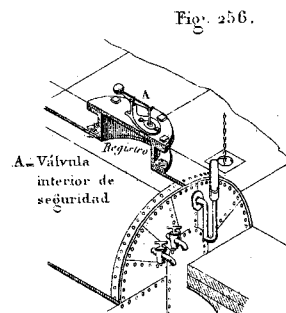


Fig. 256.

A = Válvula interior de seguridad

Fig. 257.

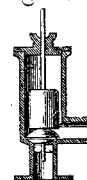


Fig. 258.

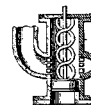


Fig. 259.

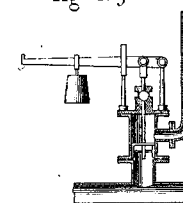
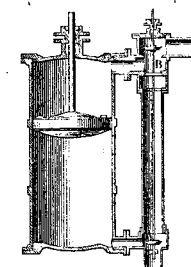


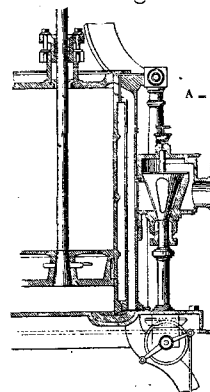
Fig. 260.



B = Válvula de tirador de Murray.

A = Válvula en figura de T.

Fig. 264.



A = Llave de 4 aberturas.

Fig. 265.

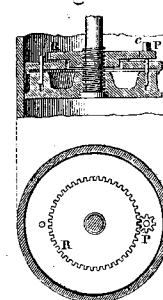


Fig. 266.

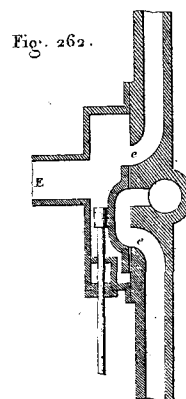
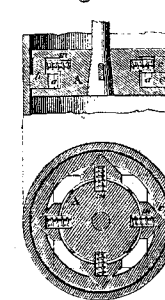
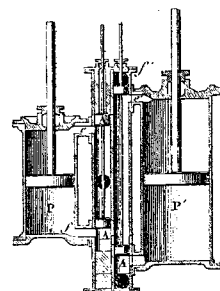


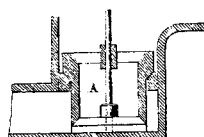
Fig. 262.

Fig. 263.



A = Válvulas cilíndricas

Fig. 261.



A = Válvula de doble asiento.

Válvula de tirador.

Fig. 267.

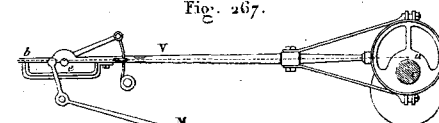


Fig. 268.

MANÓMETROS.

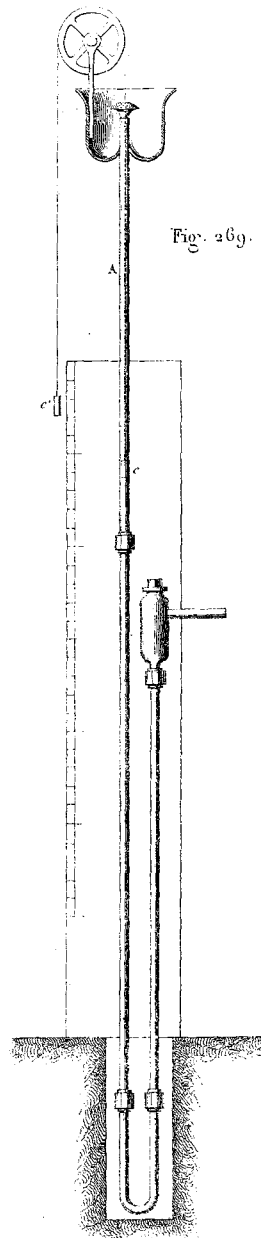


Fig. 270.

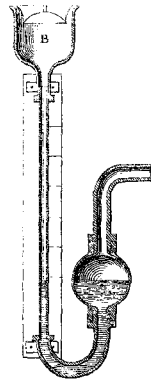
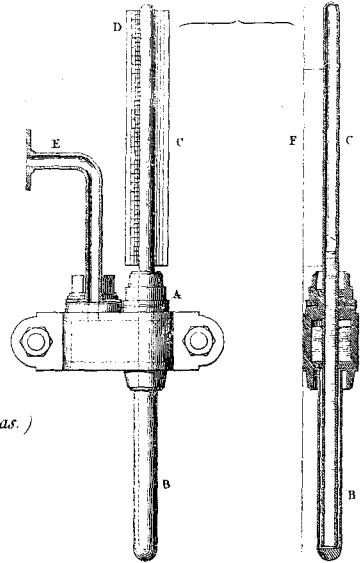


Fig. 275.



(La explicacion al principio del atlas.)

Fig. 274.

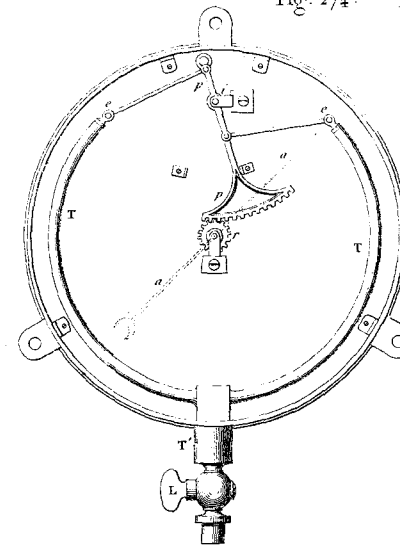


Fig. 275.

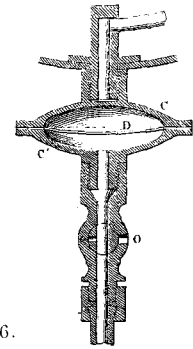


Fig. 276.

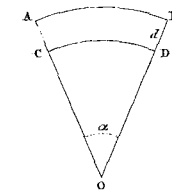


Fig. 277.

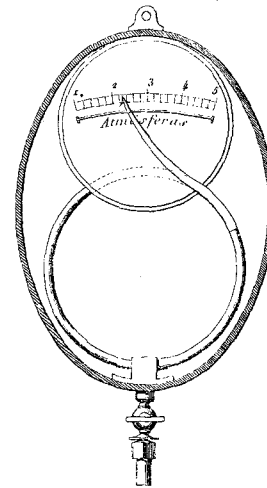


Fig. 278.

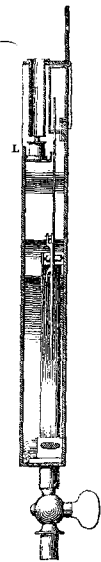
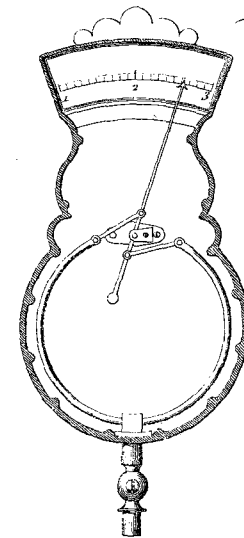


Fig. 271.

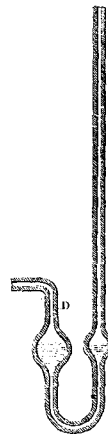
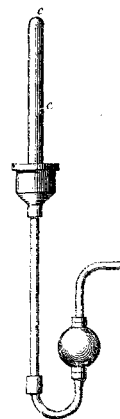


Fig. 272.

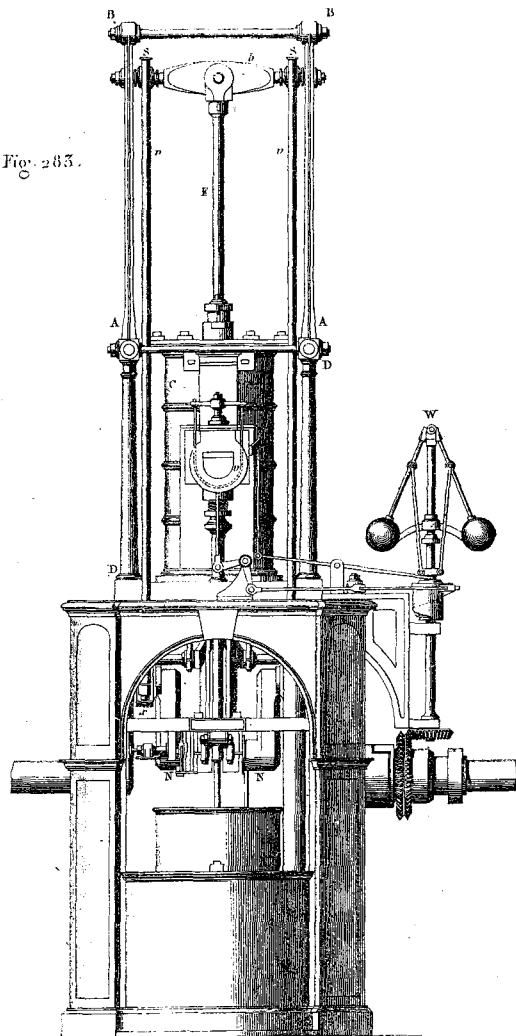


MÁQUINA DE CONDENSADOR, PORTÁTIL,
según el sistema de M. MAUDESLEY, para fuerza
de 2 á 30 caballos.

(Figuras 282, 283.)

(La explicación al principio del atlas.)

Fig. 283.



Indicador de presión de Bourdon.

Fig. 281.

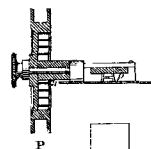


Fig. 279.

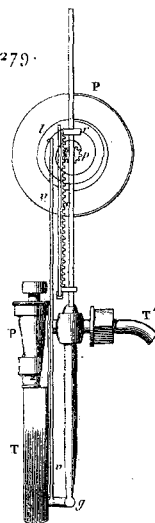
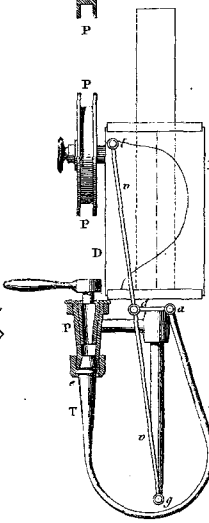


Fig. 280.



Escala = $\frac{1}{4}$

Escala

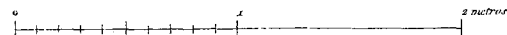
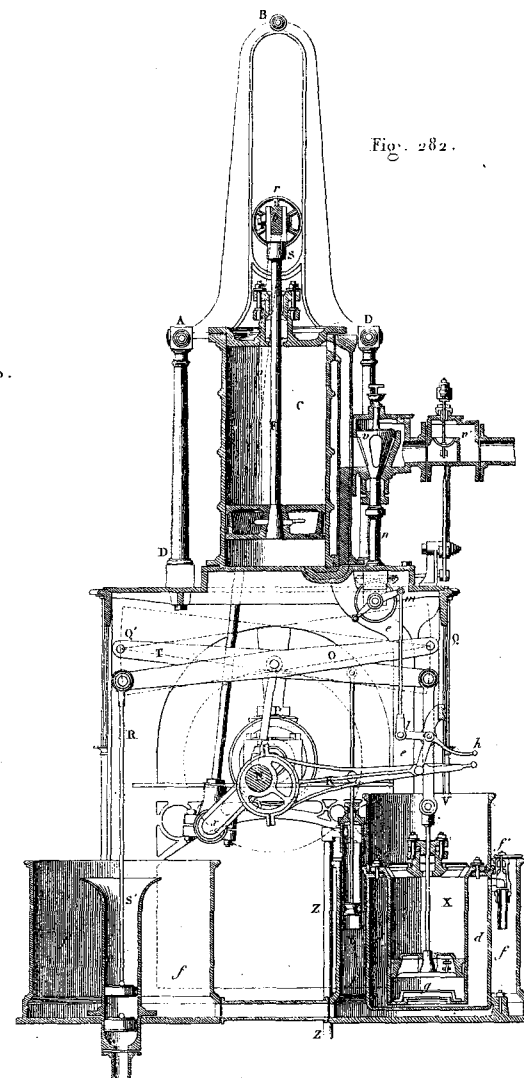


Fig. 282.



Perfil longitudinal de una caldera de vapor
con todos sus accesorios.
(La explicación al principio del atlas.)
Fig. 284.

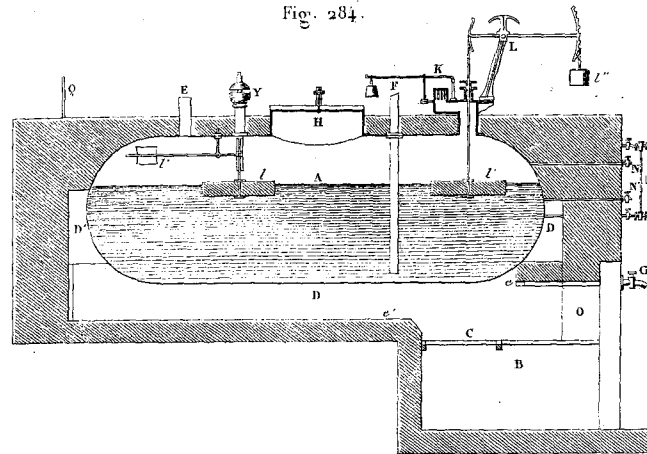
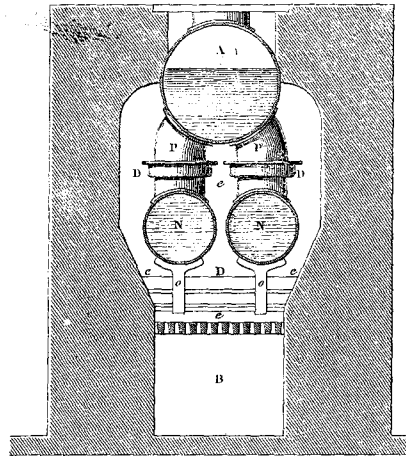
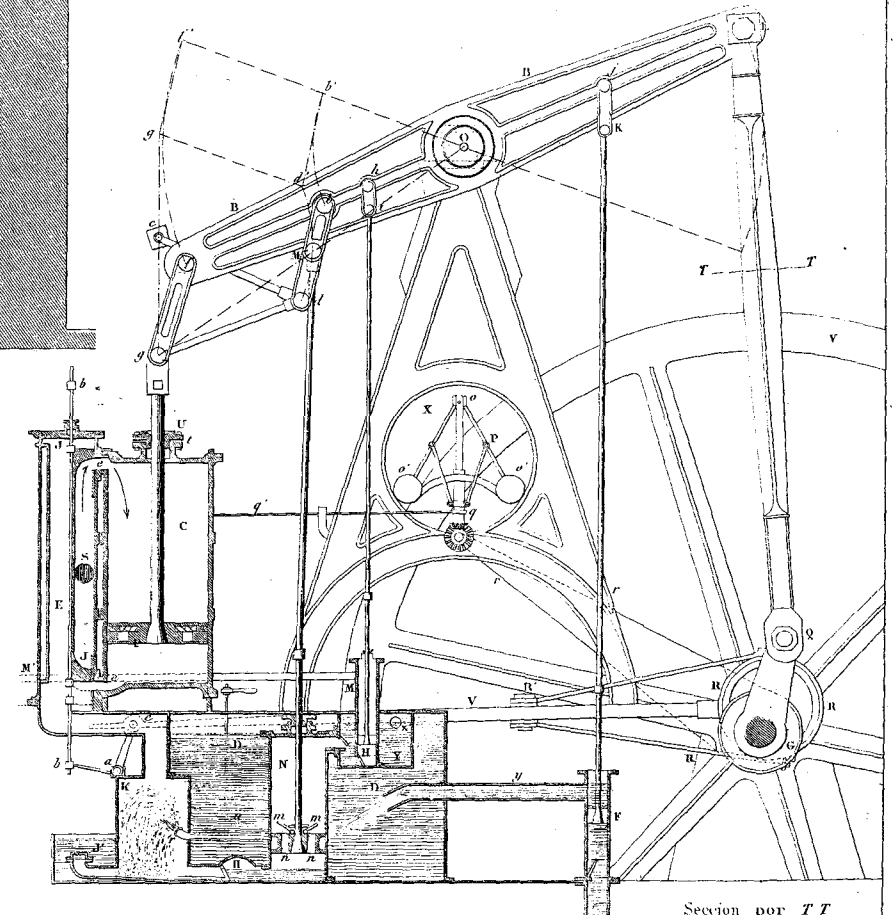


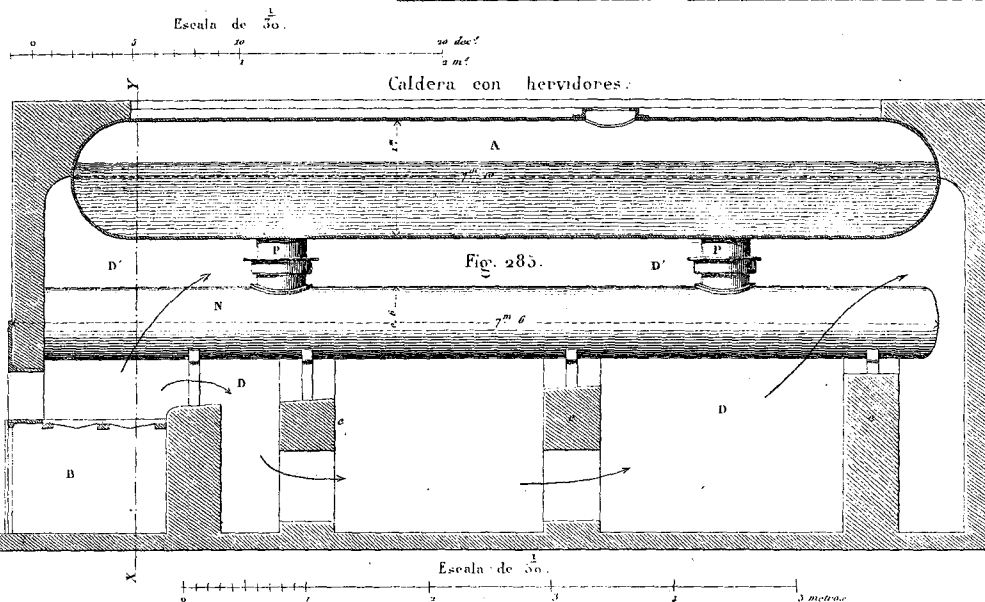
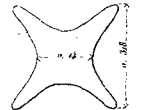
Fig. 286.
Corte por X Y.



Máquina de baja presión y acción doble
de fuerza de 150 caballos
(Testo N.º 668 x 6-0.)
Fig. 287.



Sección por T T



Escala de la Máquina.



MÁQUINAS DE PALETAS USADAS EN LOS BARCOS.

(La explicacion al principio del atlas.)

Fig. 288.

De doubles cilindros fijos principales
para 400 caballos
por MAUDESLEY-HIJOS Y FIELD.

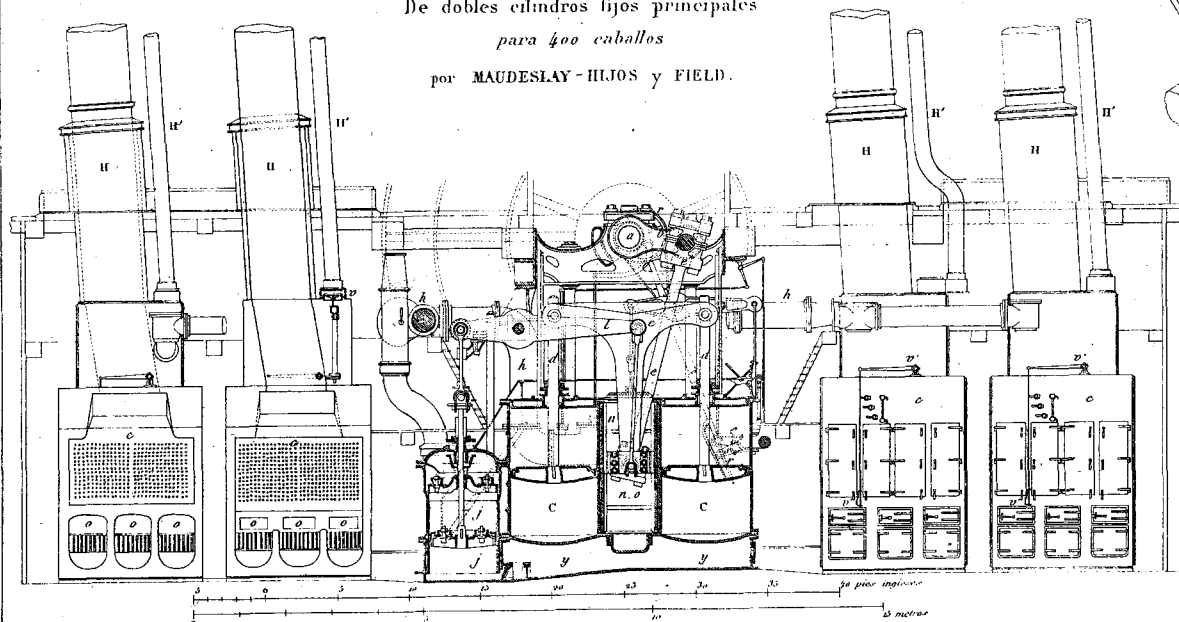


Fig. 289.

De cilindro fijo y balanza

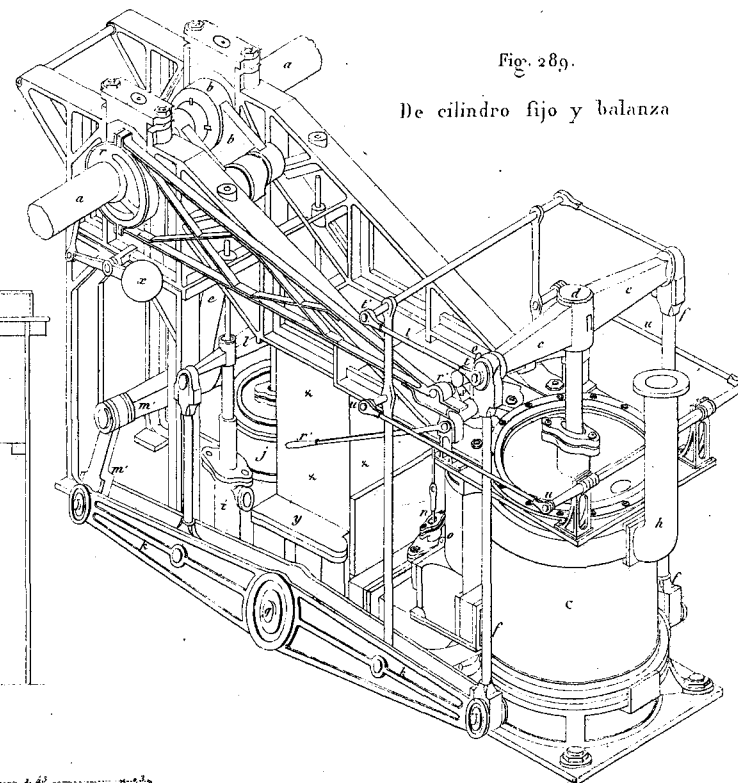


Fig. 290.

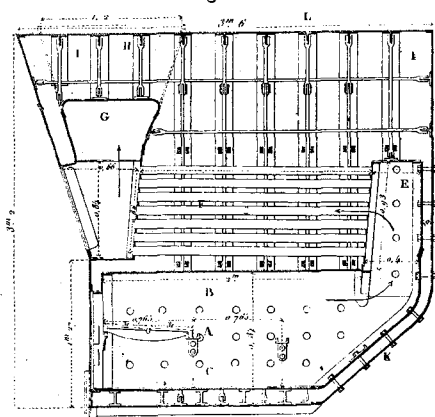


Fig. 291.

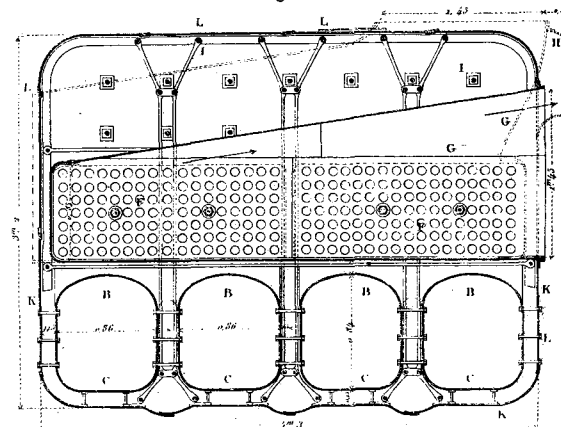
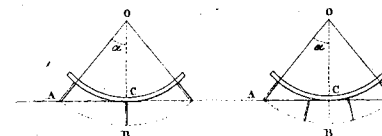


Fig. 292.



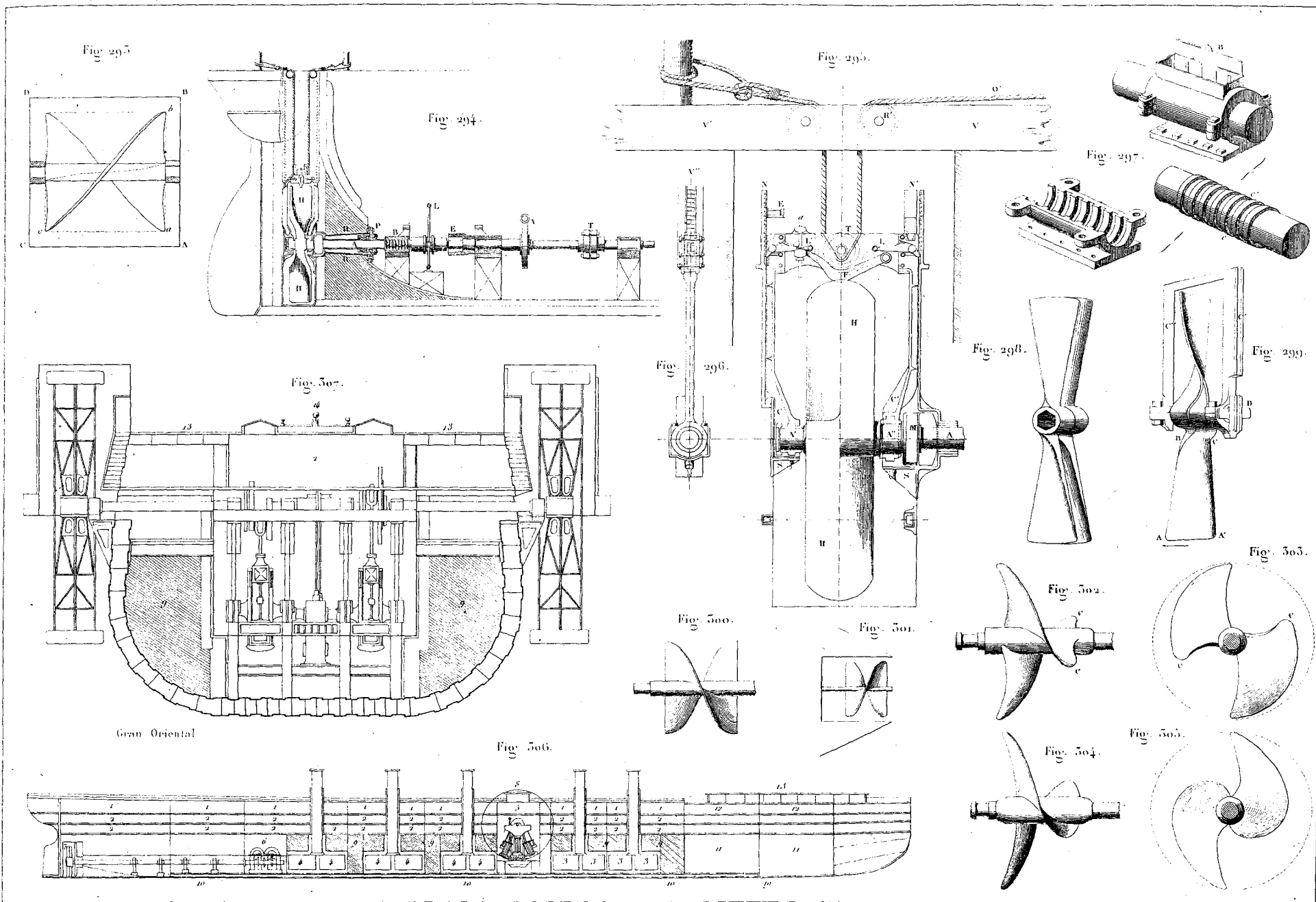
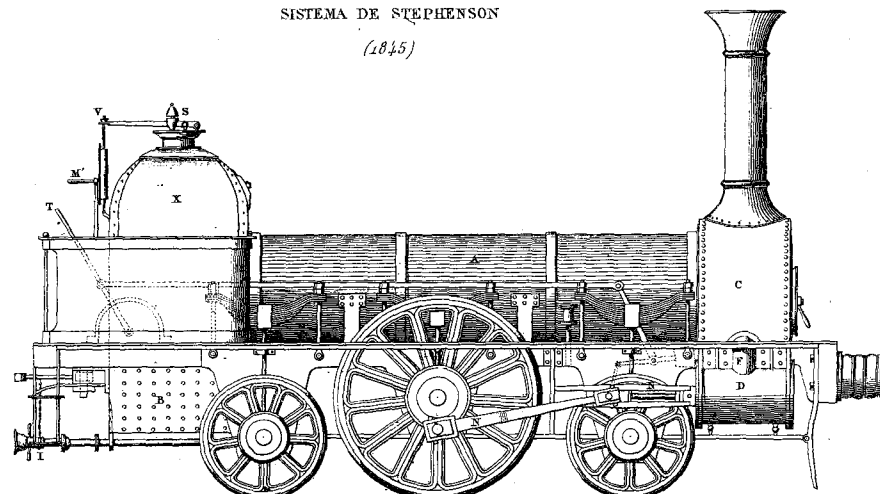


Fig. 310.

SISTEMA DE STEPHENSON
(1845)



(La explicación al principio del atlas.)

Fig. 311.

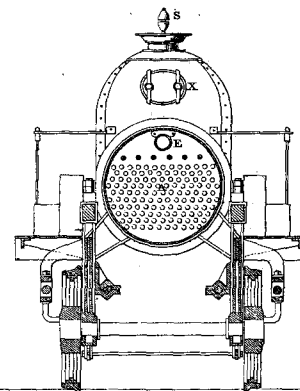


Fig. 312.

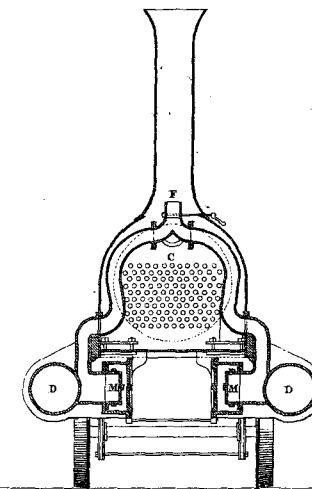


Fig. 313.

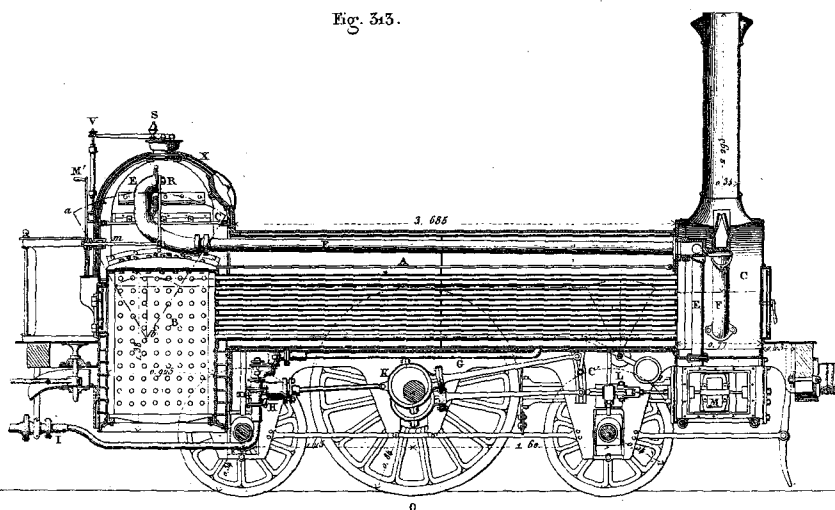
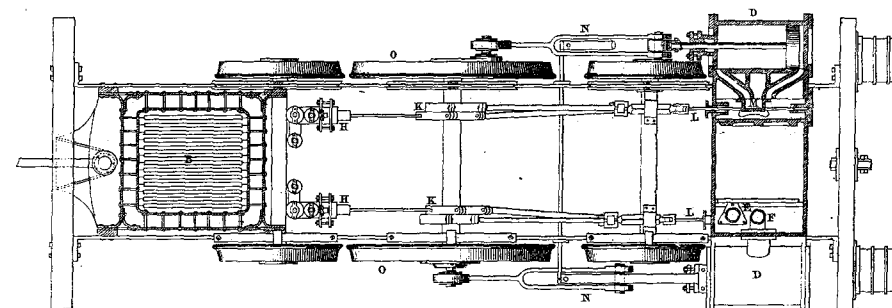


Fig. 314.



Escala de $\frac{1}{50}$.



Fig. 315.

(La explicación al principio del atlas.)

SISTEMA DE POLONCEAU
para mercancías (1841).

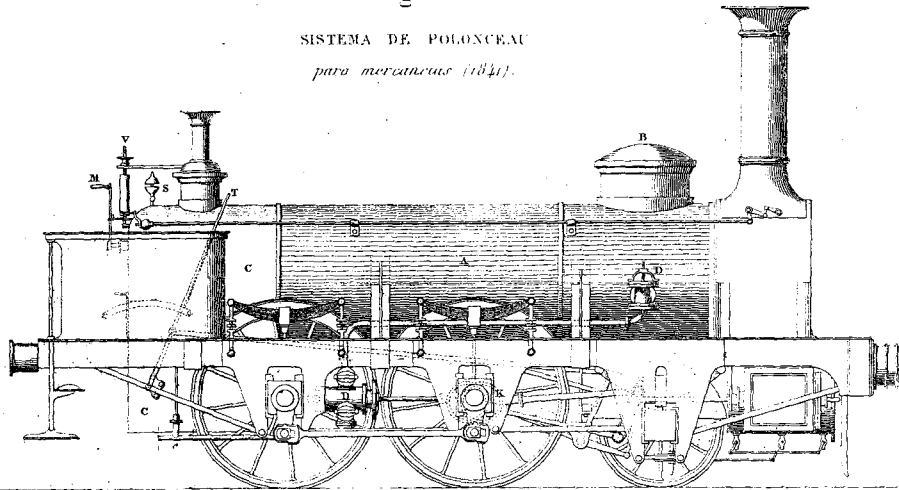


Fig. 316.

SISTEMA DE HAWTHORN
Máquina y Tender reunidos (1855).

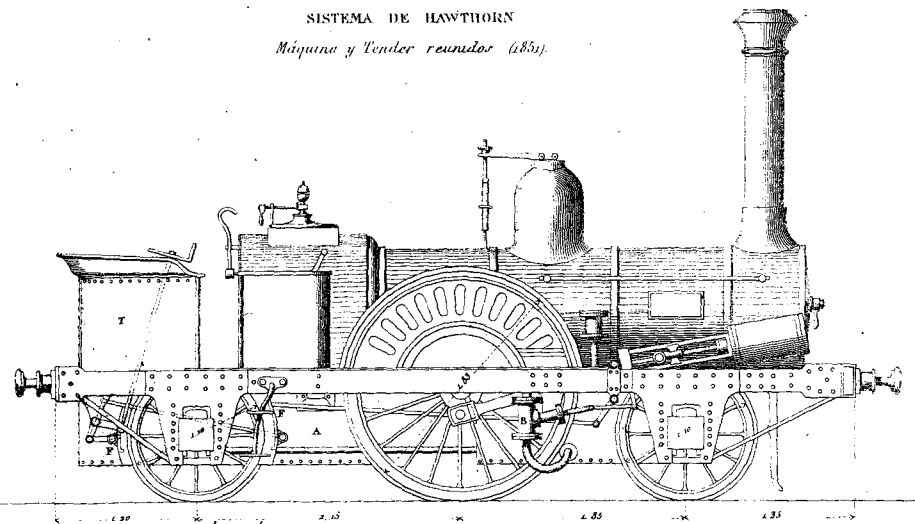
Escala de $\frac{1}{50}$ Escala de $\frac{1}{40}$

Fig. 317.

TENDER

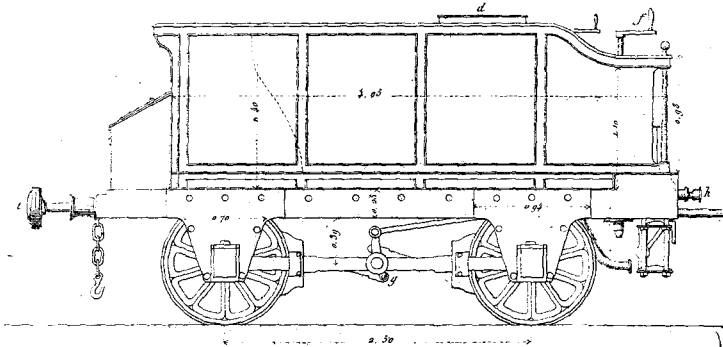
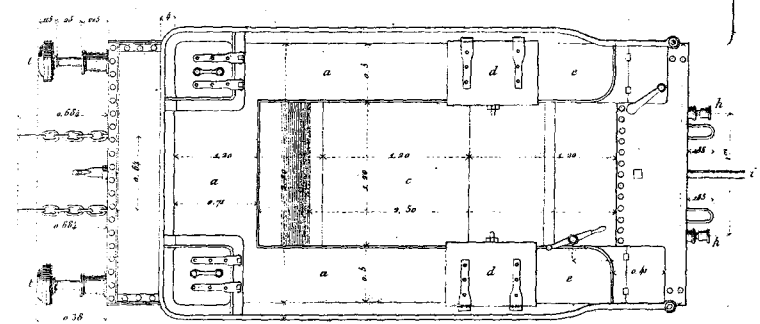


Fig. 318.



Freno.

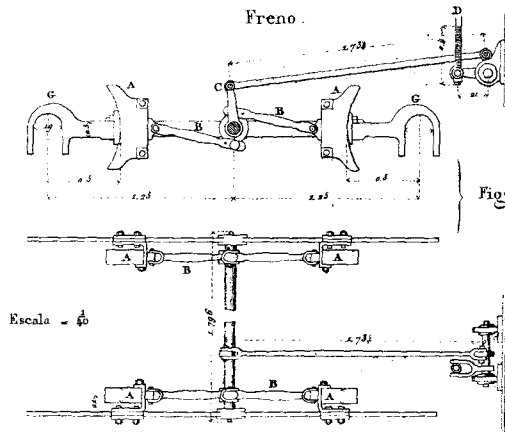


Fig. 319.

Escala = $\frac{1}{40}$

(La explicación al principio del atlas.)

Fig. 520.

SISTEMA DE CRAMPTON

Escala 50

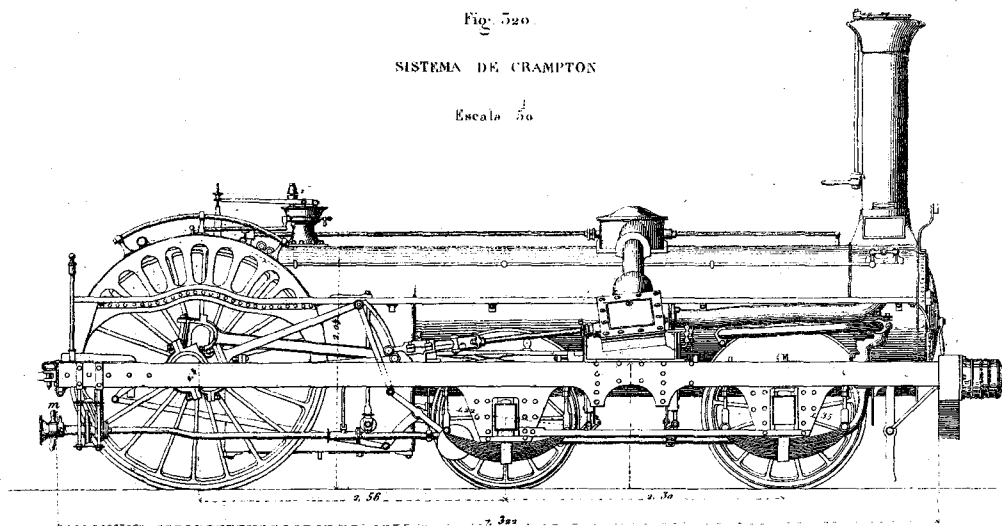


Fig. 521.

Distribucion del vapor
Sistema de Mayer

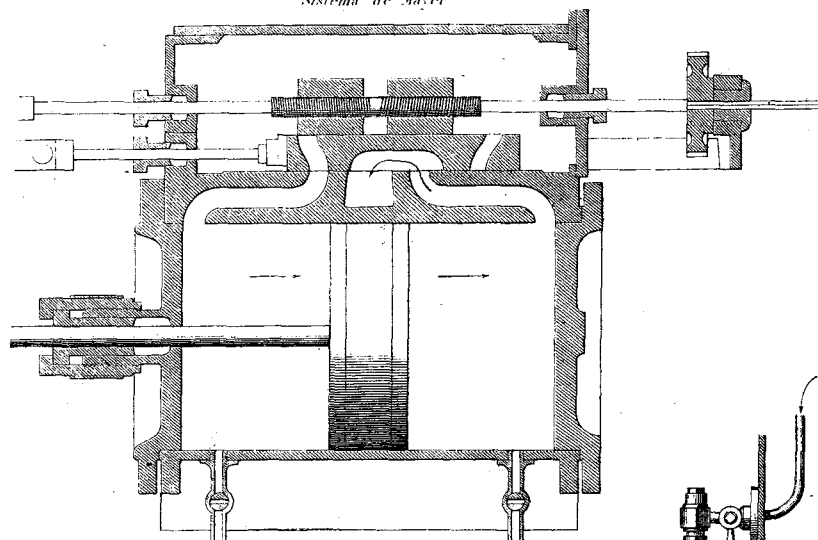


Fig. 525.

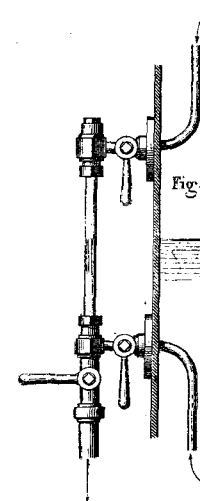


Fig. 524

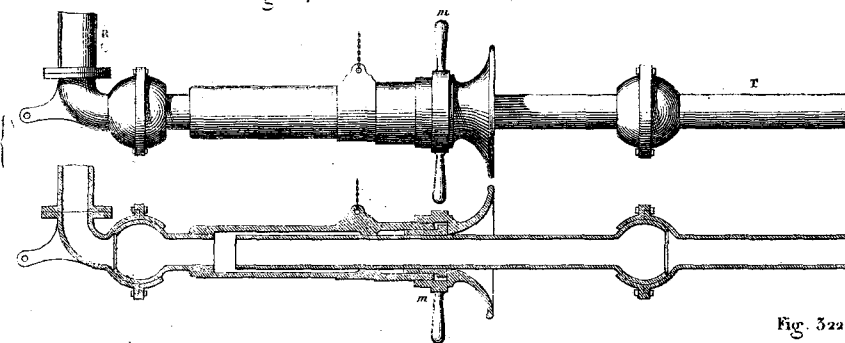


Fig. 523.

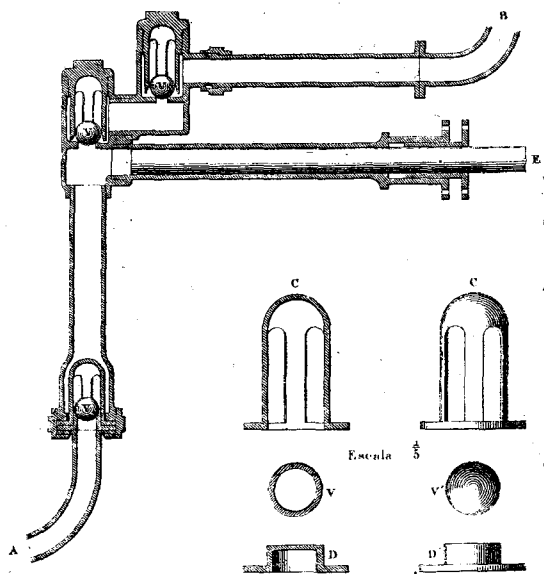
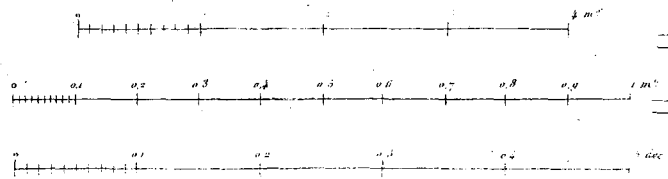
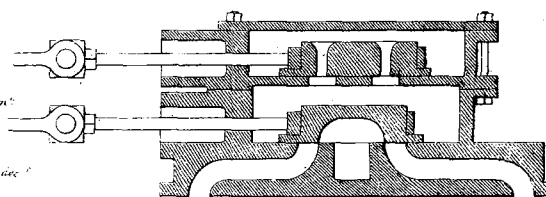


Fig. 522.

Distribucion del vapor
Sistema de Götzenbach



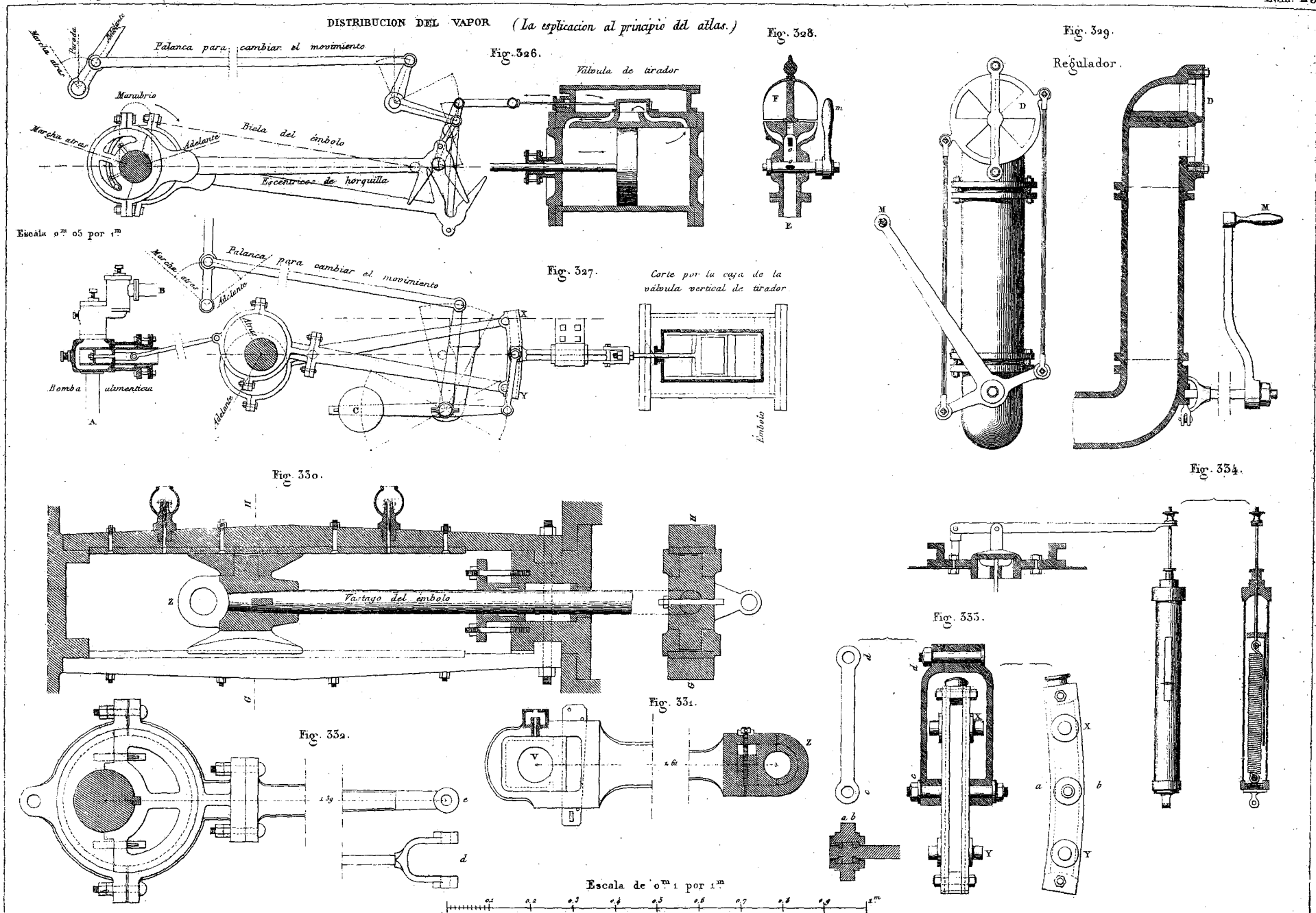


Fig. 1'

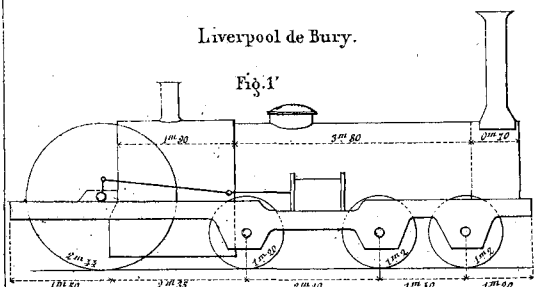


Fig 2'

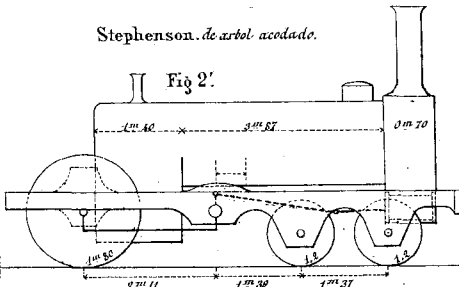


Fig.5':

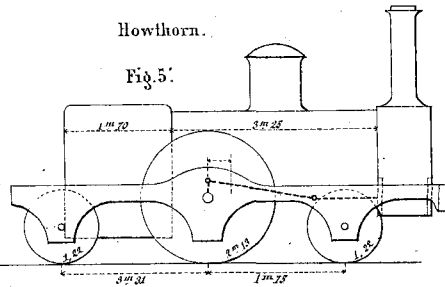


Fig. 3:

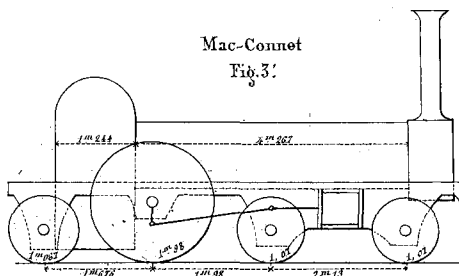


Fig. 4

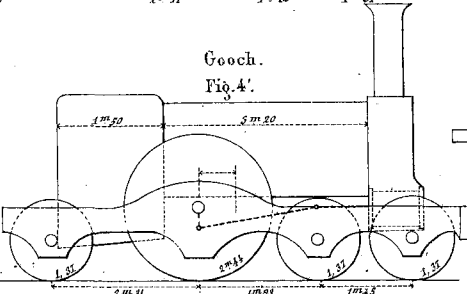


Fig. 6.

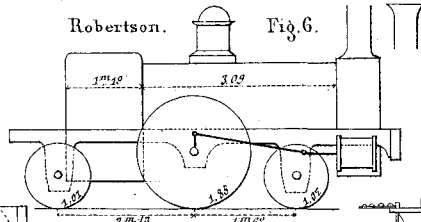


Fig 7:

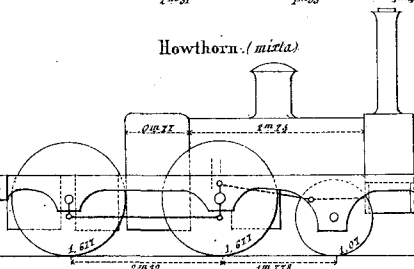
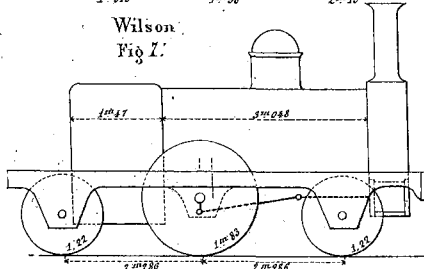


Fig.9'

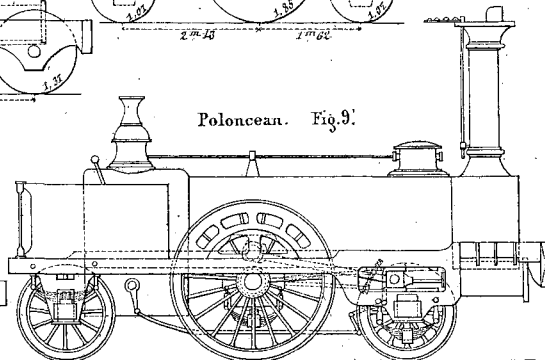


Fig. 8'

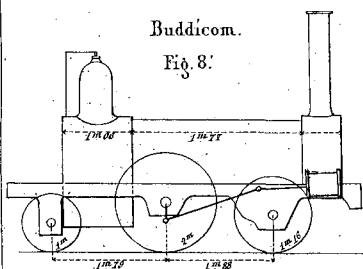


Fig. 10'

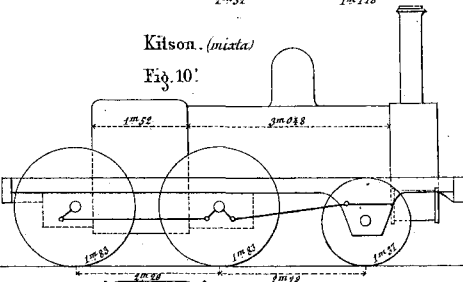


Fig.11:

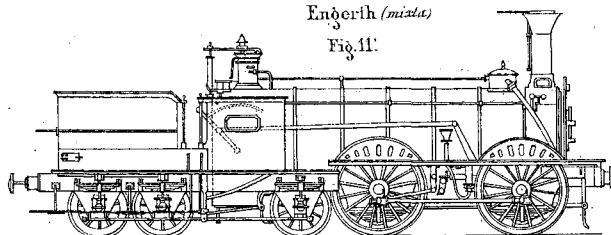


Fig. 12'

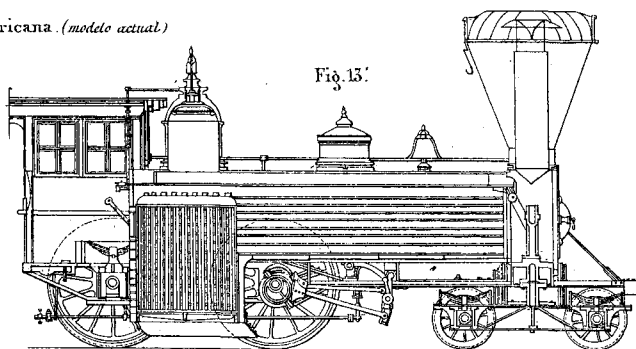
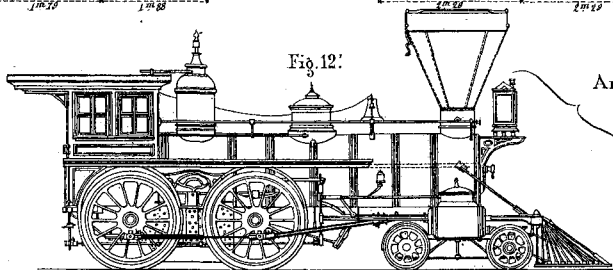


Fig. 13.

Fig. 15:

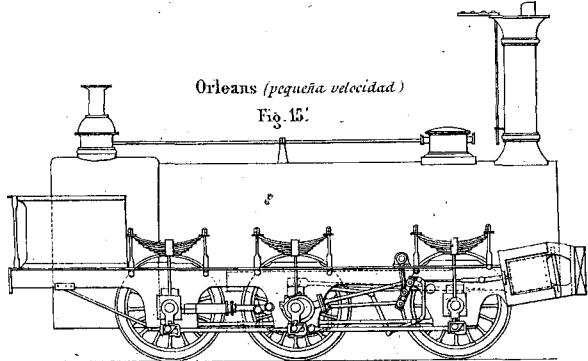
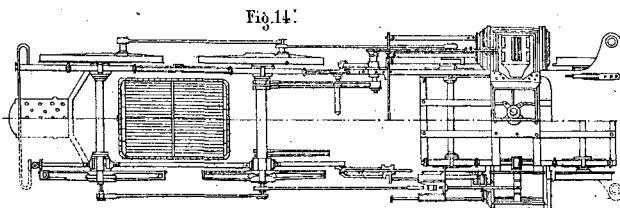


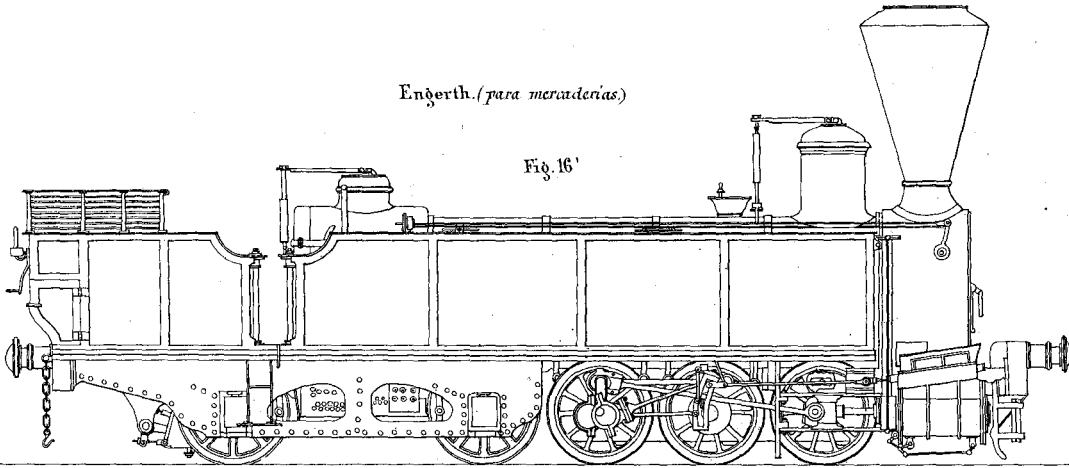
Fig. 14:



(Véase la explicación al principio del atlas)

Engerth. (para mercancías.)

Fig. 16'



Engerth, francesa.
Fig. 17'

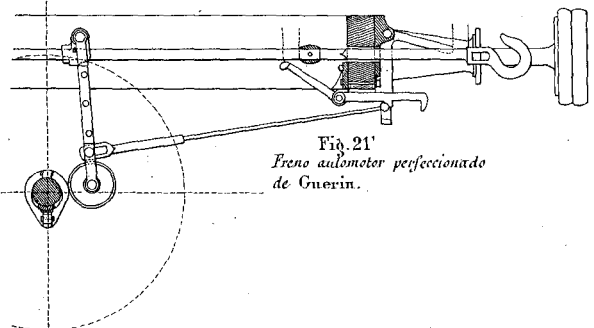
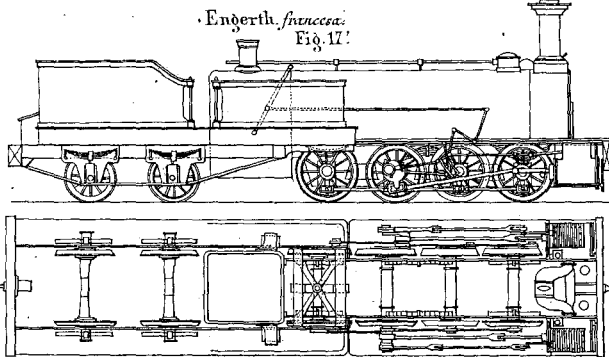


Fig. 21'
Freno automotor perfeccionado
de Guerin.

(Véase el principio del atlas.)

Waessen. (para mercancías.)

Escala - $\frac{1}{80}$

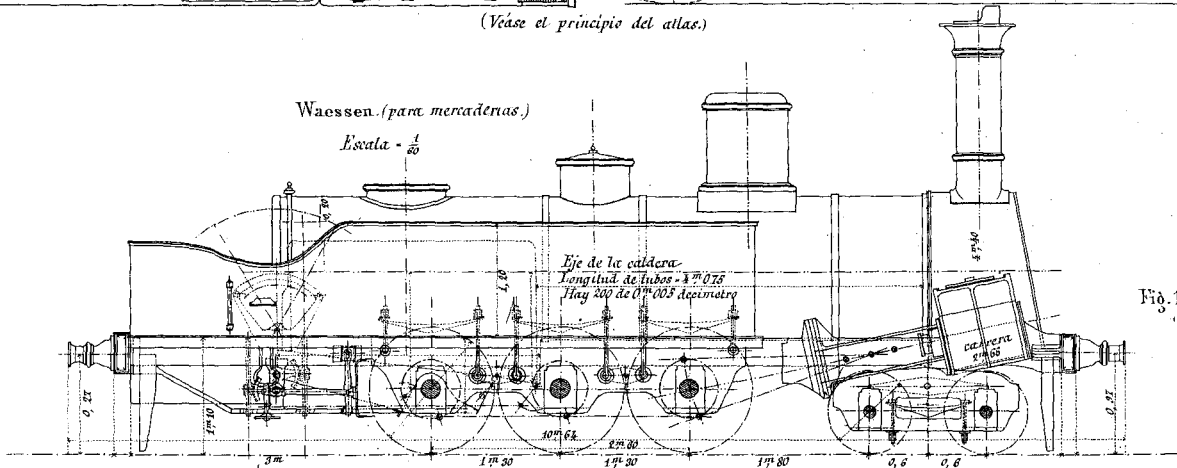


Fig. 18'

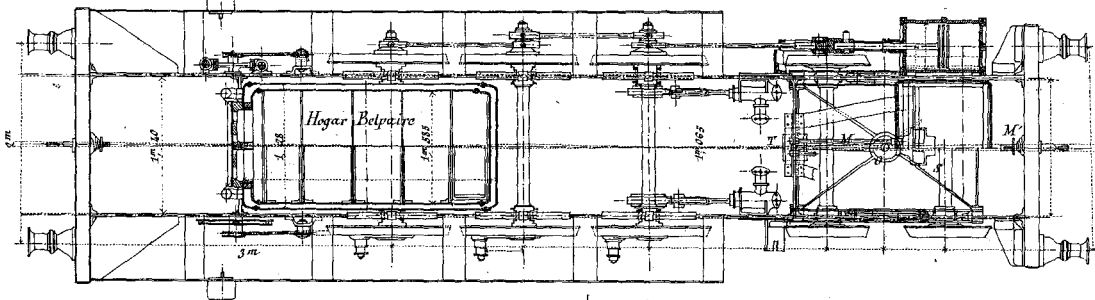


Fig. 19'

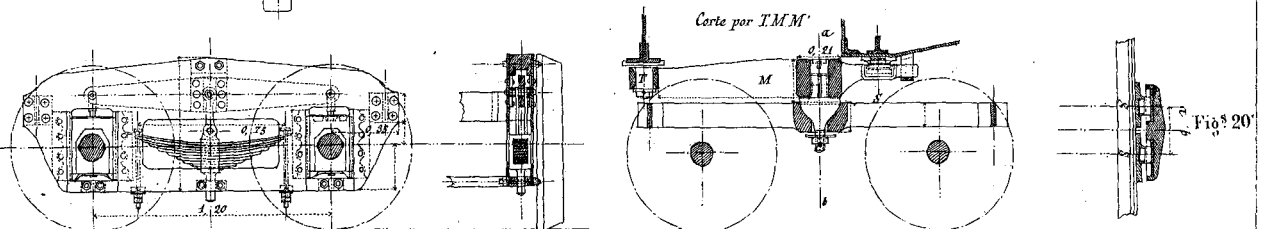


Fig. 20'

Calórica de Reintín.

El juego y órganos son iguales a los de la calórica Ericsson con la sola diferencia de tener el embolo alimenticio D dos vástagos que luden en el émbolo motor C.

B= Centímetro.

B= Hogar

B= Calentador.

P= Canal de donde pasa el fuego del hogar y da dos vueltas por P' escapando luego a la atmósfera por L.

E= Puerta del hogar

N= Caja de agua

R= Válvula central de escape.

Q= Eje del volante.

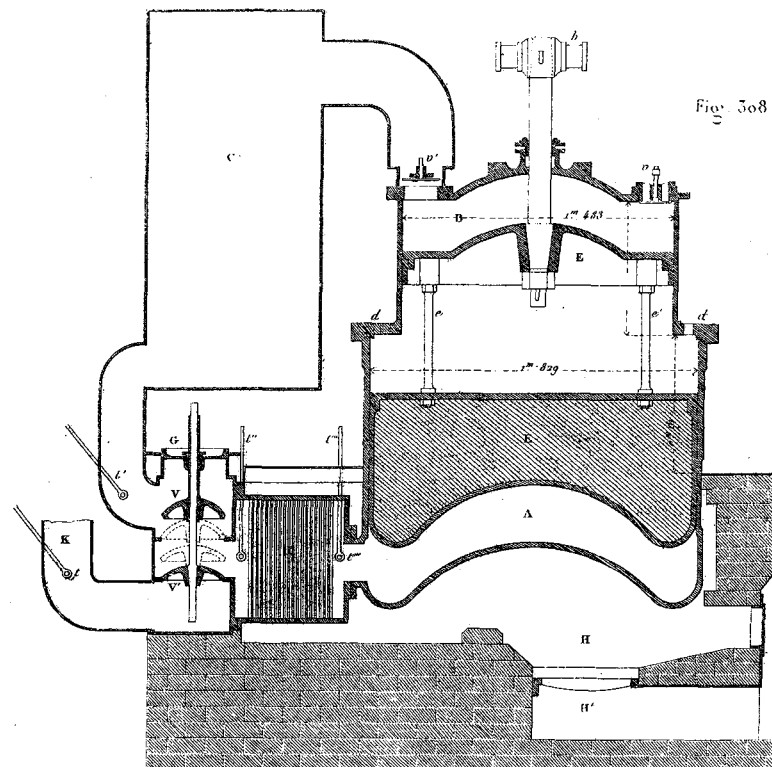
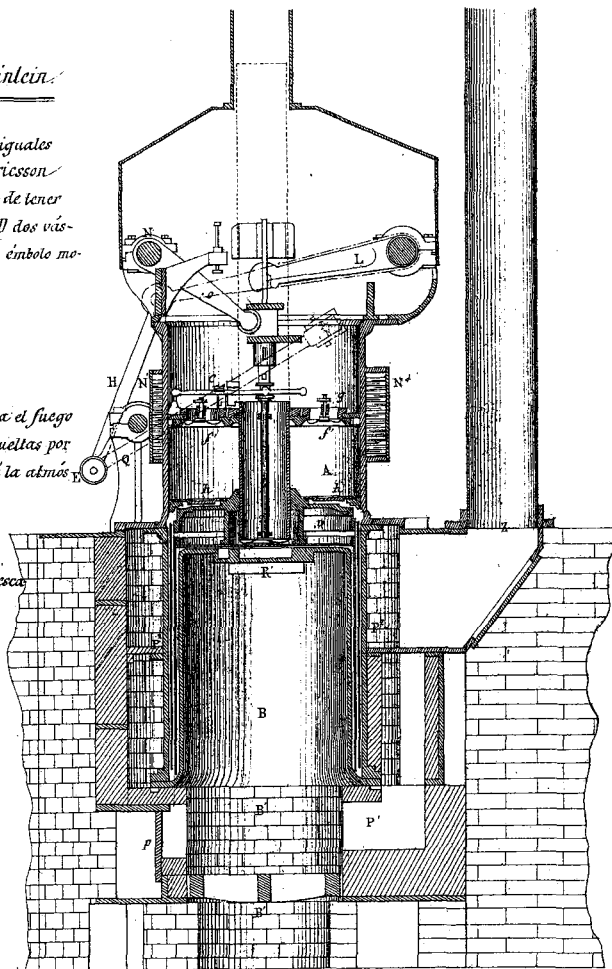
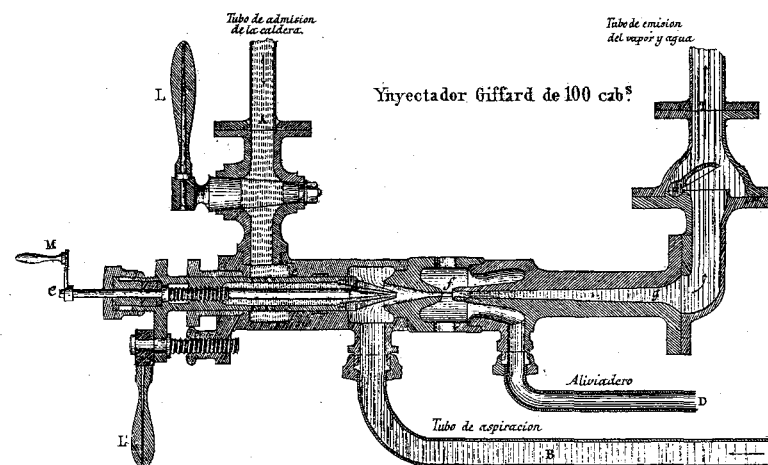
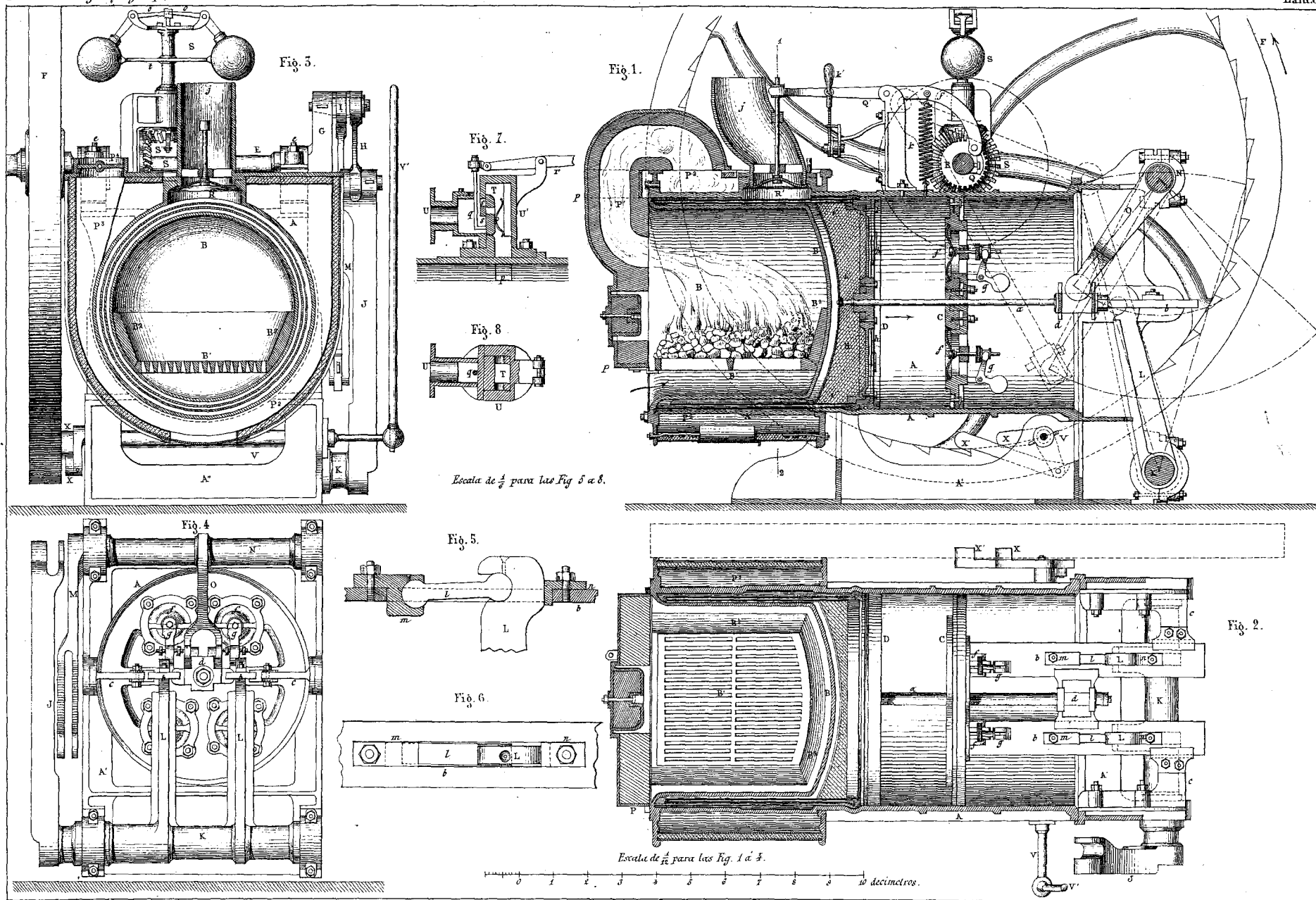


Fig. 308.





Calórica de Girard.

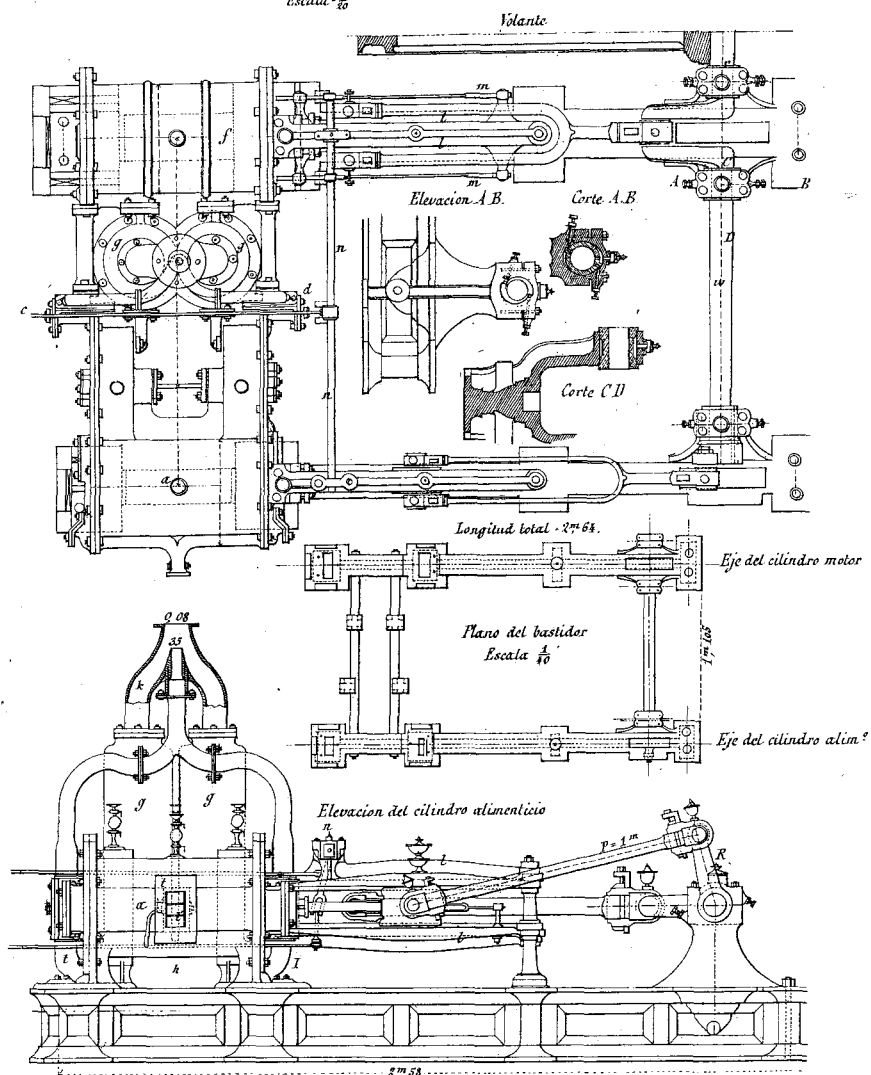
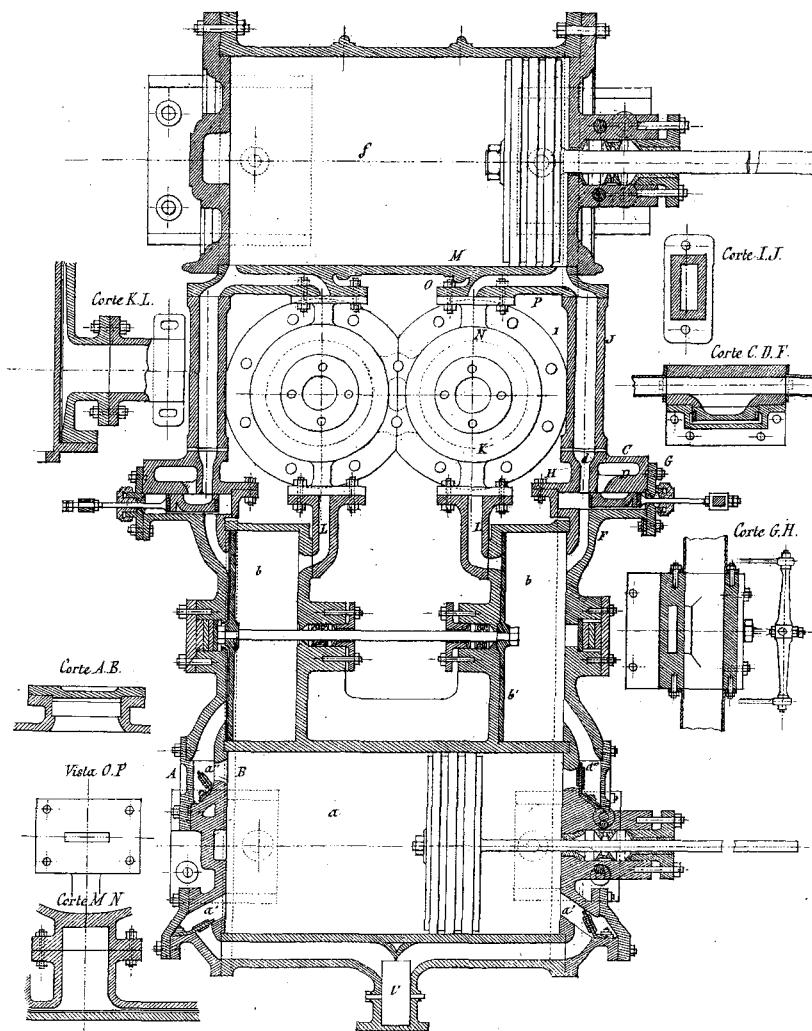
Plano general
Escala $\frac{1}{50}$ Maquina de 3 caballos
Escala $\frac{1}{10}$ 

Fig. 335.

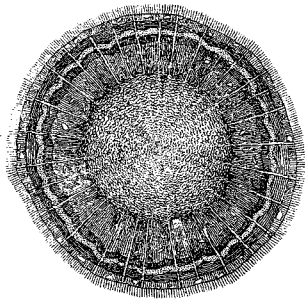


Fig. 336.

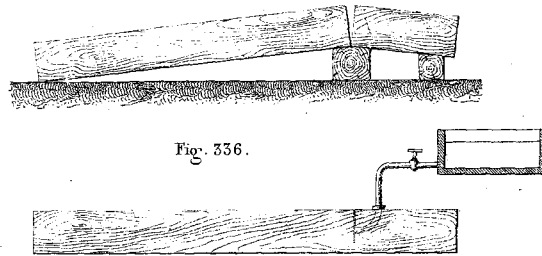


Fig. 338.

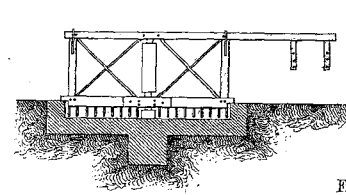


Fig. 337.

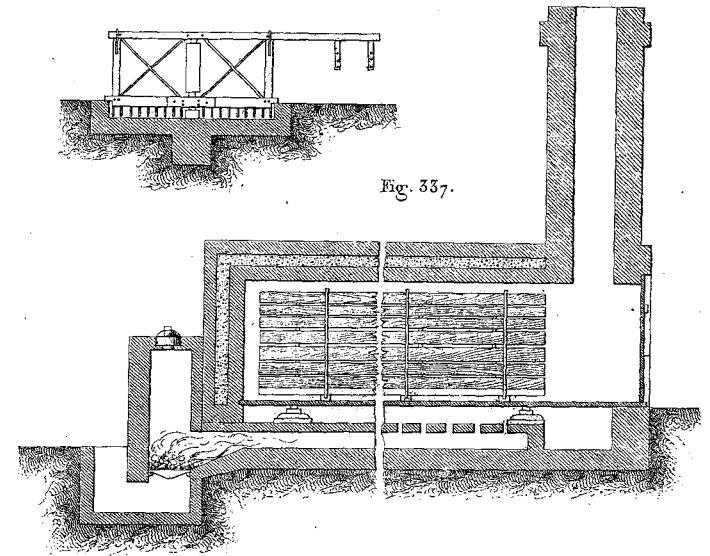


Fig. 339.

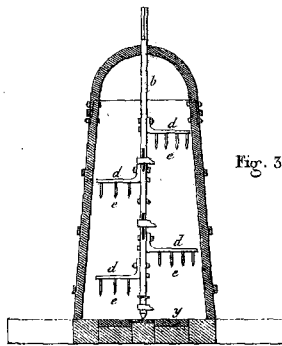


Fig. 340.

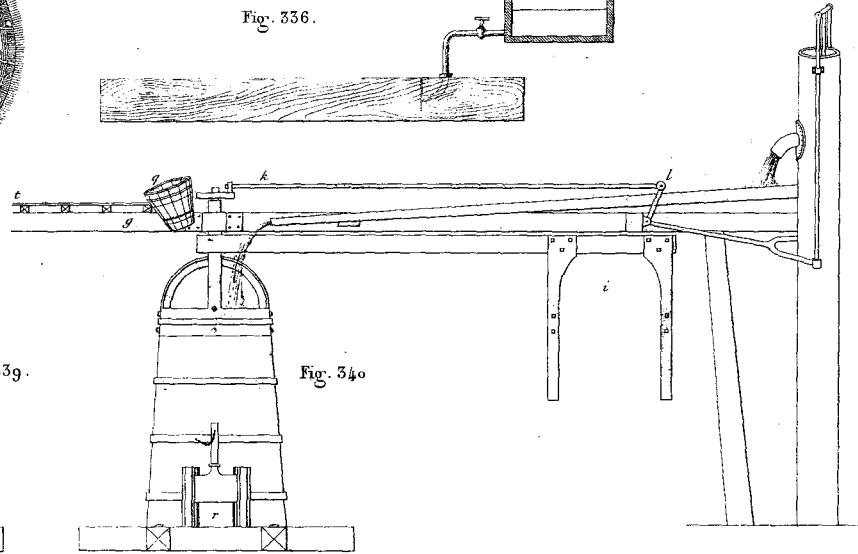


Fig. 341.

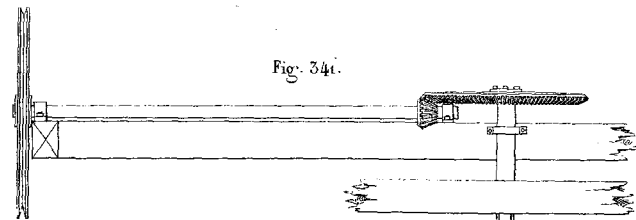


Fig. 342.

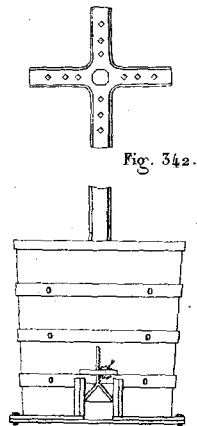
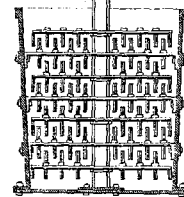
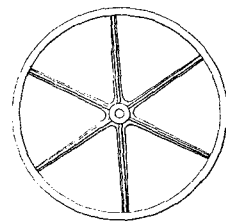
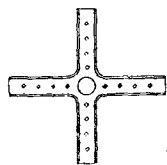
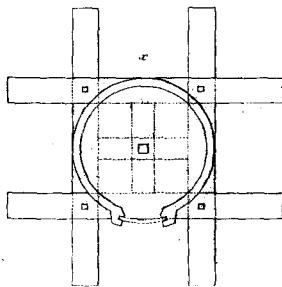
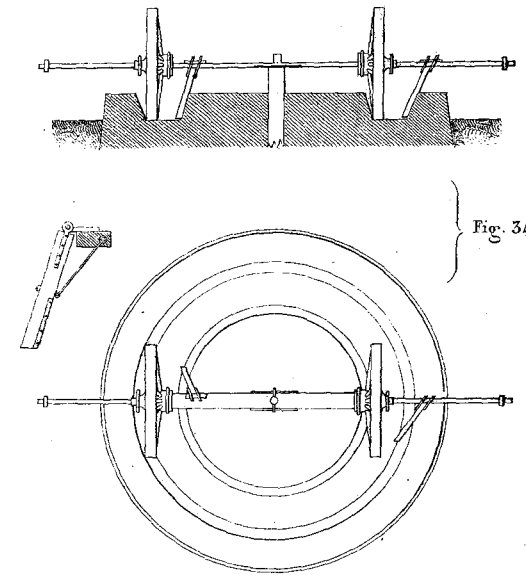


Fig. 343.



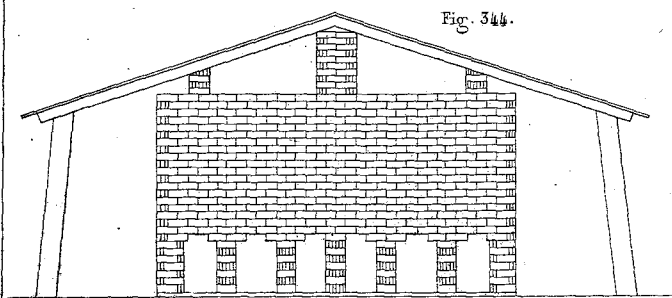


Fig. 344.

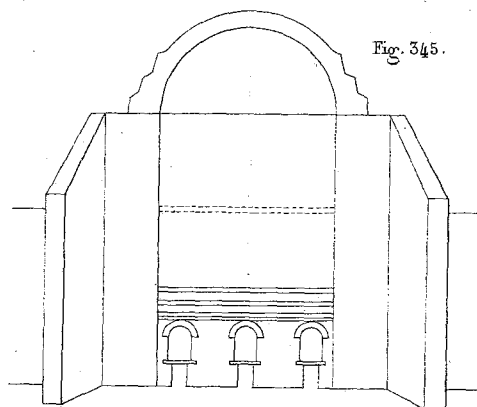


Fig. 345.

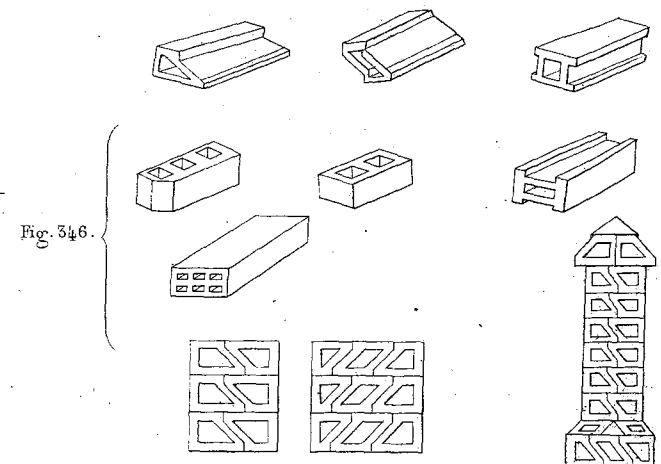


Fig. 346.

Fig. 347.

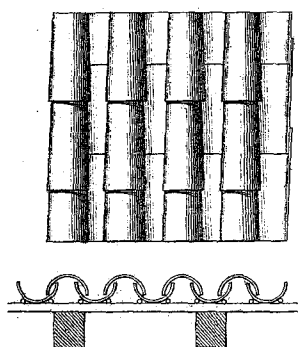


Fig. 348.

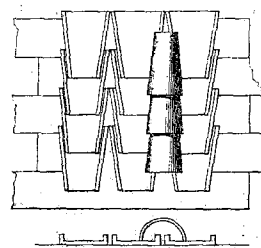


Fig. 349.

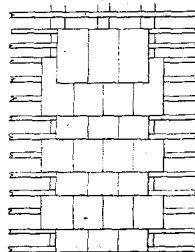


Fig. 350.

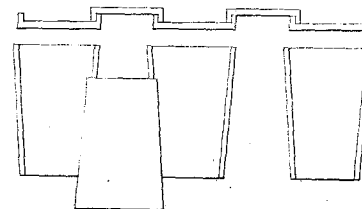


Fig. 352.

Horno de cal á fuego continuo.

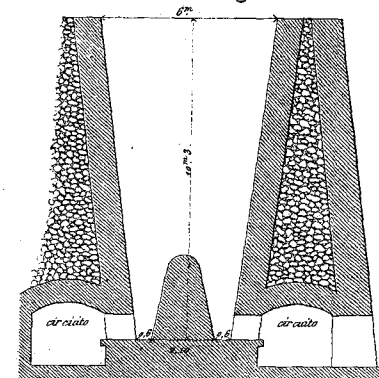


Fig. 353.

Horno de cal á fuego periódico.

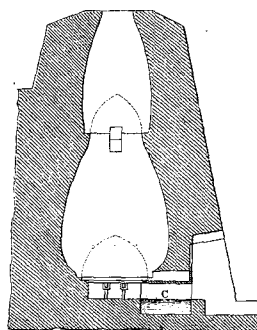


Fig. 354.

Horno para puzolana

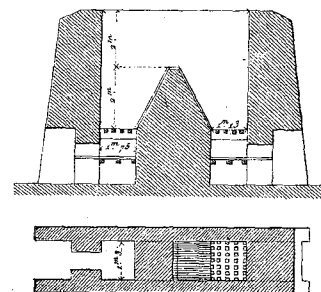
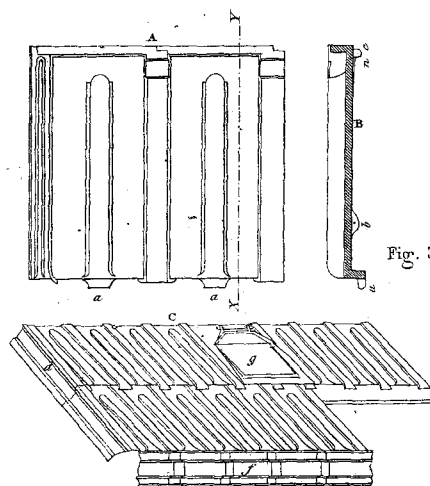


Fig. 351.



Horno para yeso.

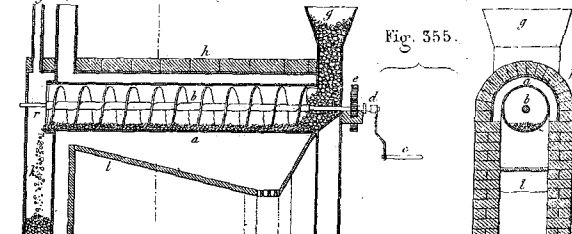
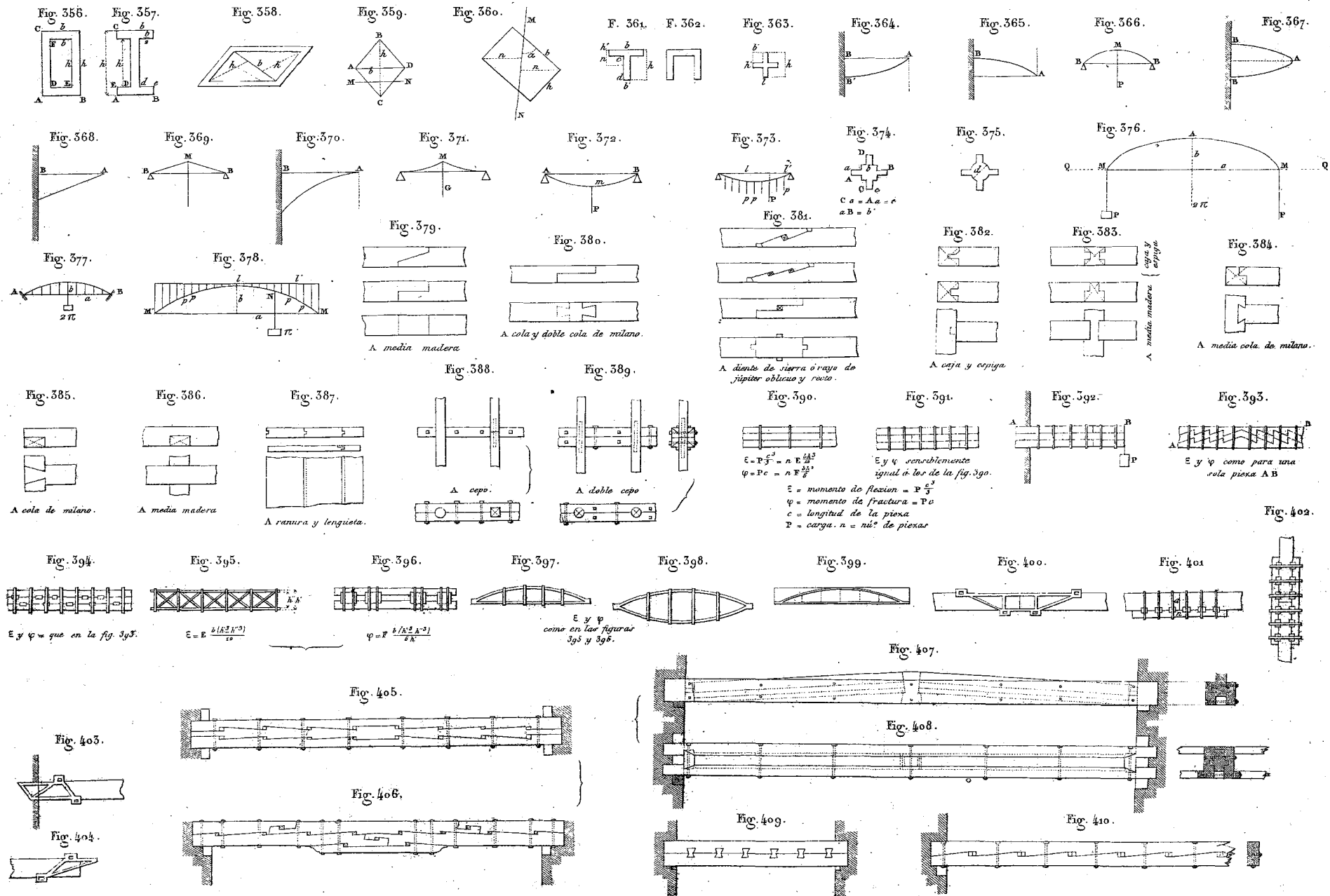


Fig. 355.

Escala para las Fig. 352, 353 y 354 = 0.005 por 1.º



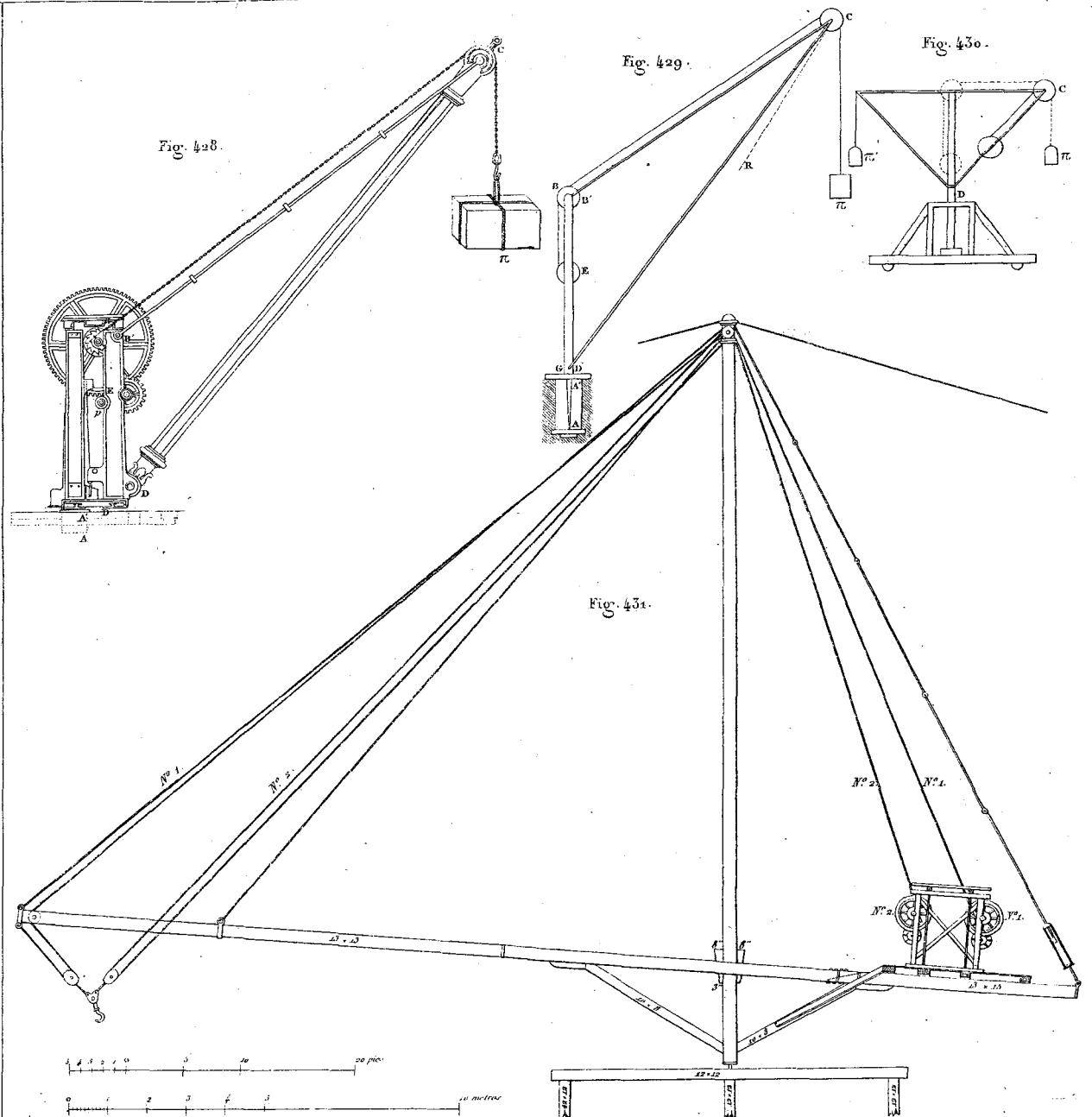
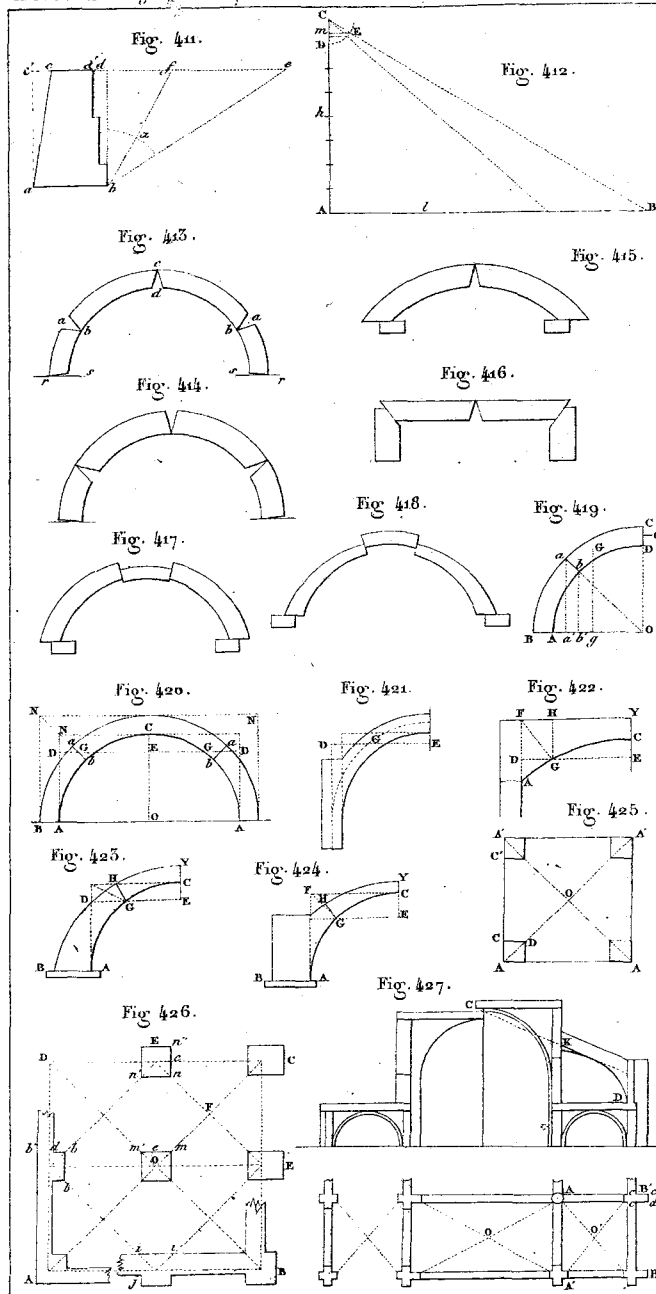


Fig. 1.

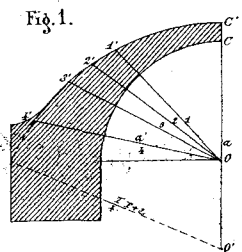


Fig. 2.

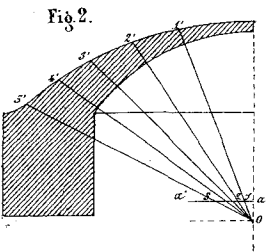


Fig. 3.

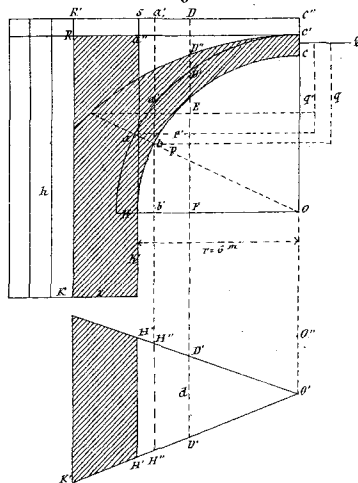


Fig. 4.

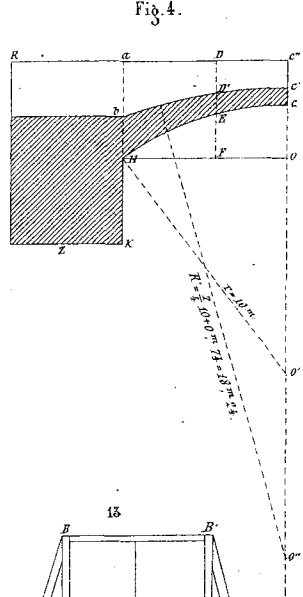


Fig. 5.

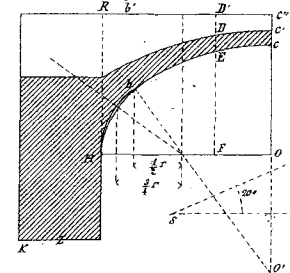


Fig. 6.

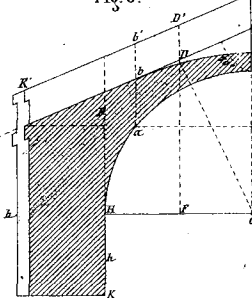


Fig. 6.

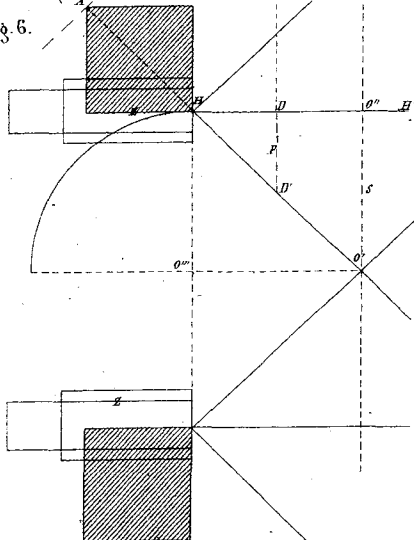


Fig. X.

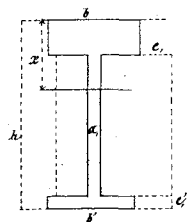


Fig. 10.

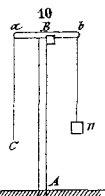


Fig. 11.

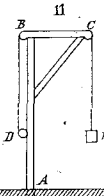


Fig. 12.

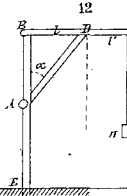


Fig. 13.

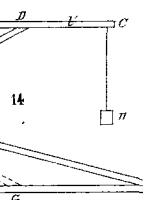
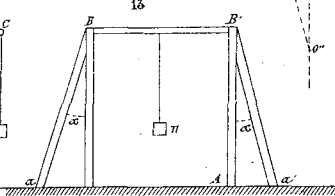


Fig. 15.

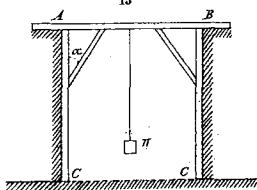


Fig. 16.

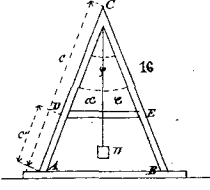


Fig. 17.

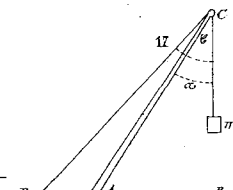


Fig. 18.

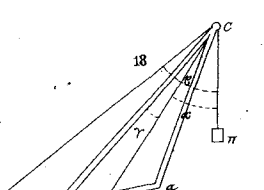
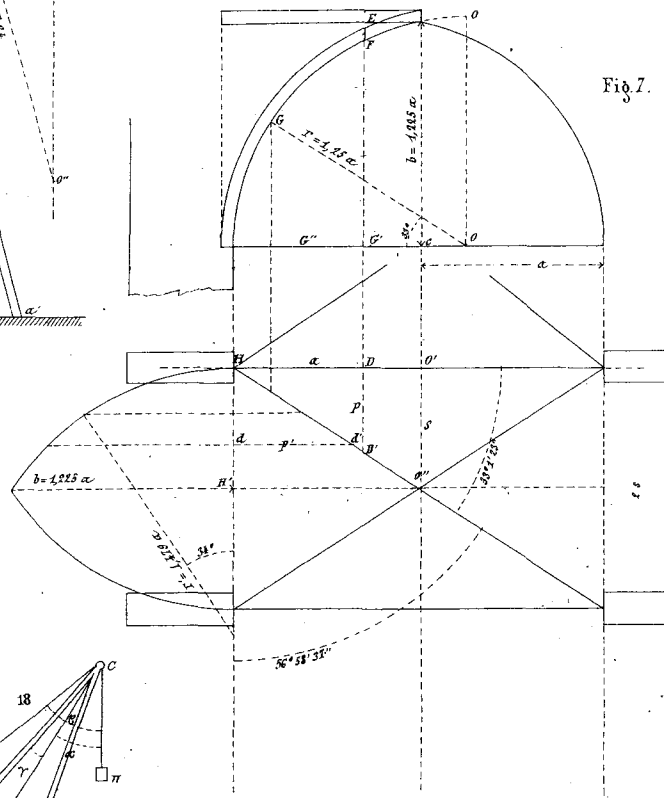


Fig. 7.



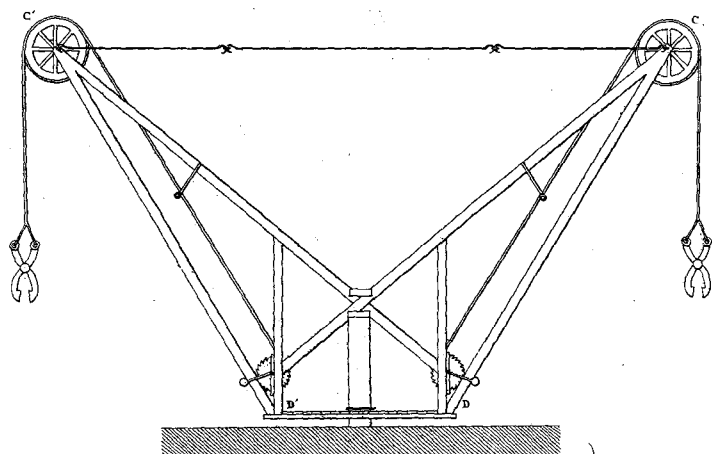


Fig. 432.

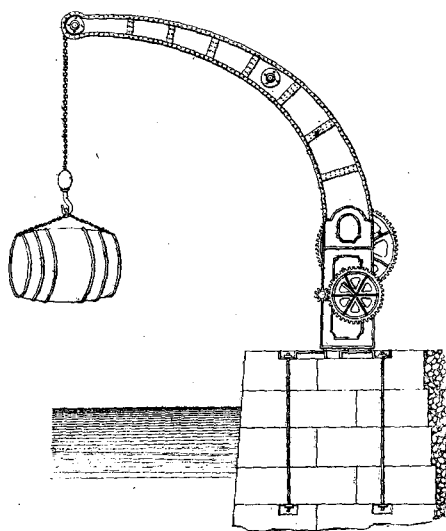
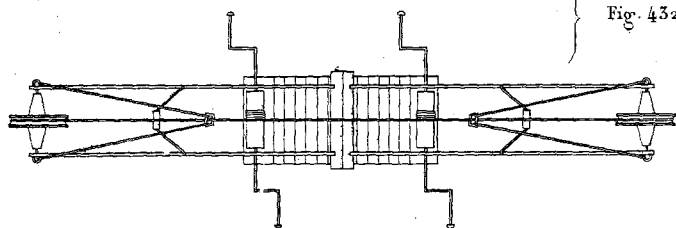


Fig. 434.

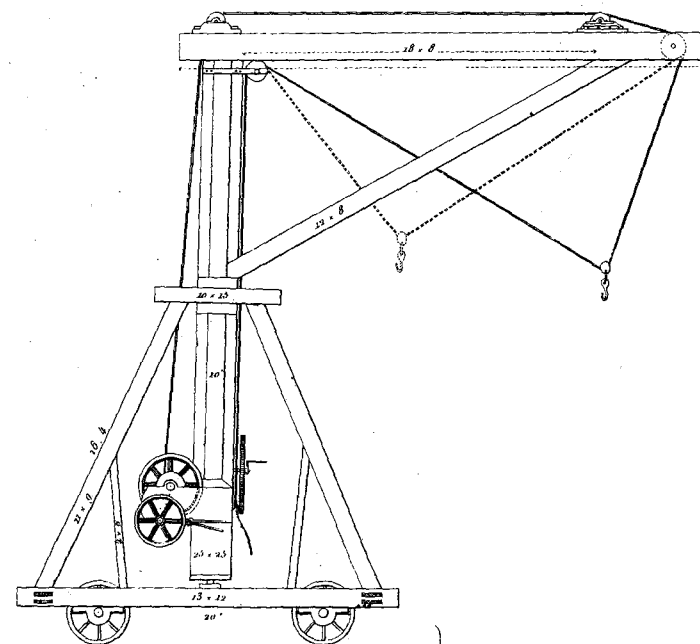
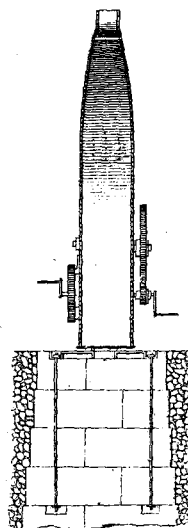
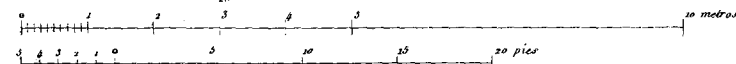
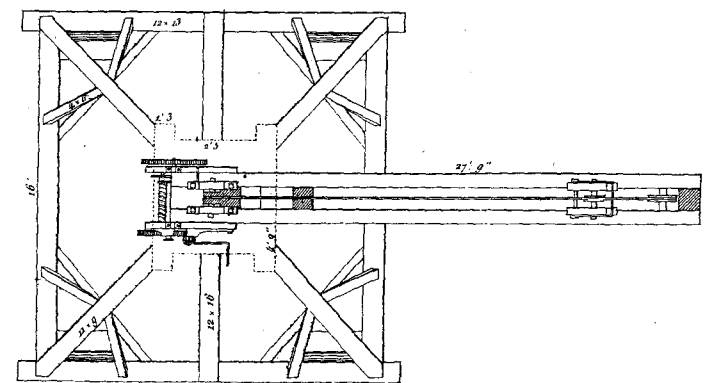
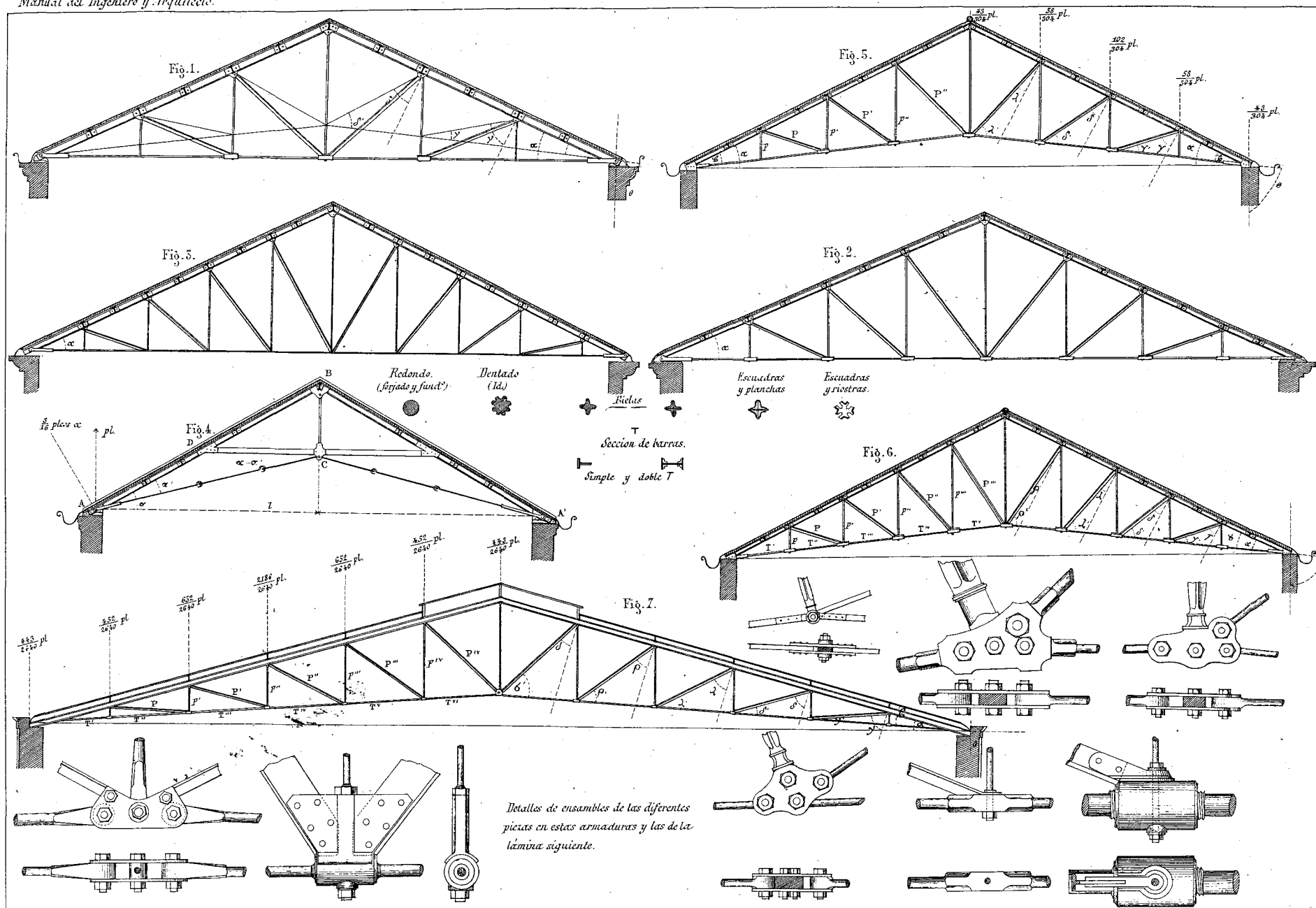


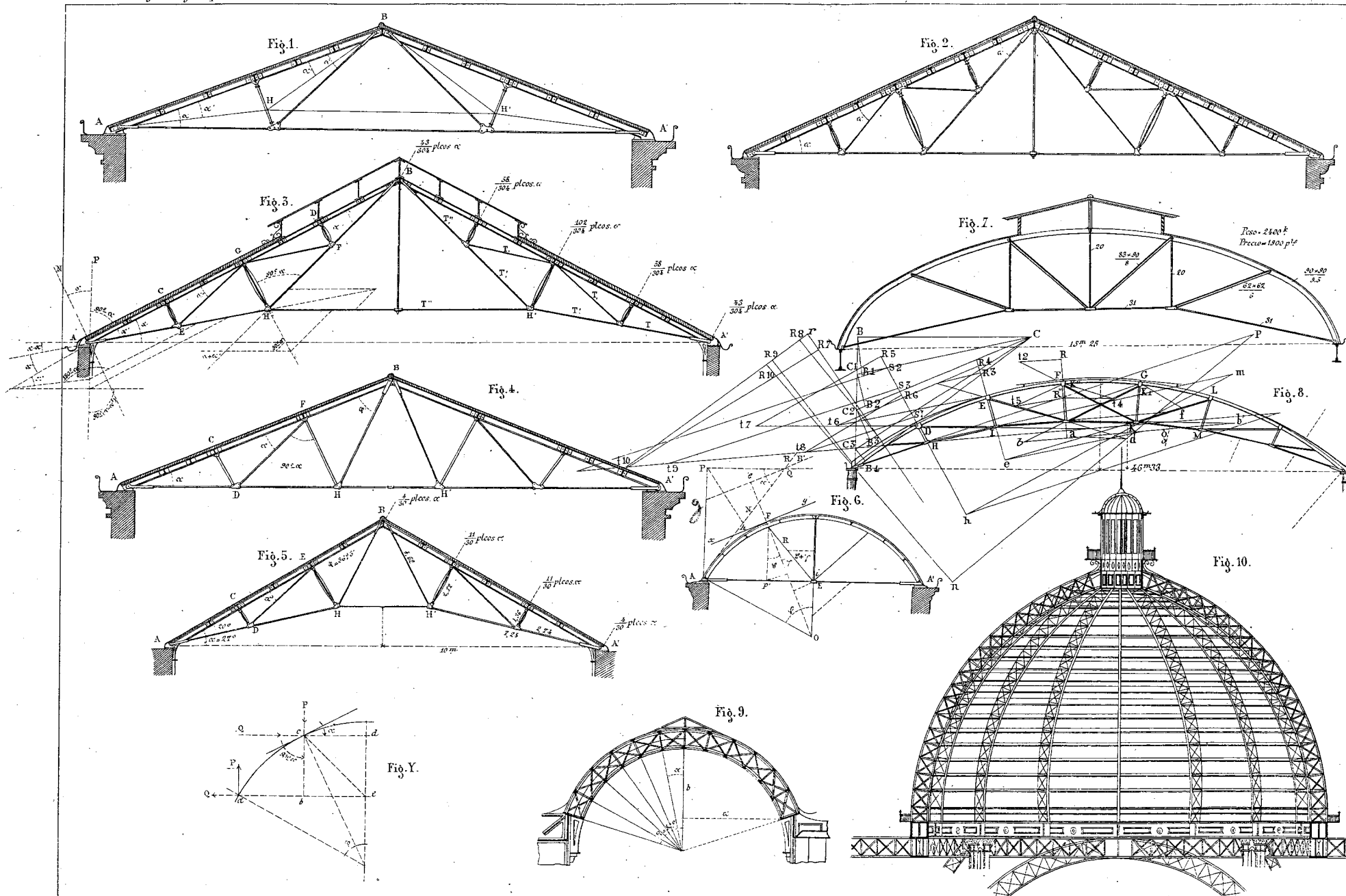
Fig. 433.

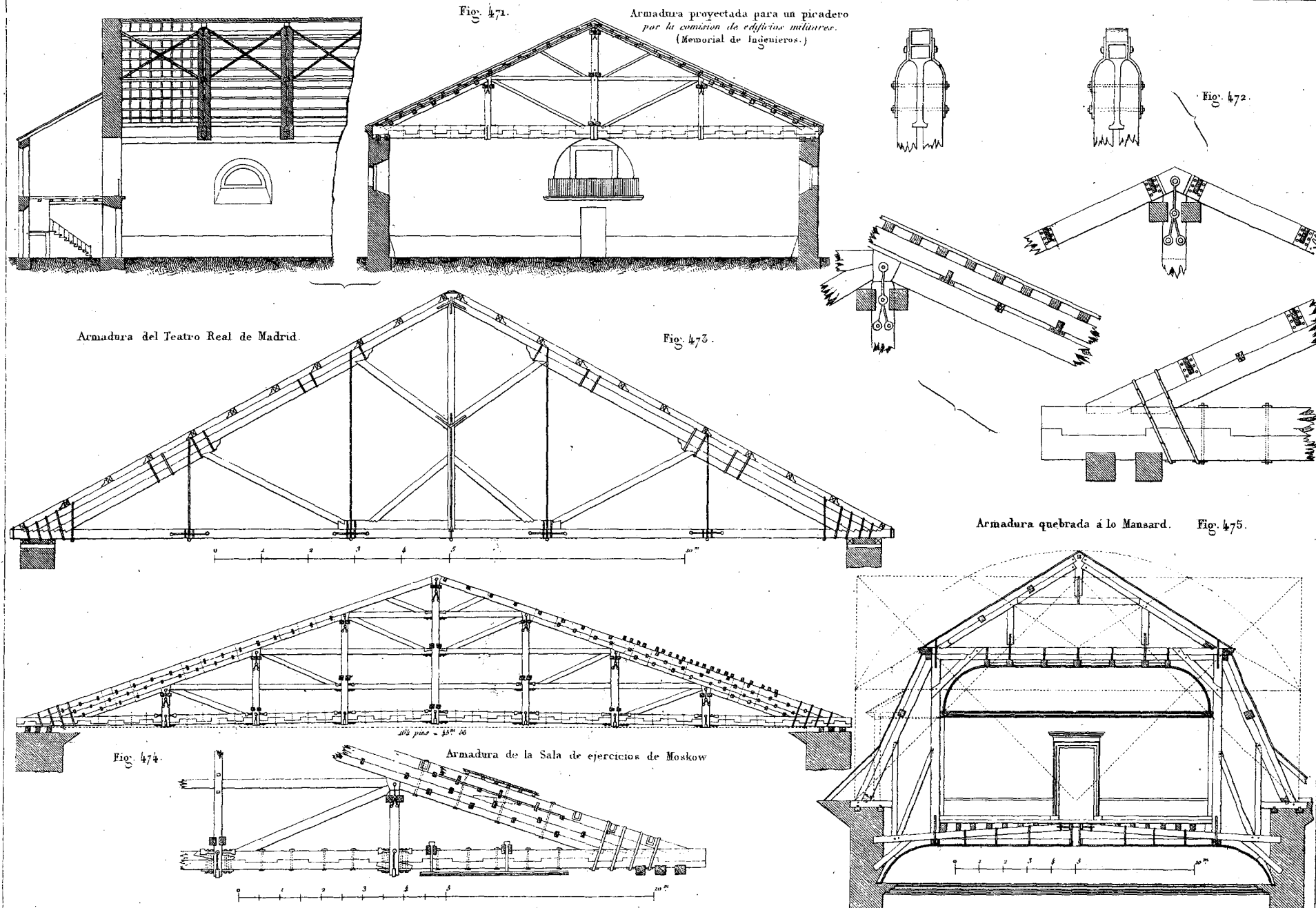




Valde: del







Armadura de palastro. (Estacion del Oeste. Paris)

Esfuerzos de tension y presion calculados
bajo una carga de 30^t por 1^m²

Tension	f c	70687 ^t 66
	d e	63686. 25
	a g	59810. 17
	f e	39265. 66
	g e	26677. 07
	b d, b g	75788. 89
Presion	a c	75788. 15
	d g	52025. 70

Lon. de la armadura	40 ^m
Longitud de la nave	106 ^m
Número de cerchas	16
Espacio entre cada dos	8 ^m
Número de viguetas	22
Peso de una cercha	9037 ^{kg}
Peso de la cubierta entre cada dos cerchas	450 ^{kg}

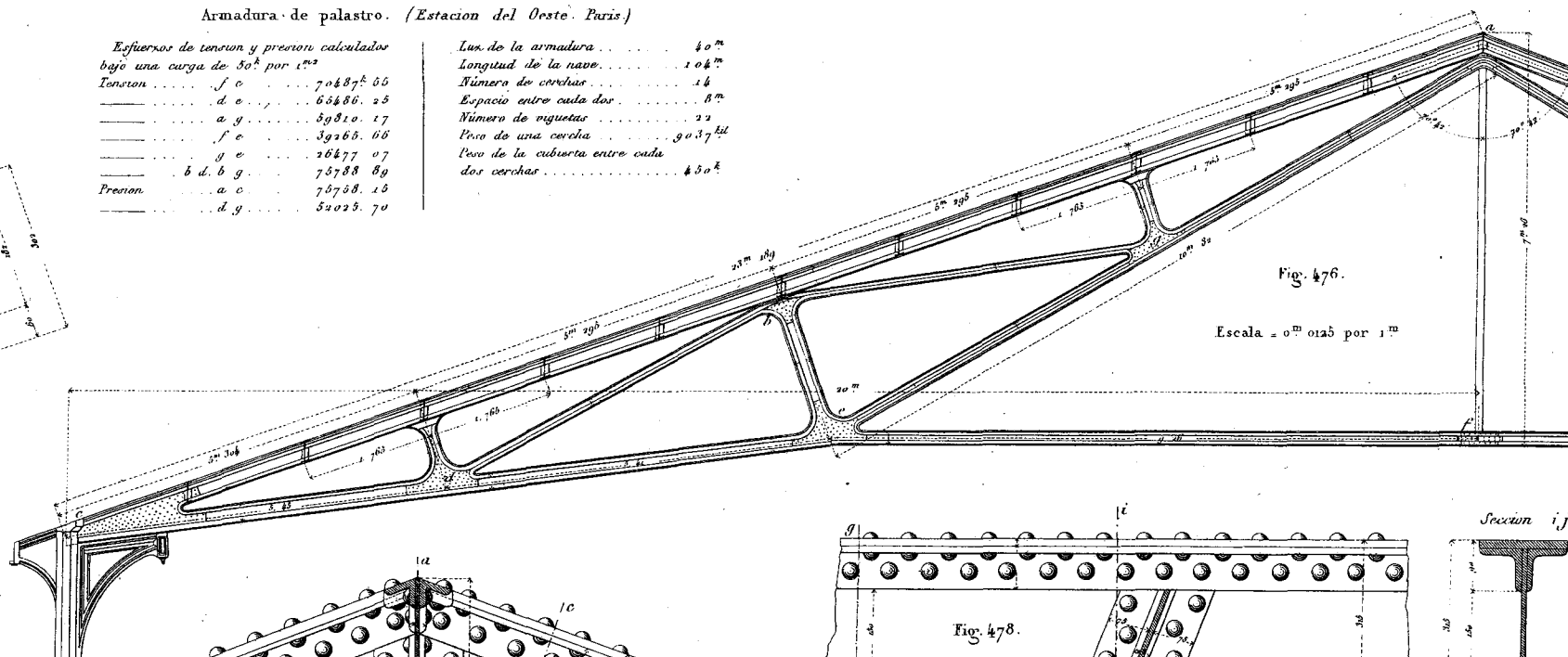


Fig. 476.

Escala = 0^m 0125 por 1^m

Seccion a b

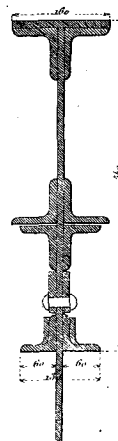


Fig. 477.

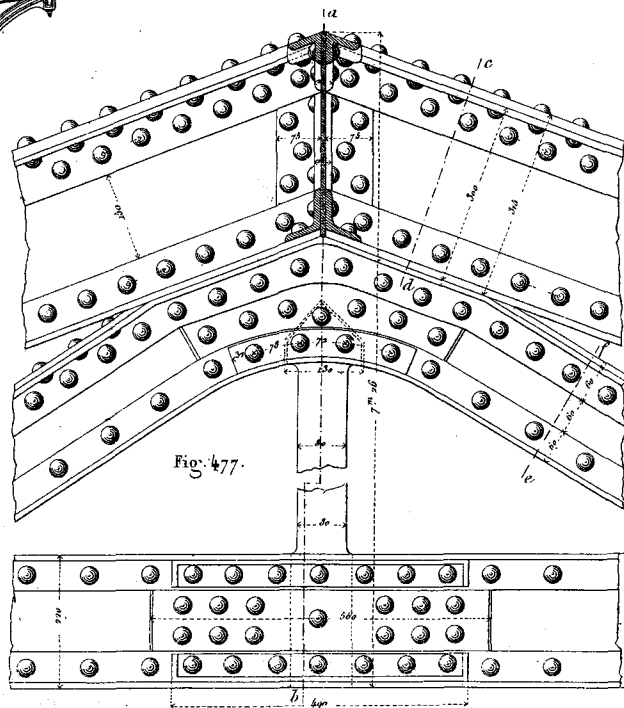
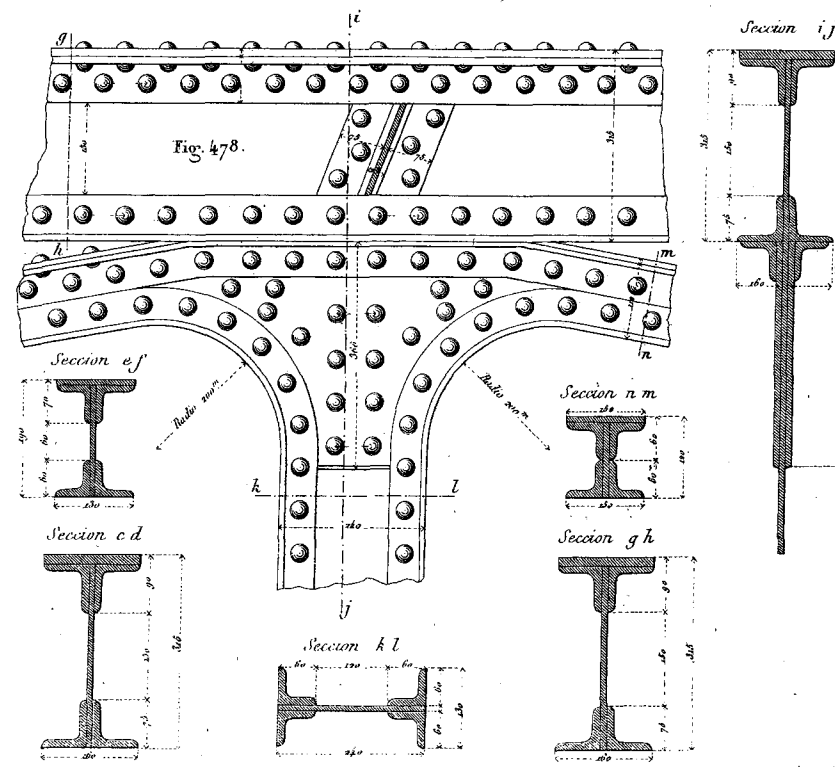
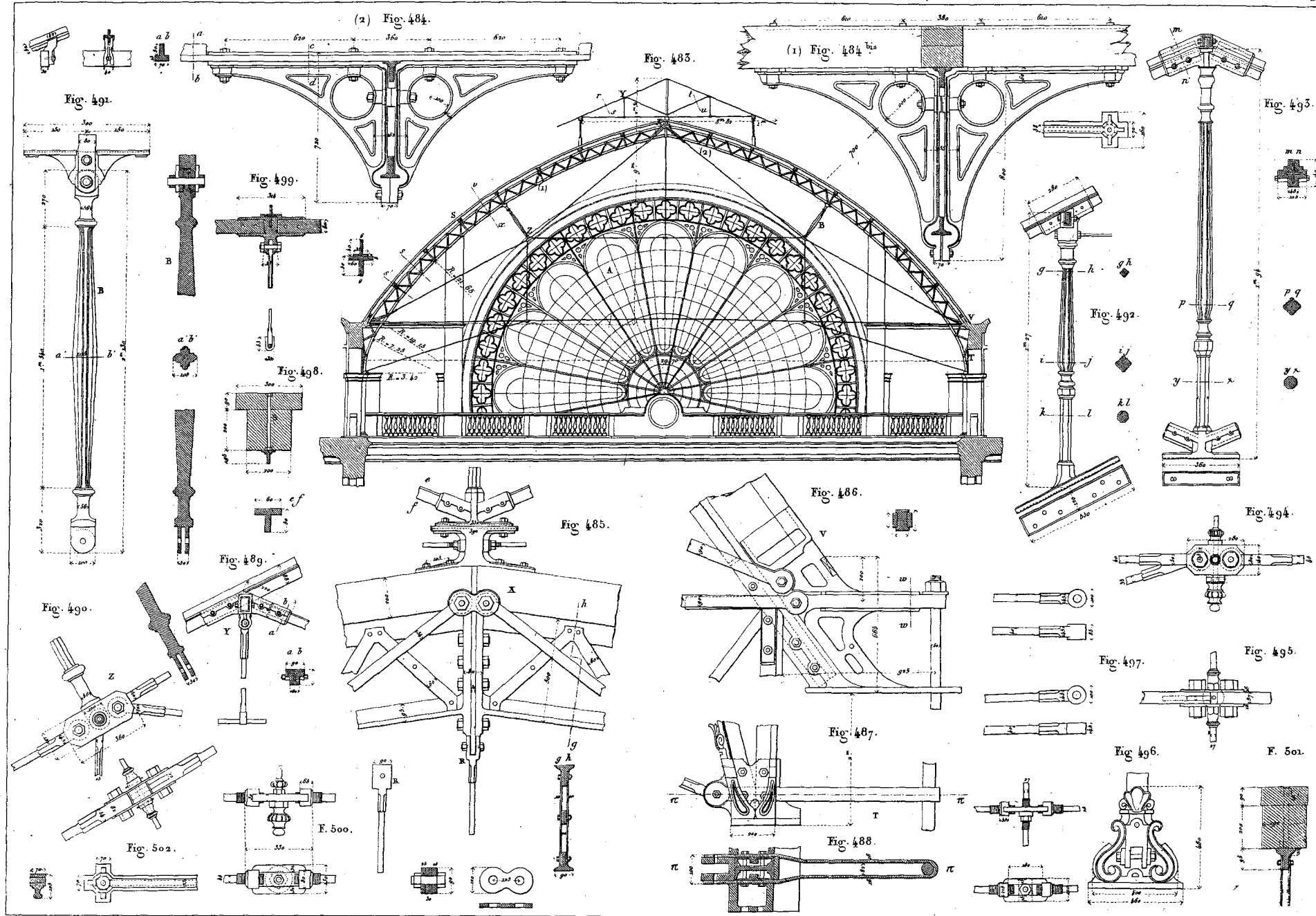
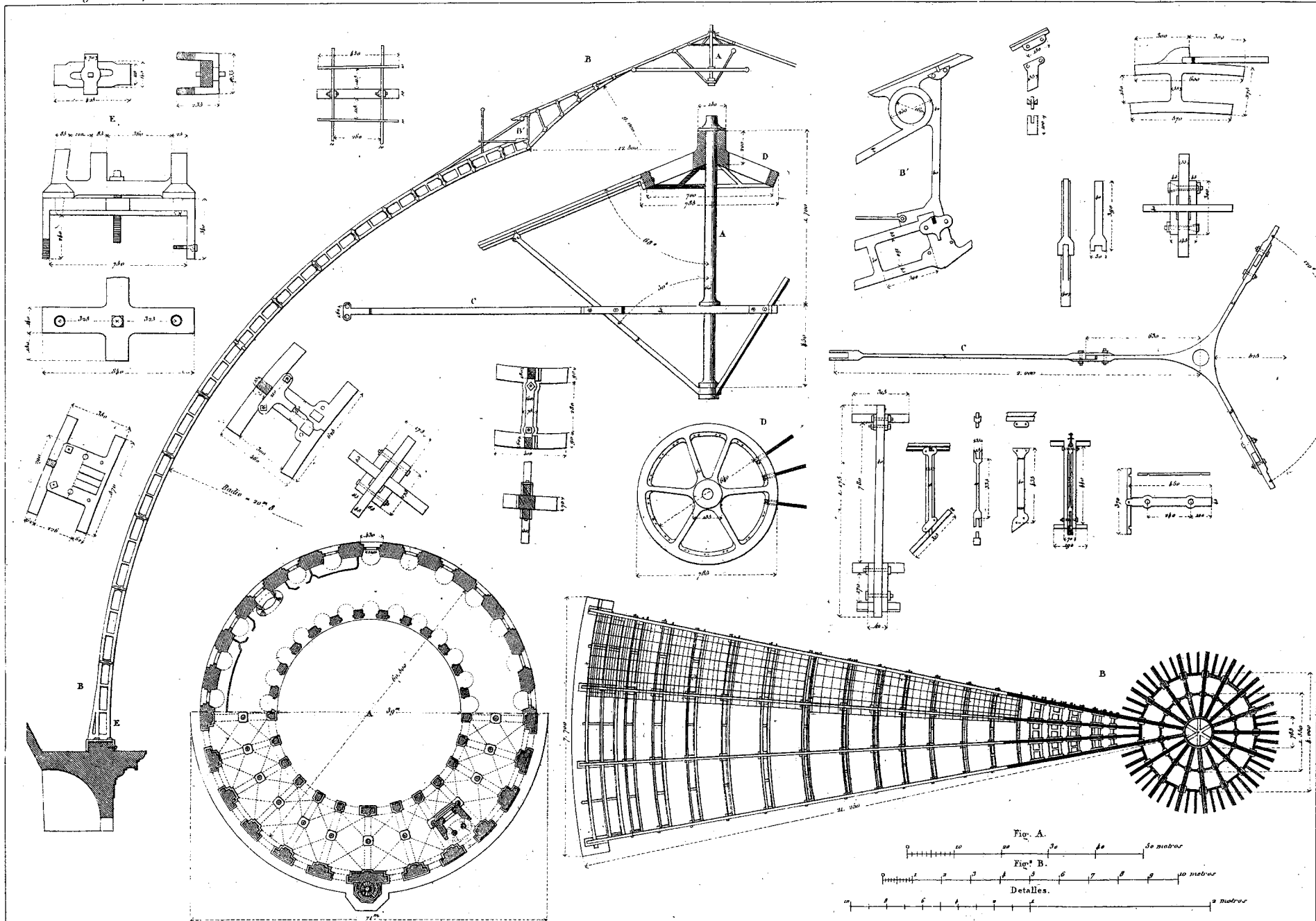


Fig. 478.

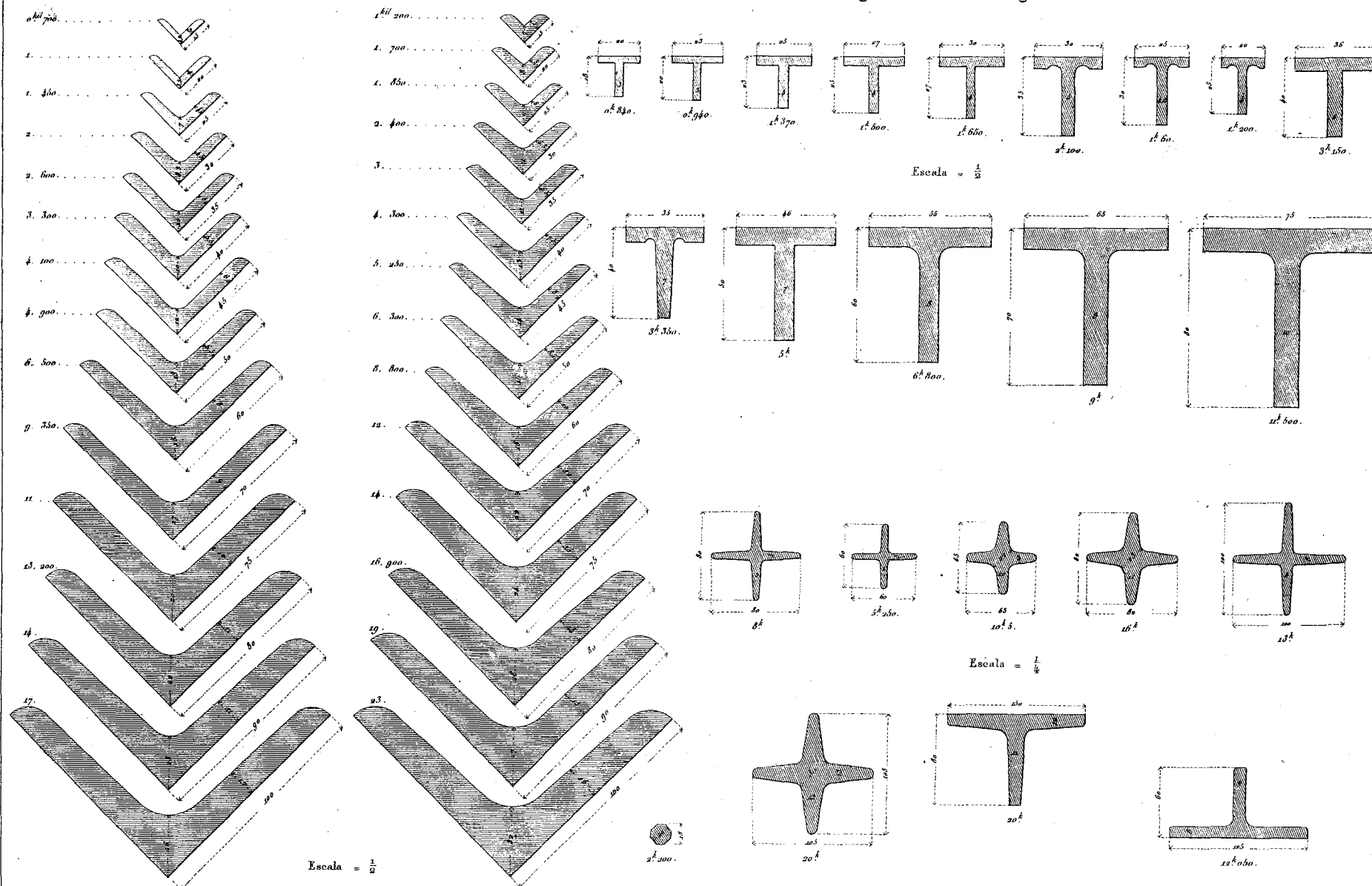
Escala
0^m 1 por 1^m

Armatura de la nave central de la estacion de Strasburg. (Paris).
 Fig. 483. Conjunto de la armadura y vista de la ventana superior del frente A.
 Escala = 0^m 005. Escala de detalles = 0^m 05.

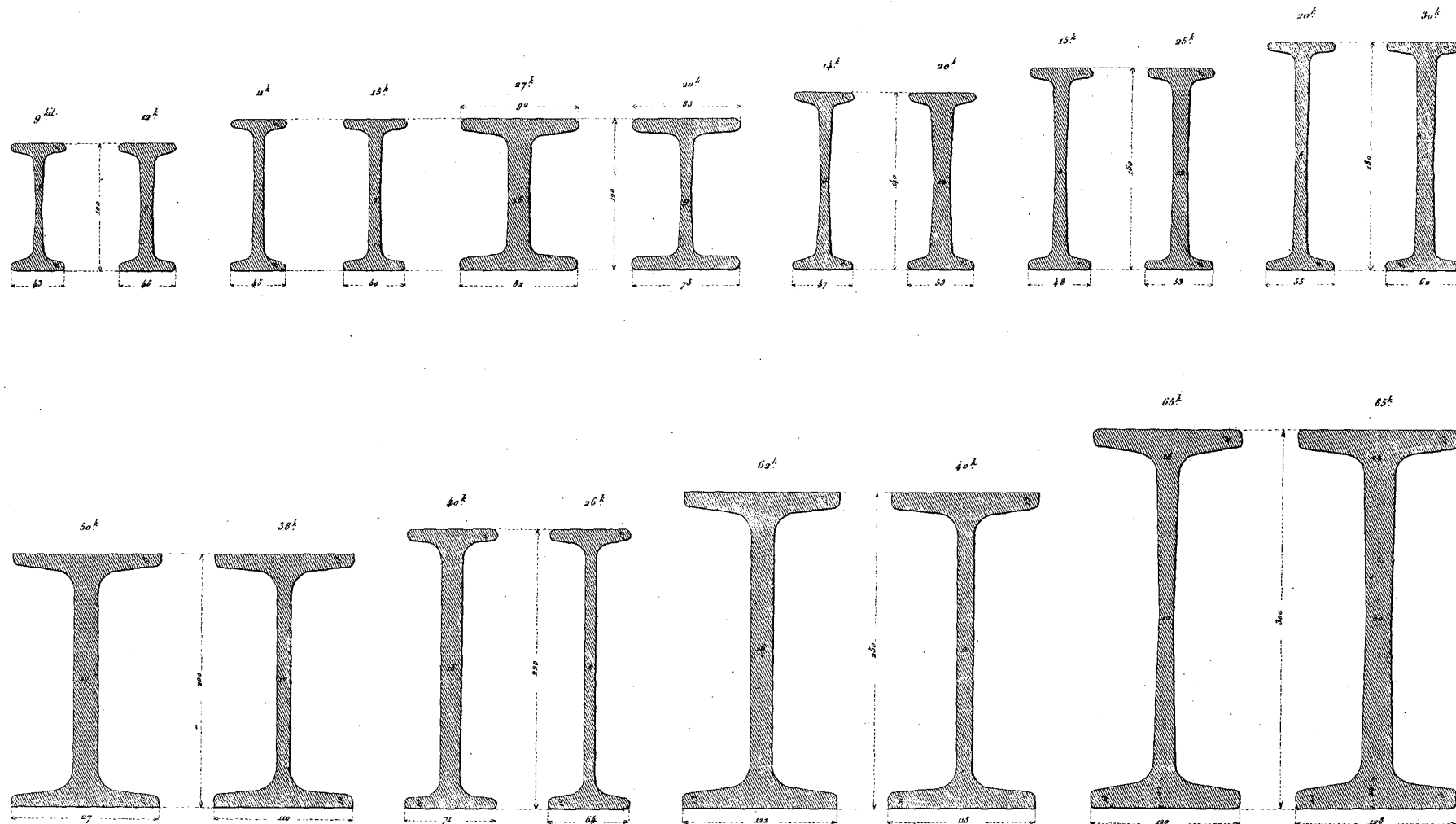




Las dimensiones espresan milímetros, y el peso es dado en kilogramos por 1^m de longitud.

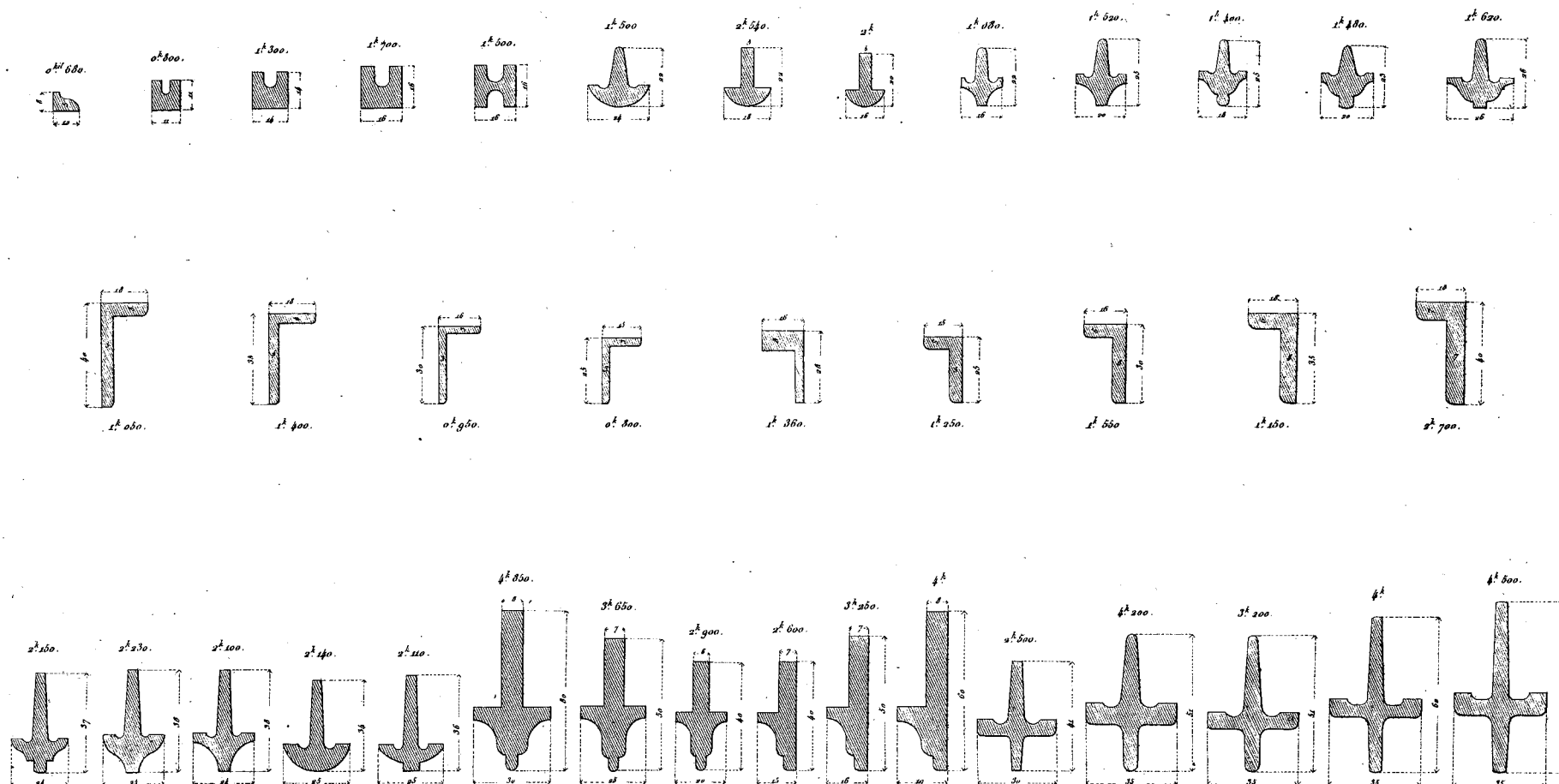


Las dimensiones espresan milímetros, y el peso es dado en kilogramos por 1^m de longitud.



Escala = $\frac{1}{4}$

Las dimensiones espresan milímetros, y el peso es dado en kilogramos por 1^m de longitud.



Escala = $\frac{1}{2}$

Fig. 503.

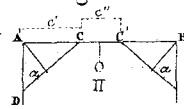


Fig. 504.

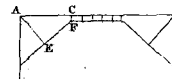


Fig. 505.

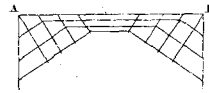


Fig. 506.

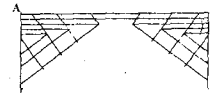


Fig. 507.



Fig. 508.



Fig. 509.



Fig. 510.

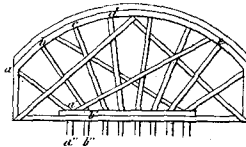


Fig. 511.

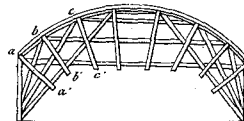


Fig. 512.

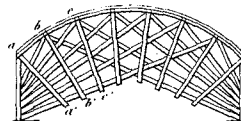
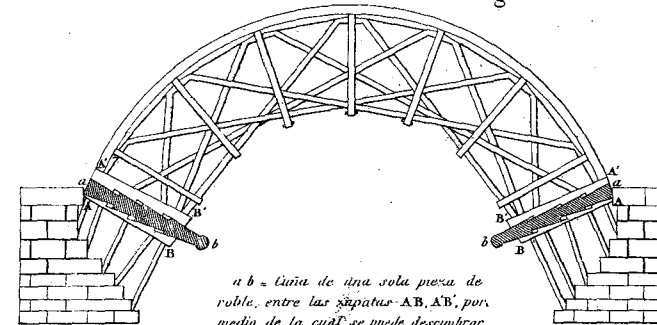


Fig. 513.



a b = Llena de una sola pieza de roble, entre las zapatas AB, A'B', por medio de la cual se puede desmontar con suavidad golpeando á la vez en todas las cabezas metálicas b.

Fig. 514.

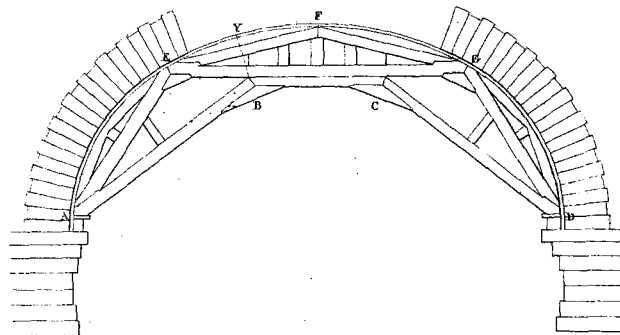


Fig. 515.

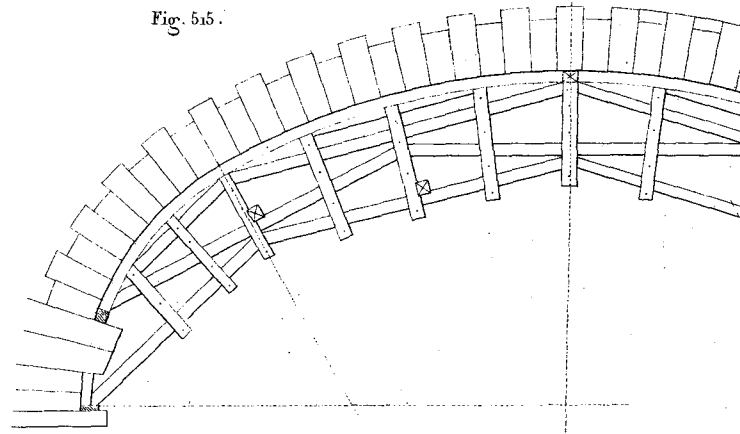
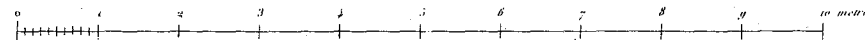
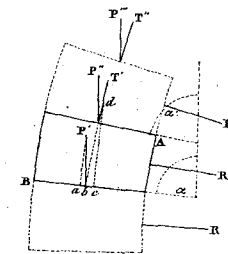
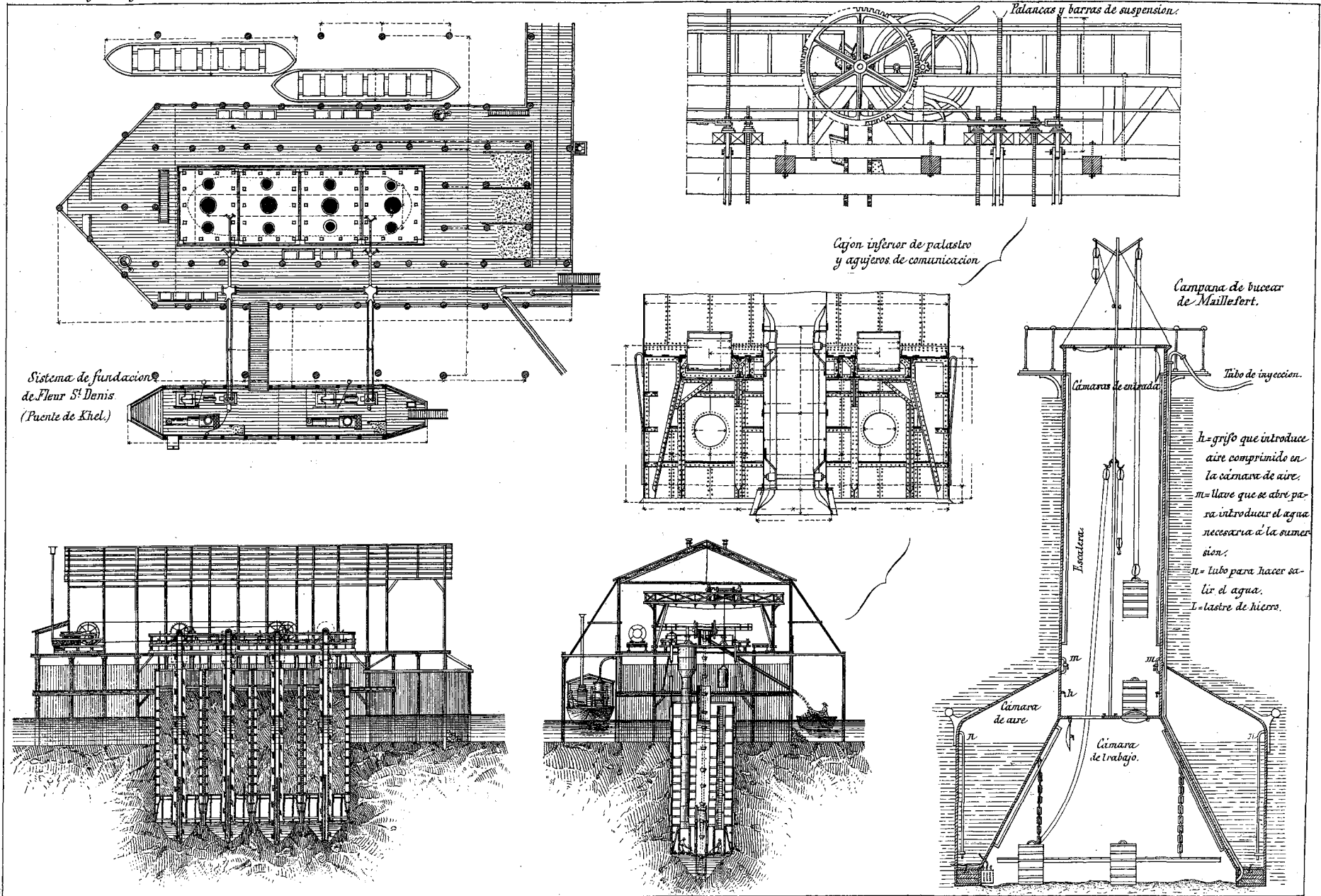
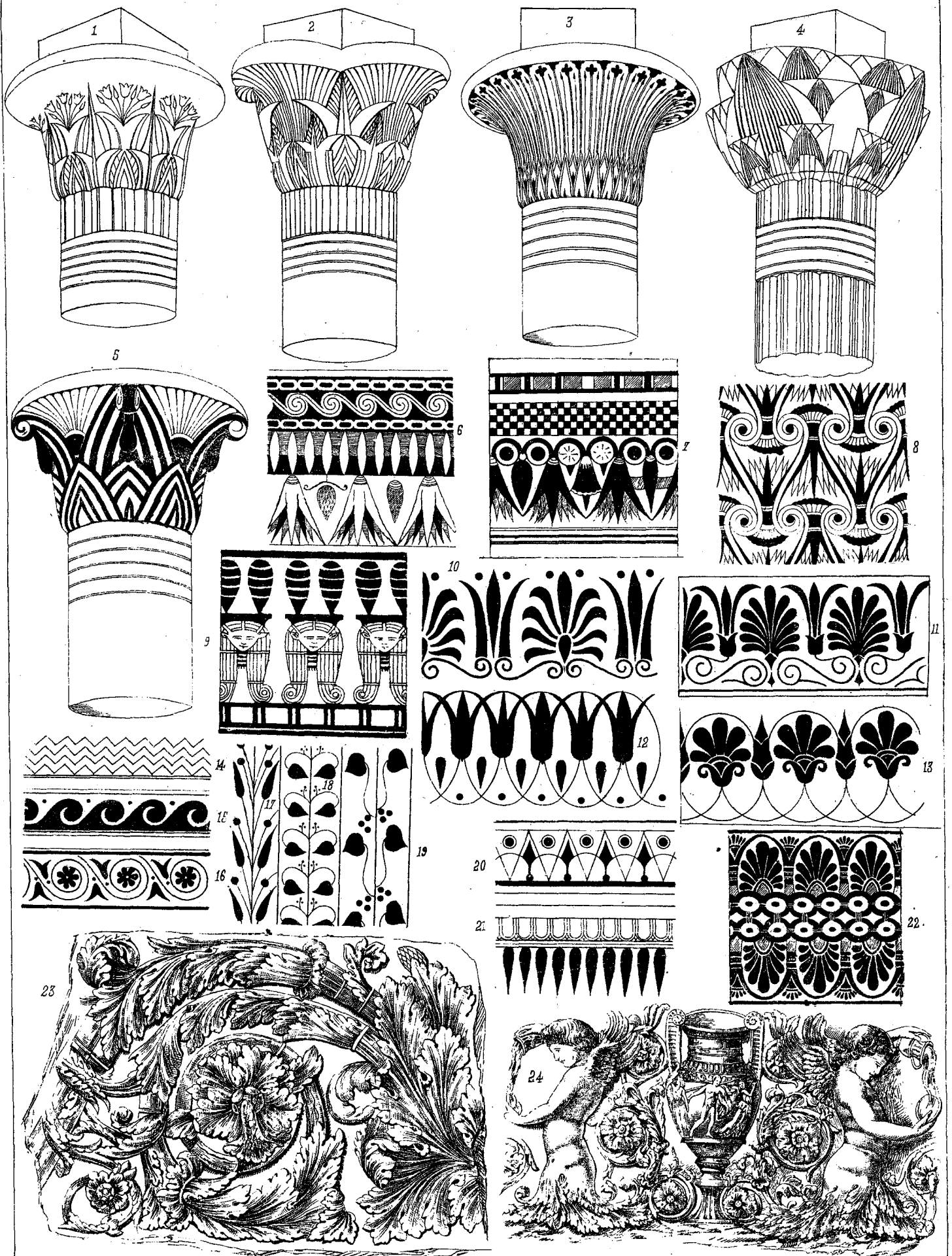


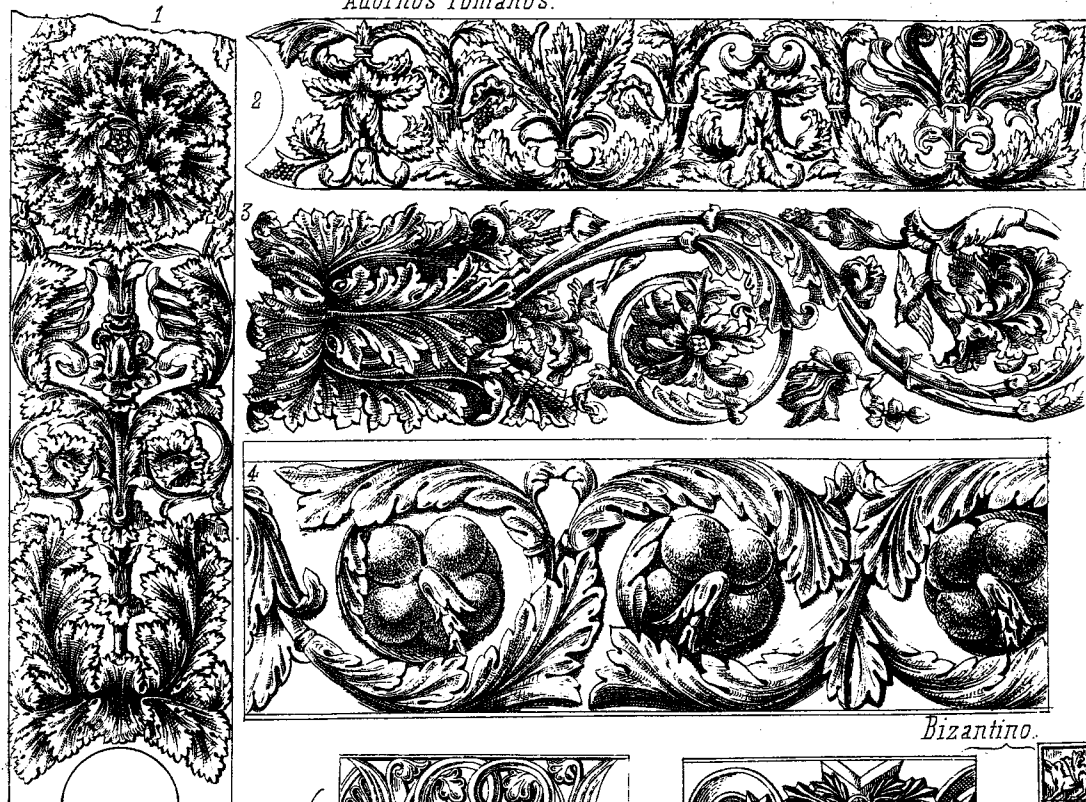
Fig. 516.



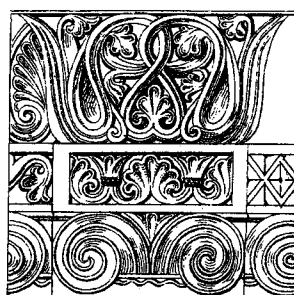




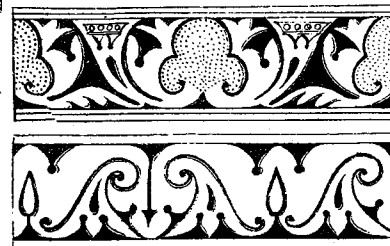
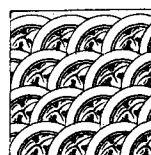
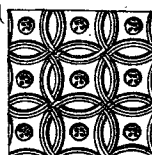
Adornos romanos.



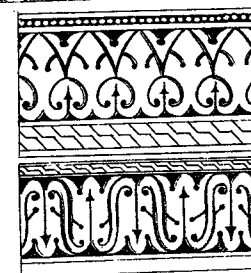
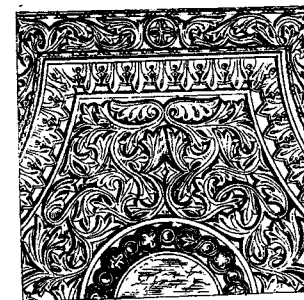
Bizantino.



Bizantino.



Arabe.



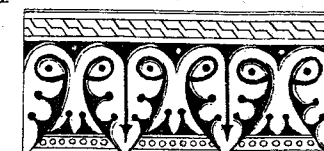
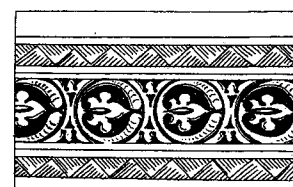
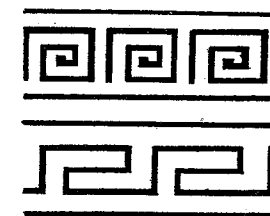
Arabe-1º estilo, originario del griego.

Fig. 2.

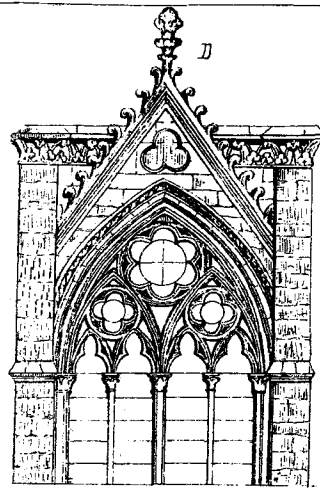
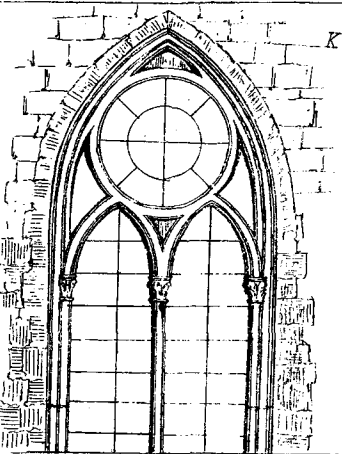
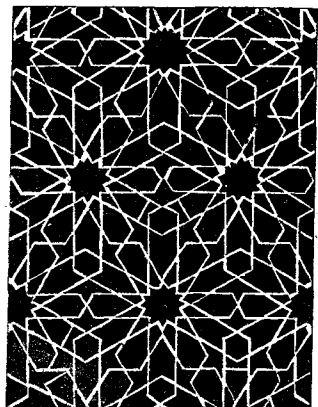
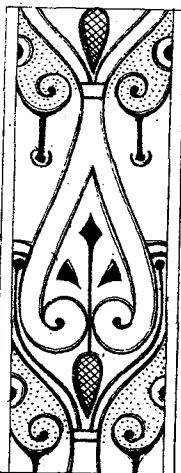
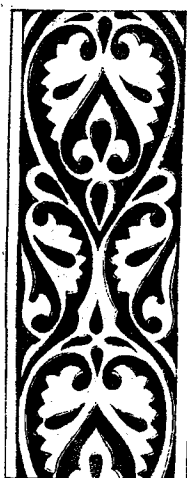


Volutas y

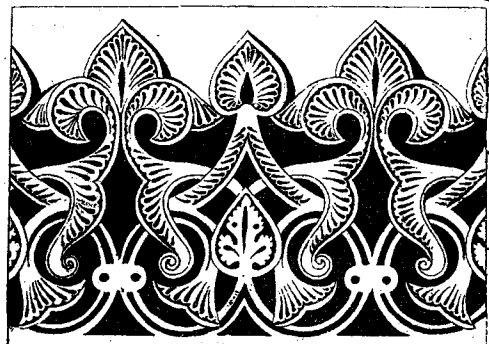
palmeras griegas.



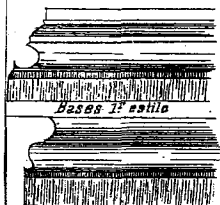
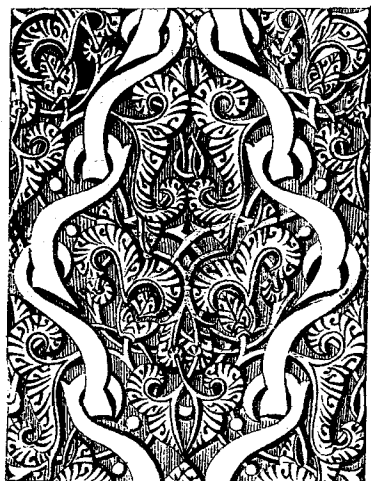
Zócalos



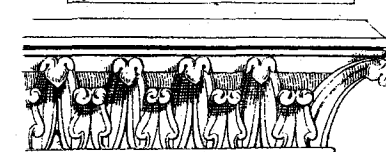
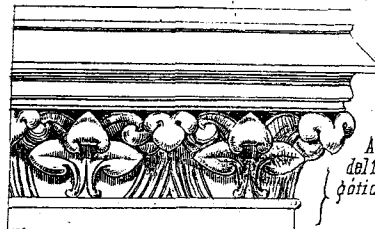
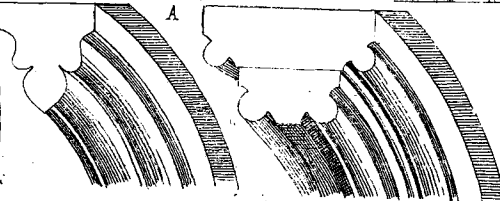
Estilos árabes



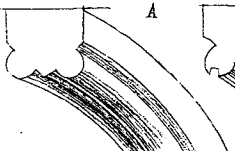
3º estilo (Alhambra)



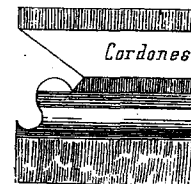
1º estilo.



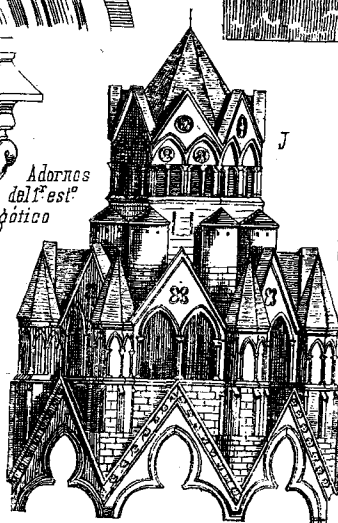
1º estilo



Aristones.



Cordones



1º estilo

Adornos del 1º estº gótico

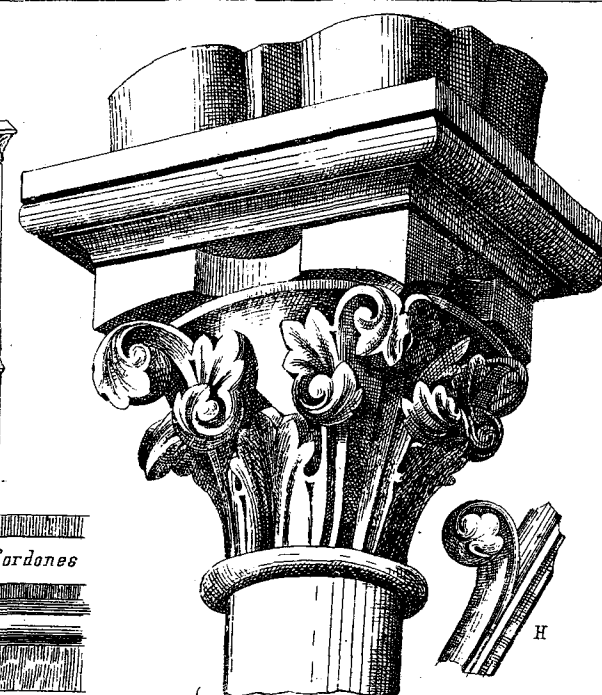
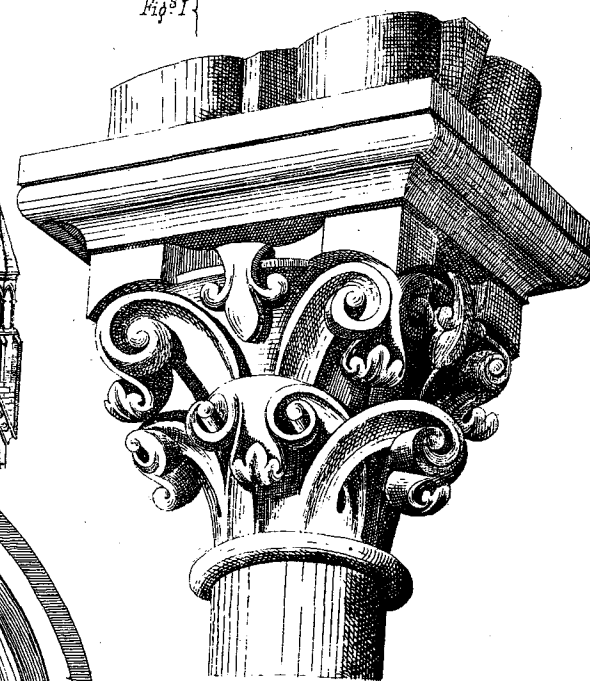


Fig. 1



Cordones y frisos.

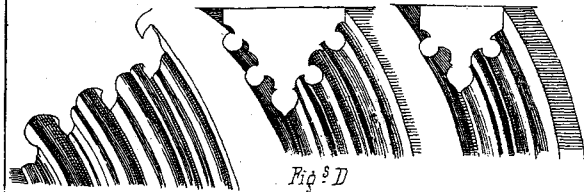


Fig. D

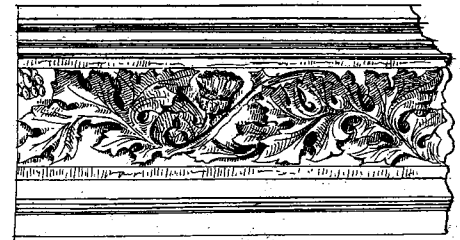
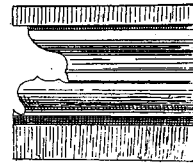
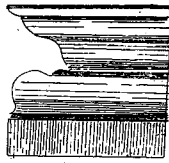


Fig. F

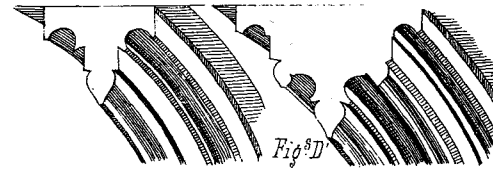
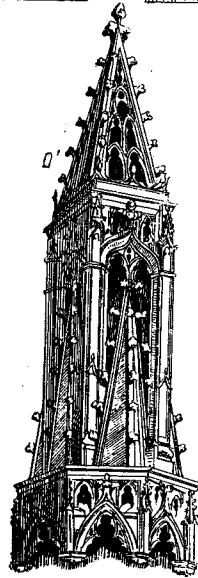
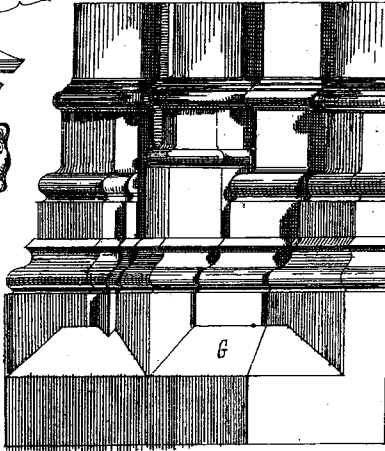
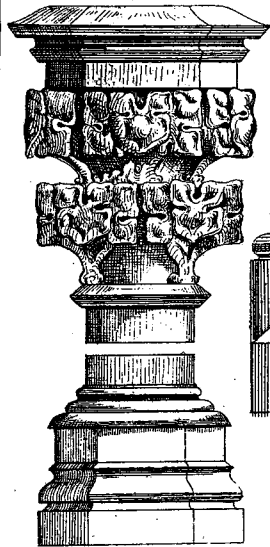
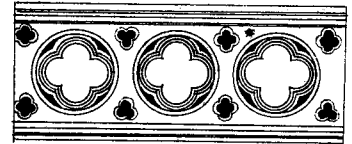
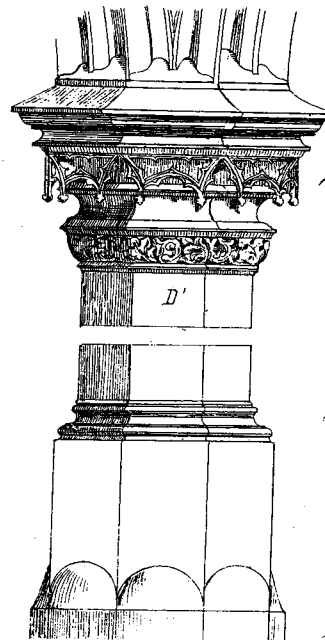


Fig. D'



M



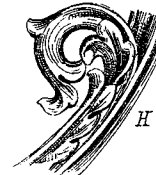
D'



N

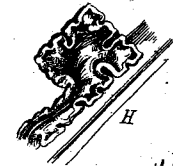


H



H

Frisos del estilo gótico



H

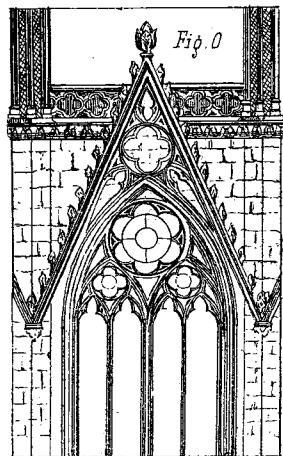
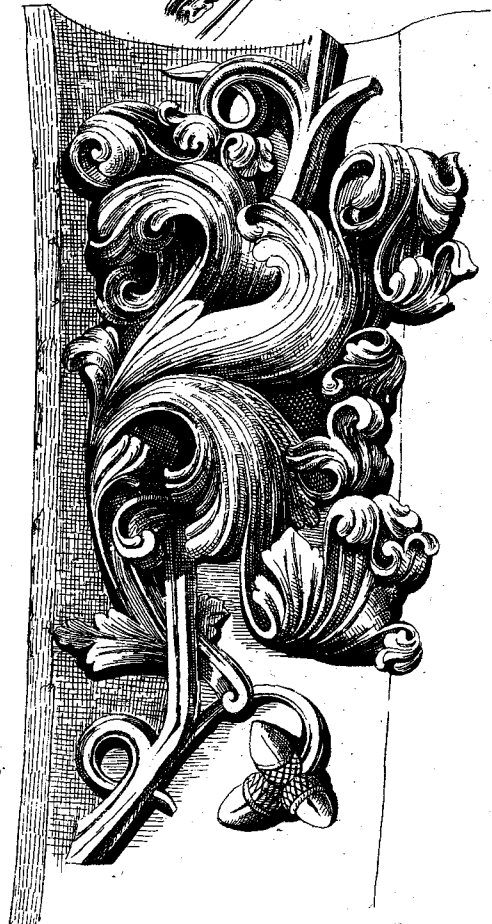


Fig. O

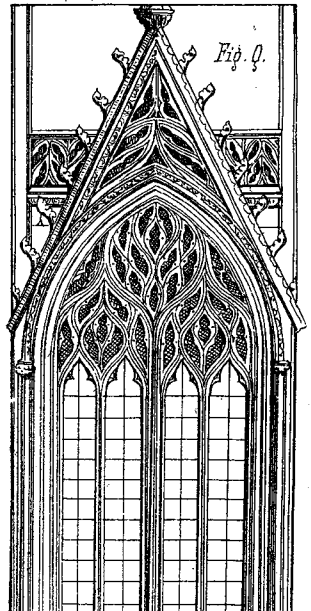
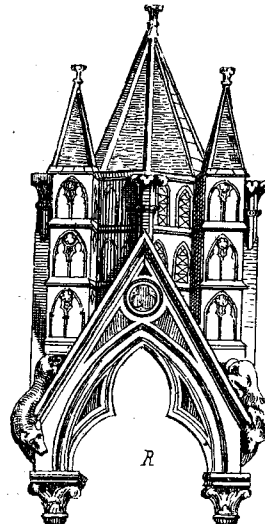
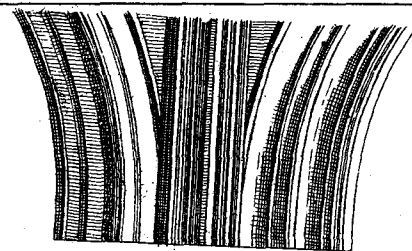


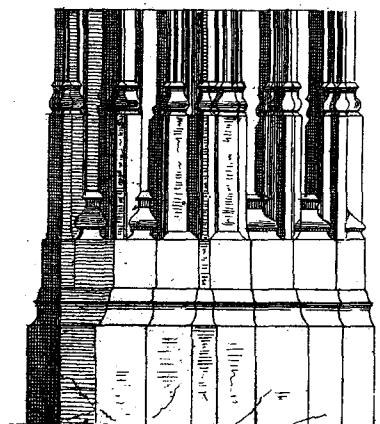
Fig. Q.



R



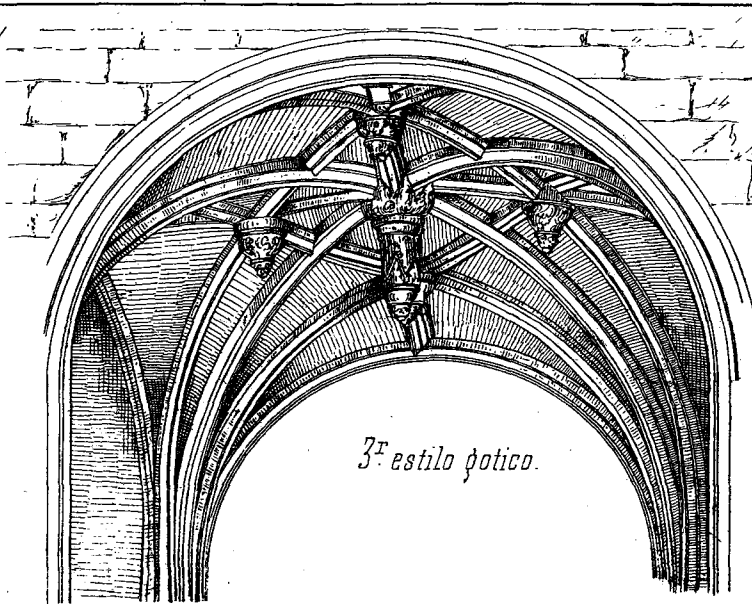
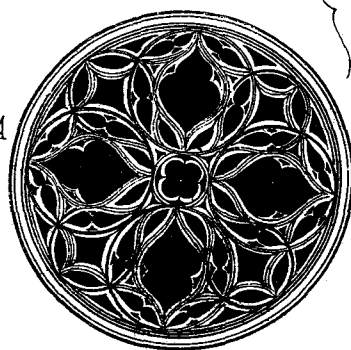
Pilar y Aristones.



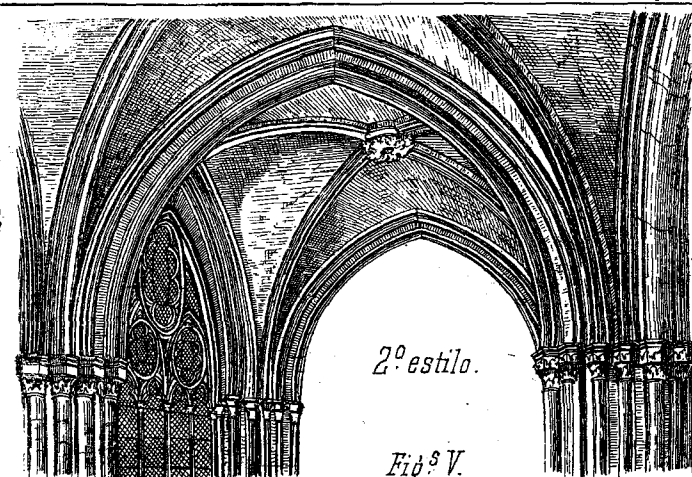
Balaustrada



Rosa A



3^{er} estilo gótico.



2^o estilo.

Fig.^a V.

Zocalos

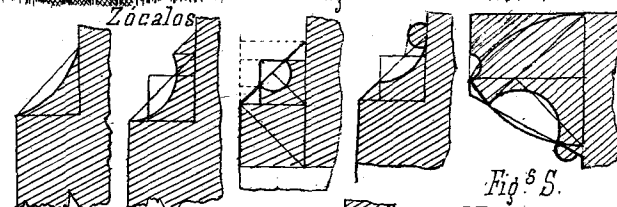
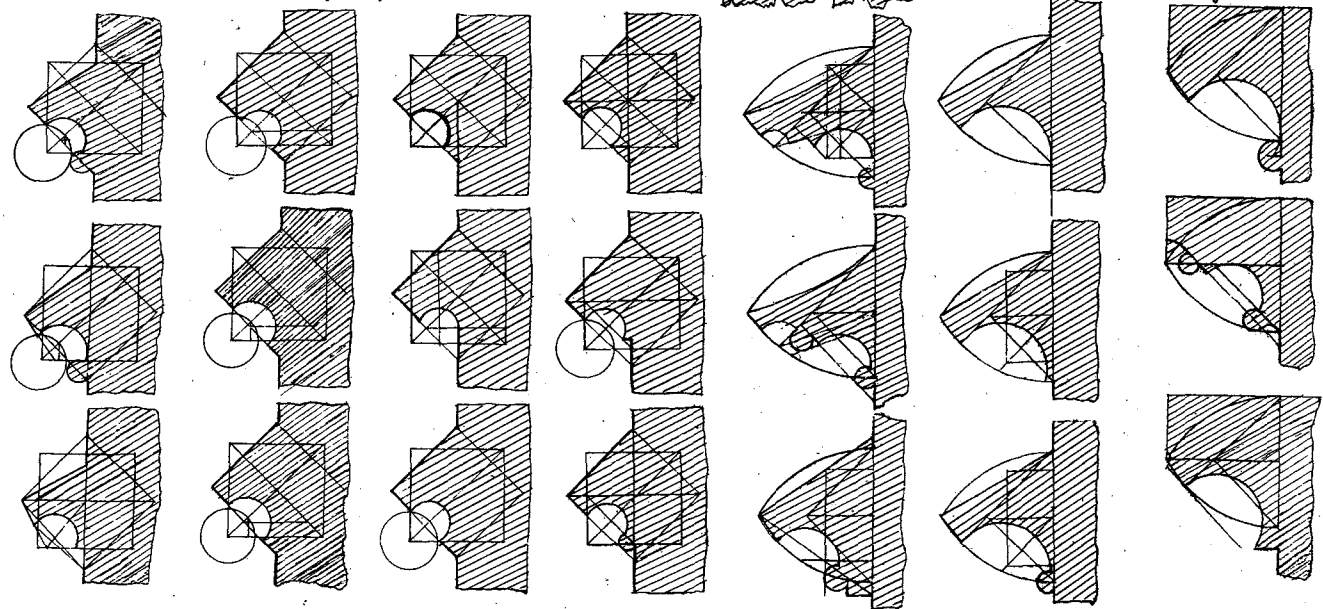
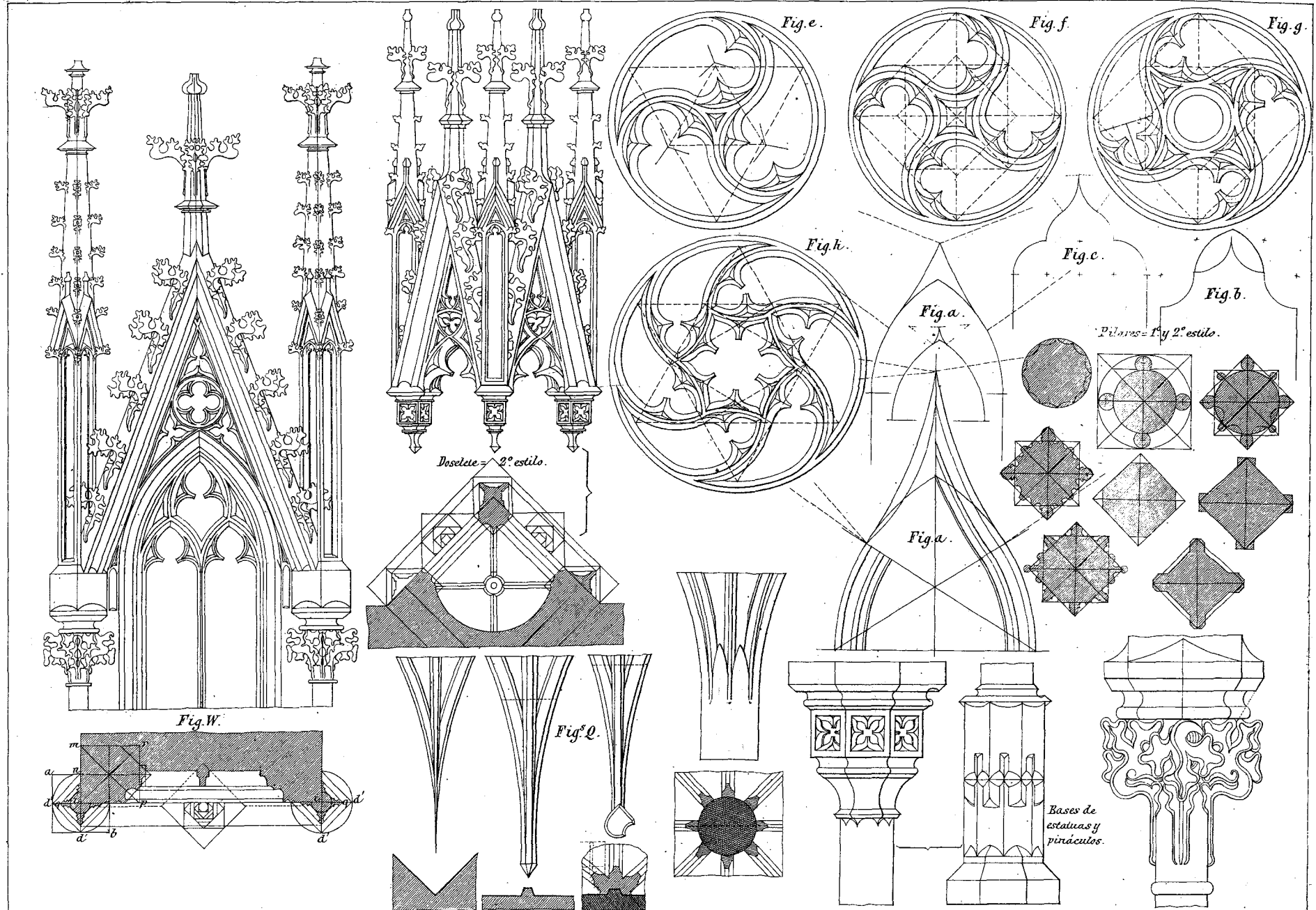


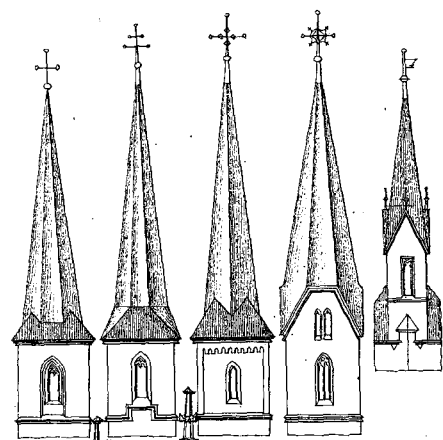
Fig.^a S.

Cornisas góticas.



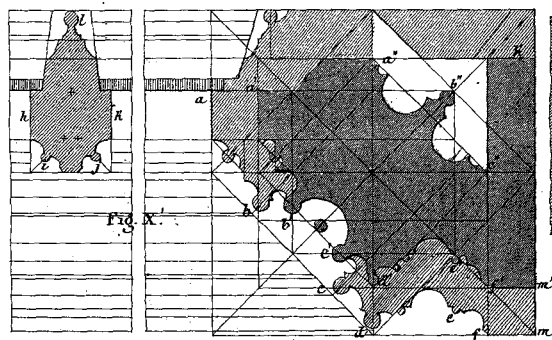
Cornisas de coronamiento.





Flechas.

Planos de portadas.



Varias disposiciones de bóvedas.

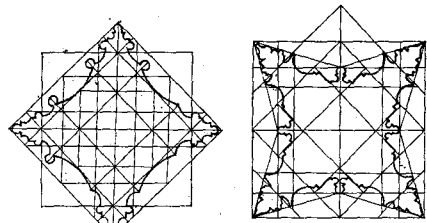
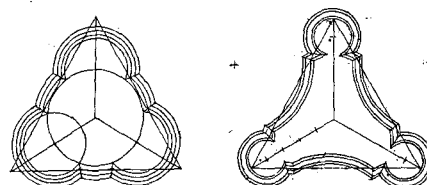
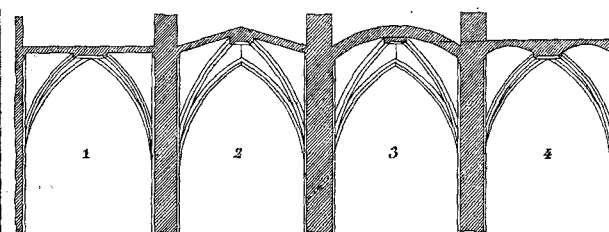
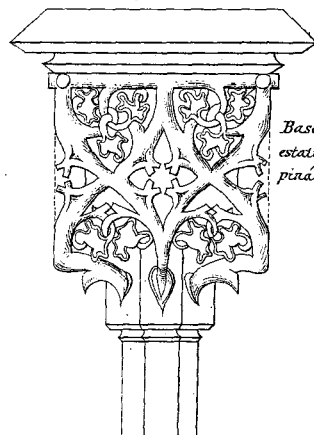
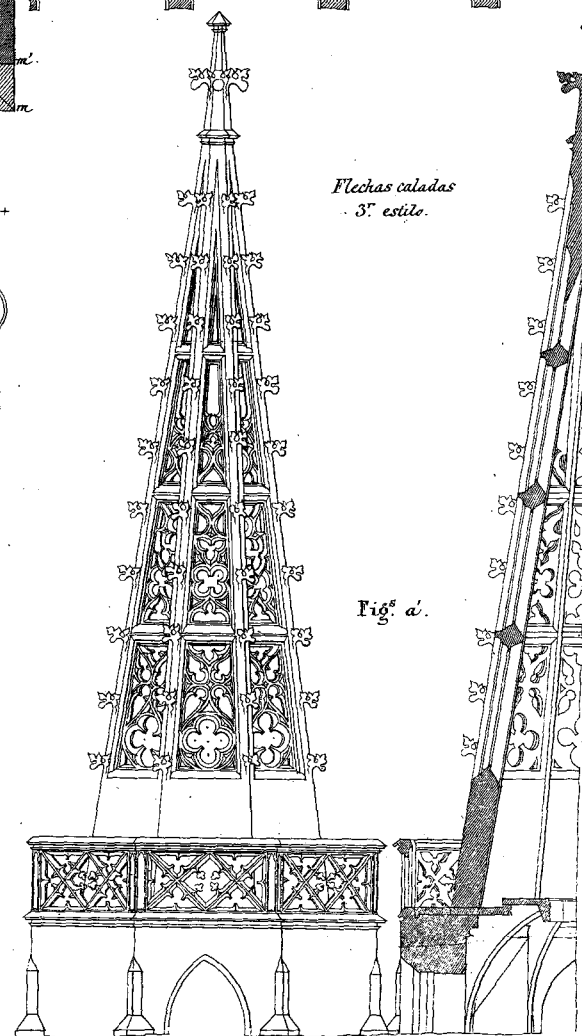
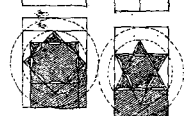
Pilares
3.º estilo.Bases de
estatuas y
pináculos.Flechas caladas
3.º estilo.

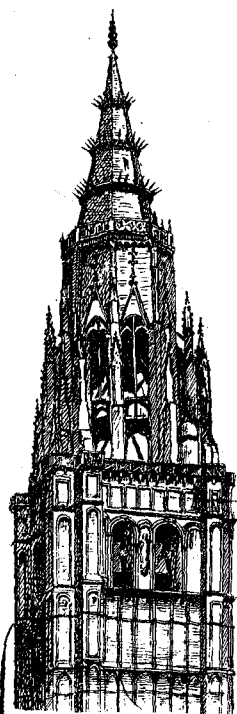
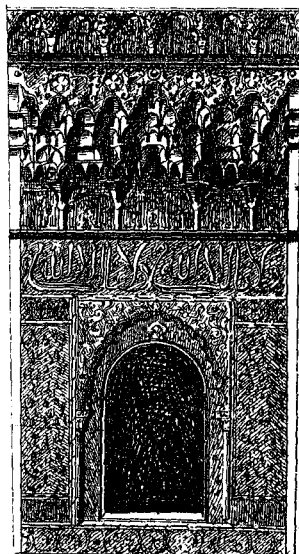
Fig. a'.



Contrafuerzas.



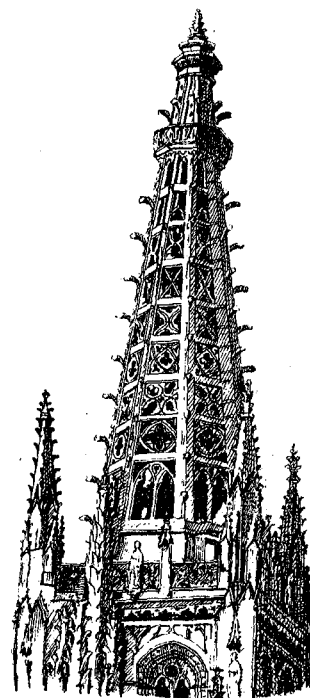
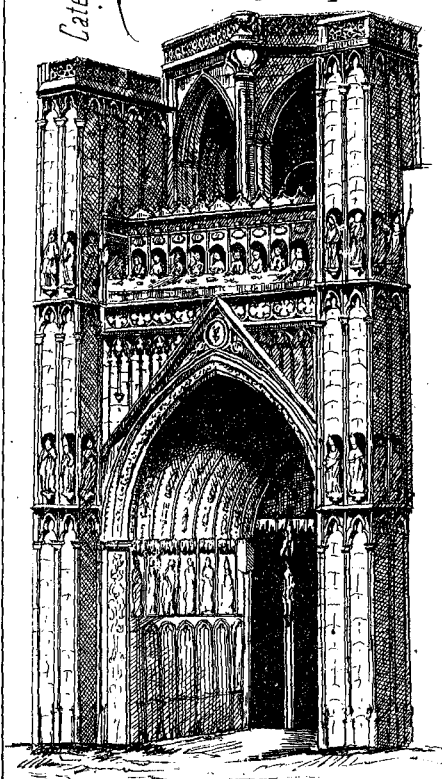
Alhambra.



Catedral de Toledo. 1.^o estilo.

Torre.

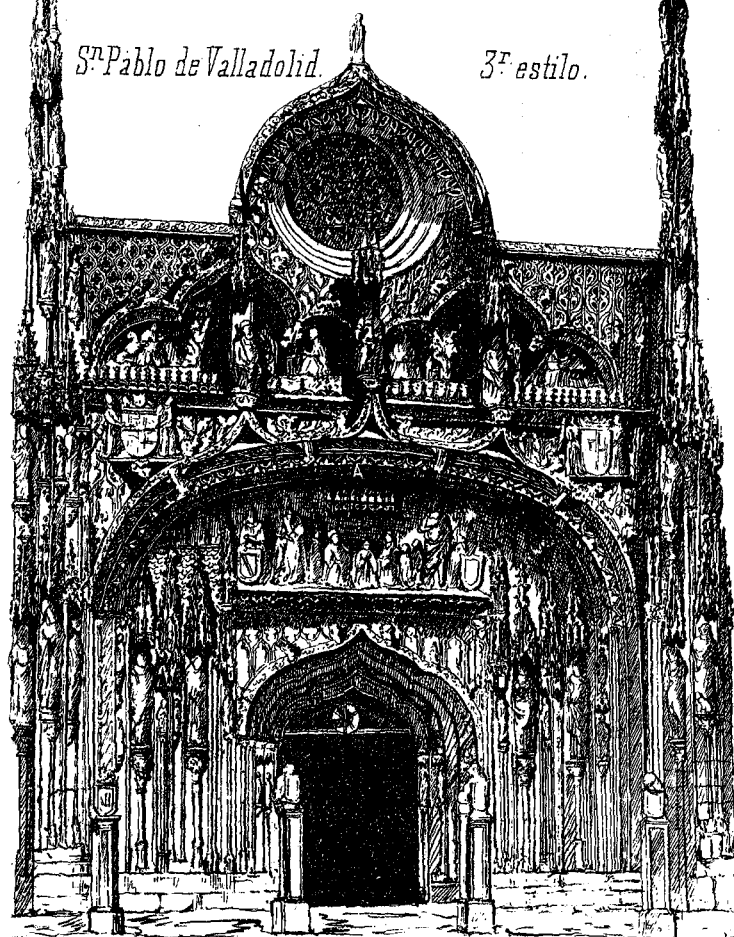
Puerta principal.

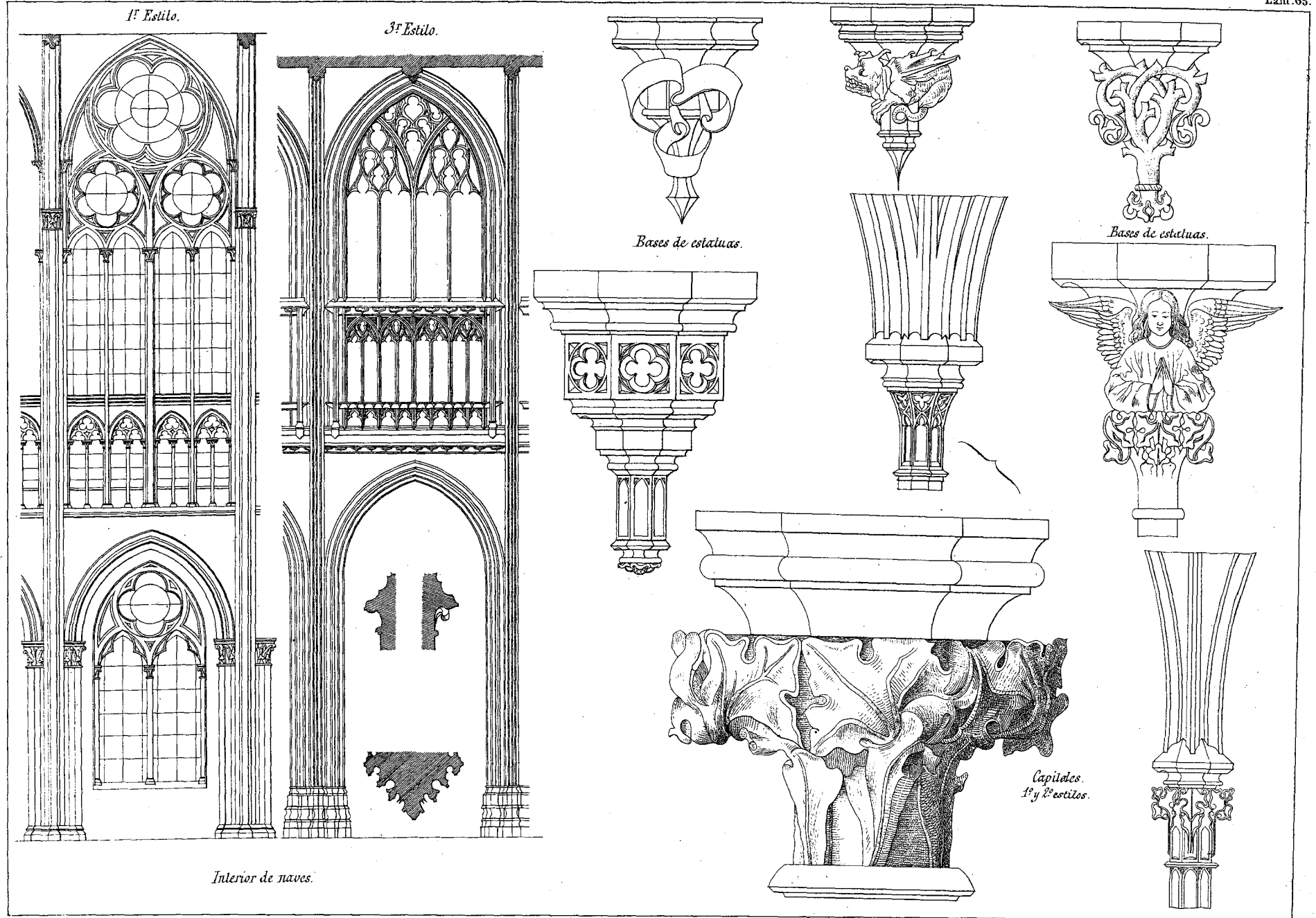


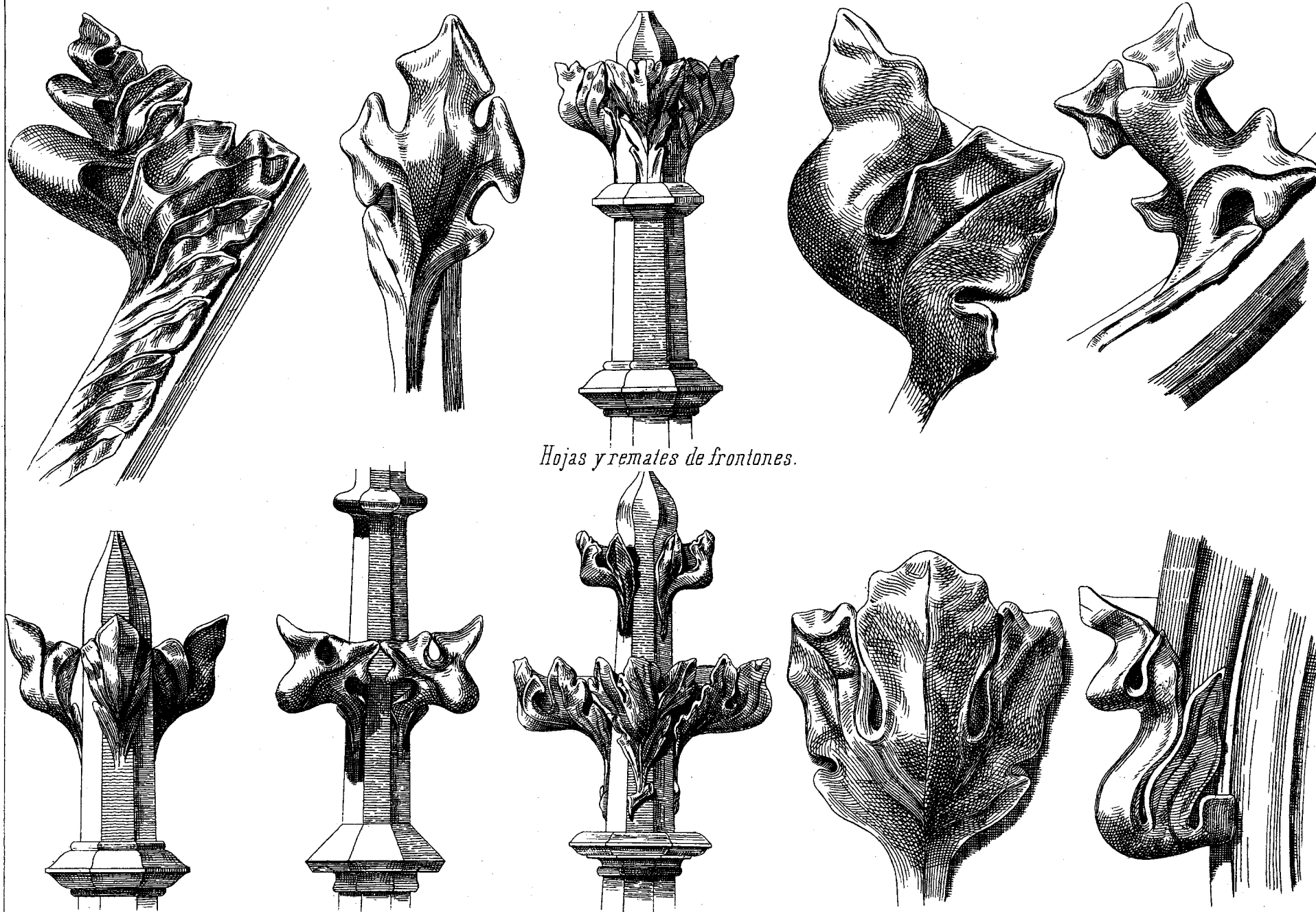
Torre de la catedral de Burgos

S.ⁿ Pablo de Valladolid.

3.^o estilo.



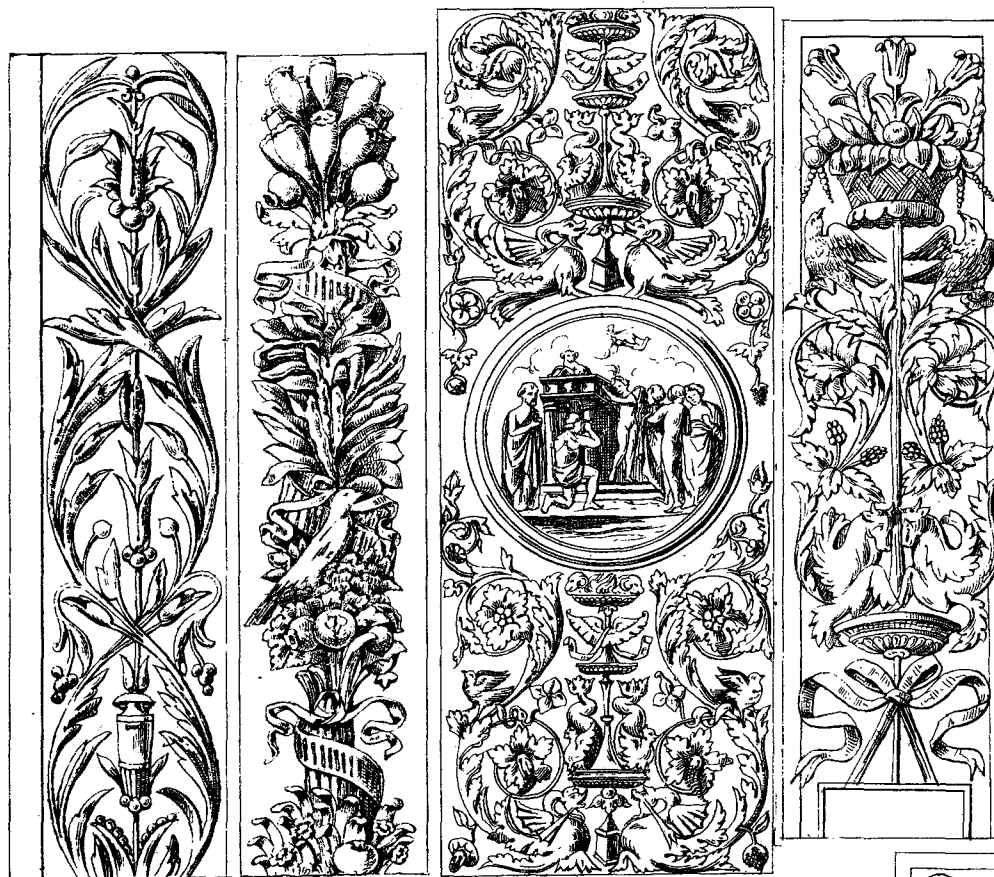




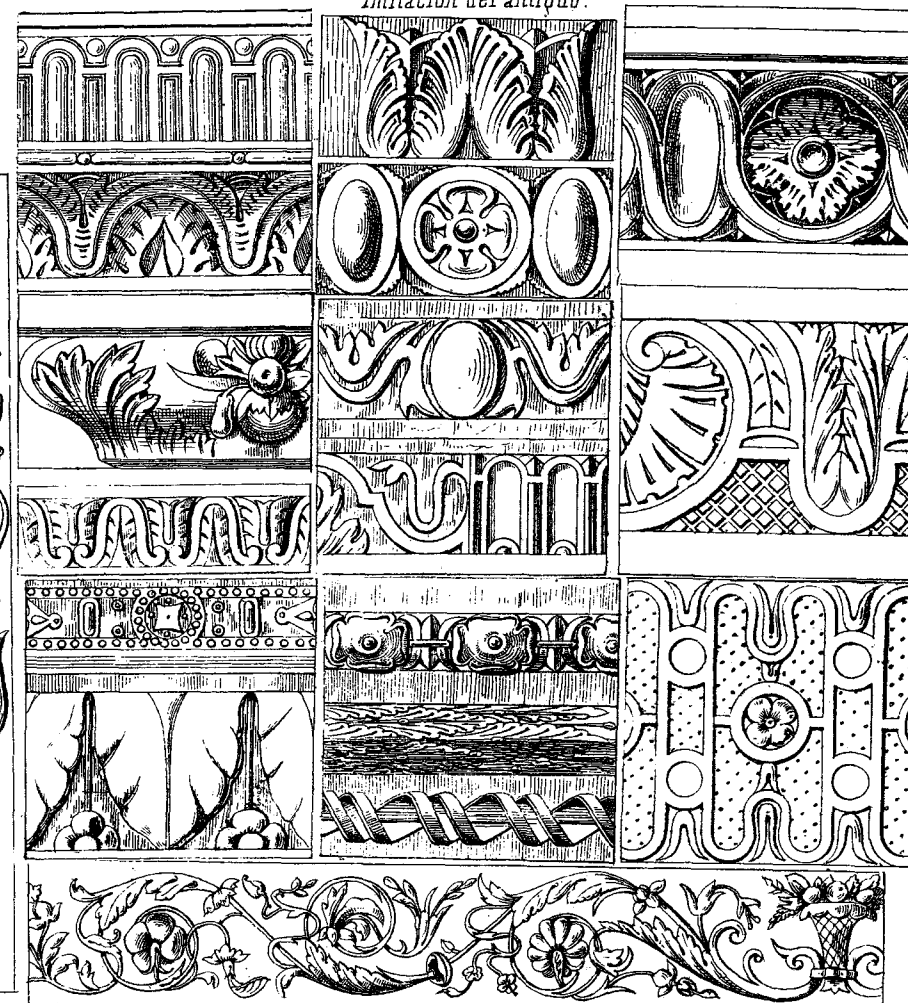
Hojas y remates de frontones.

ADORNOS DEL RENACIMIENTO.

Estilos veneciano, genovés y florentino.



Imitacion del antiquo.

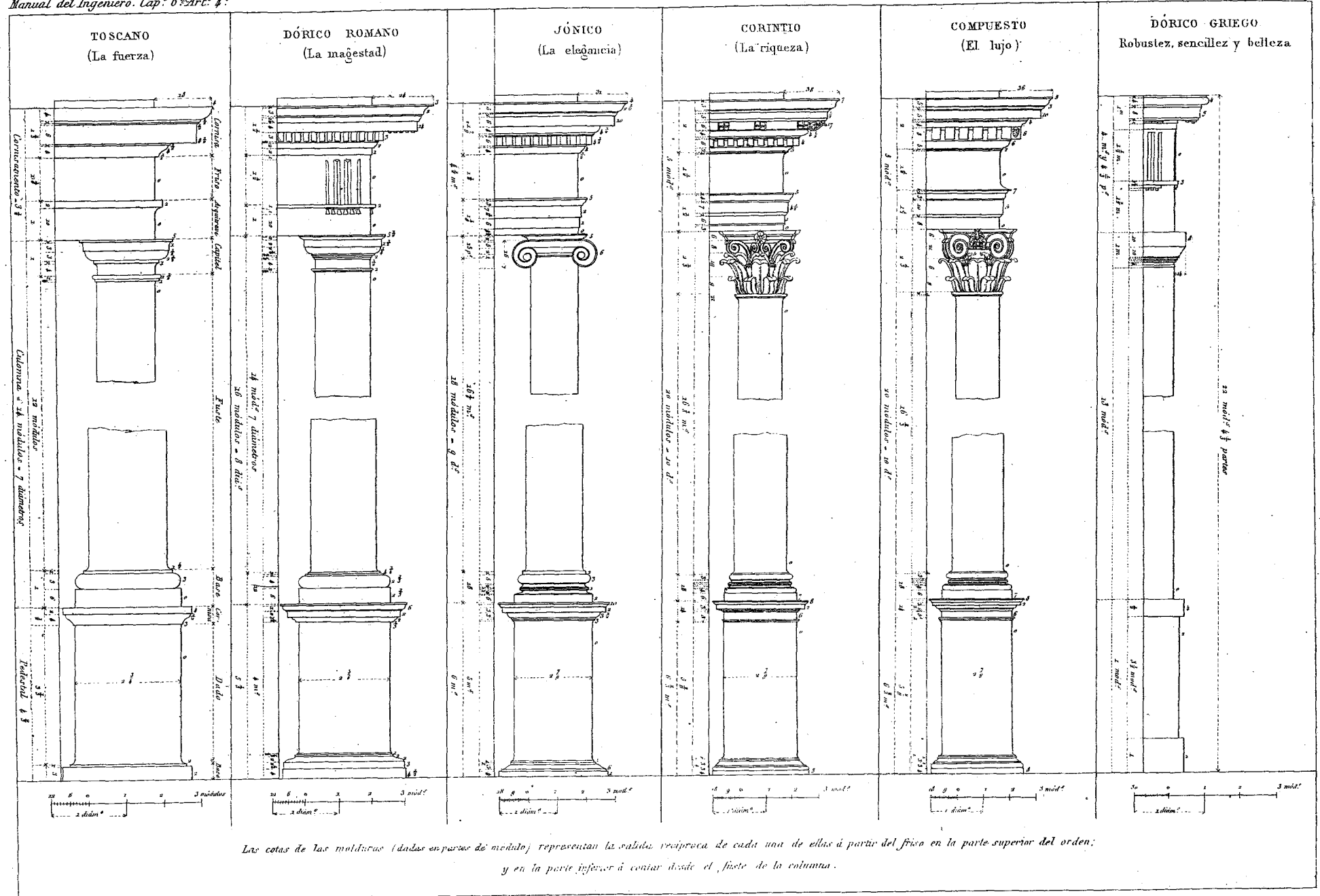


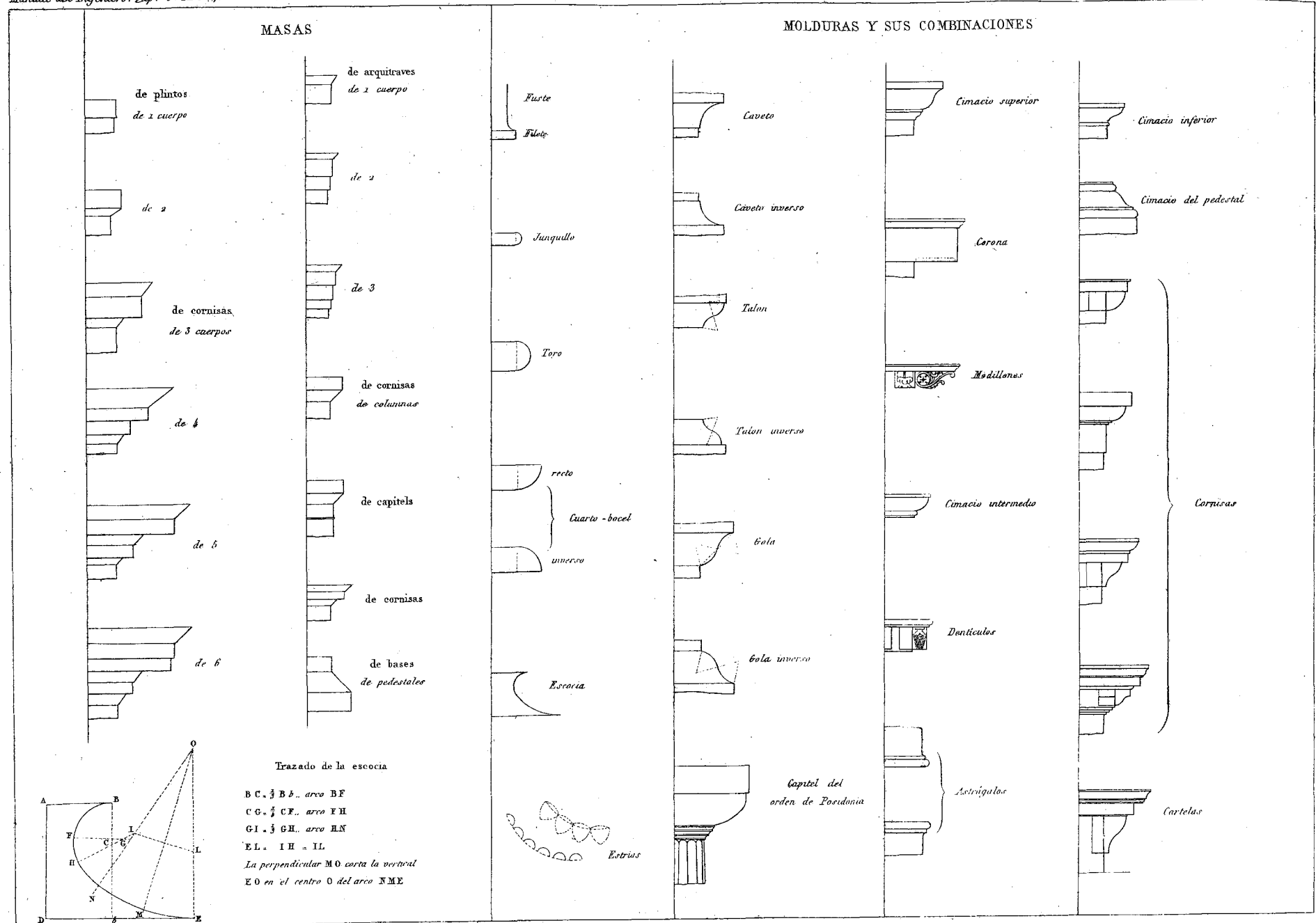
Arabesco de Bry sobre estilo italiano.

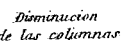


Estilo italiano.

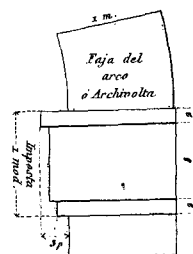
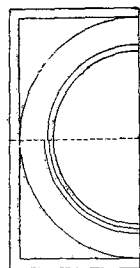




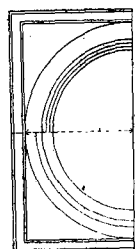




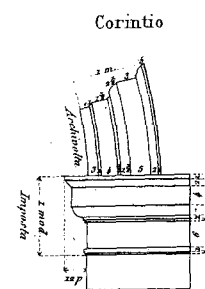
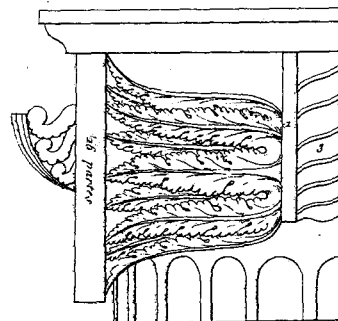
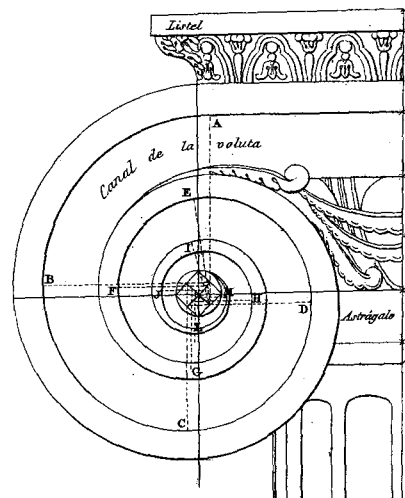
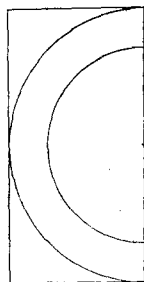
Toscana

*Planta del Capitol*

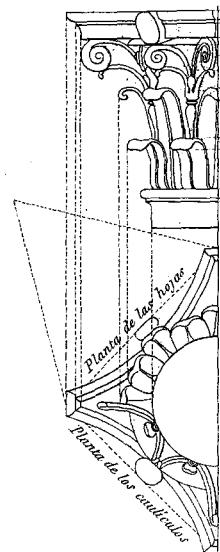
Planta del Capitel



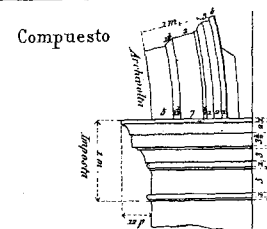
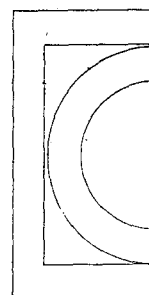
Planta de la Base y Pedestal



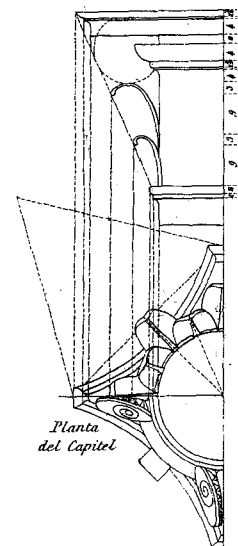
Corintio



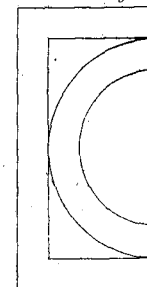
Planta de la Base y Pedestal



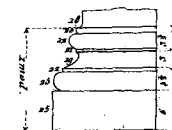
Compuesto



Planta de la Base y Pedestal



Base Ática.



Los números expresan módulos.

Intercolumnios

Toscano	=	$6\frac{2}{3}$
Dórico	=	$7\frac{1}{2}$
Jónico	=	$8\frac{2}{3}$
Corintio	}	= $6\frac{2}{3}$
y Compuesto		

Pórtico sin pedestal

Las distancias del arquite-
trave á la imposta son

Torc. ^o	=	$g \frac{1}{2}$	Dór. ^o	=	10
Jón. ^o	=	$11 \frac{1}{2}$	C ^o y C ^o	=	12

Los vanos de los arcos tienen

		ancho	alto
Torc. ^o	=	6 $\frac{1}{2}$	13
Dór. ^o	=	7	2 $\frac{1}{2}$
Jón. ^o	=	8 $\frac{1}{2}$	17 $\frac{1}{2}$
C ^o y C ^o	=	9	18

Pórtico con pedestal

Torc. ^o	= 12 $\frac{1}{2}$	Dor. ^o	= 15
Jon. ^o	= 15	Cy C ^{to}	= 16
Distancias del arquitrave a la imposta			
Torc. ^o	= 5 $\frac{1}{2}$	Dor. ^o	= 6 $\frac{3}{4}$
Jon. ^o	= 7 $\frac{1}{2}$	Cy C ^{to}	= 7 $\frac{1}{2}$
Vanos de los arcos			
	ancho	alto	
Torc. ^o	= 8 $\frac{1}{2}$	17
Dor. ^o	= 10	20
Jon. ^o	= 11	22
Cy C ^{to}	= 12	25

Intercolumnio

De eje á eje 4 módulos
y 25 partes.

Fig. 517.

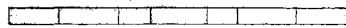
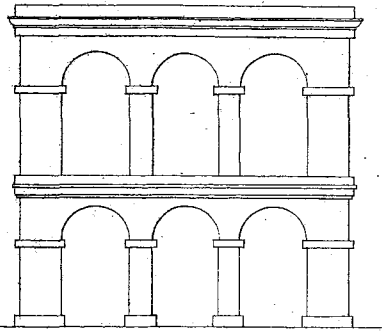


Fig. 523.

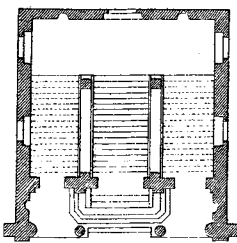
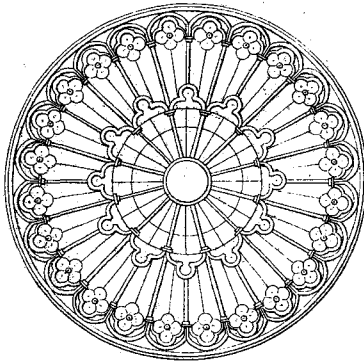


Fig. 525.



Fig. 518.

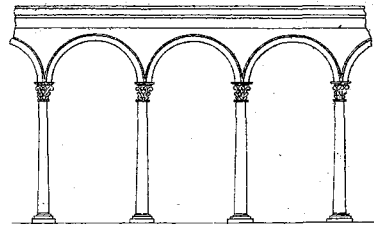


Fig. 519.

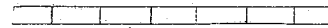
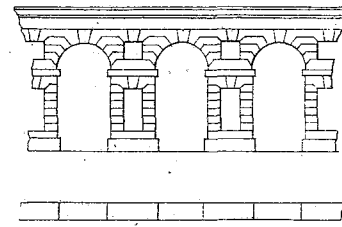


Fig. 520.

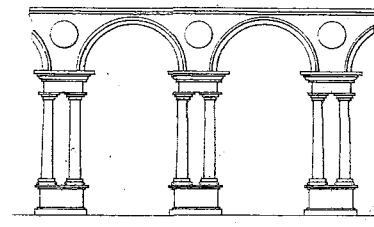


Fig. 521.

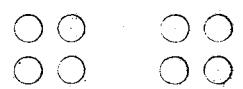


Fig. 522.

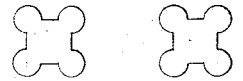


Fig. 524.

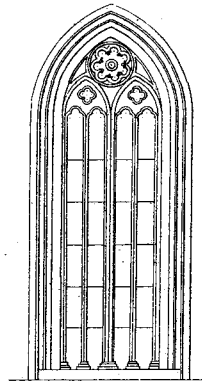


Fig. 526.

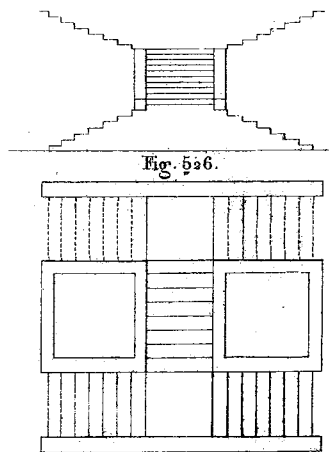
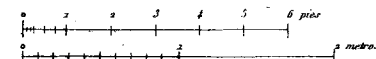
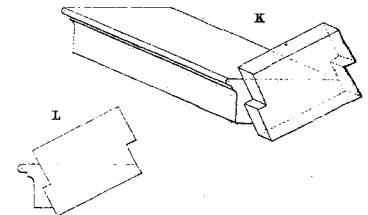
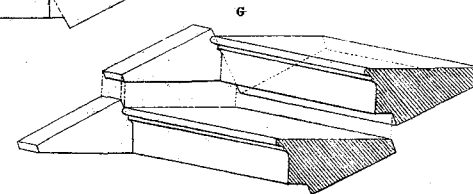
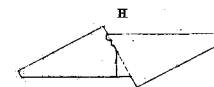
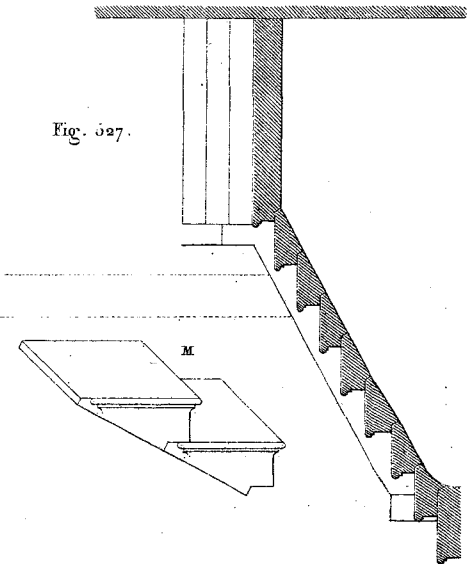
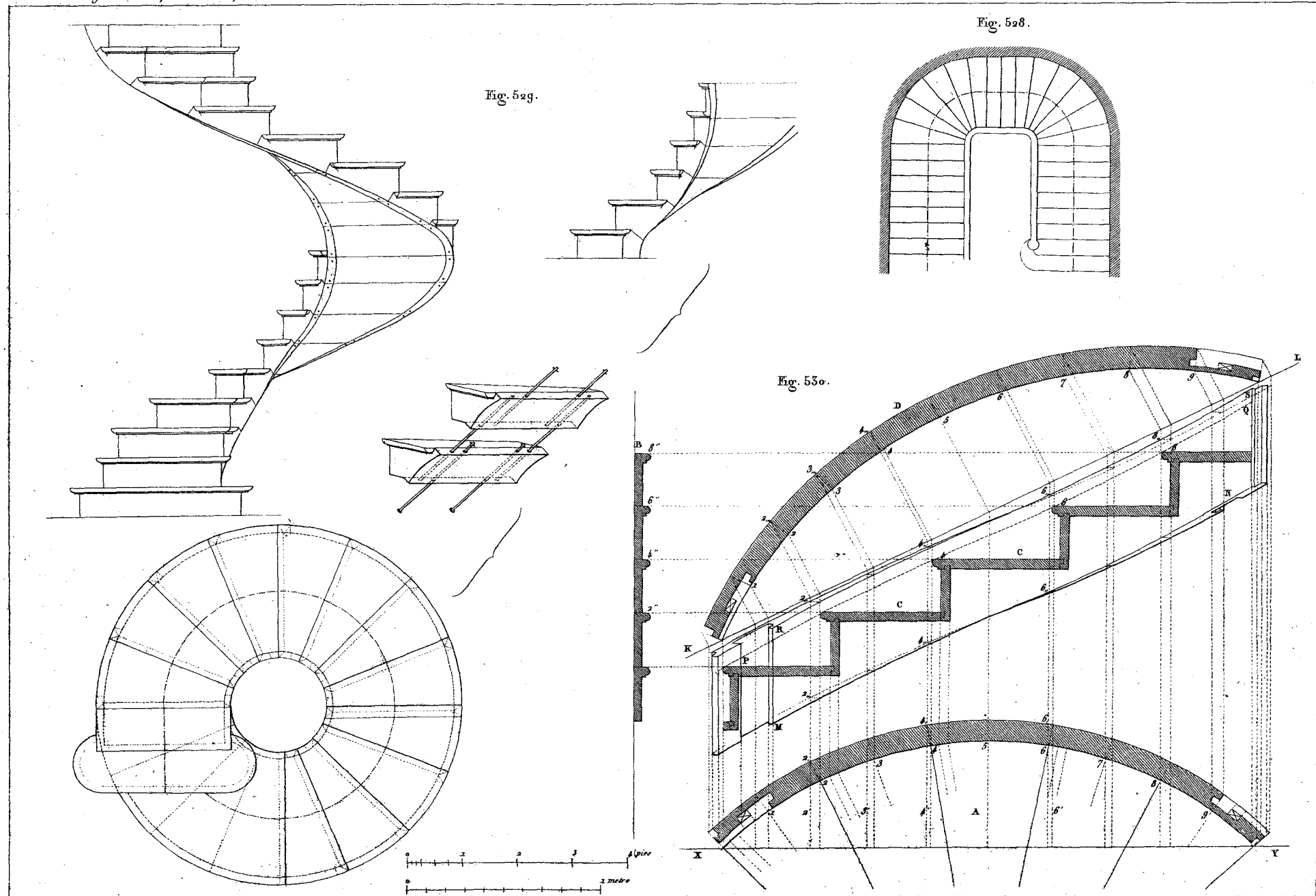


Fig. 527.

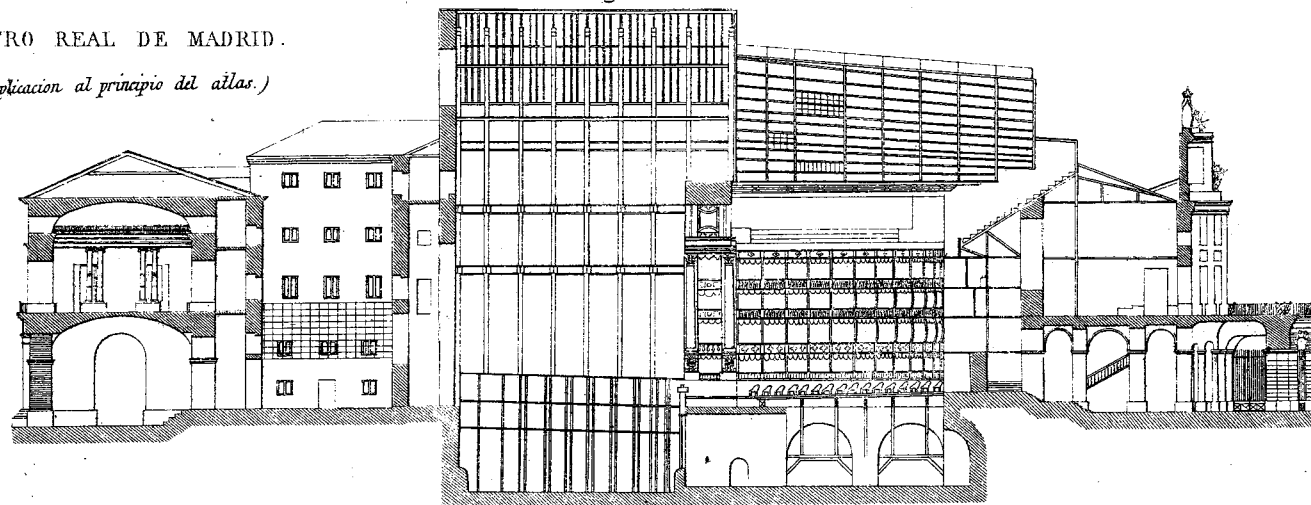




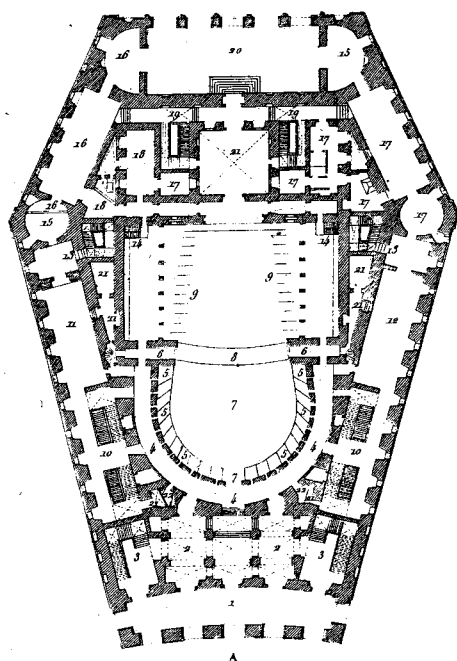
TEATRO REAL DE MADRID.

(La esplicacion al principio del aílax.)

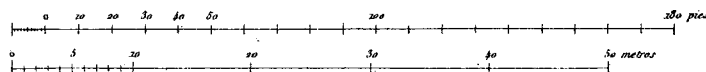
Perfil longitudinal.



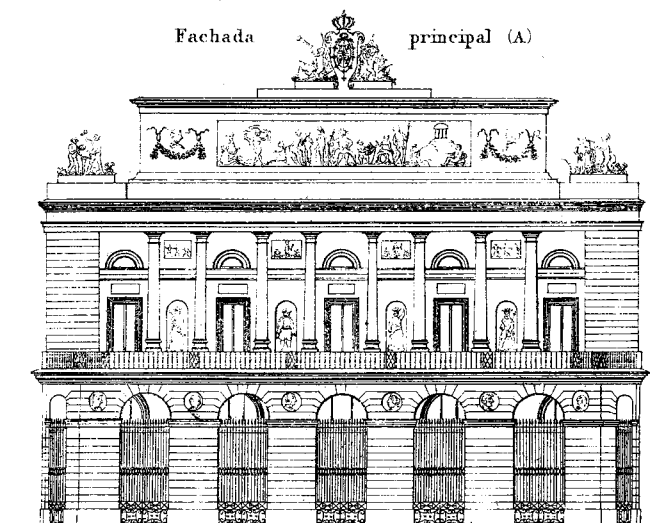
Planta baja



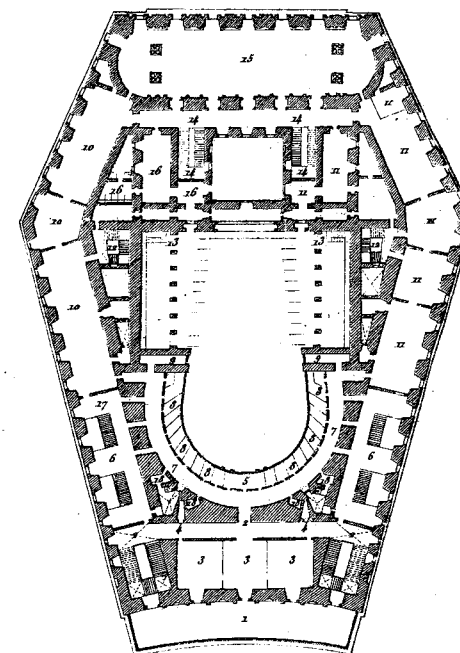
A



Fachada principal (A)



Planta del piso principal



A

Fig. 531.

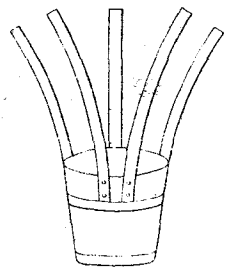


Fig. 532.

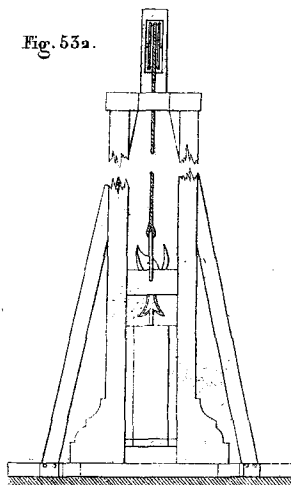


Fig. 533.

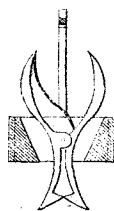


Fig. 534.

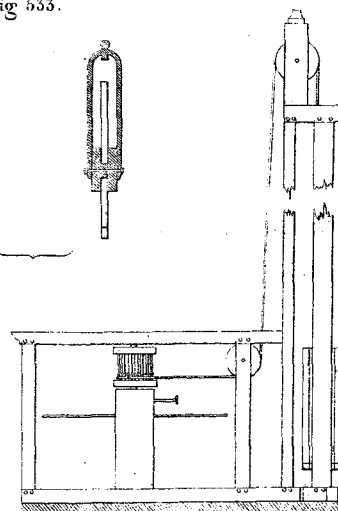


Fig. 535.

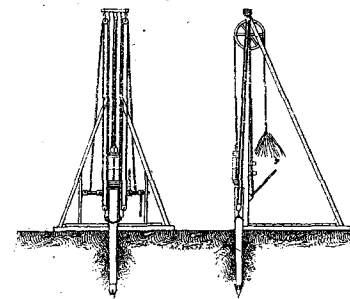


Fig. 536.

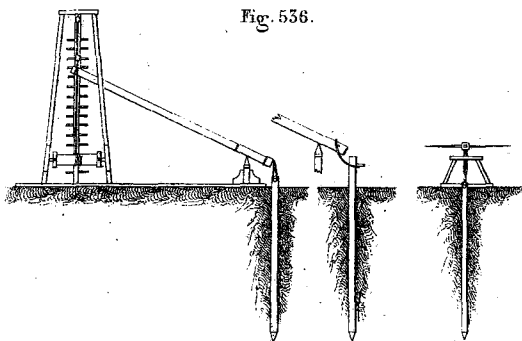


Fig. 539.

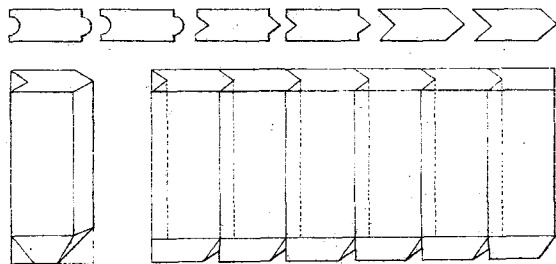


Fig. 537.

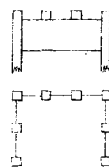


Fig. 540.

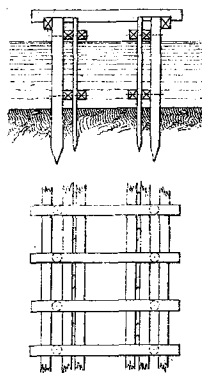
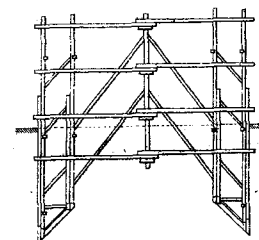
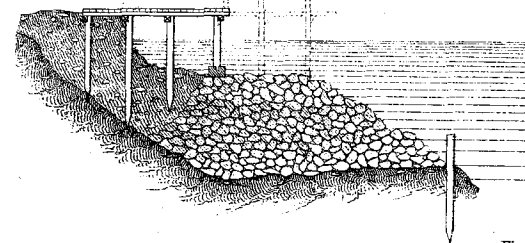


Fig. 538.



Muelle provisional.



Muelle de piedra.

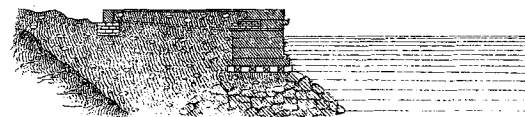


Fig. 541.

Fig. 542.

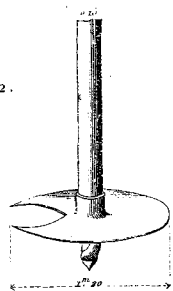


Fig. 543.

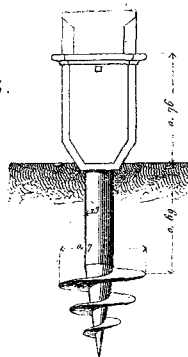


Fig. 548.

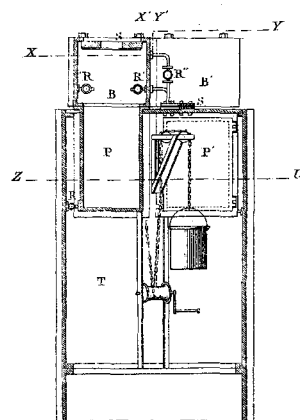


Fig. 544.

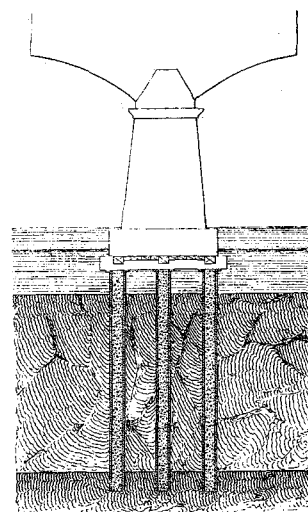


Fig. 545.

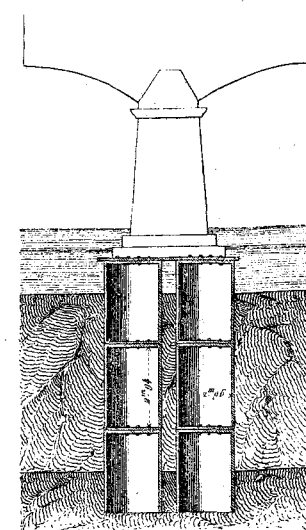


Fig. 547.

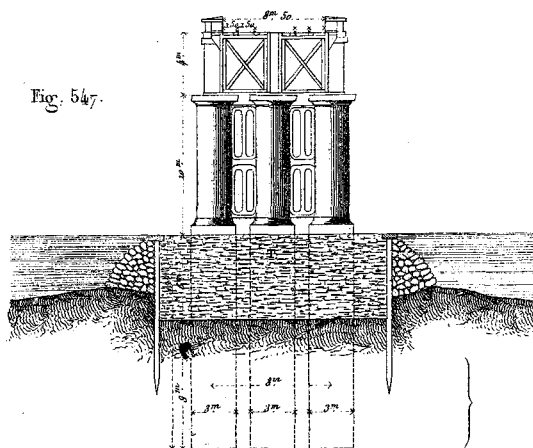
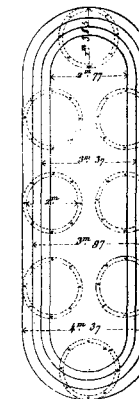
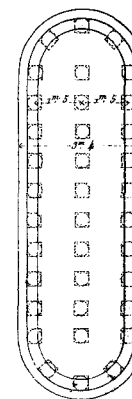
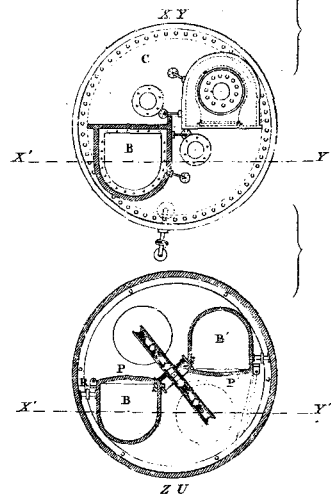
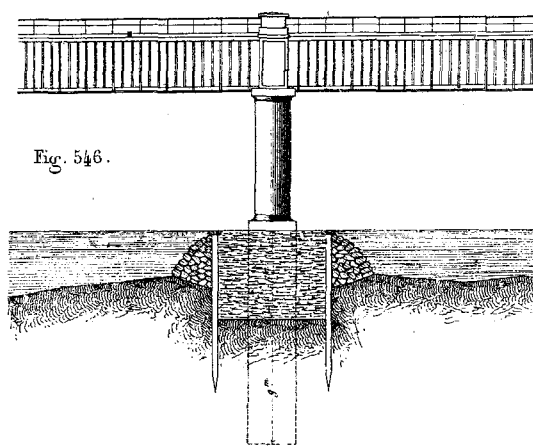


Fig. 546.



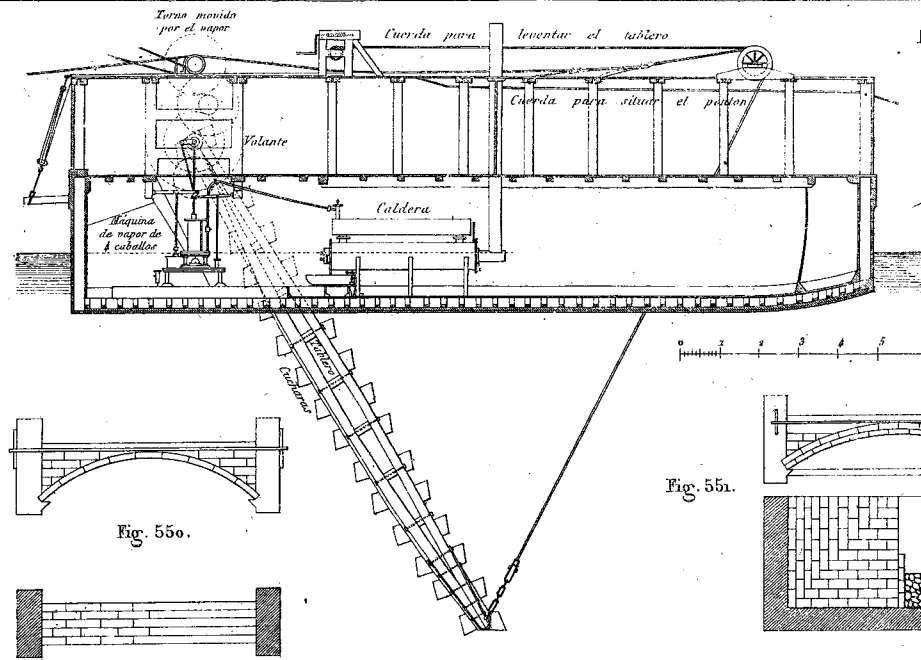
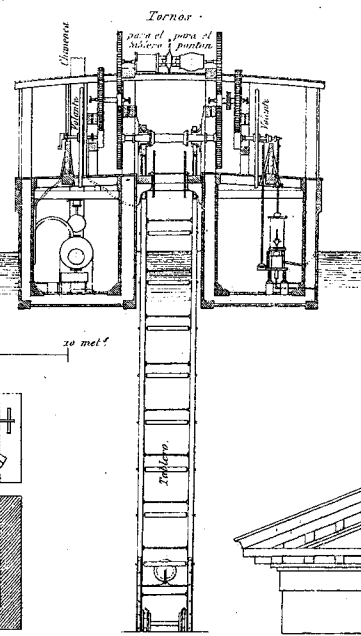


Fig. 549.



Detalle de la cadena y cachovis

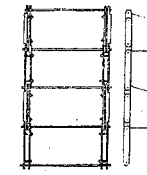


Fig. 552.

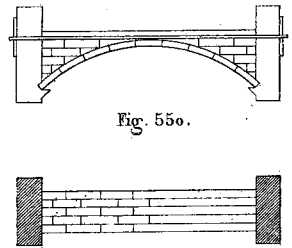
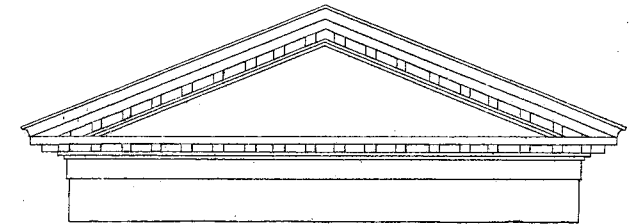


Fig. 550.

Fig. 551.

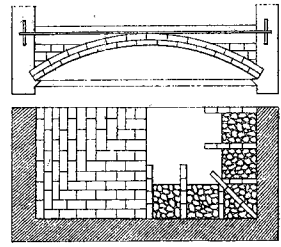


Fig. 553.

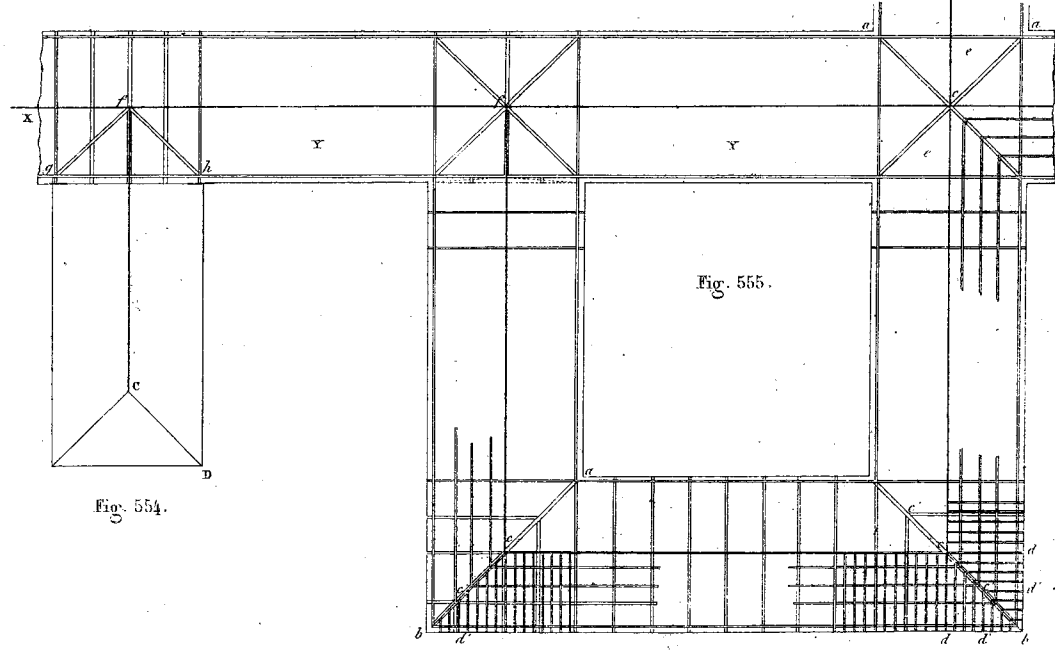
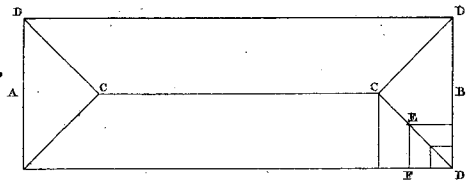


Fig. 555.

Fig. 554.

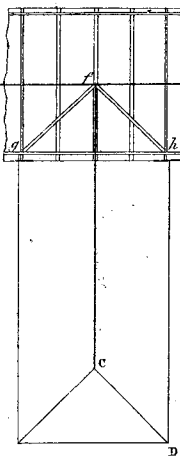


Fig. 557.

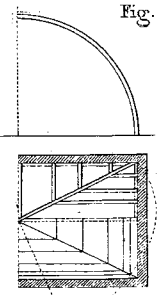


Fig. 558.

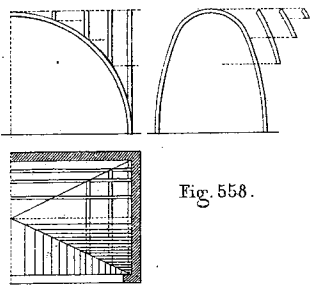


Fig. 556.

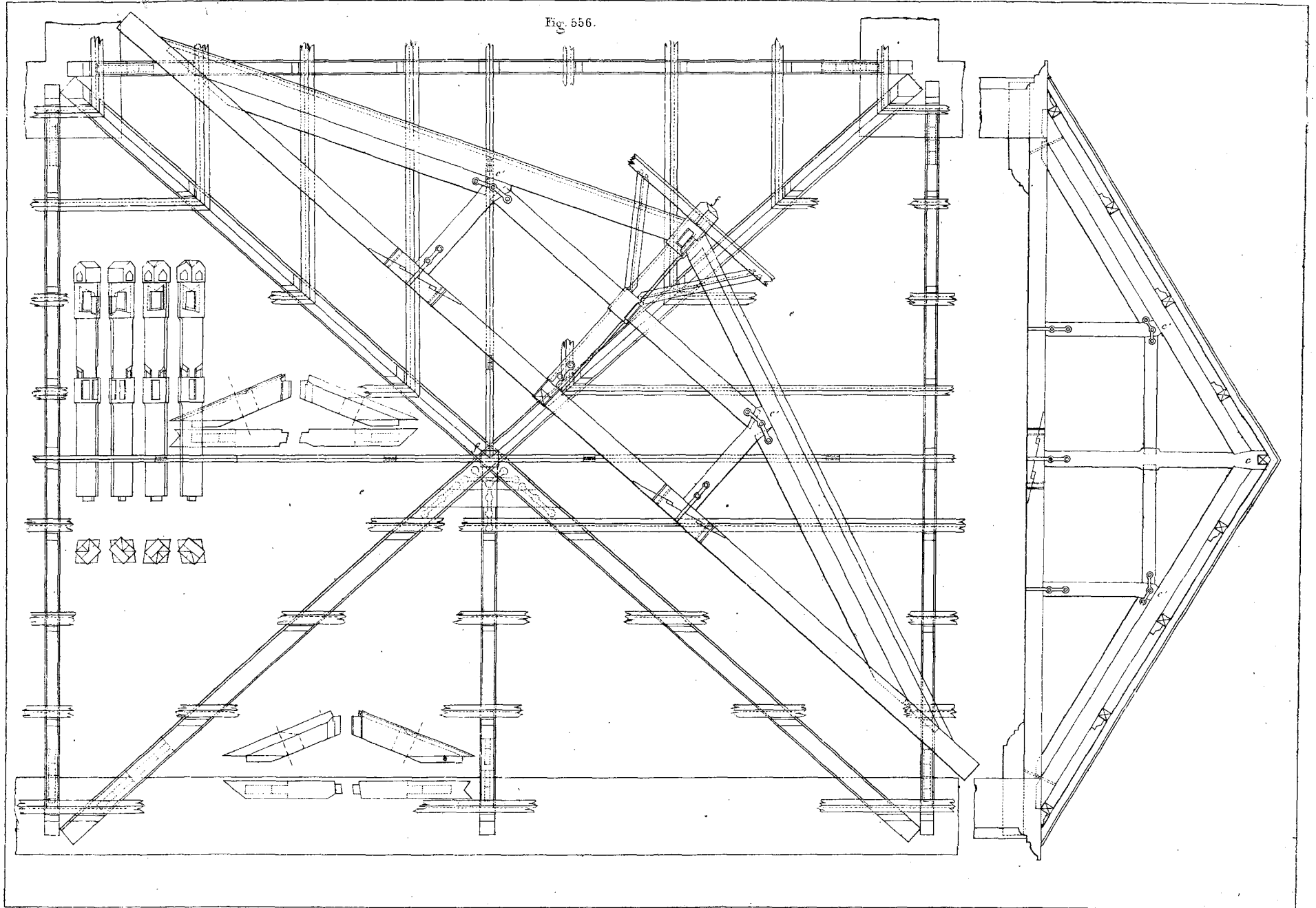
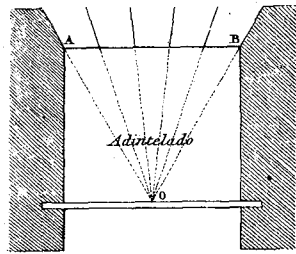


Fig. 559.



De 3 arcos de 60.º

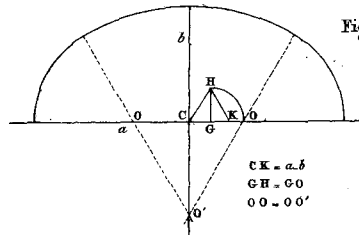


Fig. 564.

De 5 centros

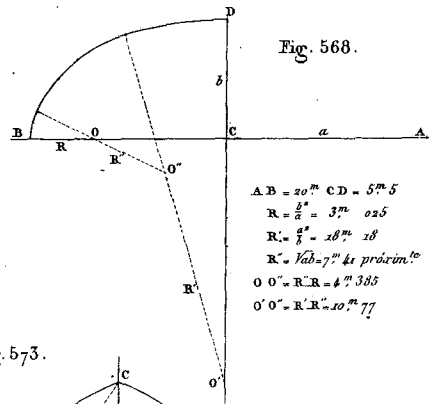
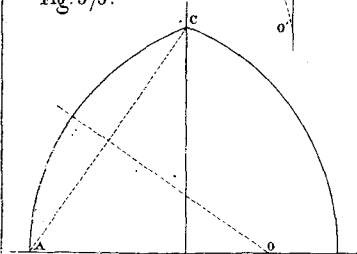


Fig. 568.

Fig. 573.



fónico ó apuntado

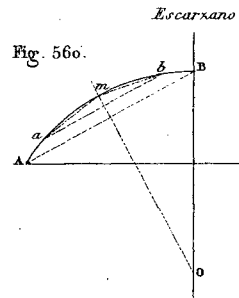


Fig. 560.

Escarzano

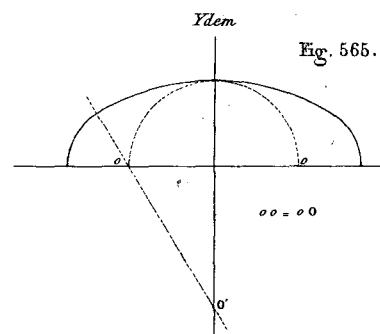


Fig. 565.

Fig. 569.

De 7 centros

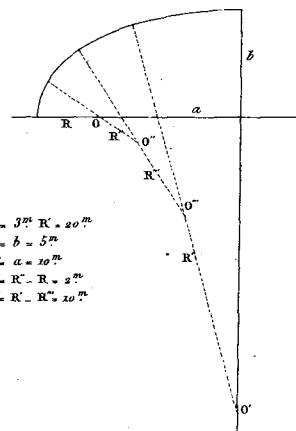


Fig. 561.

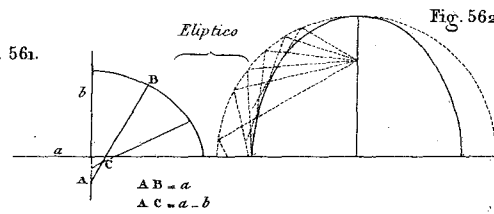


Fig. 562.

Elíptico

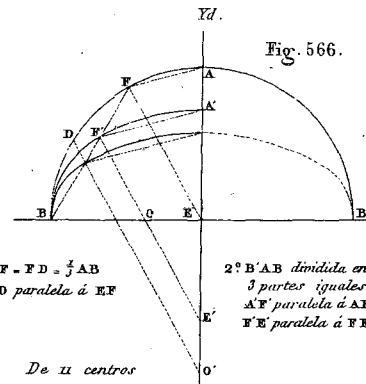


Fig. 566.

De 11 centros

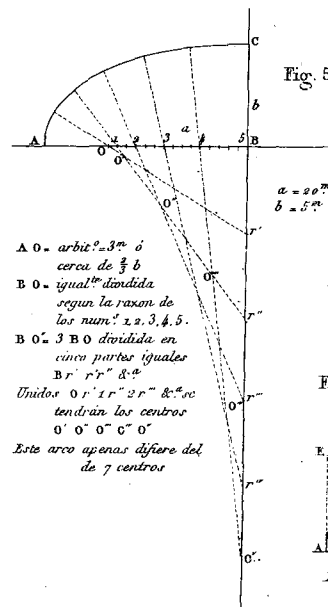


Fig. 570.

De 3 centros

Fig. 563.

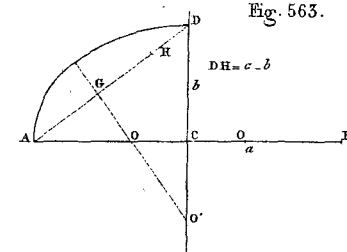
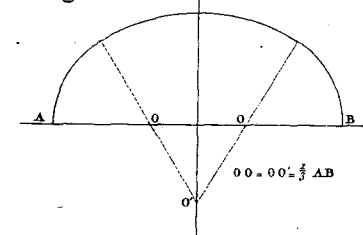


Fig. 567.

Id.



Parabólico

Fig. 571.

Fig. 572.

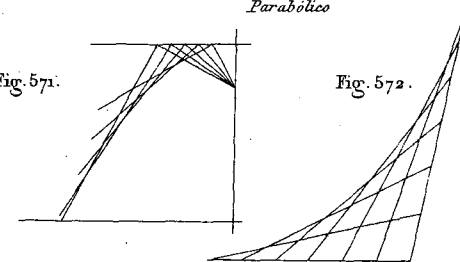
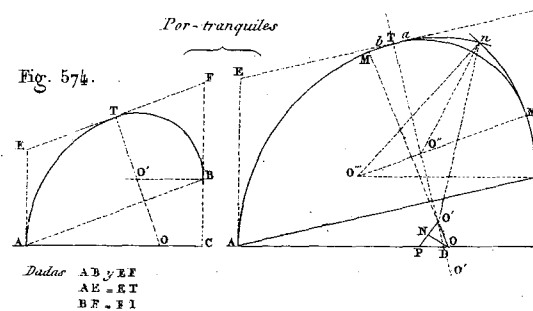


Fig. 575.

Fig. 574.



Dadas AB y BF

1.º AE = BF = EF

DO' = ba

BO' = TO'

O' = intersec.^{te} de MO' y TO'

AP = TO'

La perpendicular ND es medio de PO' da el último centro O de AM

2.º AE = BF = EF

Entonces se toma DO' por debajo de AC

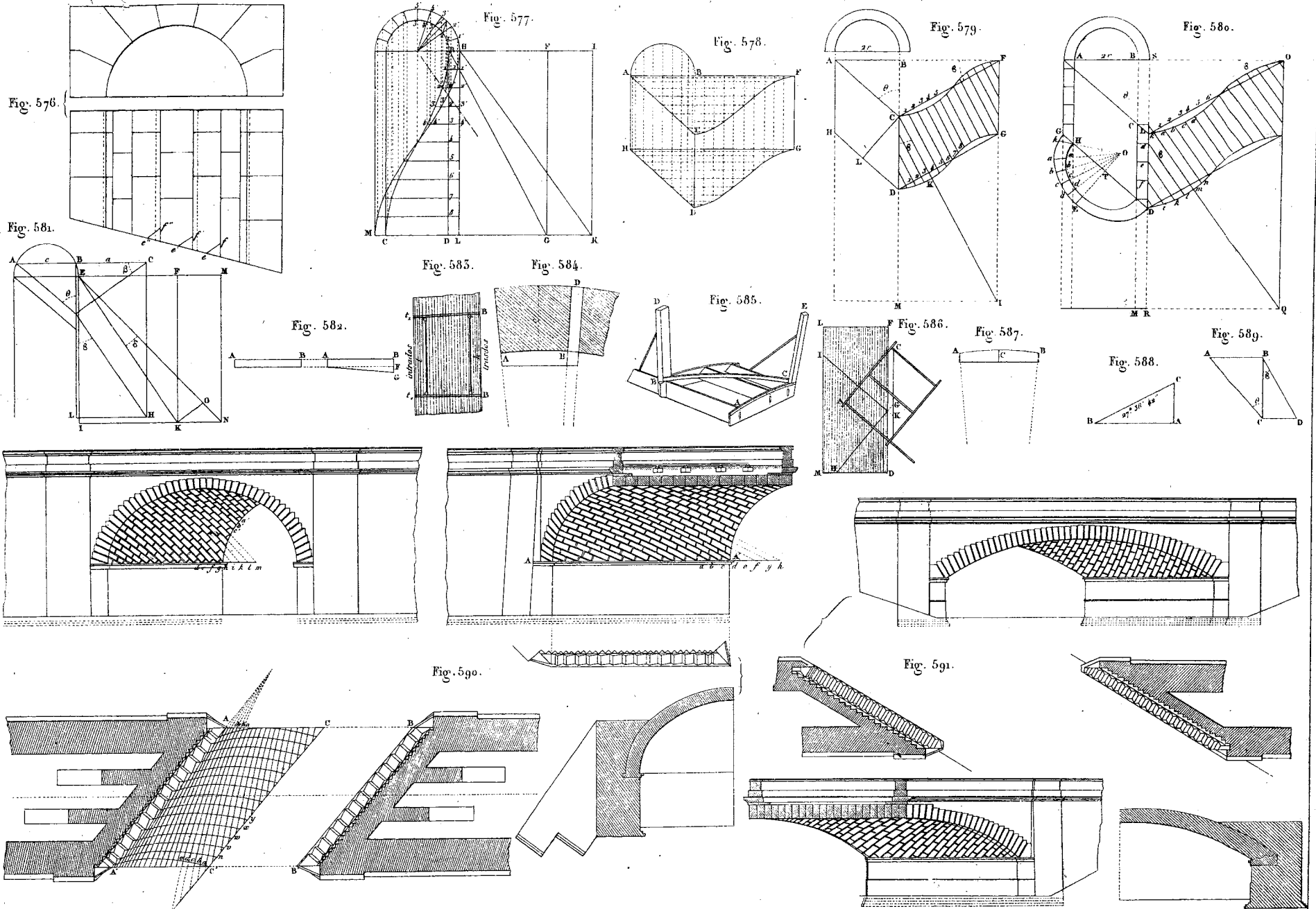


Fig. 592.

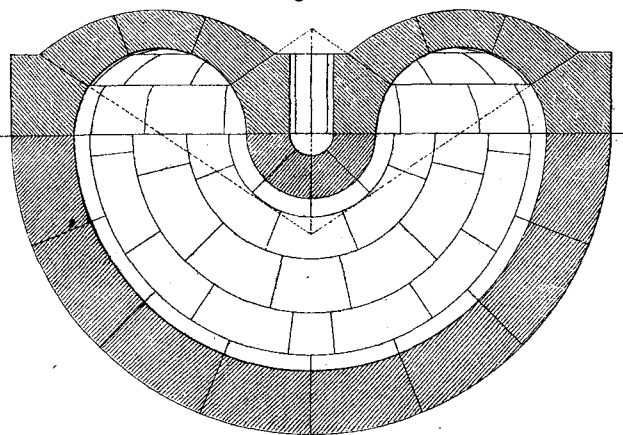


Fig. 593.

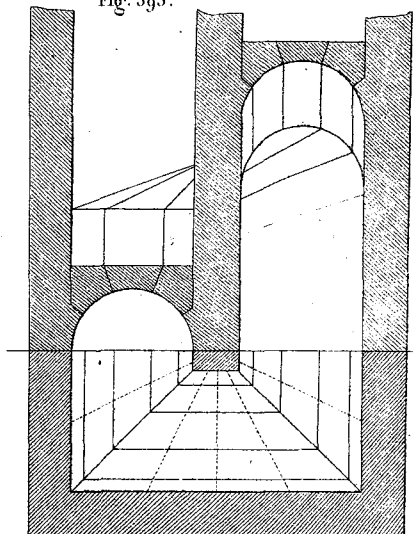


Fig. 594.

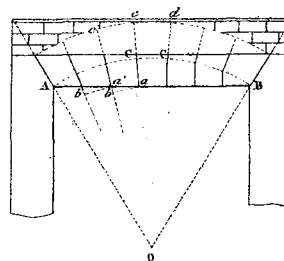


Fig. 595.

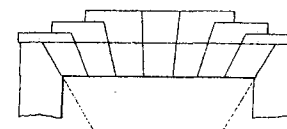


Fig. 596.

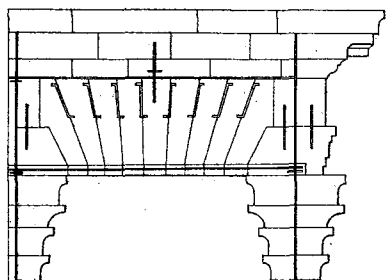


Fig. 597.

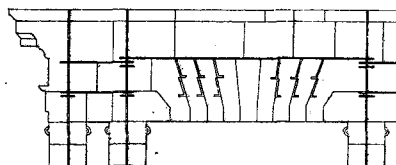


Fig. 598.

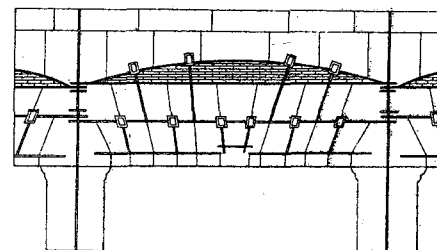


Fig. 599.

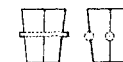


Fig. 600.



Fig. 601.

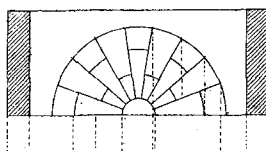
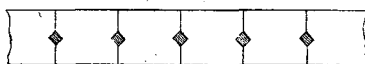


Fig. 602.

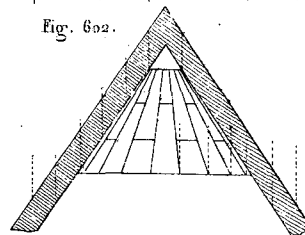


Fig. 603.

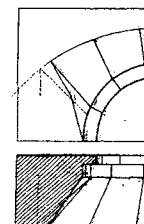
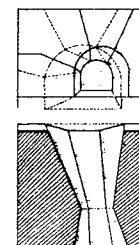
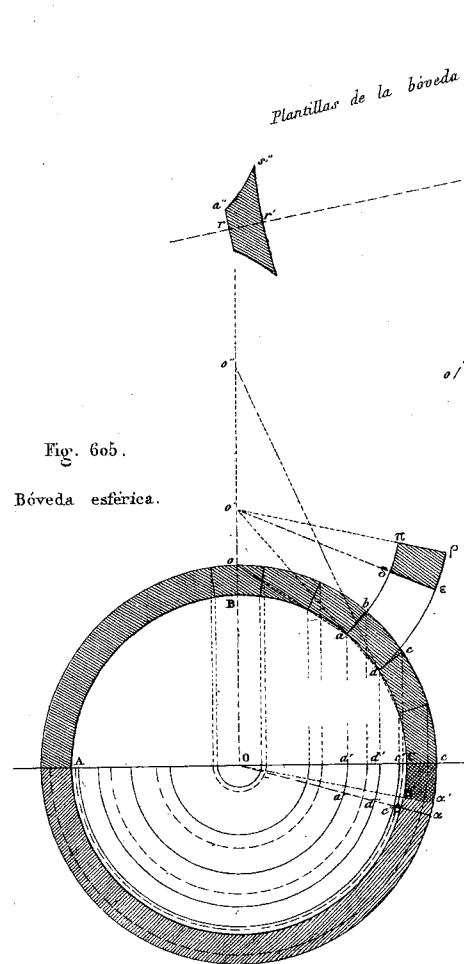


Fig. 604.



Bóvedas vaidas.



$C \beta \alpha c = \text{lecho } d c$
 $C \beta \alpha c = \text{lecho } a b$
 $\pi \delta p c = \text{intrados } a d$

Regida por 4 polos

Plantillas de la bóveda

Plantillas de las pechinas

Fig. 606.

Regida por un solo polo en la clave

Fig. 607.

Plantillas de las pechinas

Plantillas de la bóveda

Tarraja

Bóvedas de arista

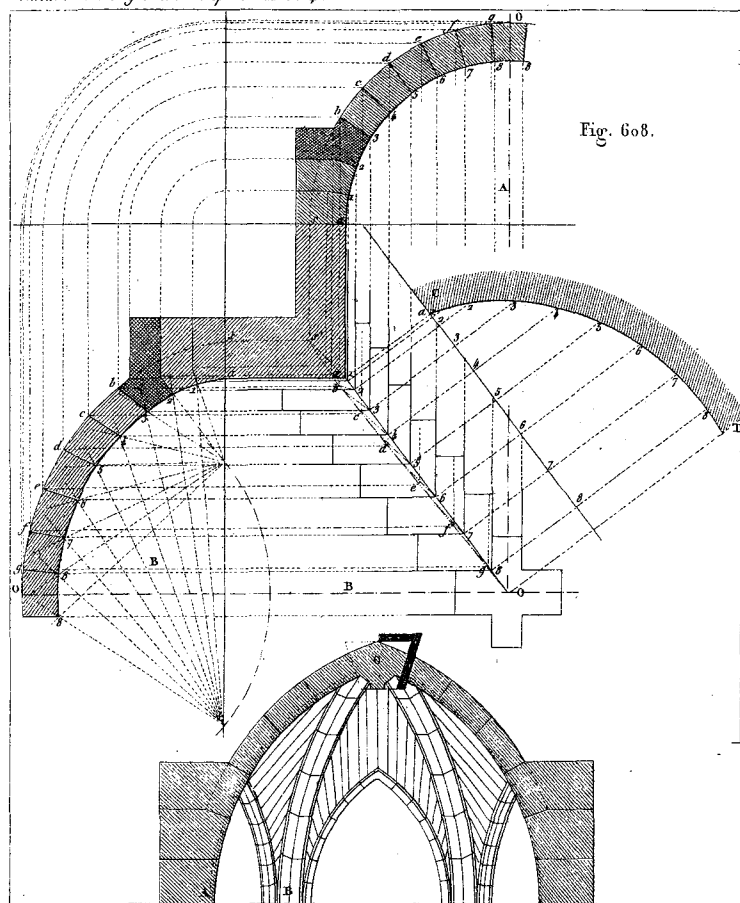


Fig. 608.

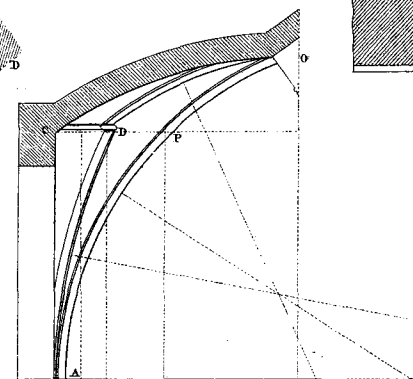


Fig. 612.

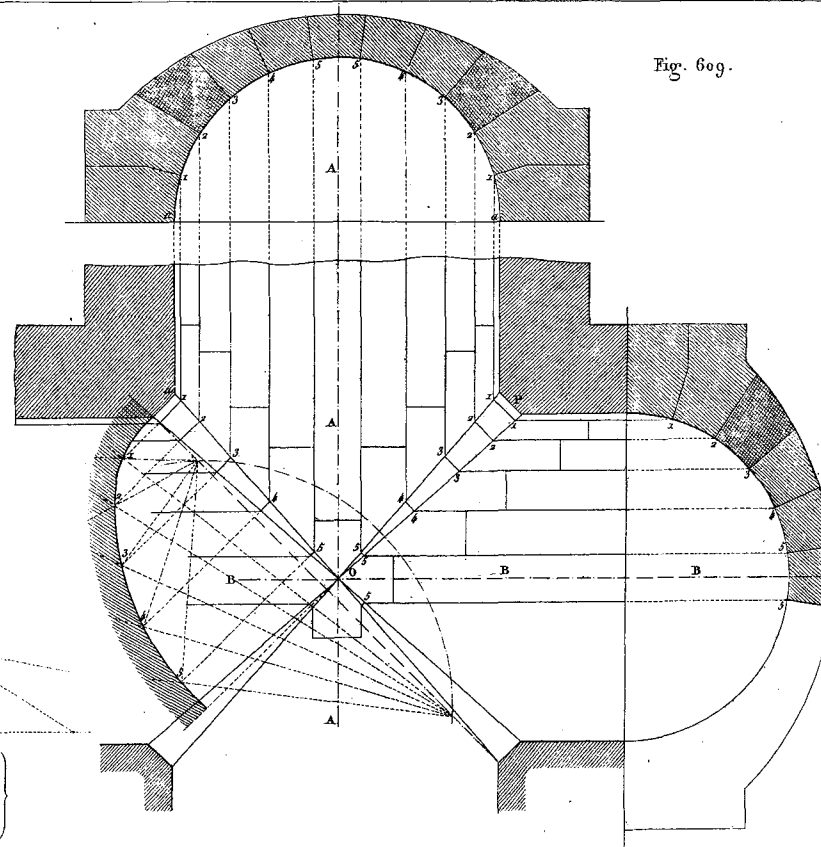
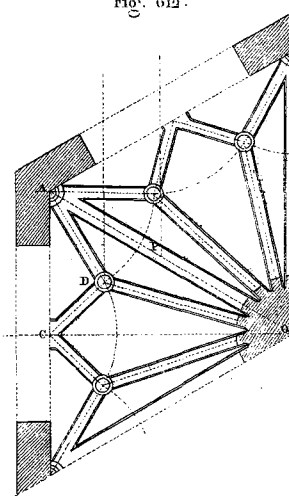


Fig. 609.

Fig. 610.

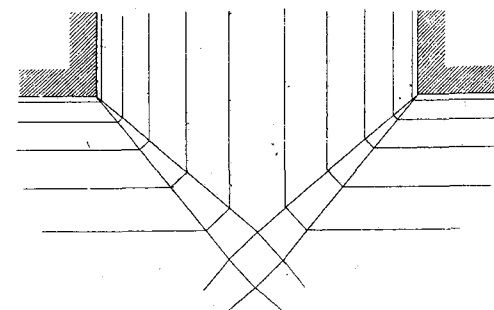


Fig. 611.

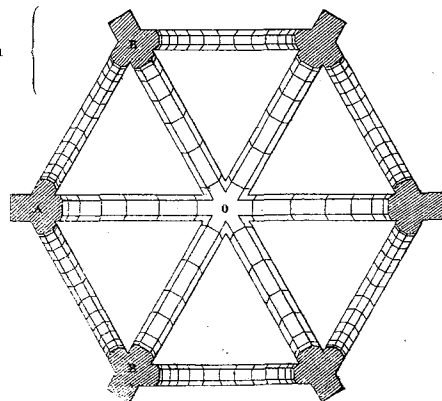


Fig. 613.

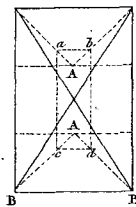
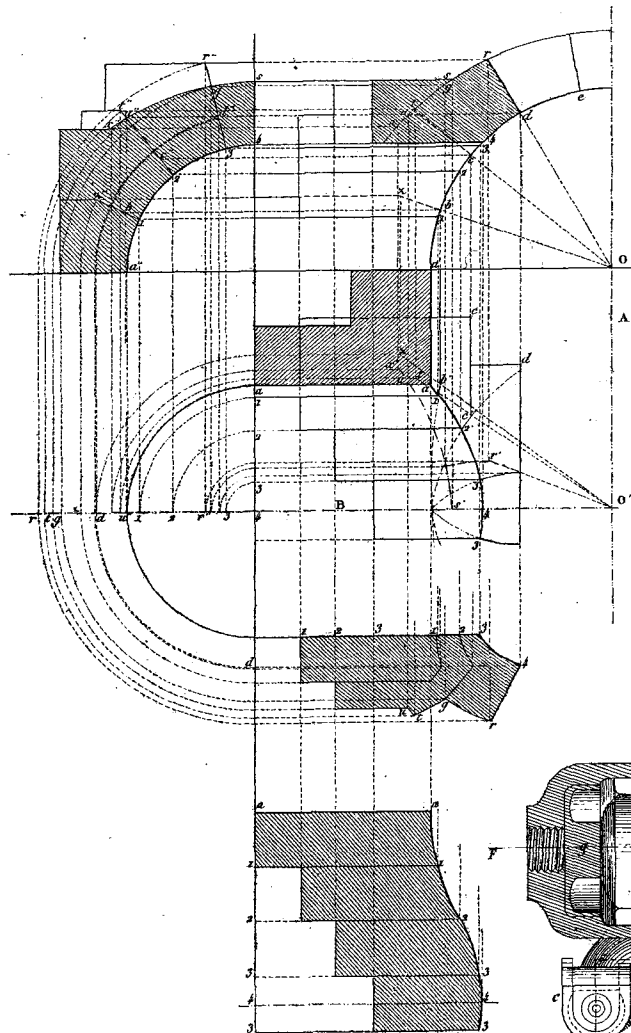
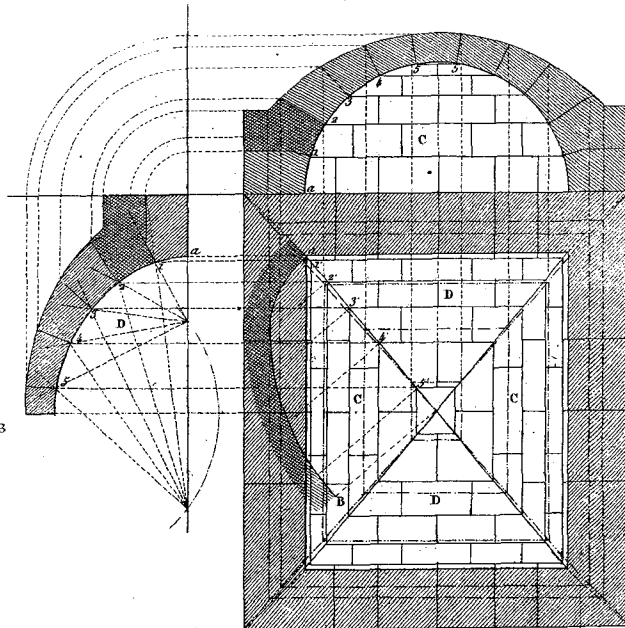
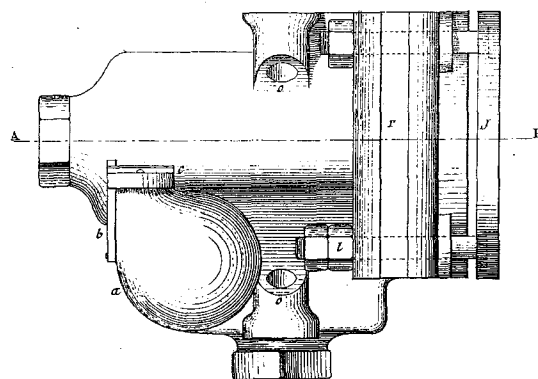
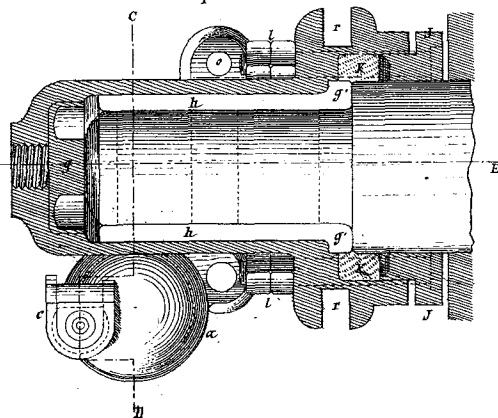


Fig. 615.

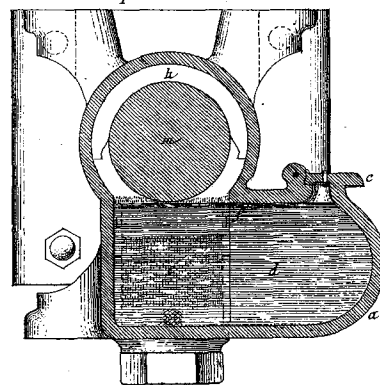
Vista de costado.



Corte por la línea A.B.



Corte por la línea C.D.



Corte por la línea E.F.

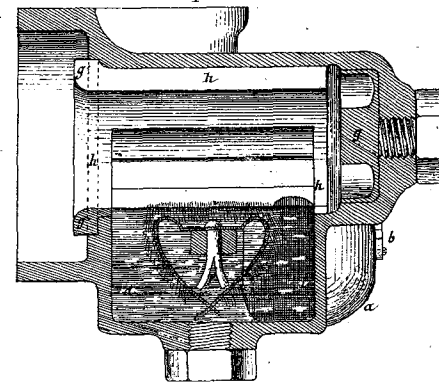
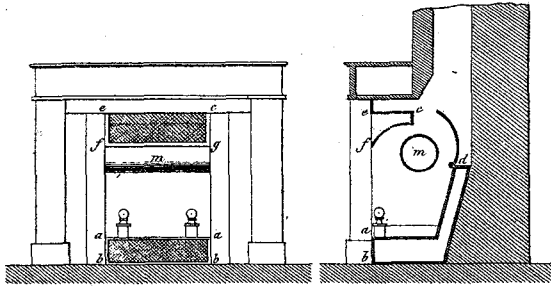
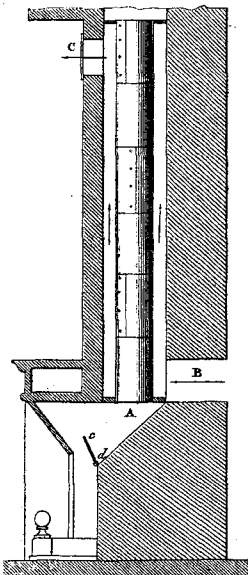


Fig. 616.



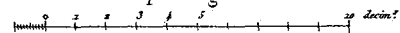
- a b* Tela metálica para el paso del aire de la pieza a la caja lateral b d.
m Tubo dentro del que circula el aire de la pieza y que comunica con la caja b d por un lado y con la e f g c por el opuesto.
c f Tela metálica por donde vuelve a la habitación el aire calentado.
d Registro de tiro.

Fig. 617.



- c d* Registro de tiro.
A Tubo conductor del humo y aire quemado.
B Entrada del aire exterior; el cual sube en seguida rodeando al tubo A de cuyas paredes recibe cierto grado de calor con el que penetra en la habitación por el tubo C.

Escala p.º las Fig. 618.



Escala p.º la Fig. 619.

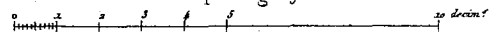


Fig. 618.

Chimenea perfeccionada de Pluchard.

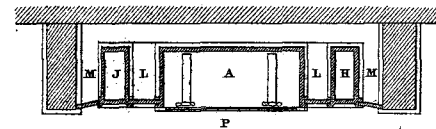
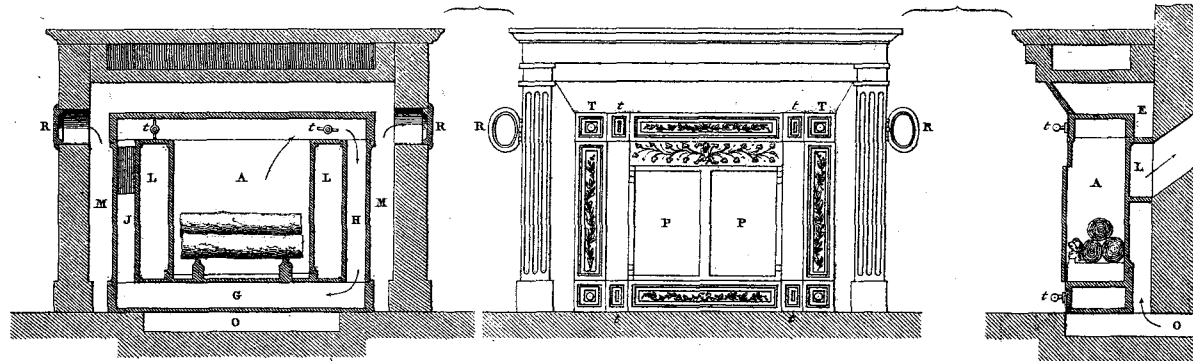
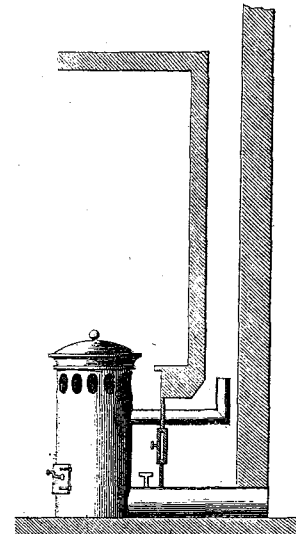
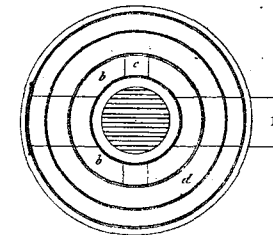
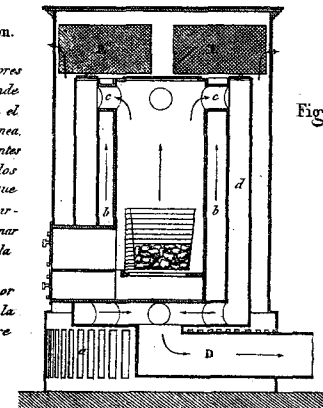
Detalle de ensamble de las
cejías de las galerías.

Fig. 619.

Estufa
de doble circulación.

- a* Aberturas inferiores al lugar por donde penetra el aire en el cuerpo de la chimenea, rodeando los diferentes circuitos b entre los tubos de humo c que se encuentran de arriba abajo hasta ganar el de escape a la chimenea D.
E Tela metálica por donde vuelve a la habitación el aire calentado.

Fig. 620.



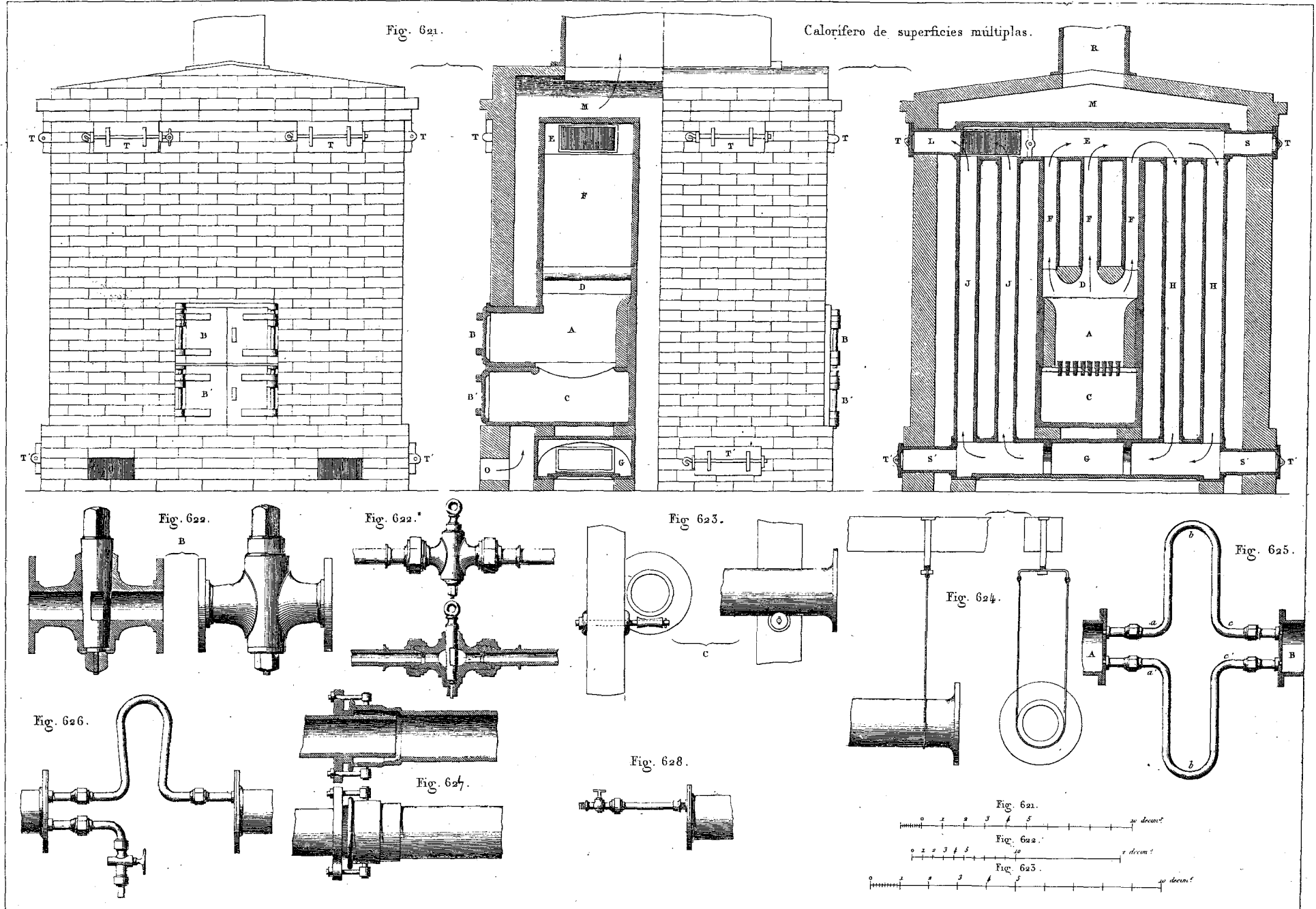


Fig. 629.

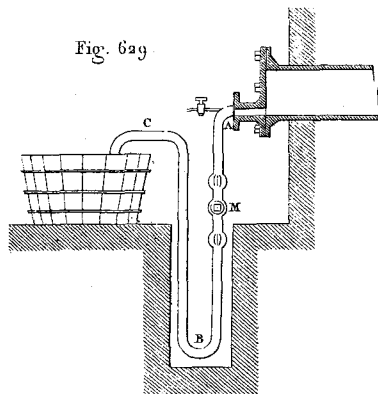
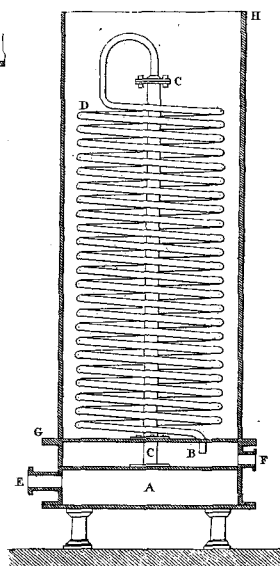


Fig. 630.



(Fig. 630.)

- E Tubo de conducción del vapor.
 A Caja de vapor de donde marcha el tubo C al espiral D.
 B Caja de condensación.
 F Salida del vapor condensado.
 G H Caja de fundición, abierta, donde se calienta el aire de la habitación.

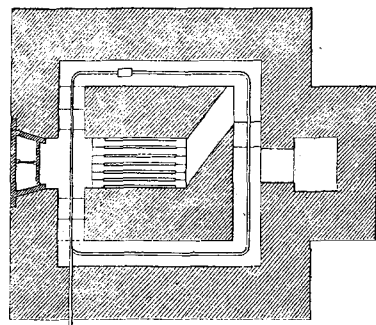
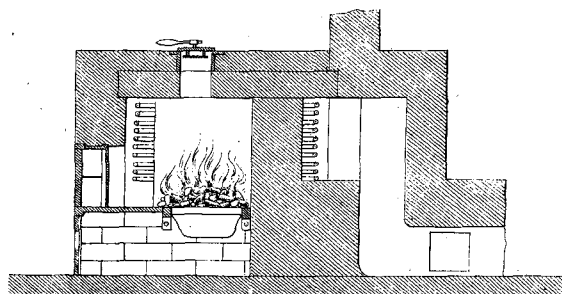


Fig. 638.

Fig. 631.

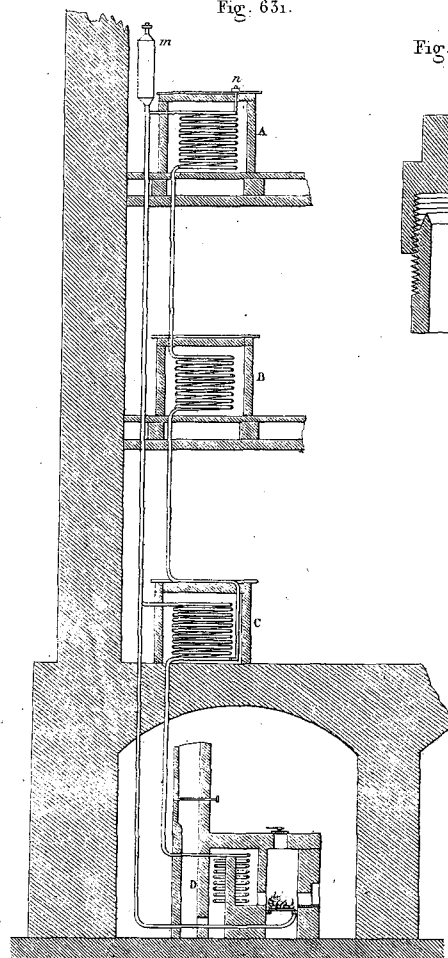


Fig. 632.

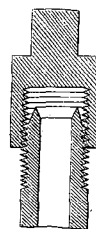


Fig. 633.

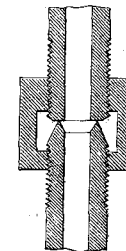


Fig. 634.

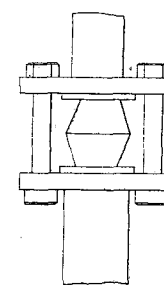


Fig. 635.

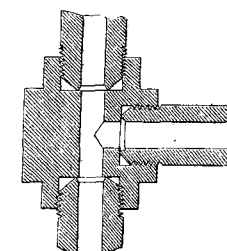


Fig. 636.

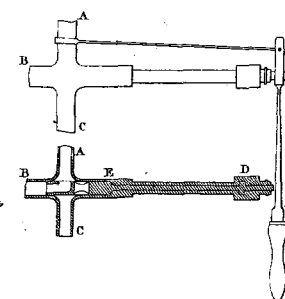


Fig. 637.

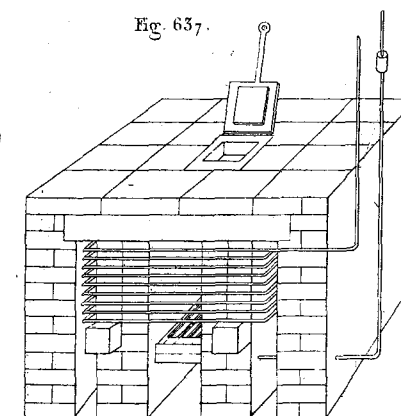
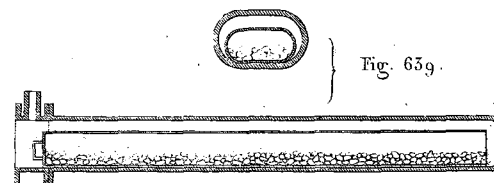
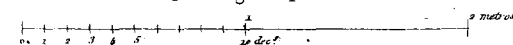


Fig. 639.



Escala p.º las Fig.º 637 y 638.



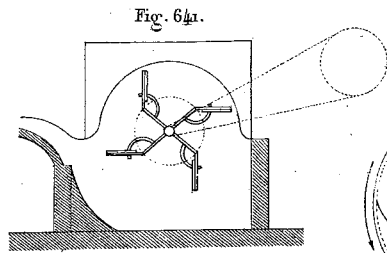
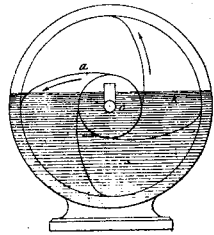


Fig. 646.



Filtro empleado en las Lander

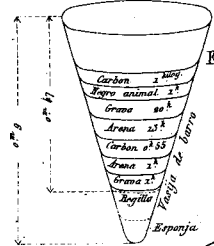


Fig. 647.

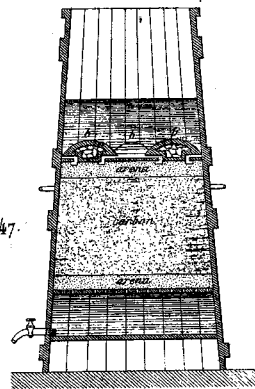


Fig. 648.

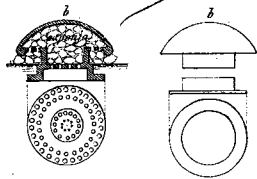


Fig. 657.

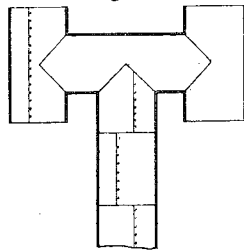


Fig. 658.

Fig. 642.

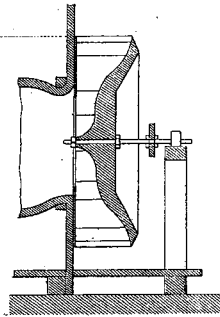
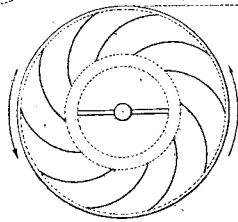


Fig. 649.

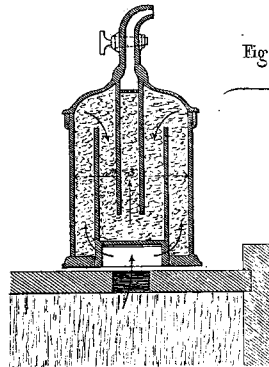


Fig. 656.

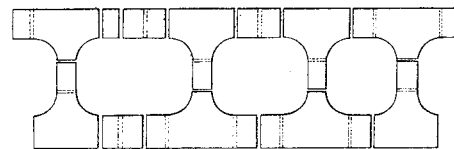


Fig. 659.

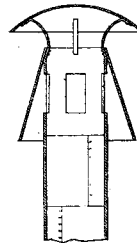


Fig. 660.

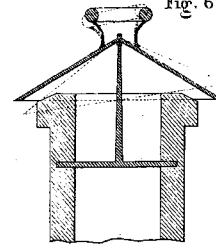


Fig. 661.

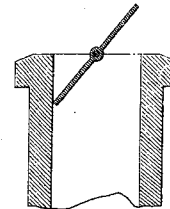


Fig. 662.

Fig. 643.

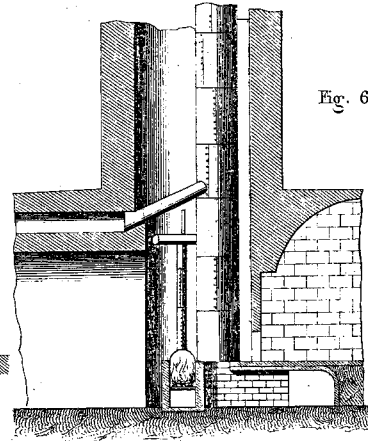


Fig. 644.

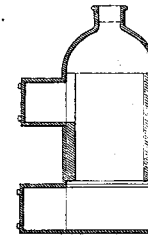


Fig. 650.

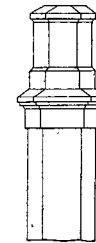


Fig. 651.



Fig. 645.

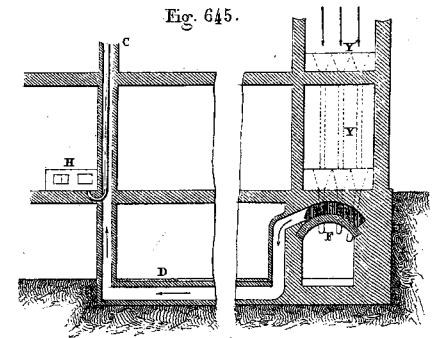


Fig. 652.

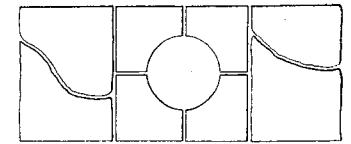


Fig. 653.

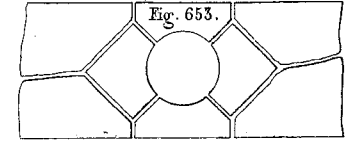


Fig. 655.

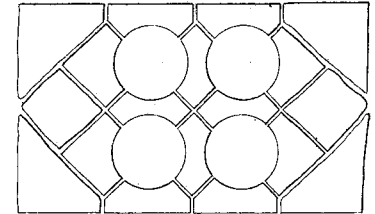


Fig. 654.

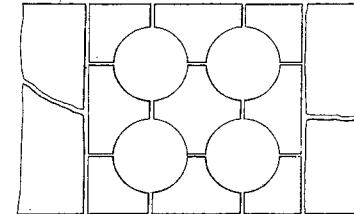


Fig. 663.

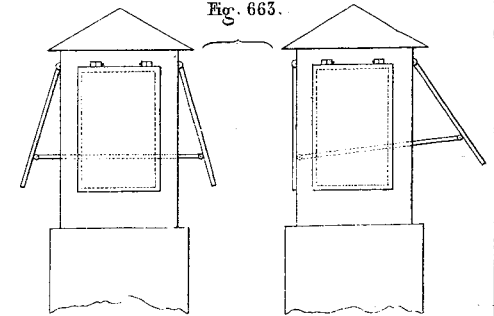
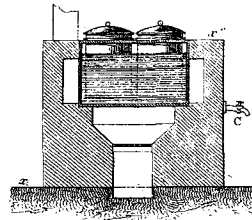
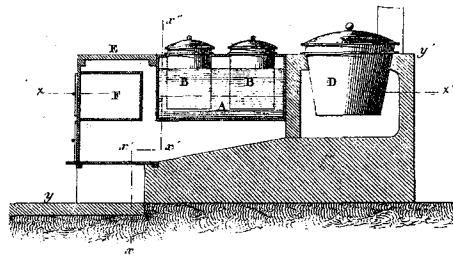


Fig. 664.

Cocina económica de la escuela normal de Versailles.

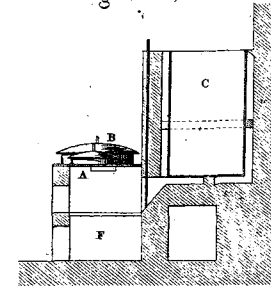
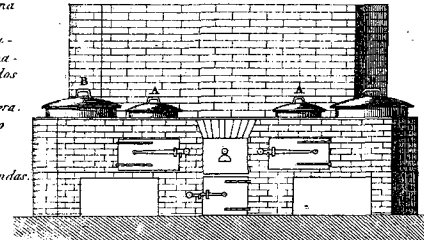


(Fig. 664.)

- A = Caldera de palastro llena de agua salada.
 B = Ollas de hierro blanco sumergidas en el baño de maría para la cocción de cultivos y legumbres.
 C = Grifa p.^a designar la caldera.
 D = Caldera de cobre estaniado para el agua caliente.
 E = Placa de fundición.
 F = Horno para cocer las mantas.

Fig. 665.

Hornillo económico del hospital del arrabal de Santiago. (Paris)



(Fig. 665.)

- A, B = Ollas, una mas pequeña y menos profunda que la otra, al rededor y bajo las cuales circula á voluntad el calorico por medio de registros.
 C = Caldera de agua caliente.
 D = Hornillos.
 E = Parrillas.
 F = Cenicero.

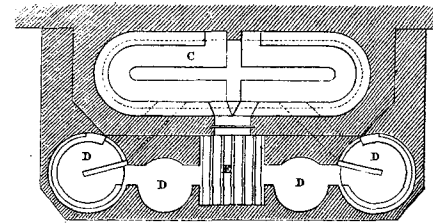
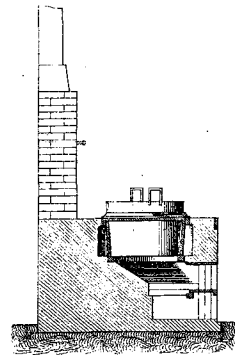
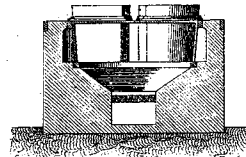
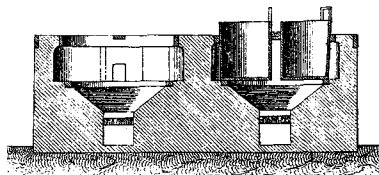


Fig. 666.



Hornillos económicos para cuarteles.

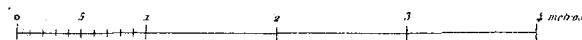
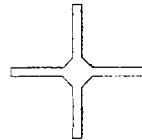
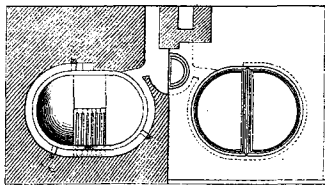


Fig. 667.

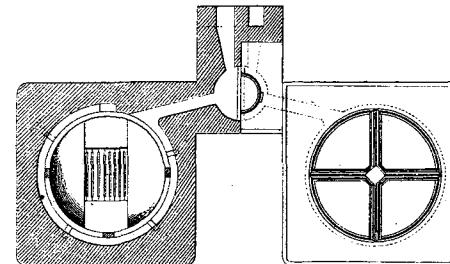
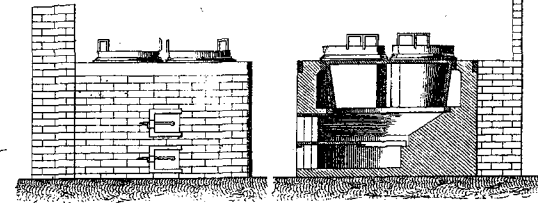


Fig. 668.

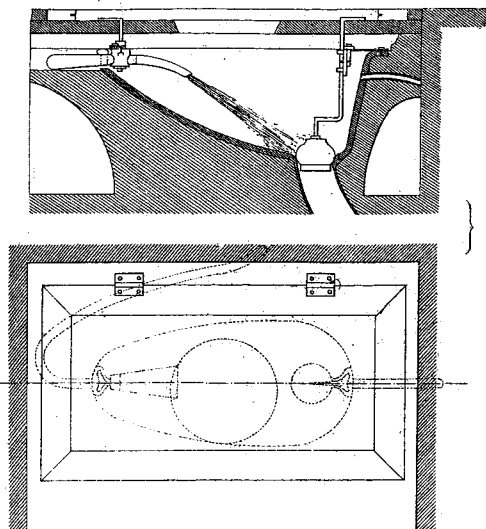


Fig. 669.

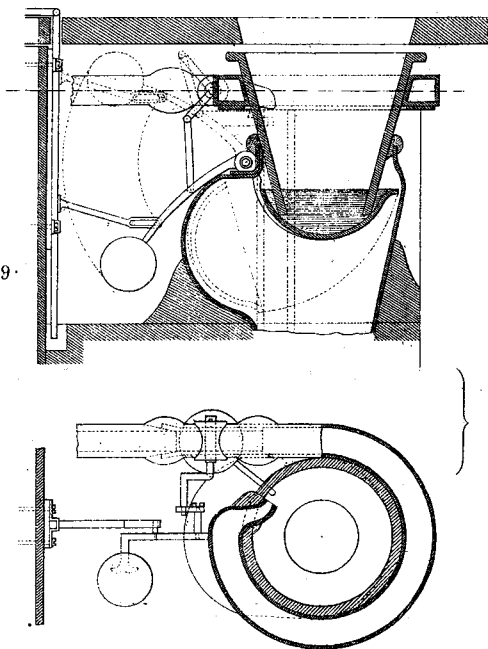


Fig. 671.

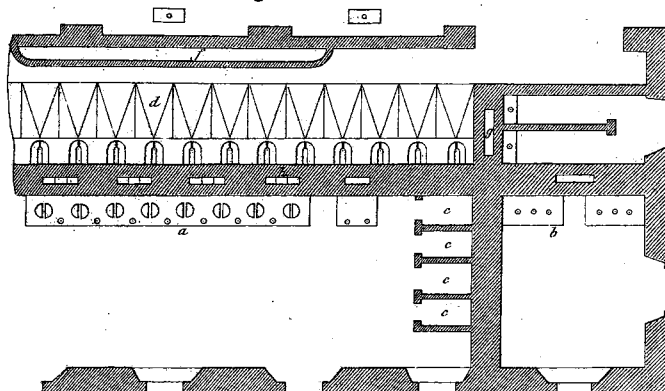


Fig. 673.

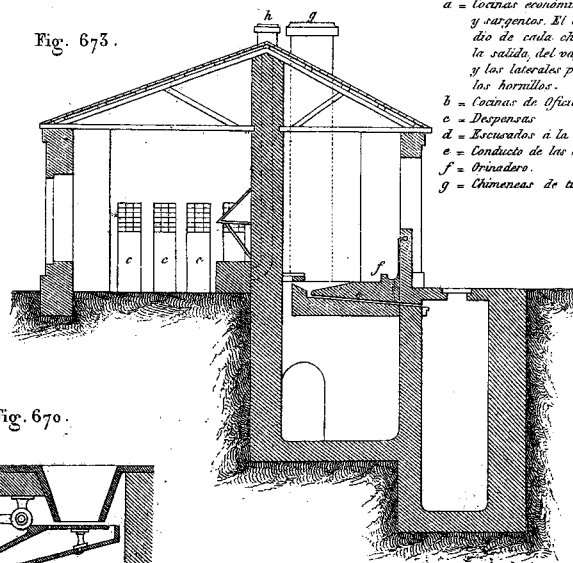


Fig. 670.

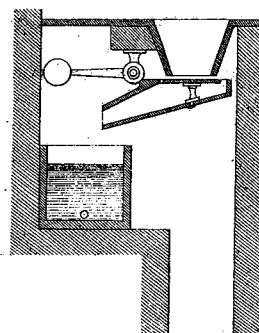


Fig. 672.

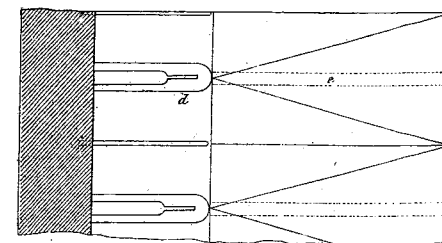
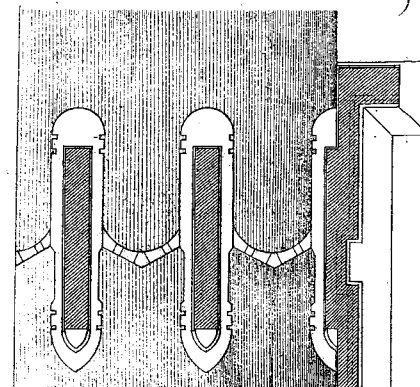
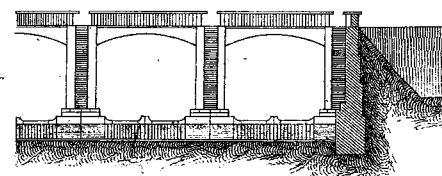
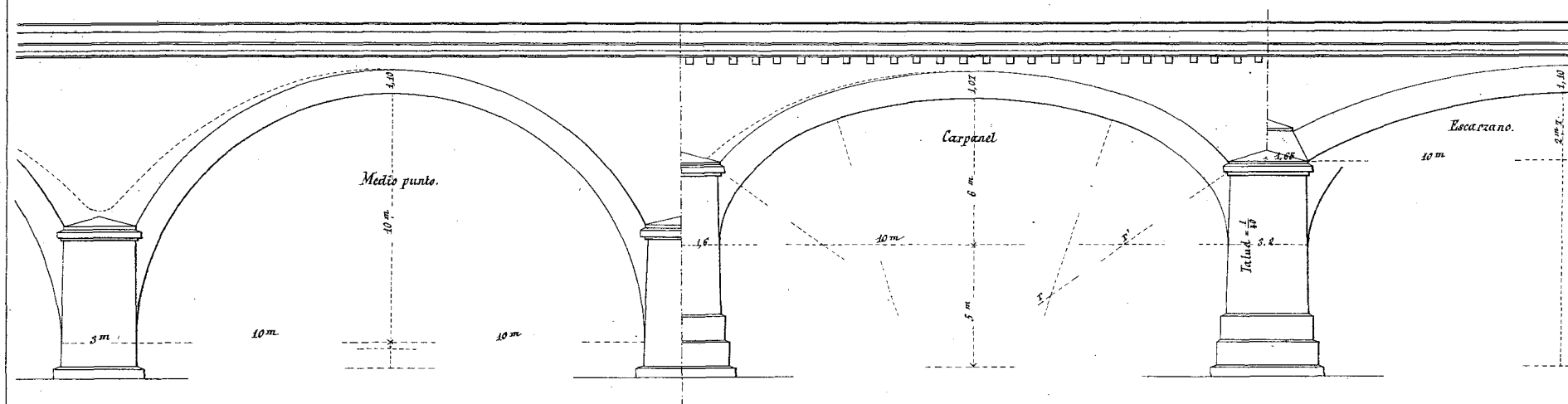


Fig. 674.

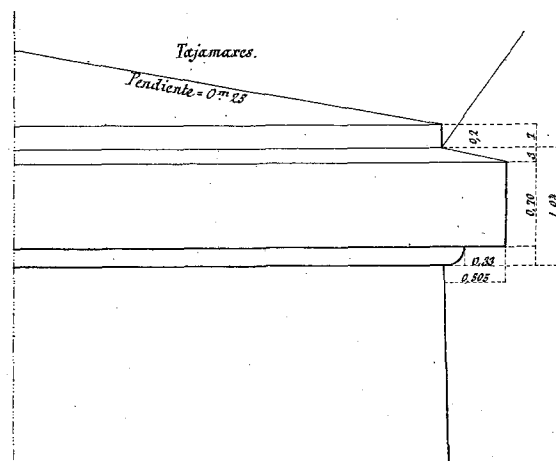


a = Cocinas económicas de soldados y argenteros. El conducto del medio de cada chimenea, es para la salida del vapor de las ollas, y los laterales para el humo de los hornillos.
b = Cocinas de Oficiales
c = Despensas
d = Escusados a la torca.
e = Conducto de las aguas de limpieza.
f = Orinadero.
g = Chimeneas de tiro.

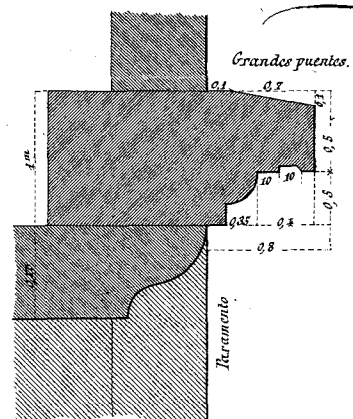
0 1 2 3 4 5 10 met.



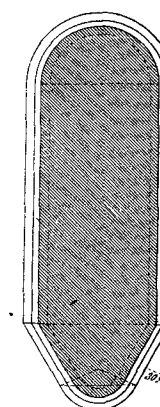
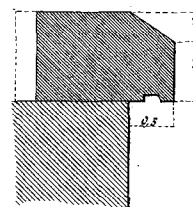
Decoracion de Puentes.



Plintos.



Pequeños puentes.



PUENTE DE S.º MAXENCIO

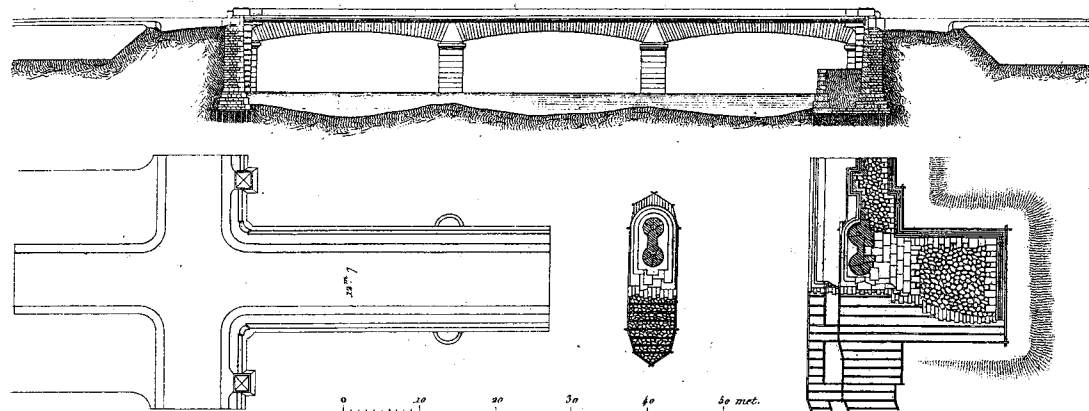


Fig. 675.

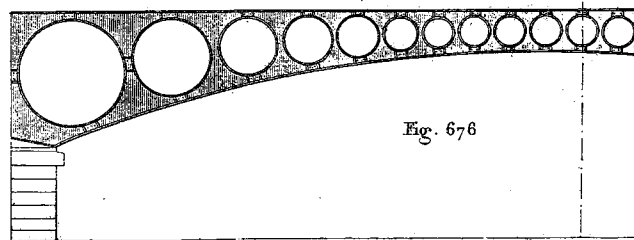
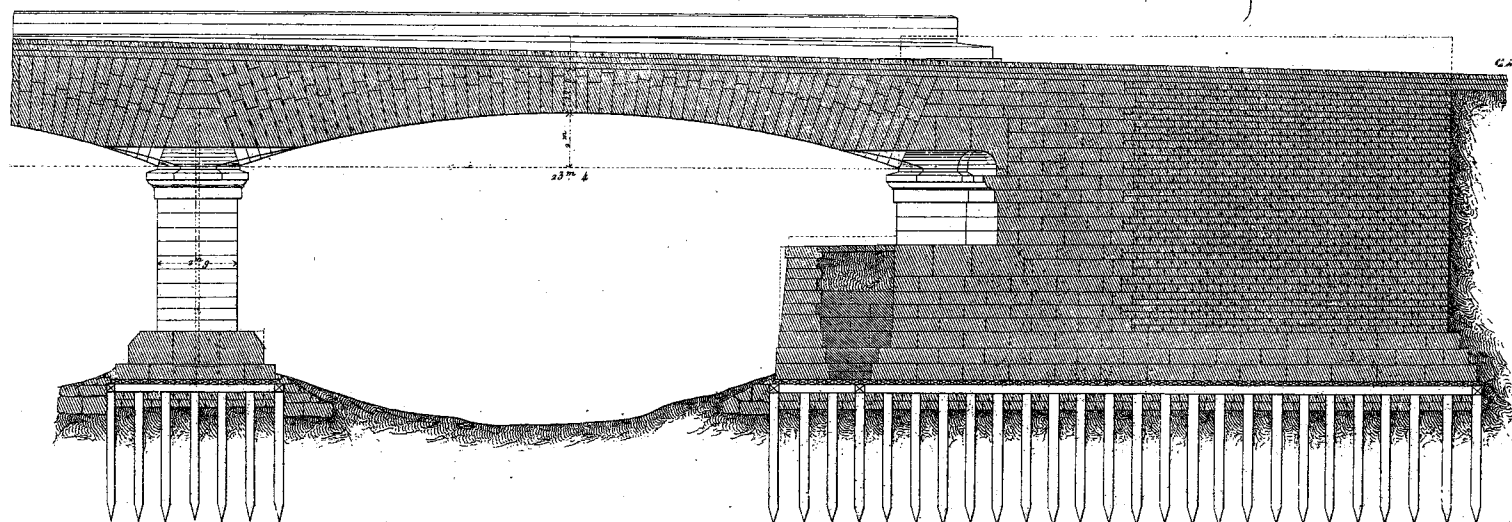


Fig. 676

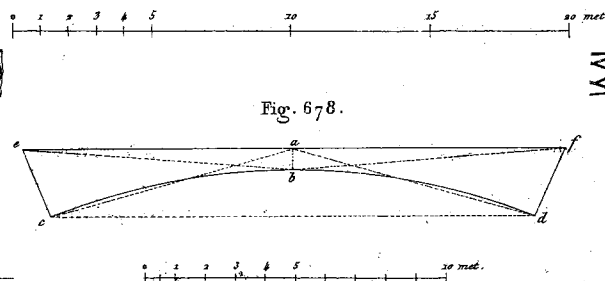


Fig. 678.

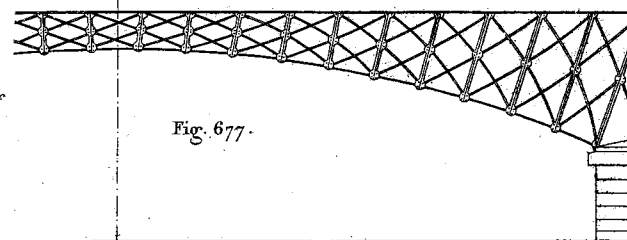


Fig. 677.

PROYECTO DE UN PUEBTO DE TRES ARCOS DE HIERRO, ANALOGO AL SISTEMA POLONCRAU

para el rio Pasi de Maula.
con expresion de un puente glorioso en su estremo izquierdo.

Fig. A. Vista longitudinal, y corte de las cimentaciones.

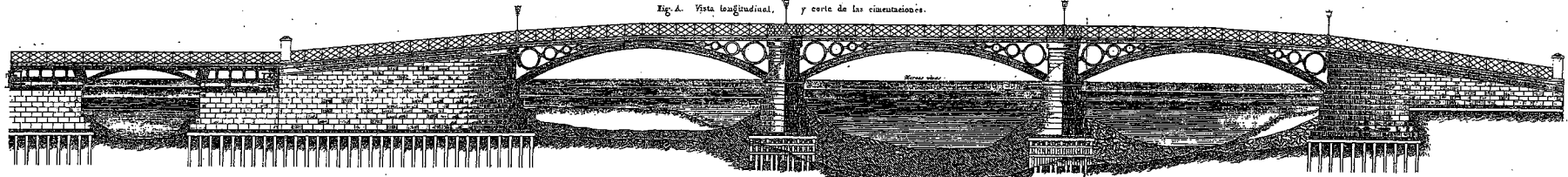


Fig. A. Plano General

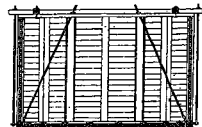
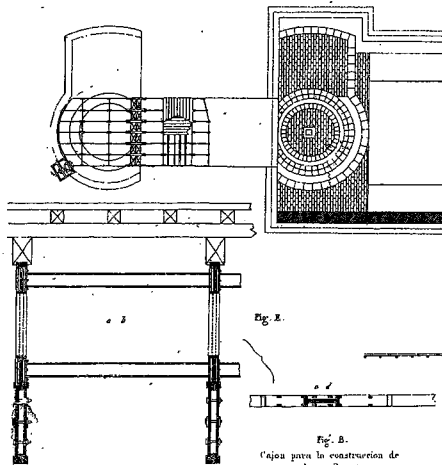
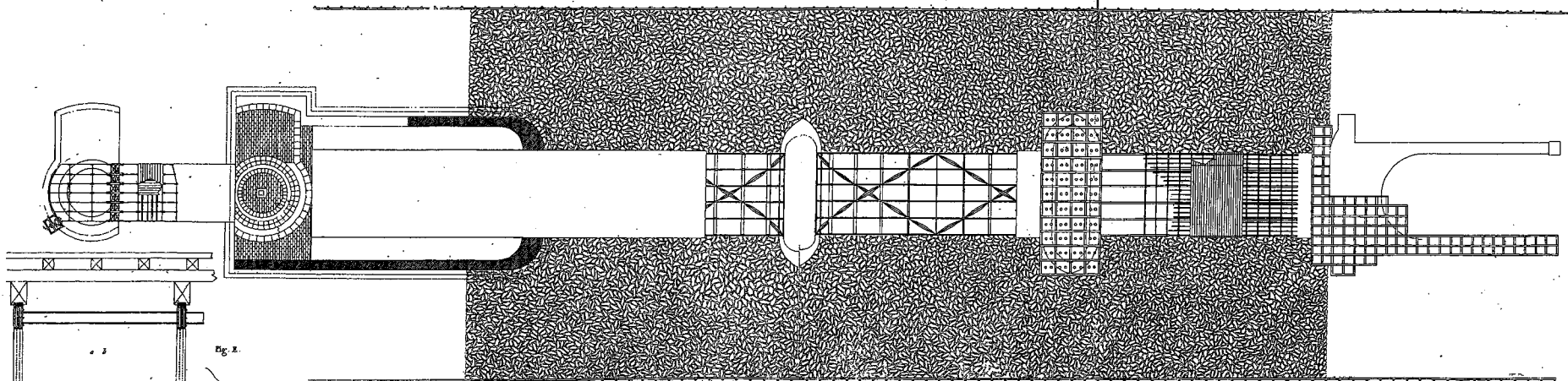


Fig. A. Vista y corte transversal por el vertice del 1º arco.

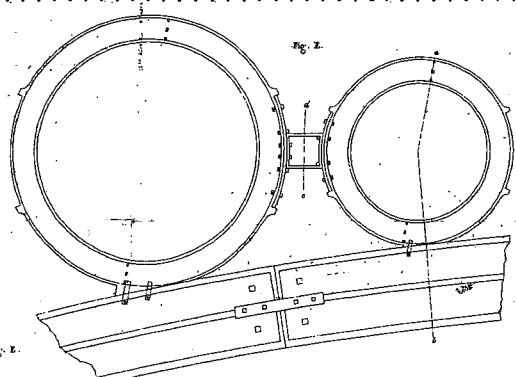
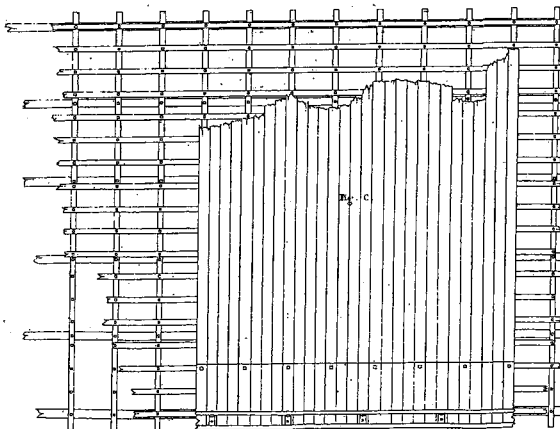
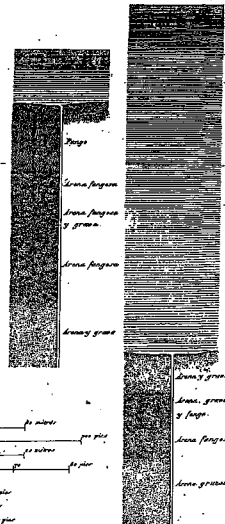
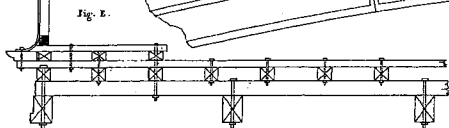


Fig. X. Cotas del fondo del rio.



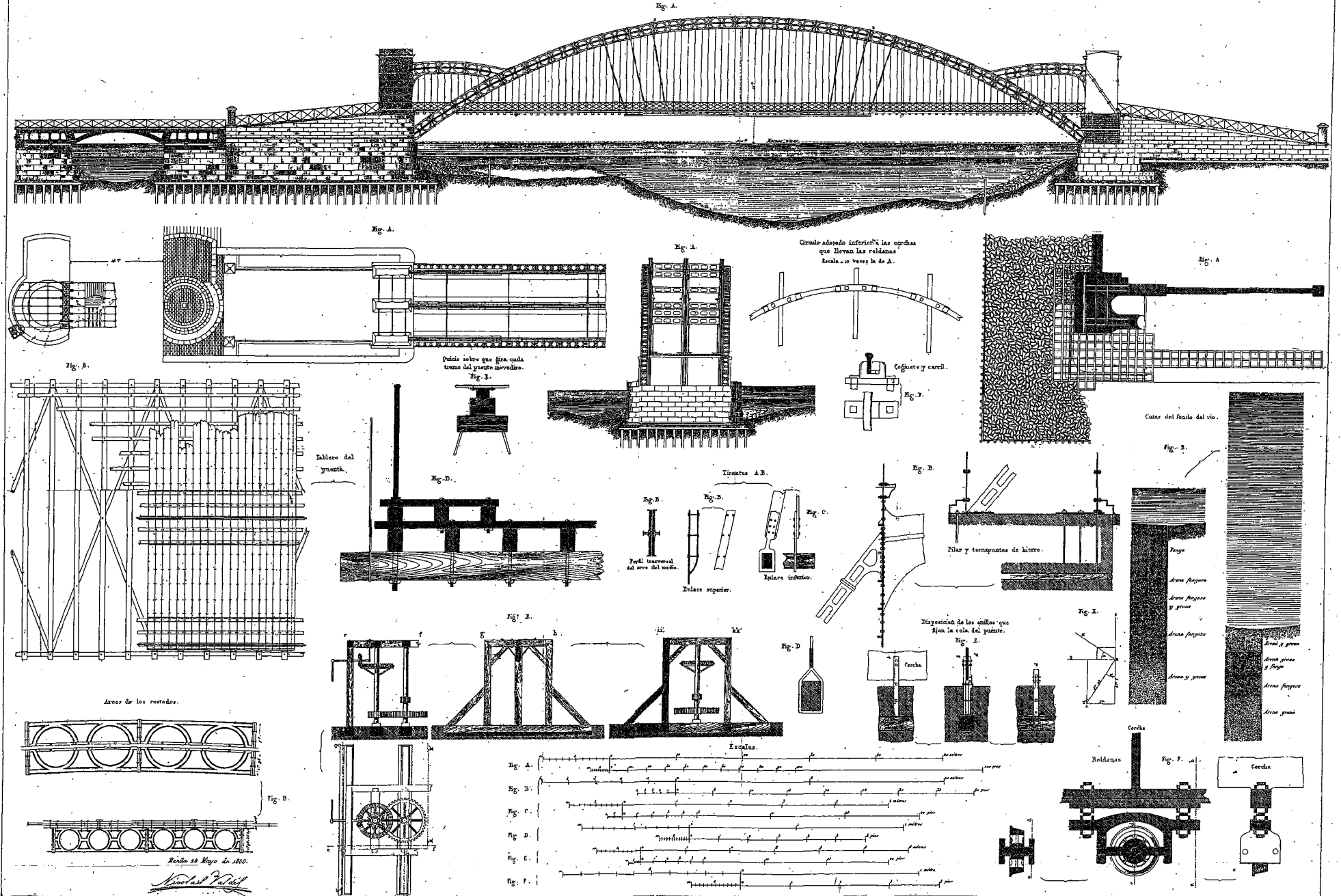
Plano y Perfil del Tablero

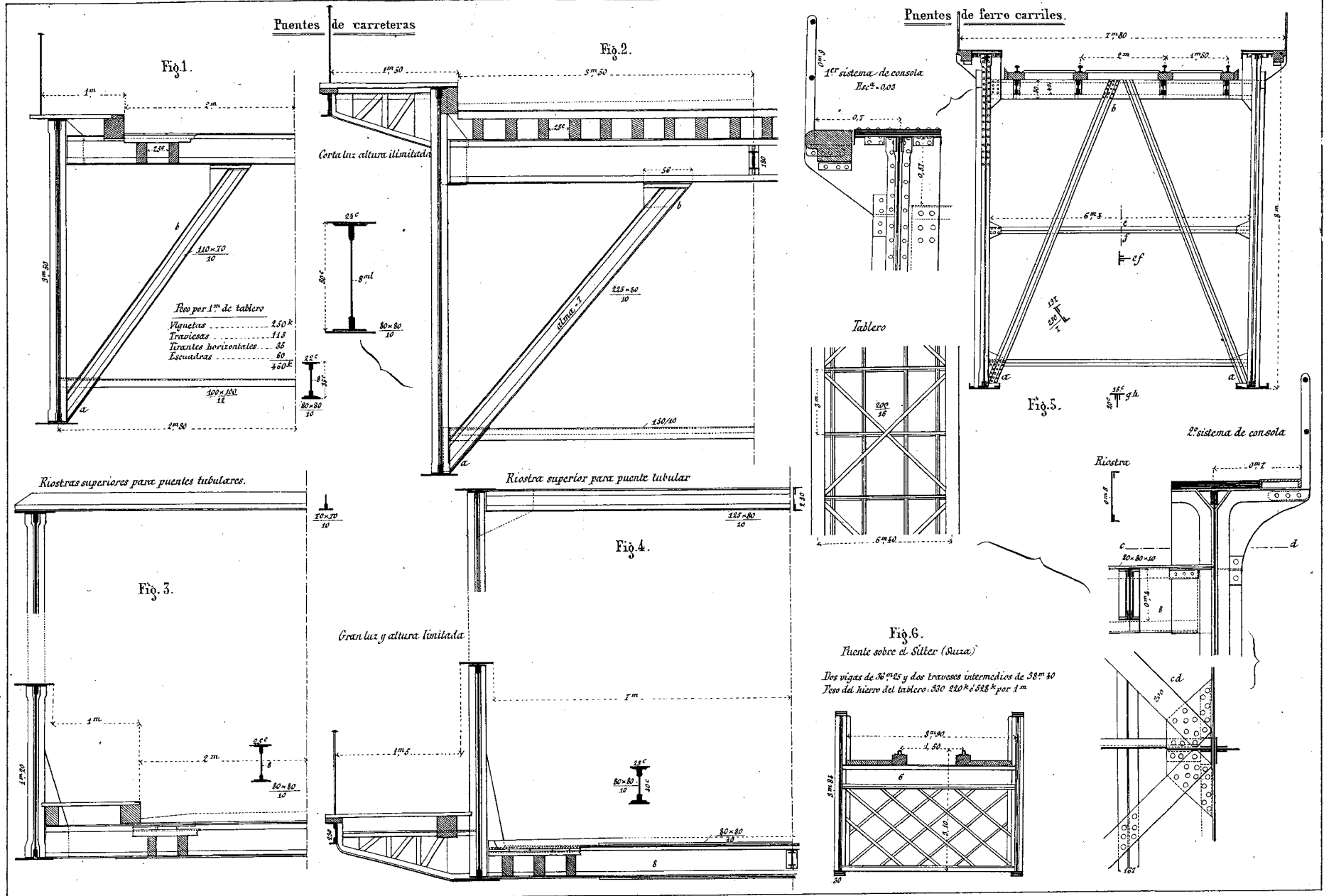


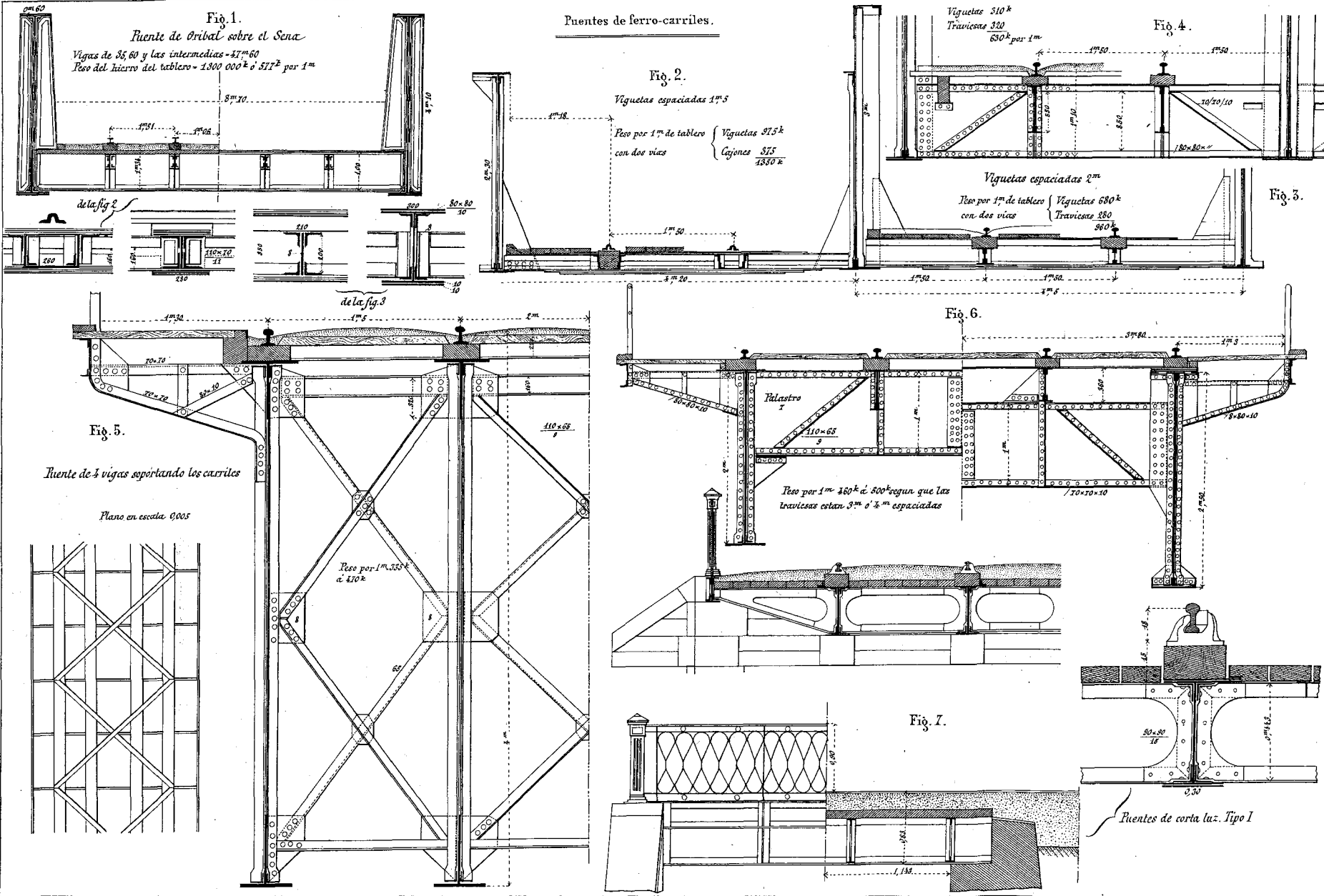
Madrid, 15 de Mayo de 1855

M. de V. 1855

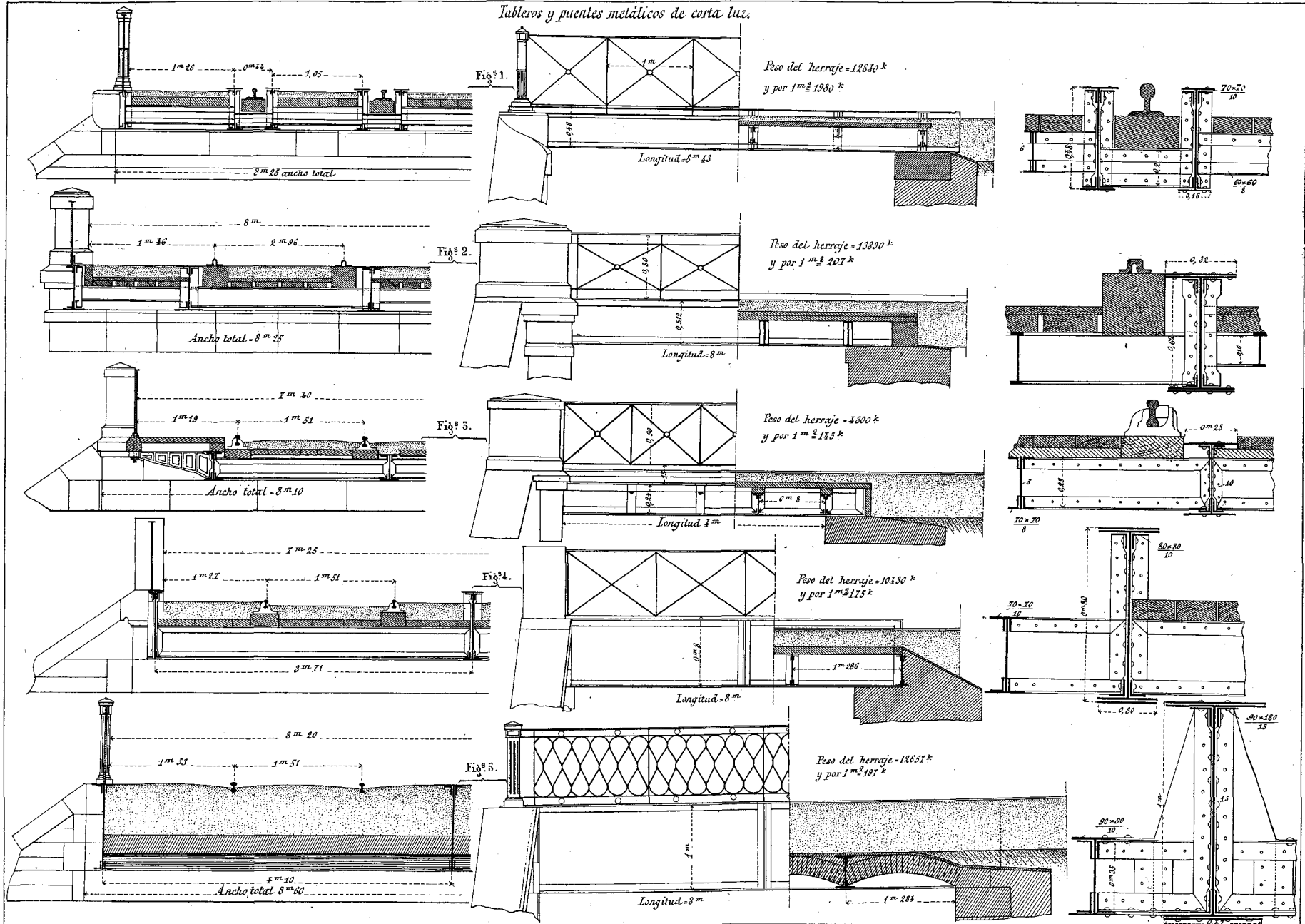
PROYECTO DE UN PUENTE HERCULES A LO VERGNIAIS
sobre el Pasig en Manila
con anclajes de otro giratorio en su extremo izquierdo.

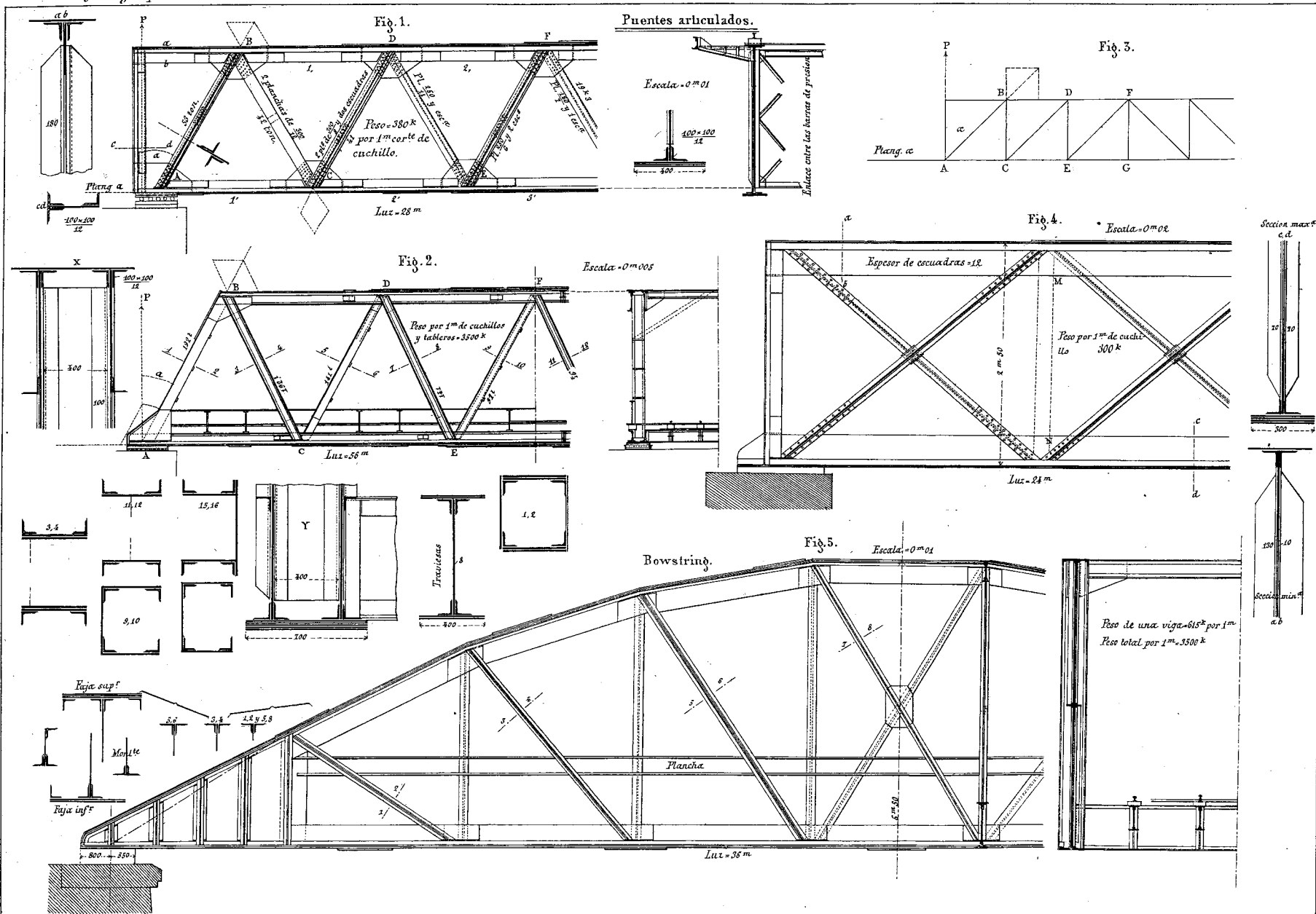


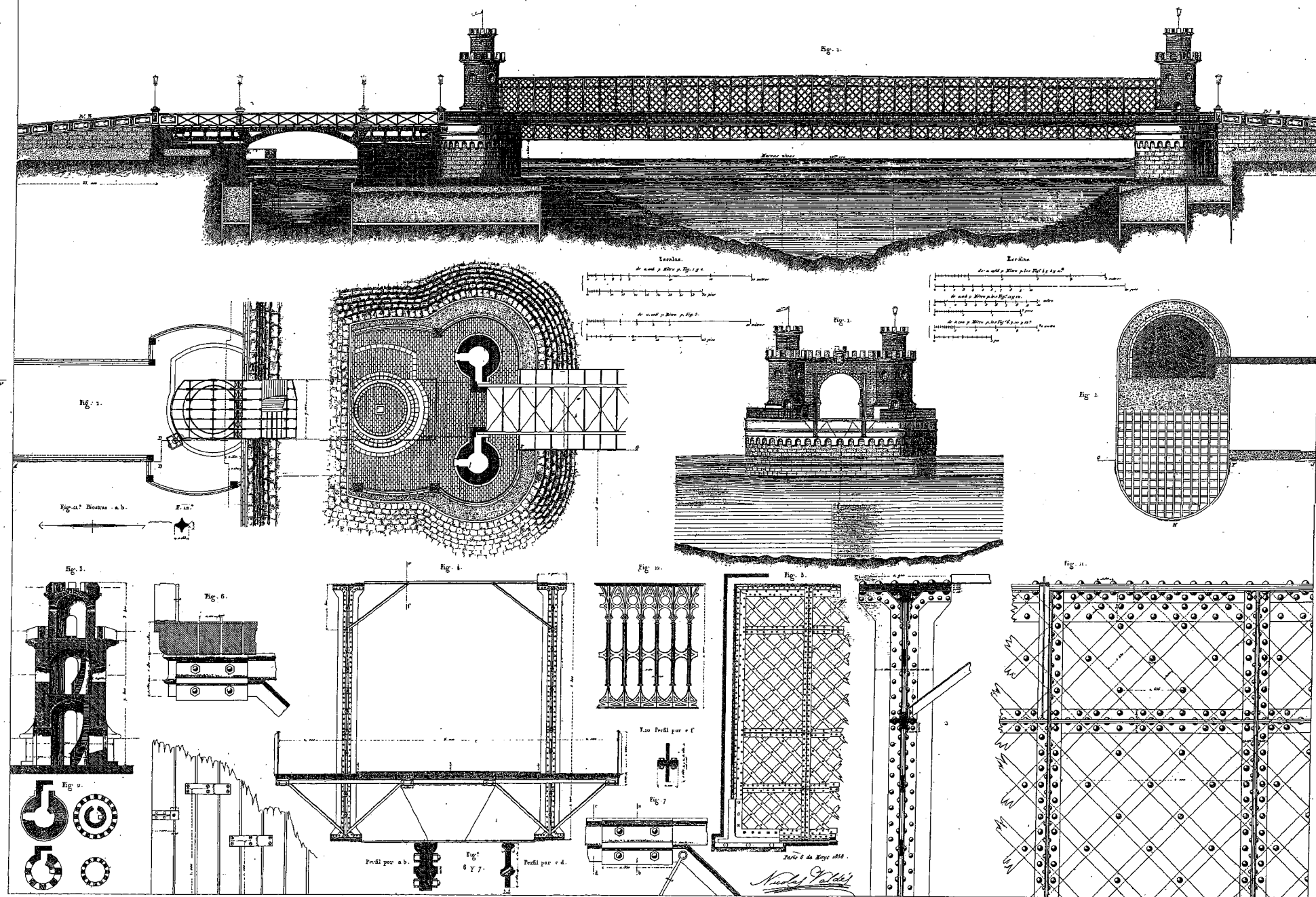


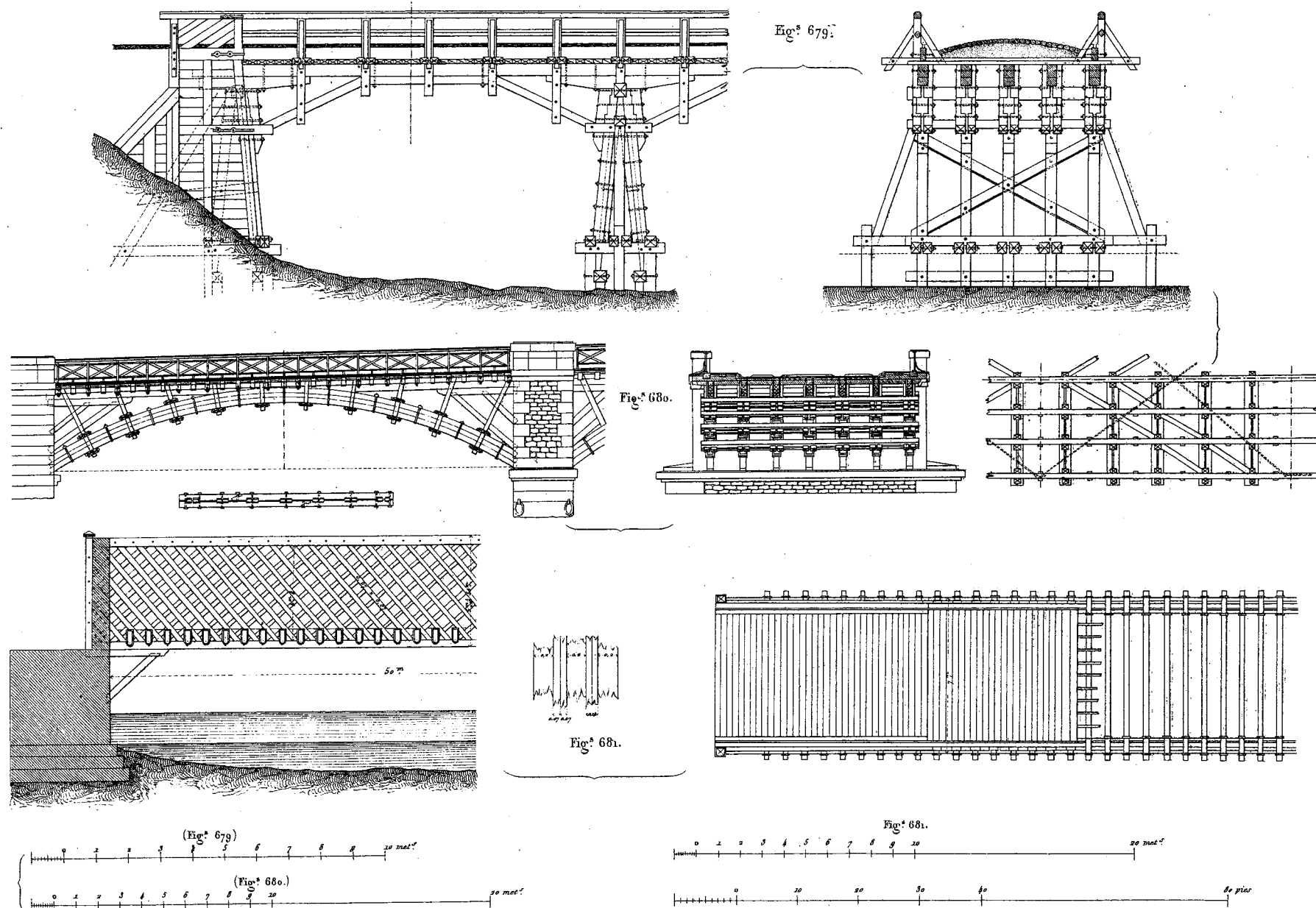


Tableros y puentes metálicos de corta luz.









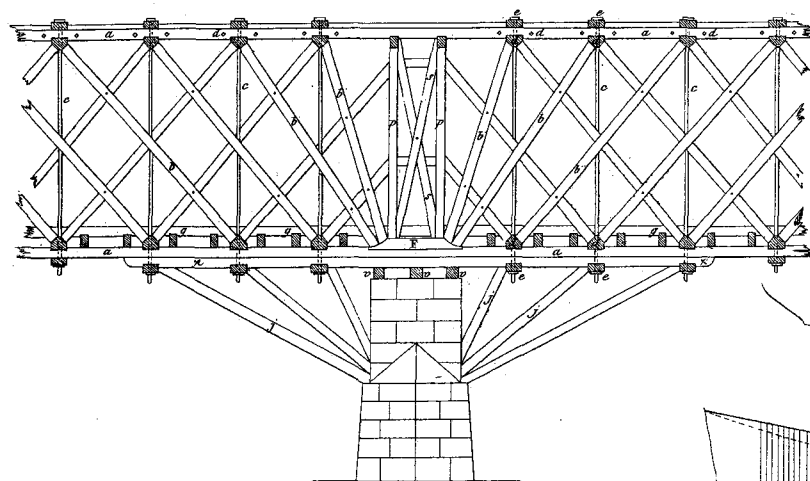


Fig. 683.

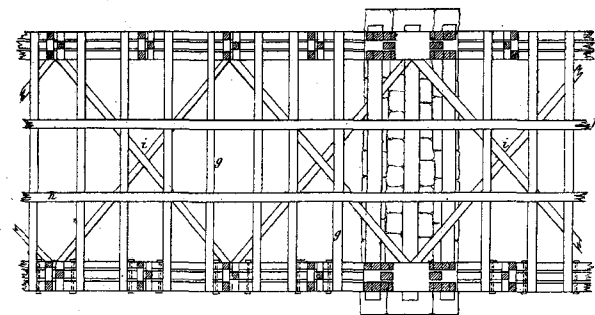


Fig. 684.

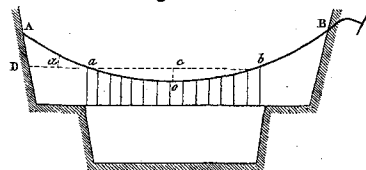


Fig. 682.

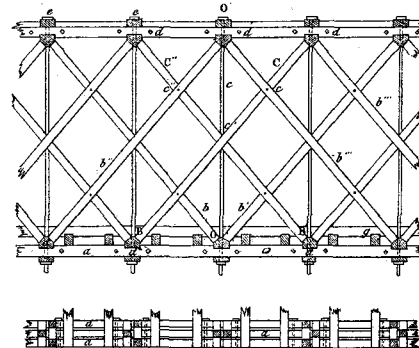


Fig. 686.

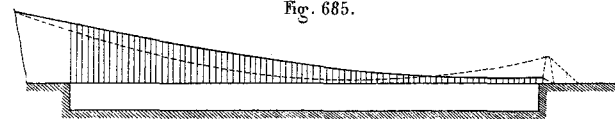


Fig. 687.



Fig. 688.



Fig. 689.

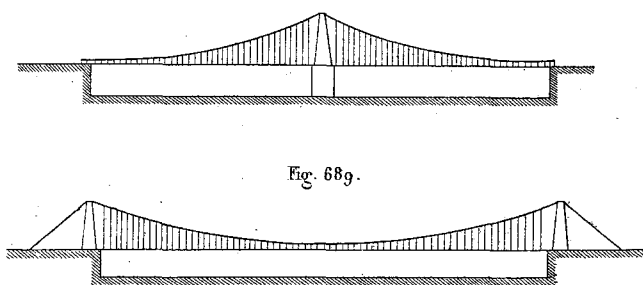


Fig. 690.

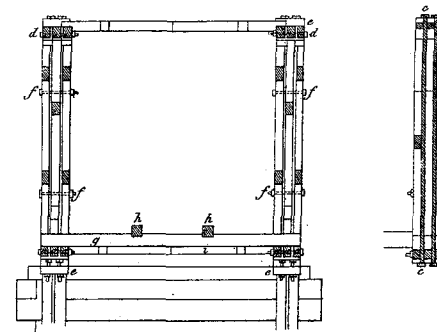


Fig. 691.

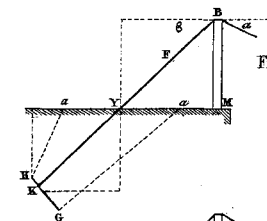


Fig. 692.

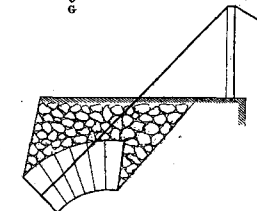


Fig. 693.

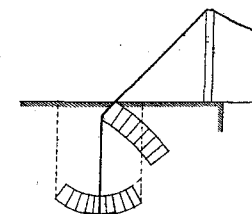
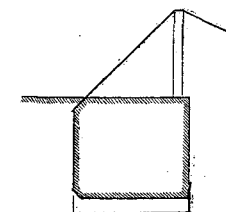
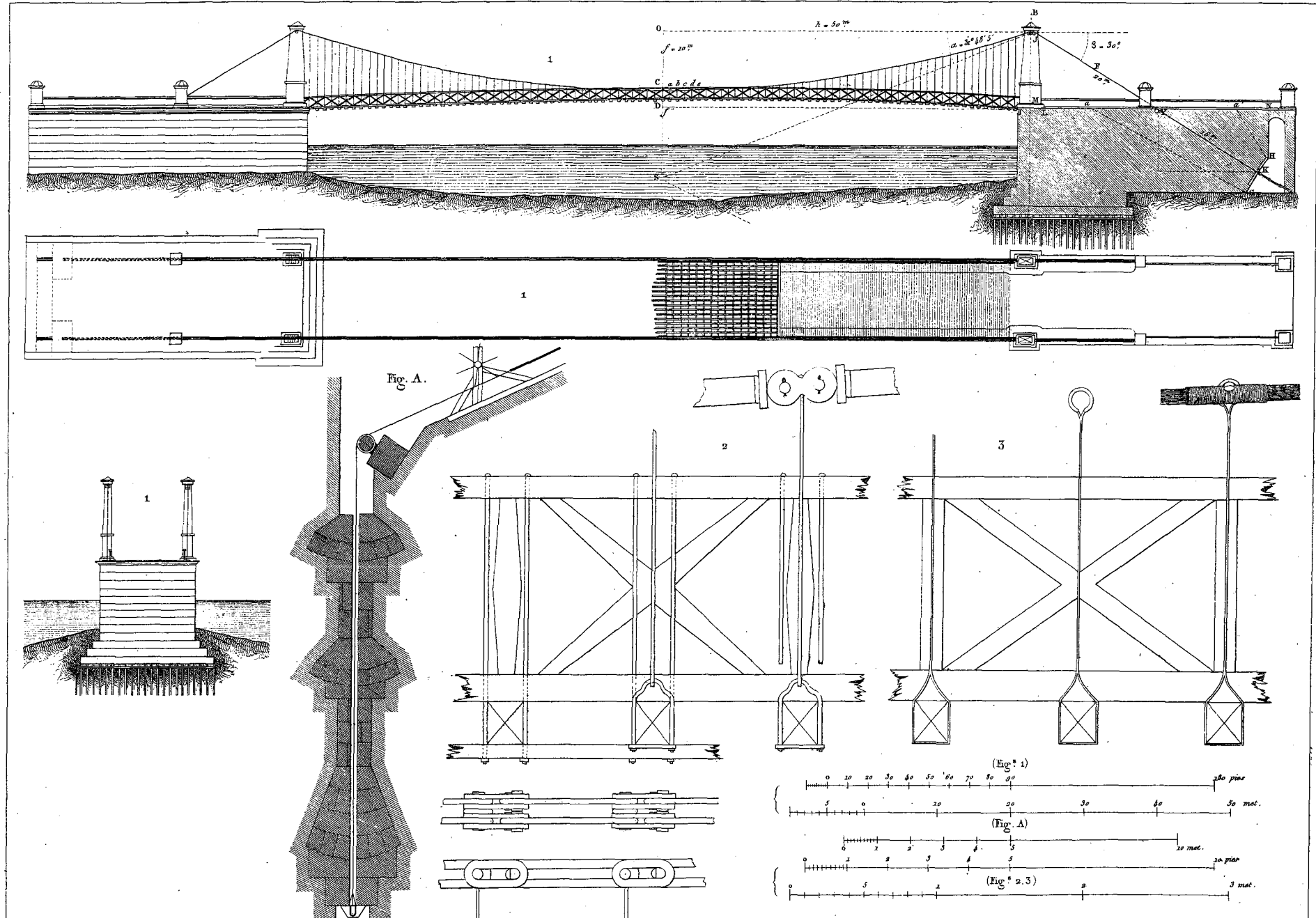


Fig. 694.





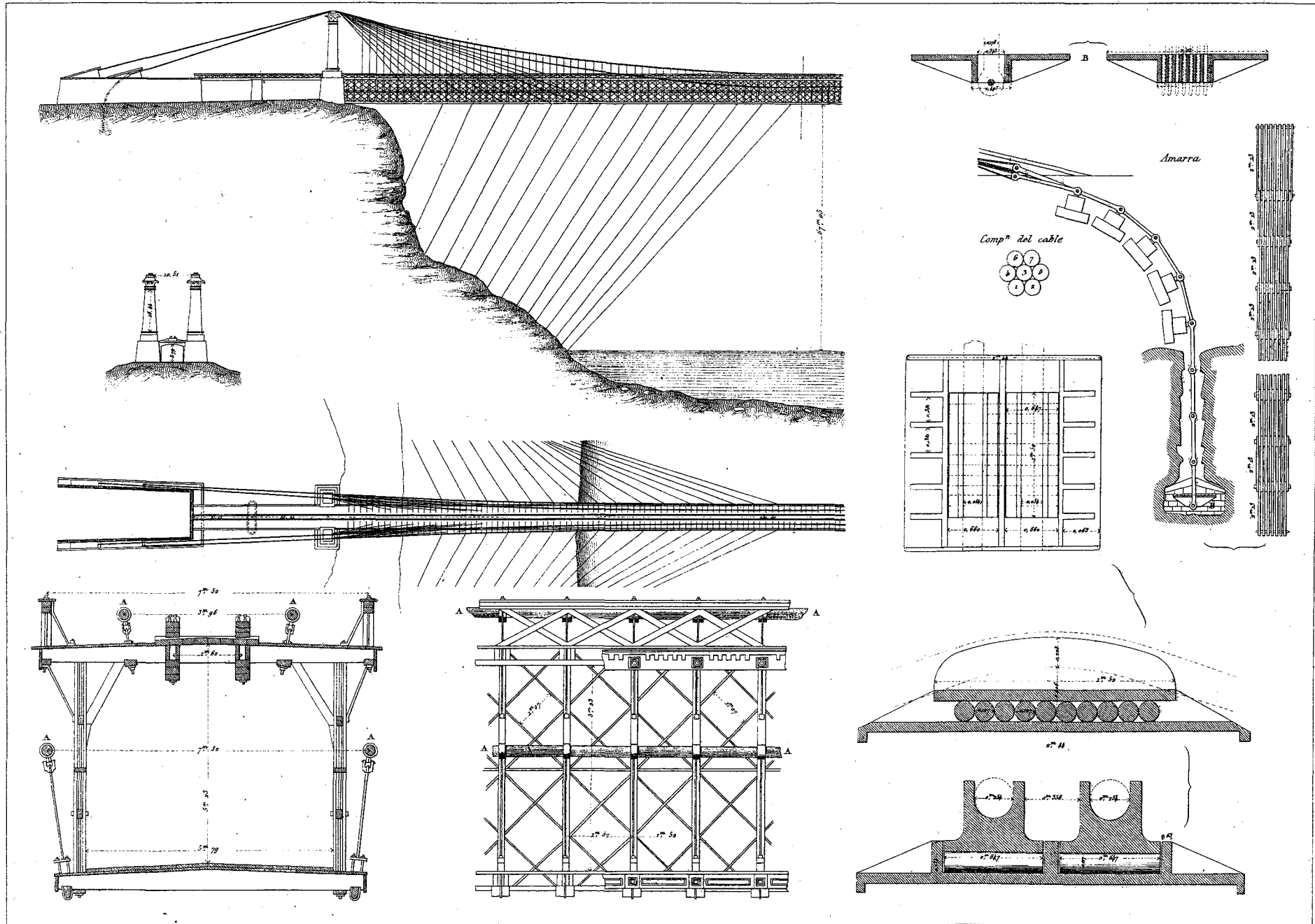


Fig. 697.

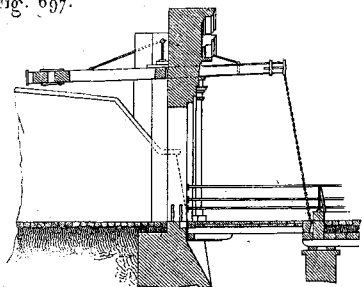


Fig. 698.

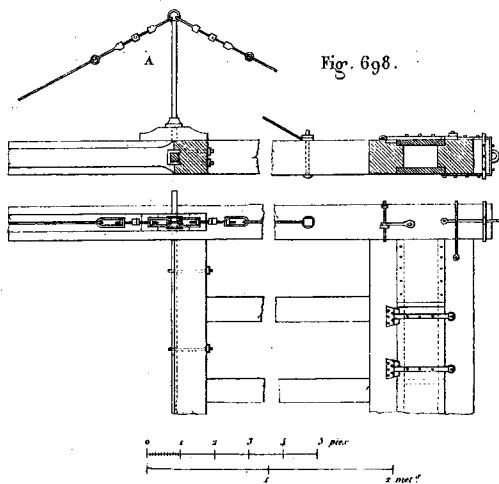
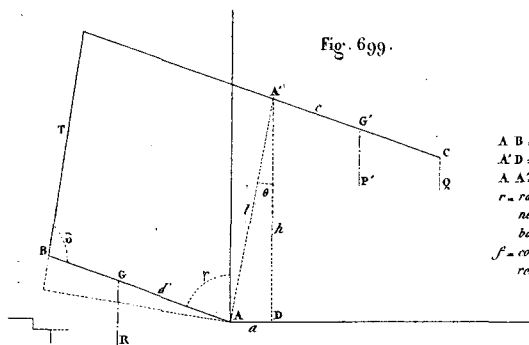


Fig. 699.



$AB = d$: $AG = d'$
 $A'D = h$: $AD = a$
 $AA' = l$: $A'C = c$
 $r =$ radio de los maños
 del cable y báscula.
 $f =$ coeficiente de su
 rozamiento.

Fig. 700.

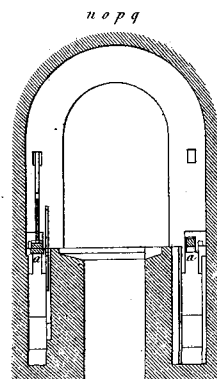
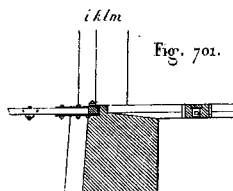


Fig. 701.



Escala para las
 Fig. 697 y 700 a 704.

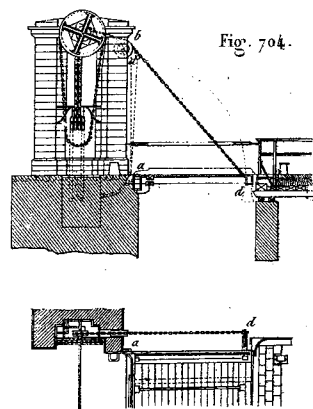


Fig. 704.

Fig. 702.

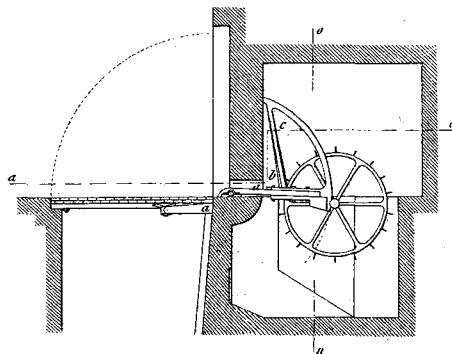


Fig. 703.

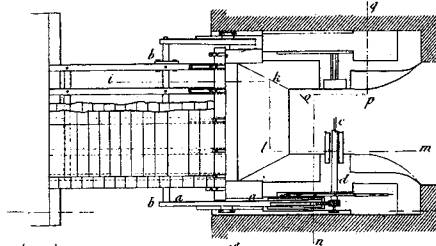


Fig. 705.

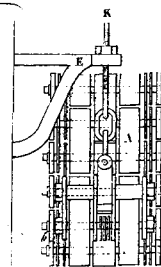
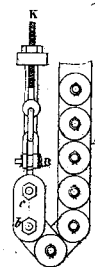
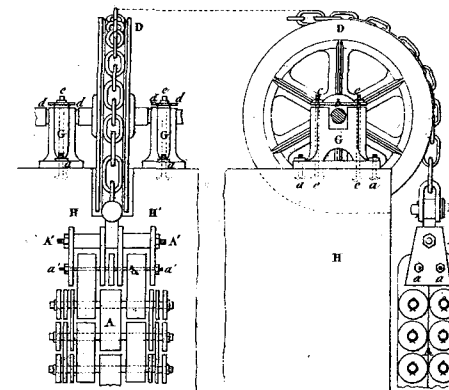


Fig. 706.



Escala p.º las Fig. 705, 706, 707 y 709.

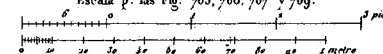


Fig. 707.

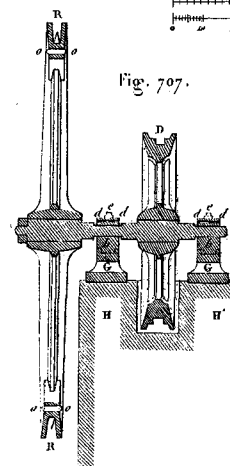


Fig. 708.

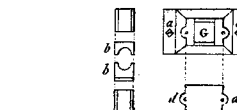


Fig. 709.

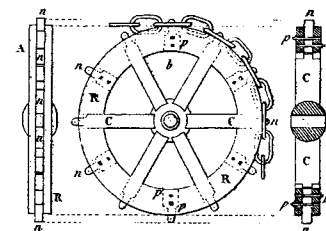


Fig. 710.

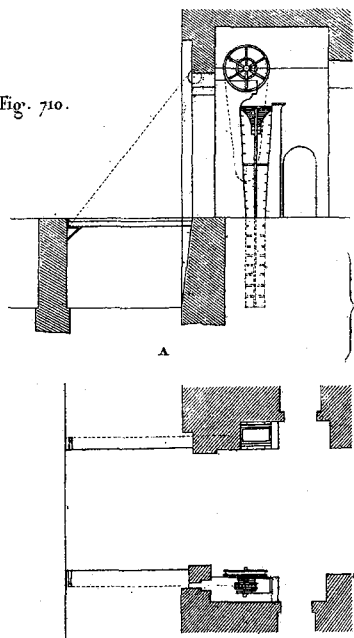


Fig. 711.

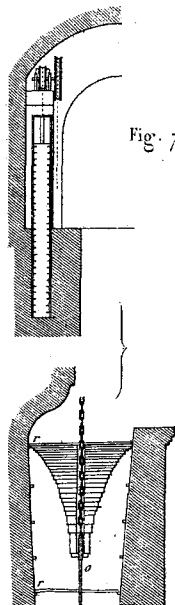


Fig. 712.

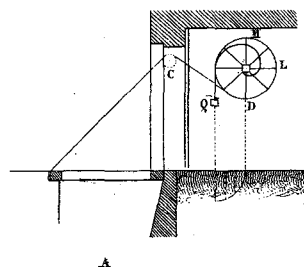


Fig. 713.

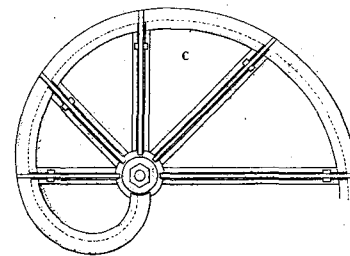


Fig. 714.

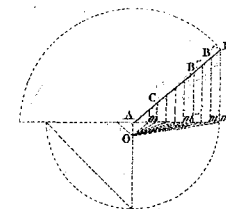


Fig. 715.

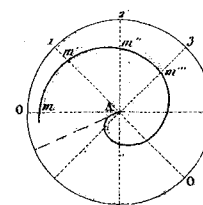


Fig. 716.

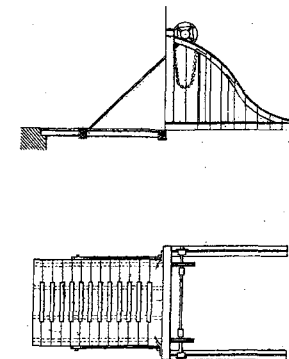


Fig. 718.

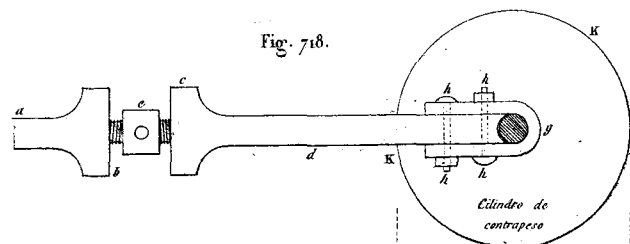


Fig. 717.

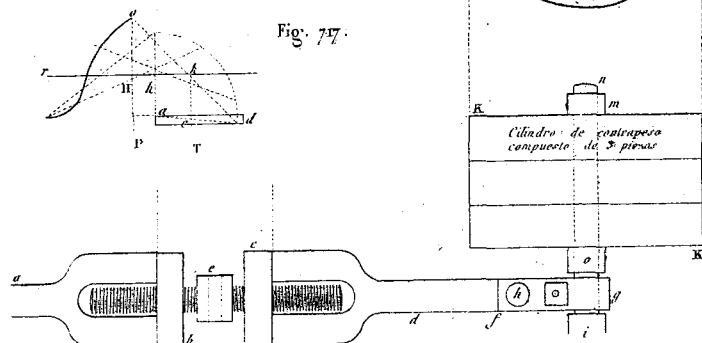


Fig. 719.

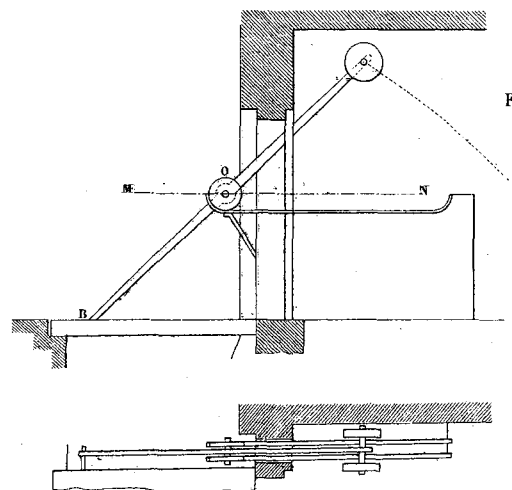
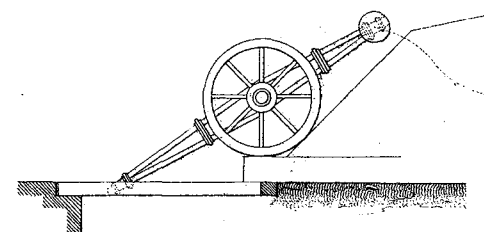


Fig. 720.



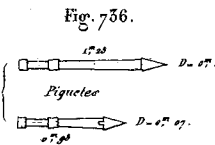
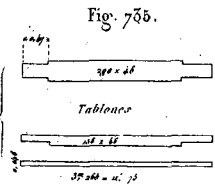
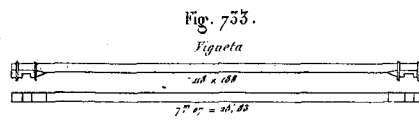
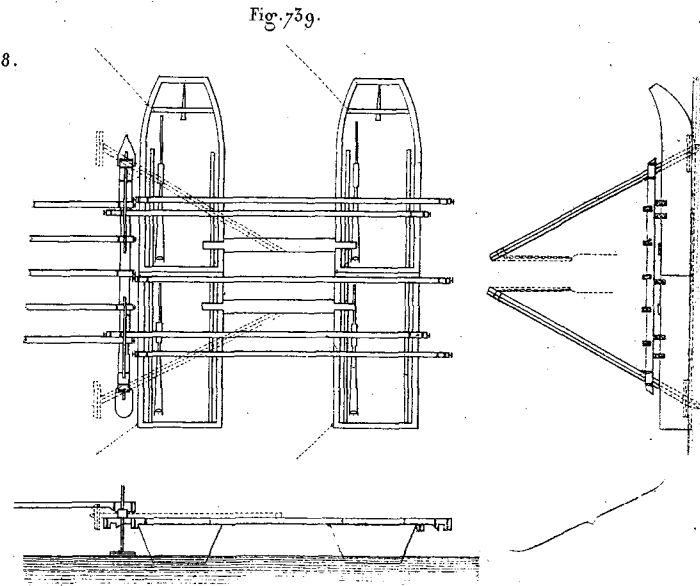
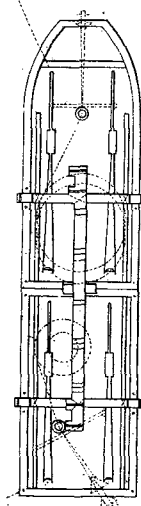
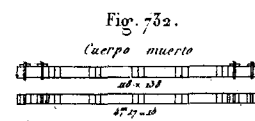
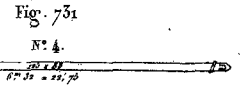
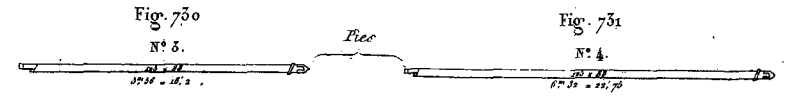
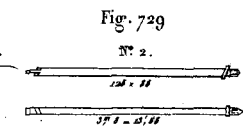
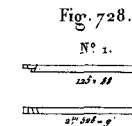
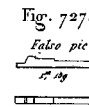
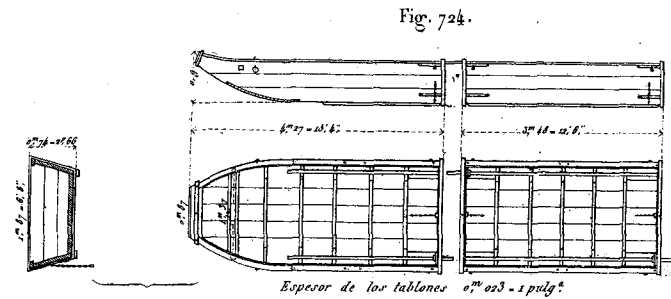
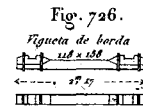
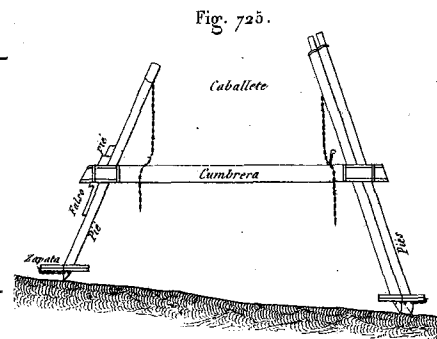
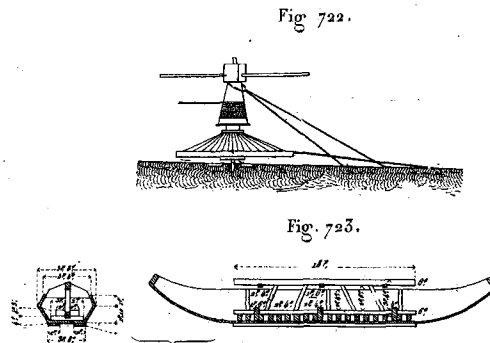
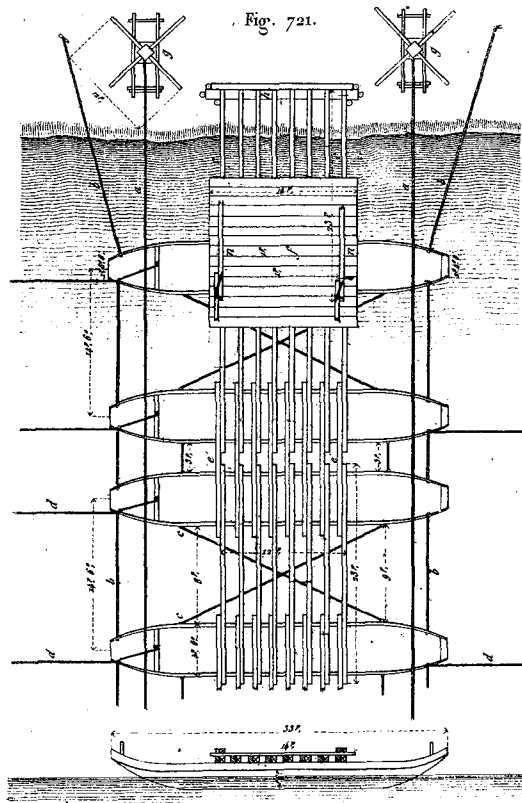


Fig. 740.

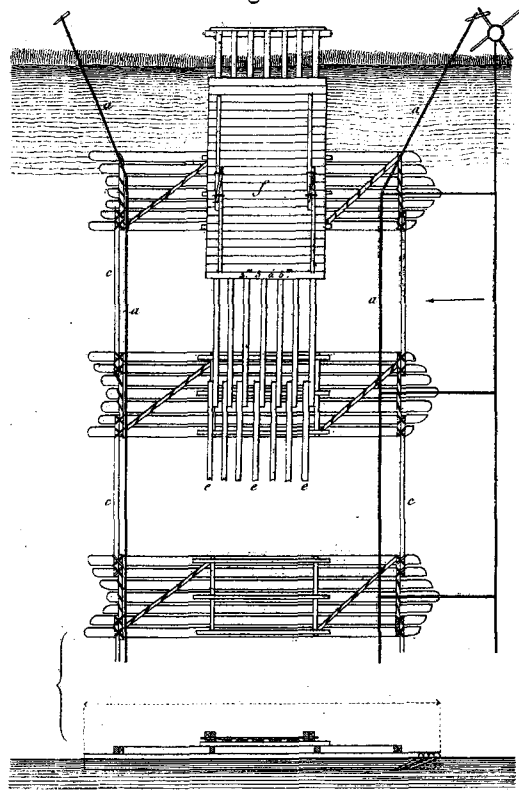


Fig. 741.

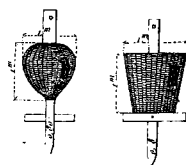


Fig. 742.

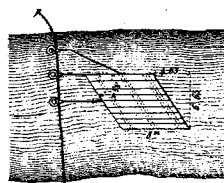


Fig. 743.

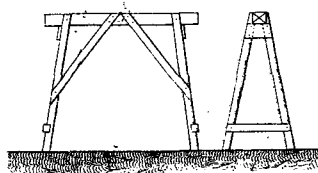


Fig. 749.

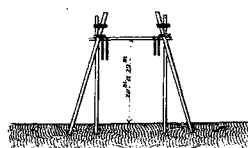


Fig. 750.

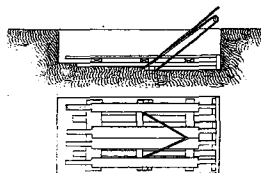


Fig. 744.

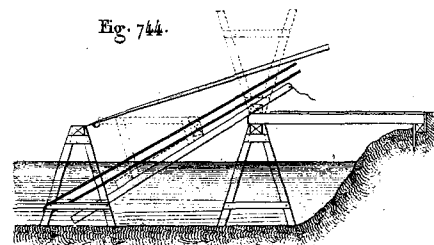


Fig. 745.

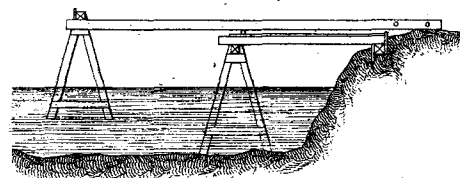


Fig. 746.

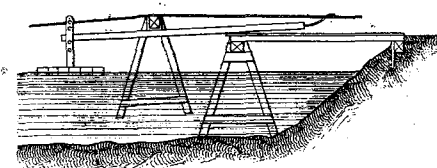


Fig. 751.

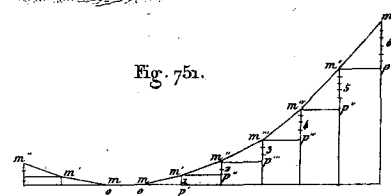
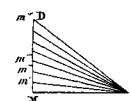
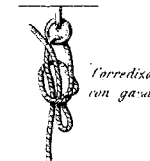


Fig. 752.

Fig. 753.
Nudos mas usados.

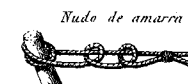
Medio nudo



Nudo de gatera



Vuelta de vallestingue



Vallestingue



Vuelta de brasa



Vuelta de cocota



Nudo recto



Vuelta doble de vallestingue



Vuelta de rozon



Vuelta de fudor



Vuelta con gaza



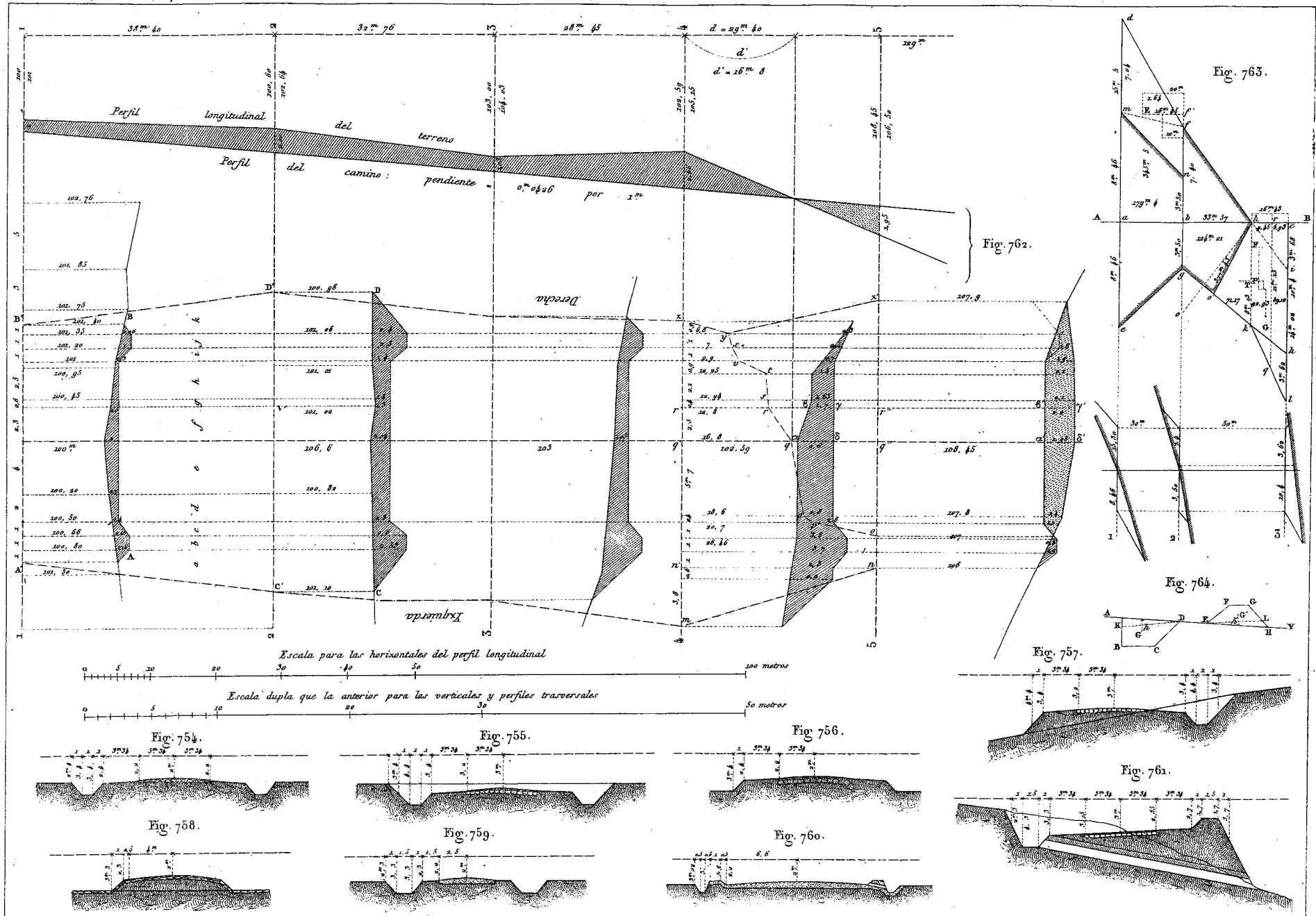


Fig. 765.

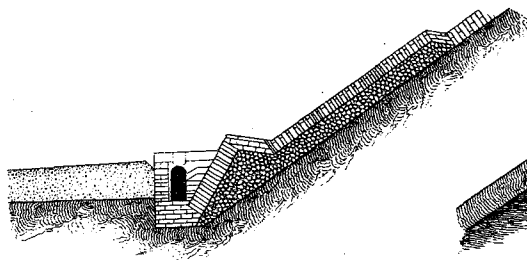


Fig. 766.

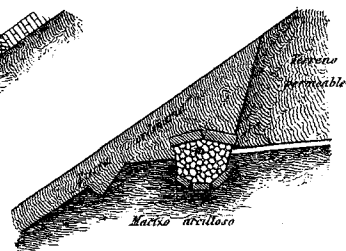


Fig. 767.

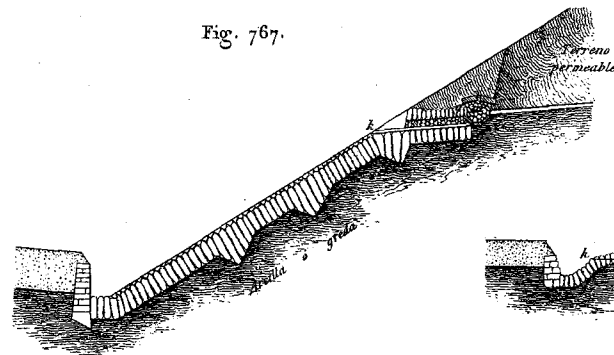


Fig. 768.

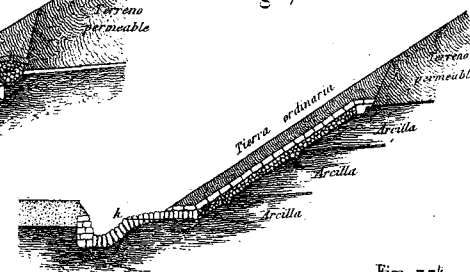


Fig. 774.

Fig. 769.

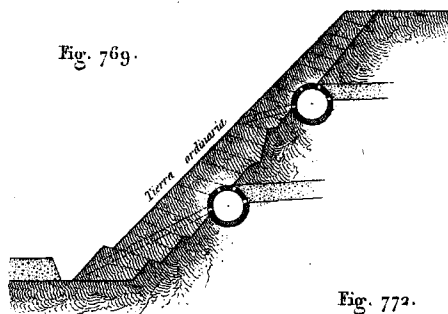


Fig. 770.

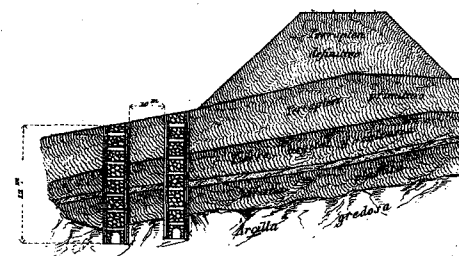
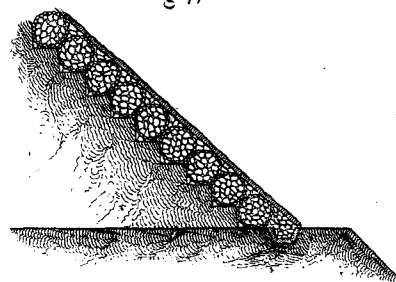


Fig. 775

Fig. 772.

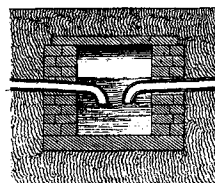


Fig. 773.

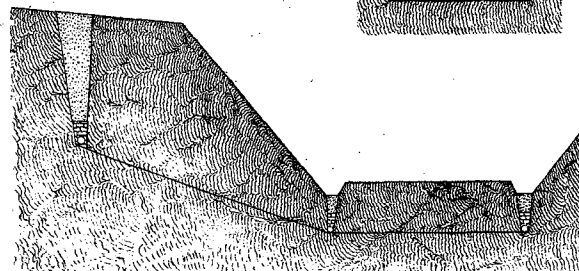


Fig. 773.

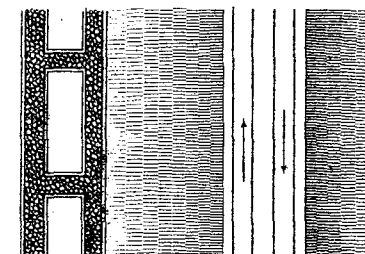
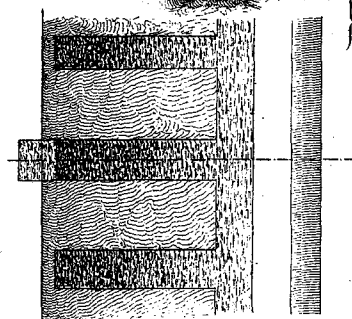


Fig. 776.

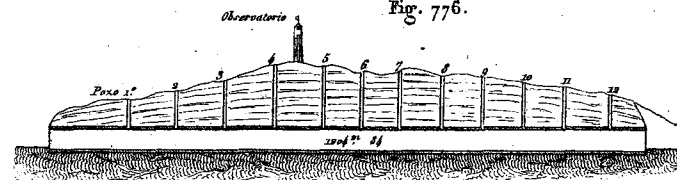


Fig. 777.

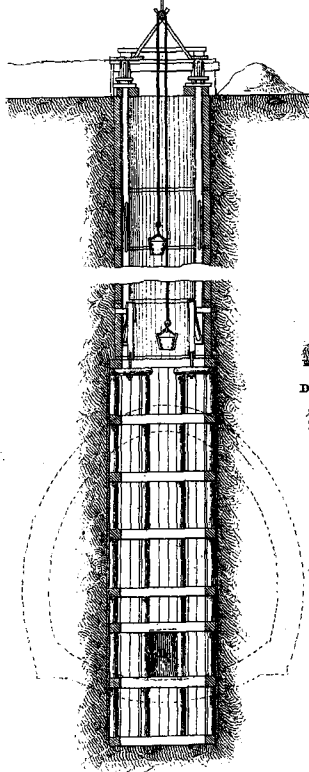


Fig. 778.

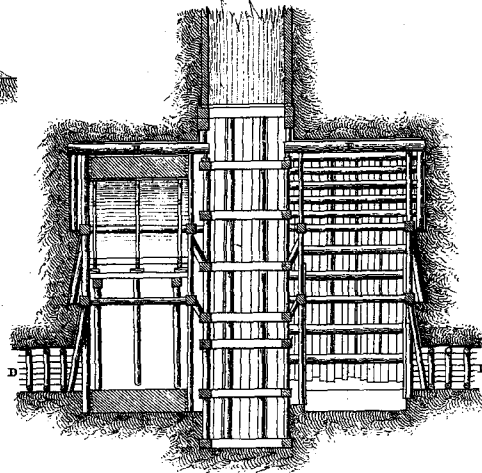


Fig. 779.

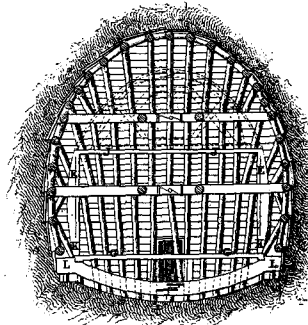


Fig. 780.

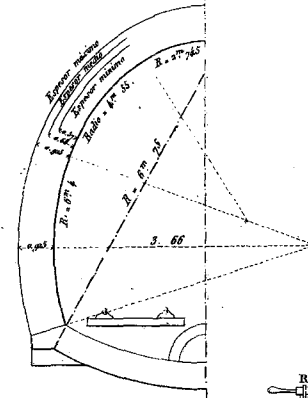


Fig. 791.

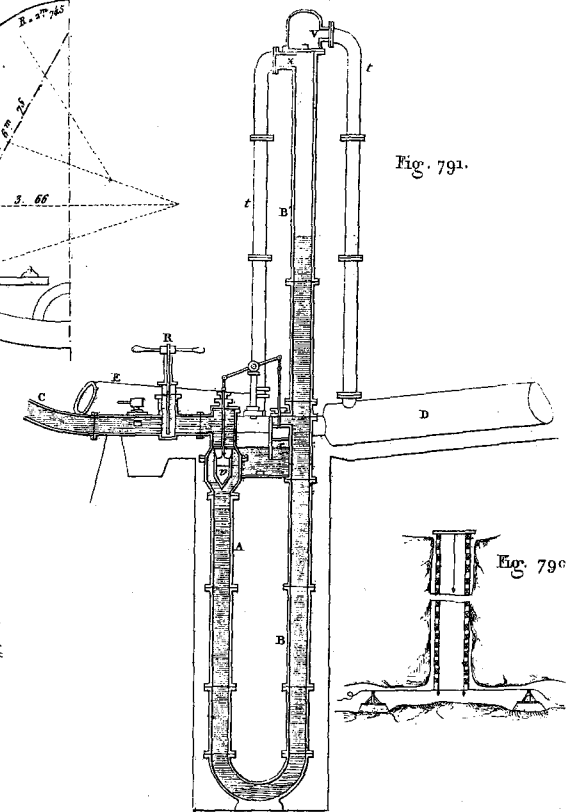


Fig. 790.

Fig. 781.

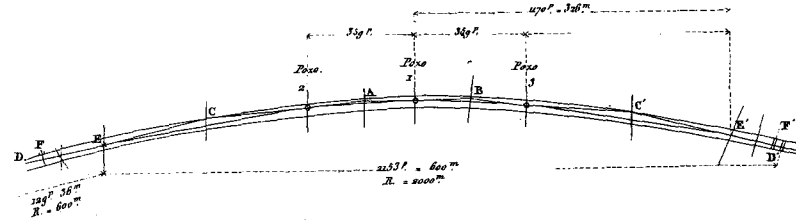


Fig. 782.

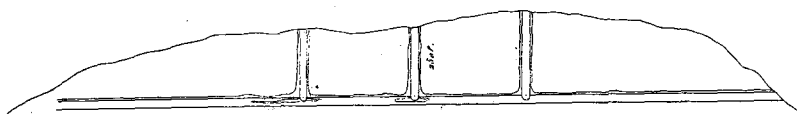


Fig. 783.

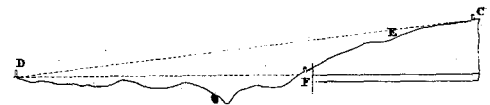


Fig. 789.

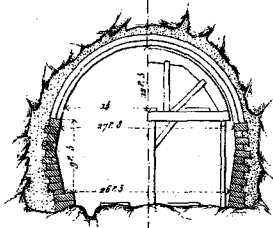


Fig. 784.

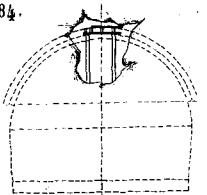


Fig. 785.

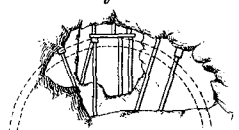


Fig. 786.

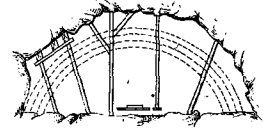


Fig. 787.

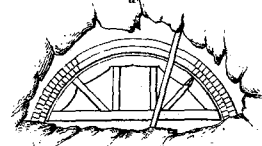
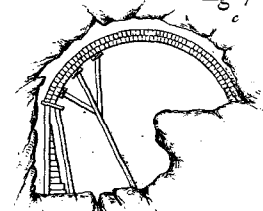
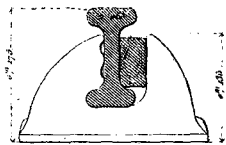


Fig. 788.



Carriles y cojinetes de algunos caminos de hierro de España

Fig. 792.



Camino de Mataró

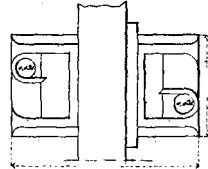
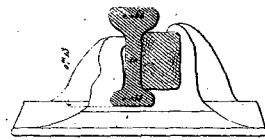


Fig. 793.



Aranjuez

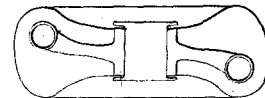
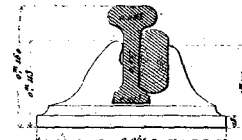


Fig. 794.



Langreo

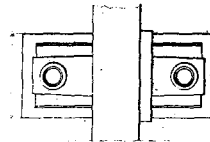
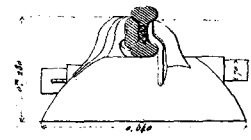


Fig. 795.



Granollers

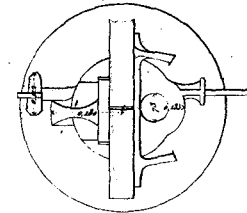


Fig. 796.



Almansa

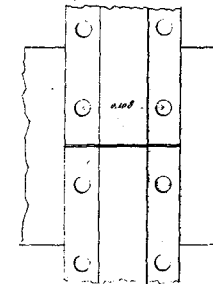


Fig. 797.



Granollers

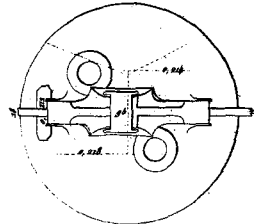
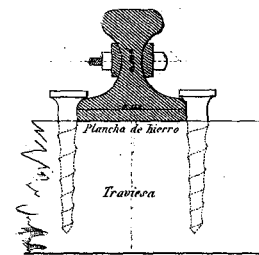


Fig. 798.



Ciudad Real á Socuéllamos
Jerez al Trocadero

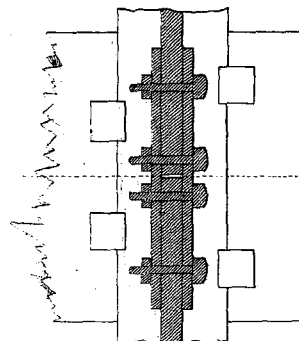
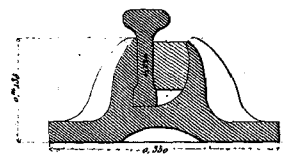


Fig. 800.



Santander

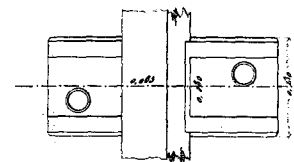
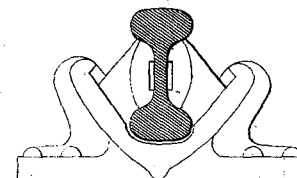


Fig. 802.



cojinete con dos piezas de apoyo.

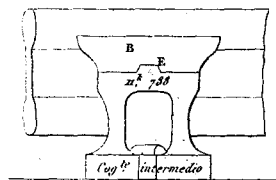
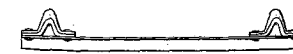


Fig. 803.



Sistema Barlow

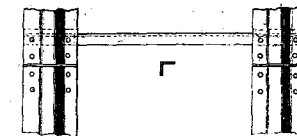
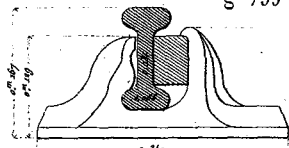


Fig. 799.



Játiva

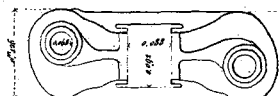
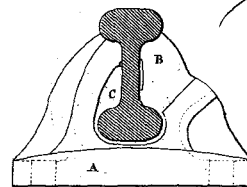


Fig. 801.



Cojinete perfeccionado de Conochie
empleado en Inglaterra..

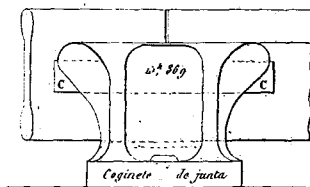
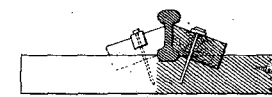


Fig. 804.



Sistema Barbecot

Escalas. $\left\{ \begin{array}{l} \text{de las Fig.}^{\circ} 792, 793, 794, 796, \\ \quad 798, 799 \text{ y } 800. \\ \text{de las Fig.}^{\circ} 795 \text{ y } 797. \\ \text{de las Fig.}^{\circ} 801 \text{ y } 802. \end{array} \right\} = \frac{1}{8}$

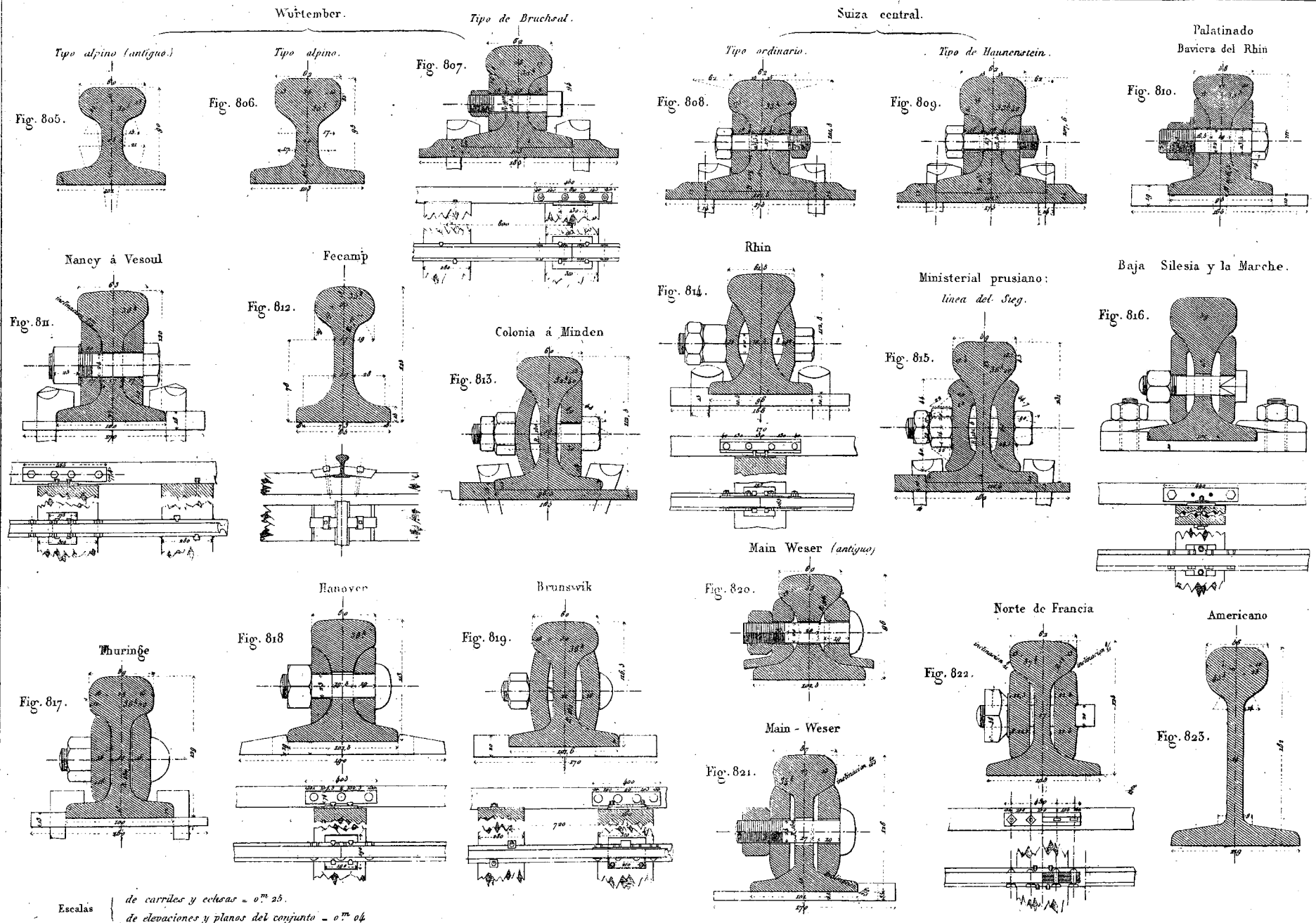


Fig. 824. Rusia.

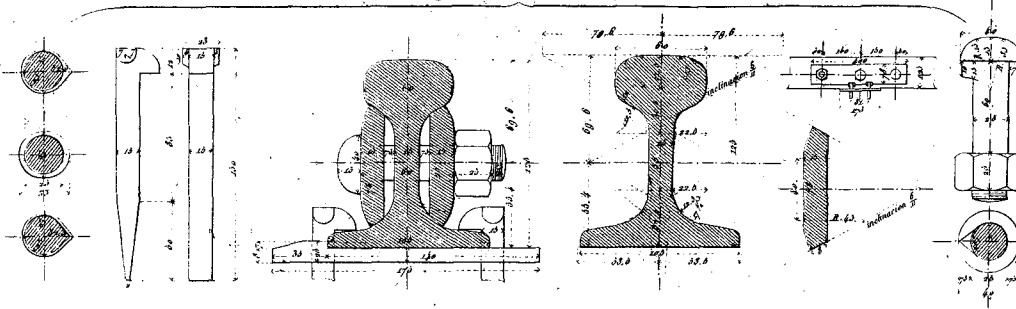
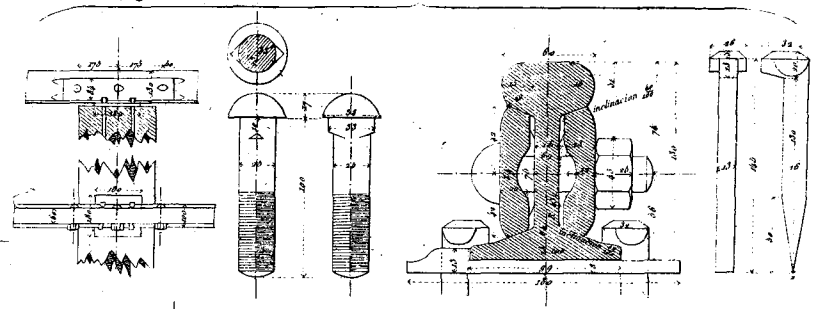


Fig. 825. Reseau central. (Francia) Proyecto Nordling (aceptado).



Baden Austria

Fig. 826.

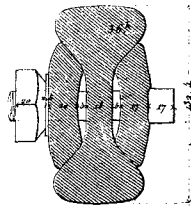


Fig. 827.

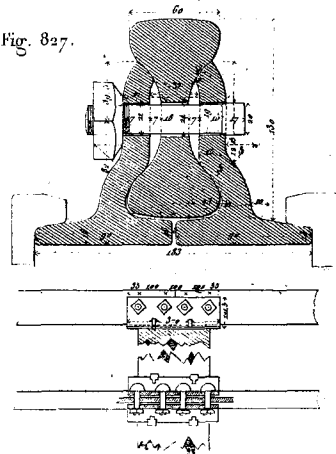


Fig. 828.

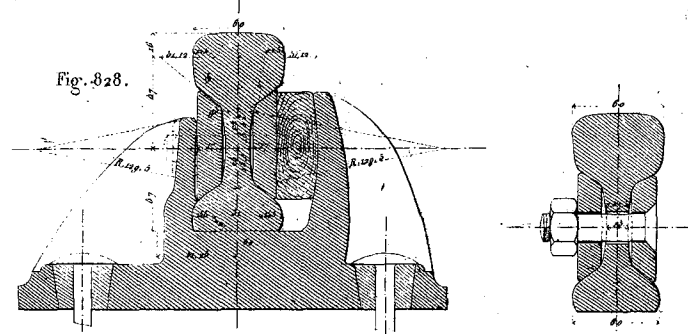


Fig. 829. Bruswik de doble seta.

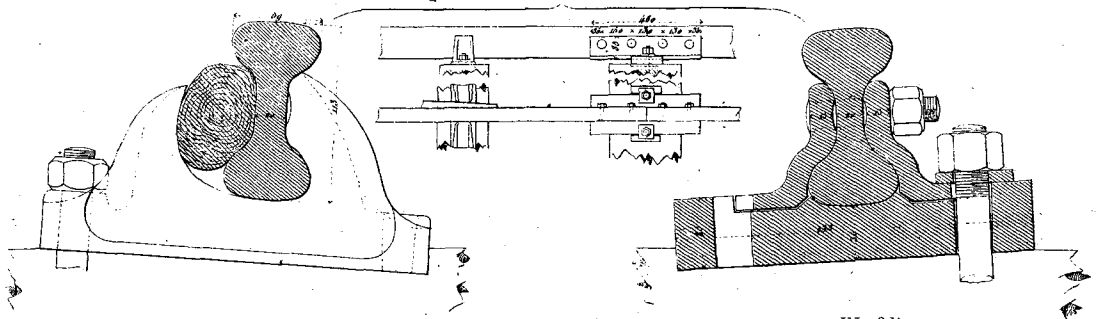
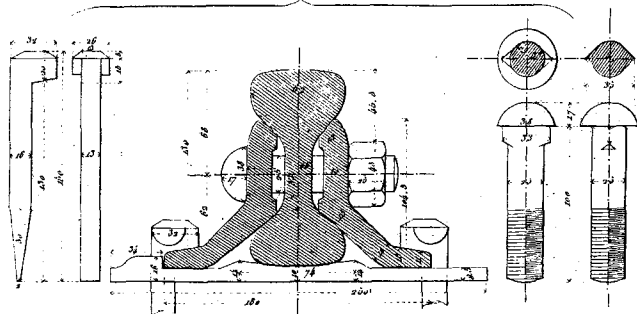


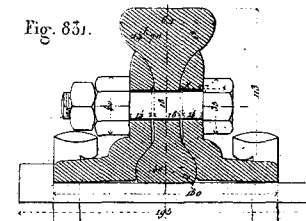
Fig. 830. Orleans

Sustitucion de celons por enginetes.



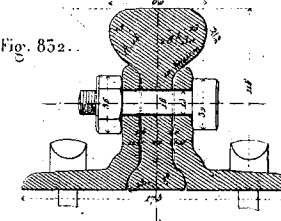
Rbin - Edicas á escuadra para las juntas

Fig. 831.



Wesfalia

Fig. 832.



Escalas de carriles y edicas = 0^m 25
de elevaciones y planos del conjunto = 0^m 05

Fig. 834.

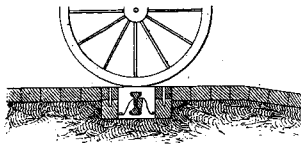


Fig. 833.

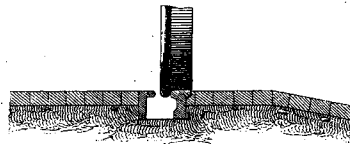


Fig. 835.

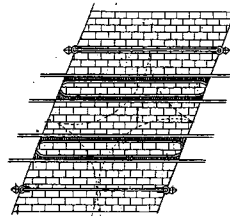


Fig. 836.

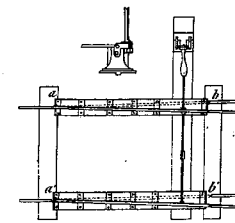


Fig. 837.

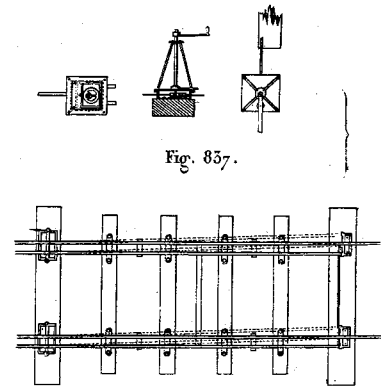


Fig. 838.

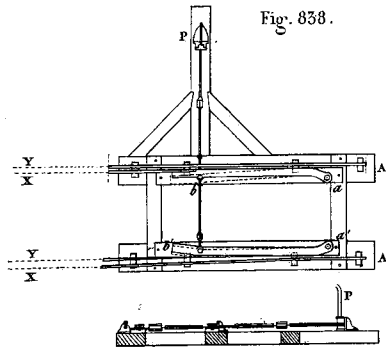


Fig. 839.

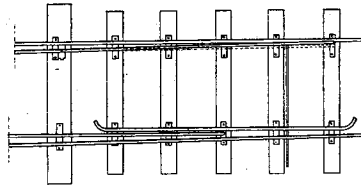


Fig. 840.

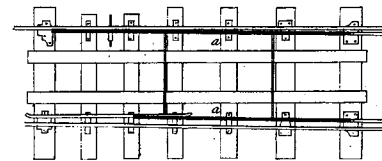


Fig. 841.

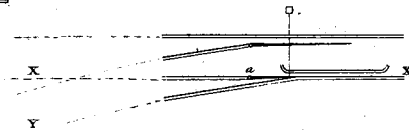


Fig. 842.

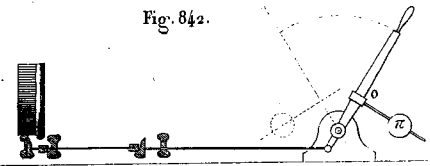


Fig. 844.

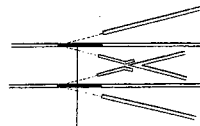


Fig. 845.

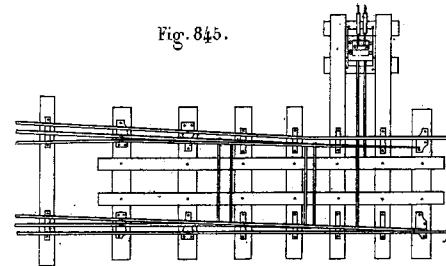


Fig. 846.

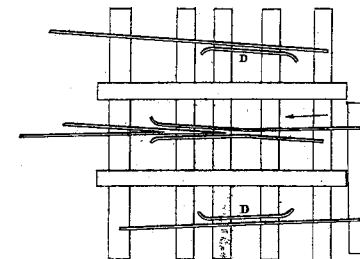


Fig. 843.

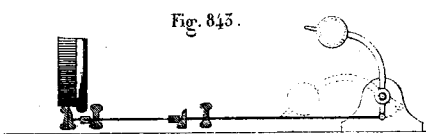


Fig. 847.

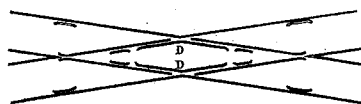


Fig. 848.

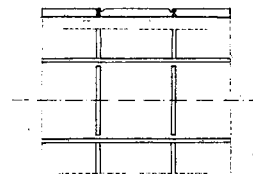


Fig. 849.

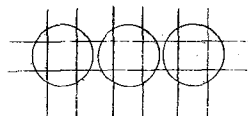


Fig. 850.

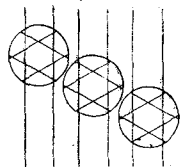


Fig. 851.

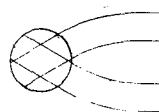


Fig. 852.

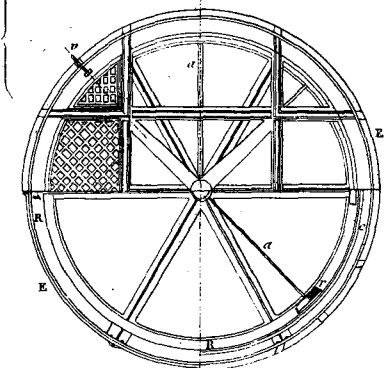
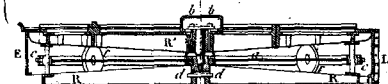


Fig. 853.

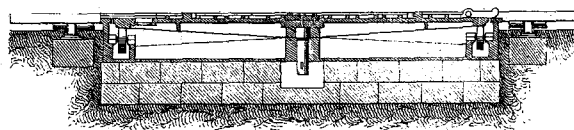


Fig. 861.

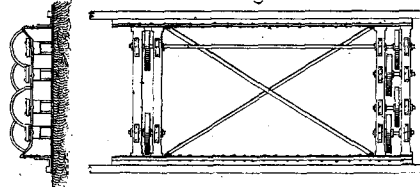


Fig. 853'



Fig. 854'



Fig. 854.

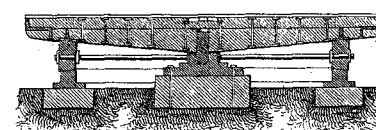


Fig. 855.

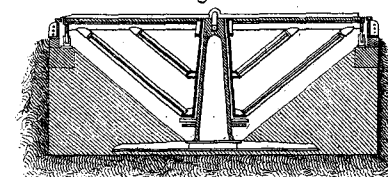
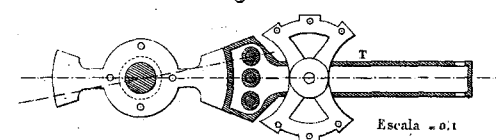


Fig. 859.



Escala = 0.1

Fig. 860.

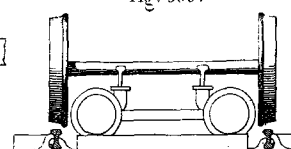
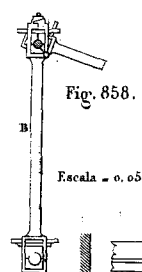
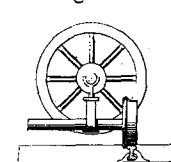


Fig. 858.

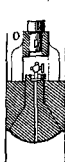


Escala = 0.05

Fig. 860.



(A)



(B)

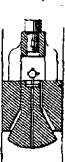


Fig. 856.

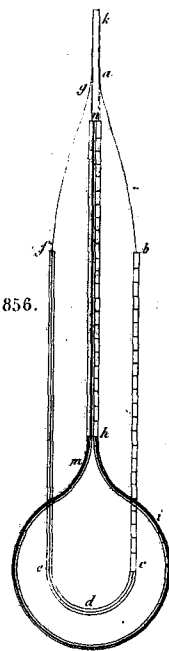


Fig. 857.

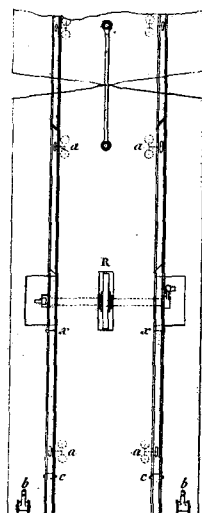


Fig. 862.

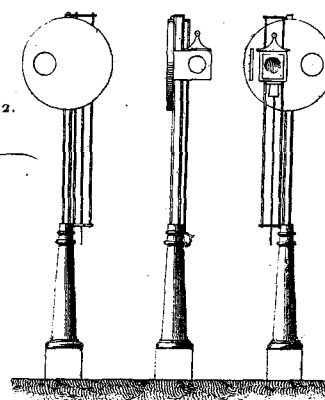
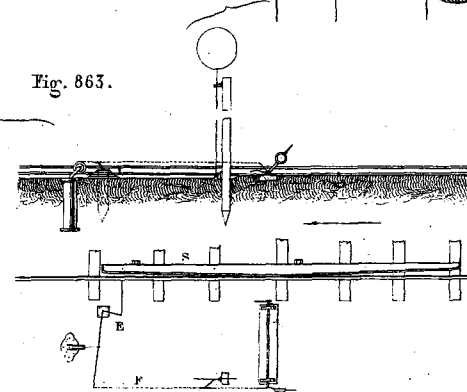


Fig. 863.



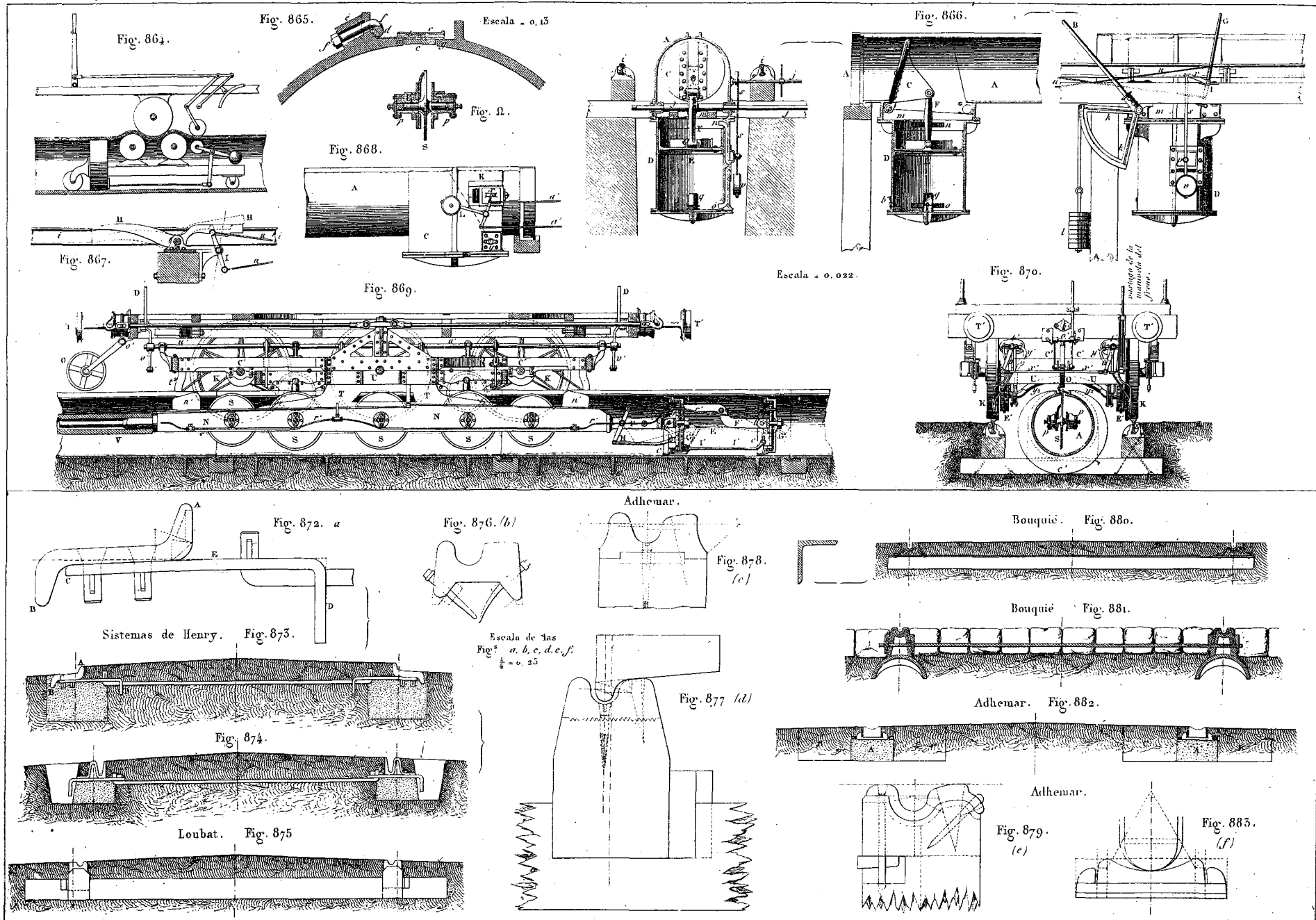
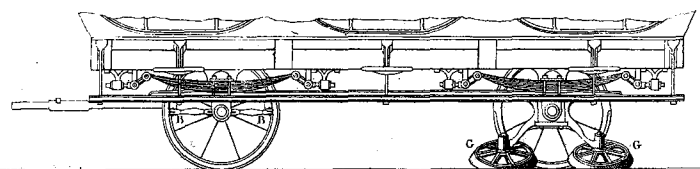
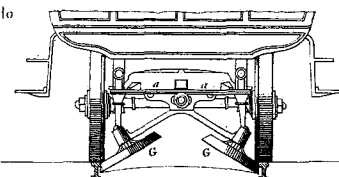


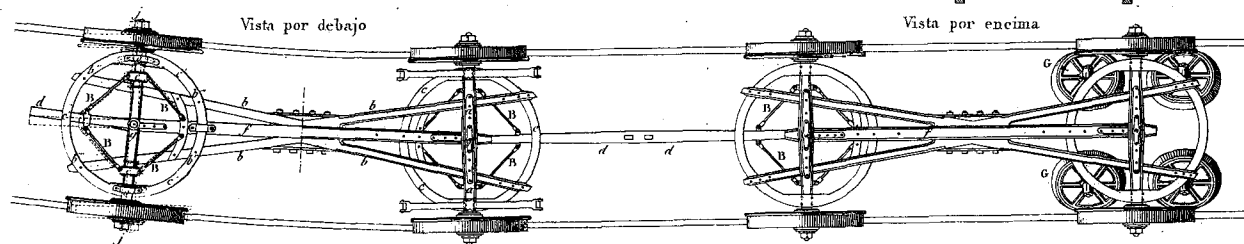
Fig. 874.



Sistema articulado



Vista por encima



Vista por debajo

Fig. 884.

Wagon para terraplen

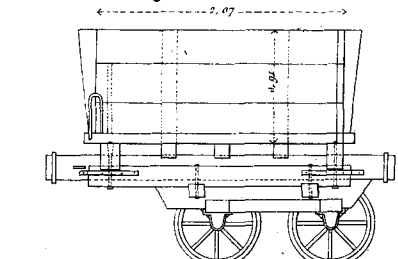


Fig. 888.

Bagages.

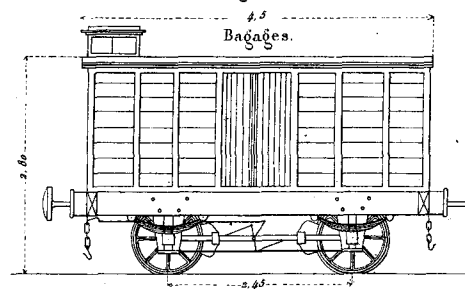


Fig. 885.

Terraplenes.

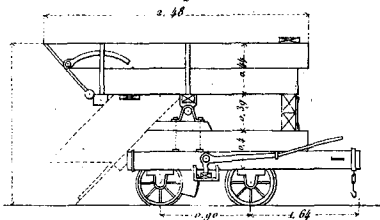


Fig. 886.

Caldos

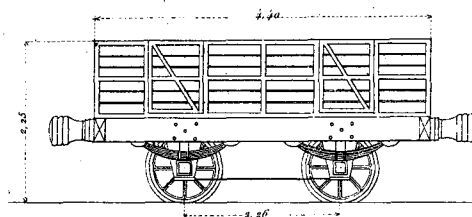
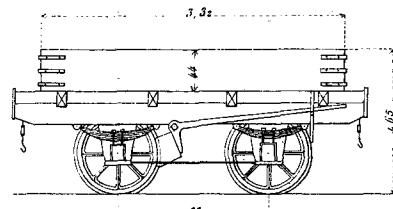


Fig. 887.

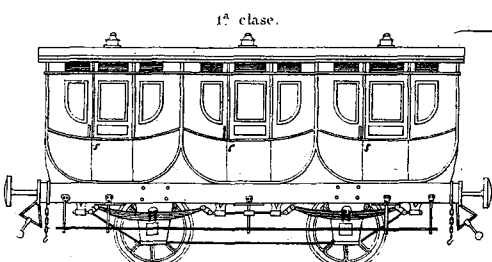
Mercancias.



Pasajeros

Escala = 0.012.

Fig. 889.



1.ª clase.

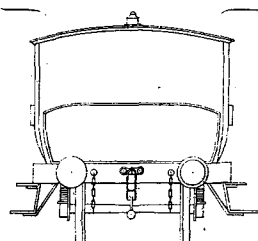


Fig. 890.

2.ª clase

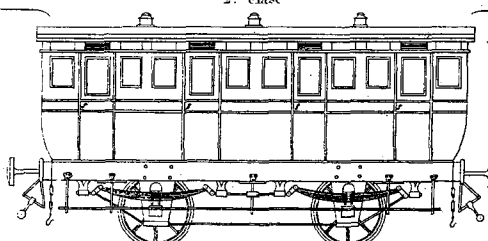
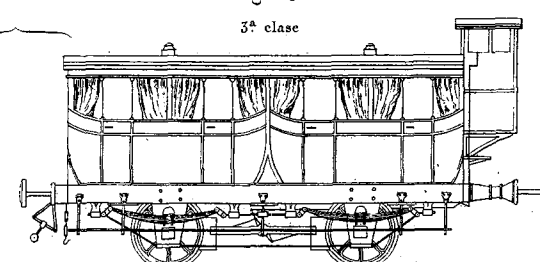
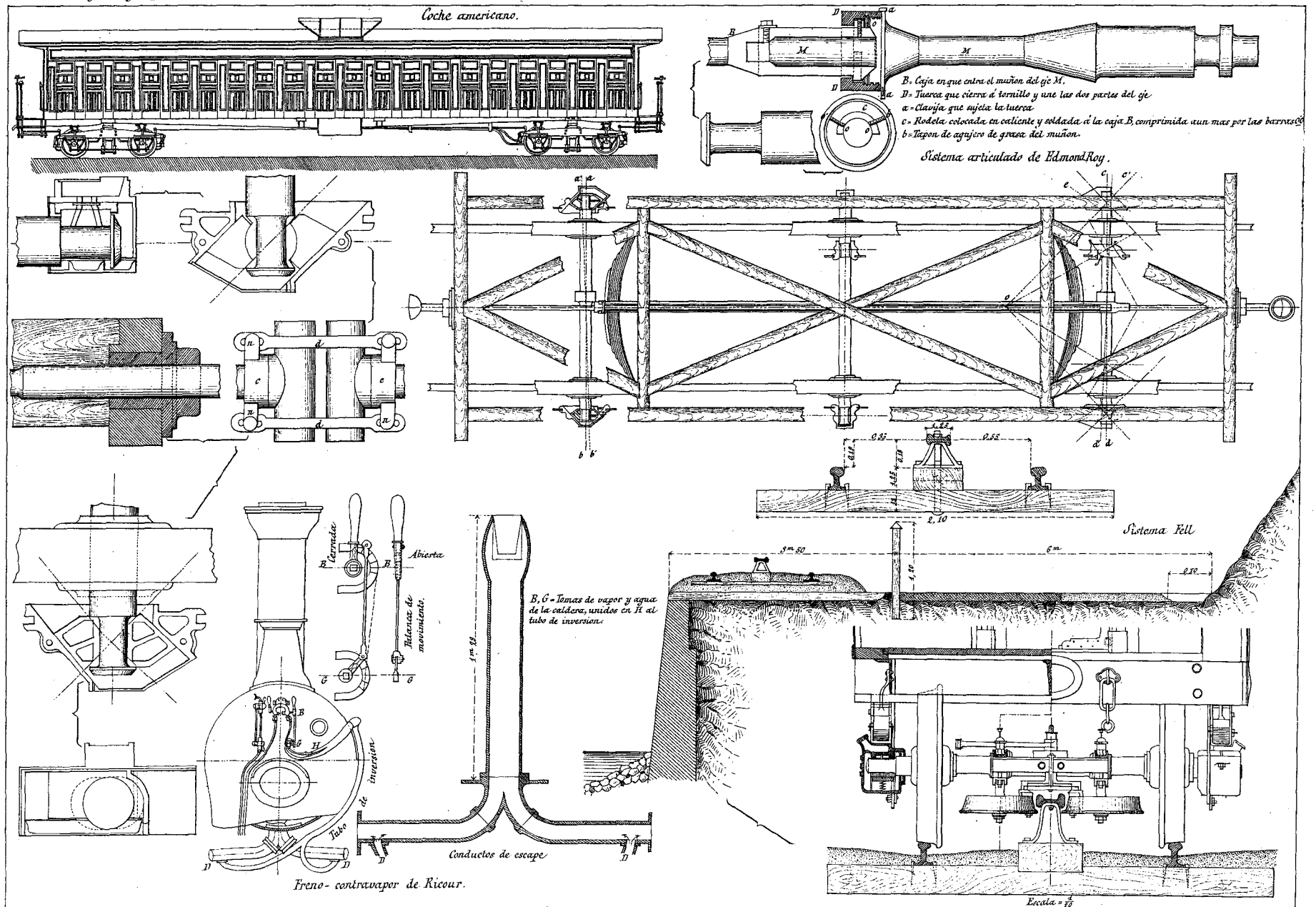
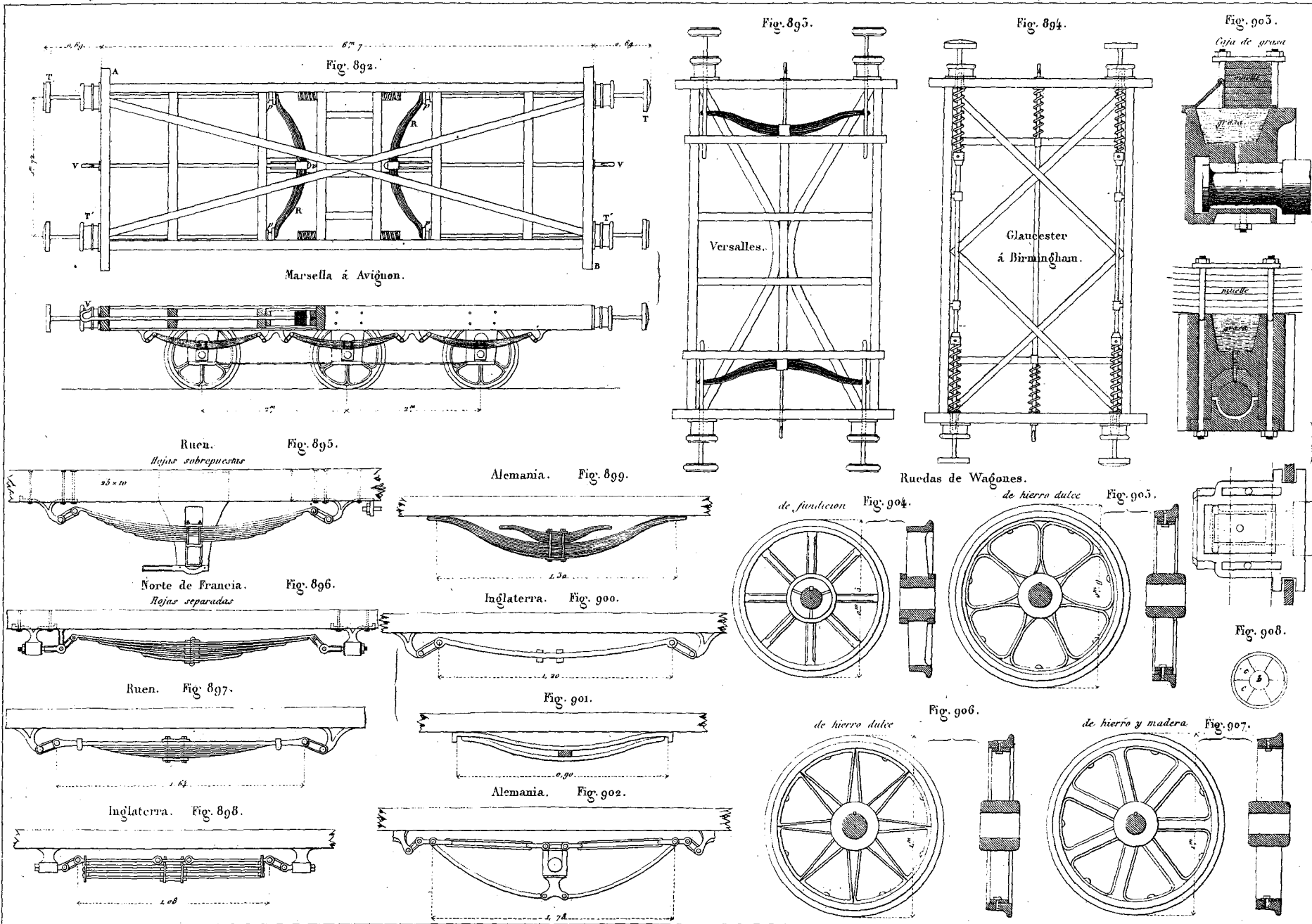


Fig. 891.

3.ª clase







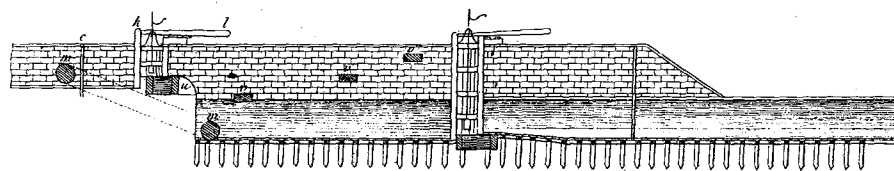


Fig. 911.

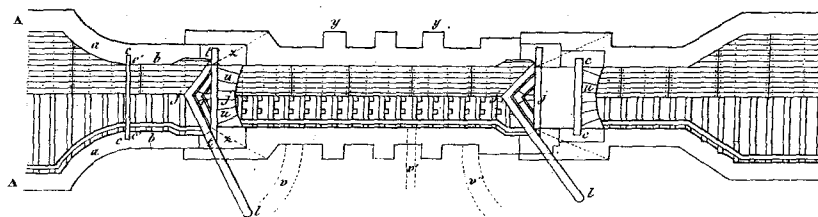


Fig. 913.

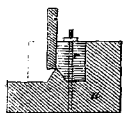


Fig. 914.

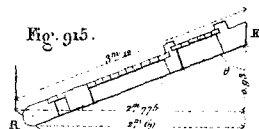


Fig. 915.

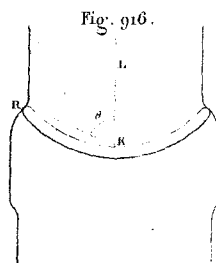


Fig. 916.

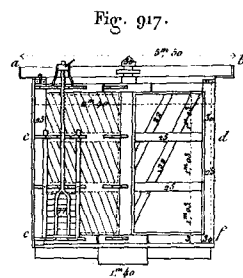


Fig. 917.

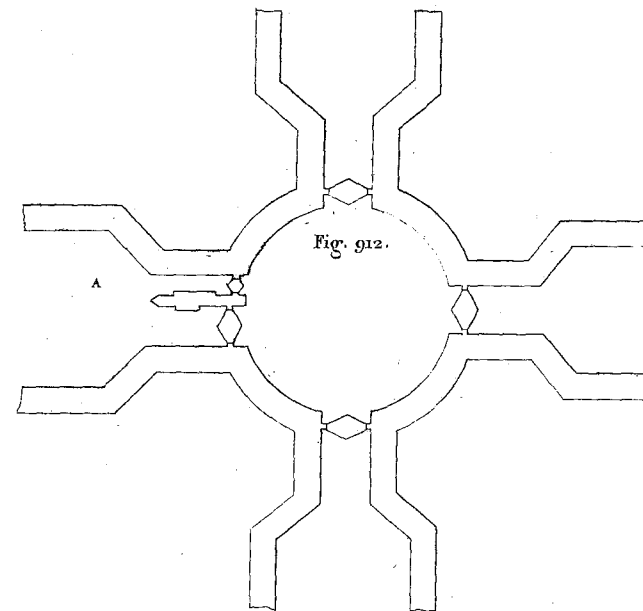
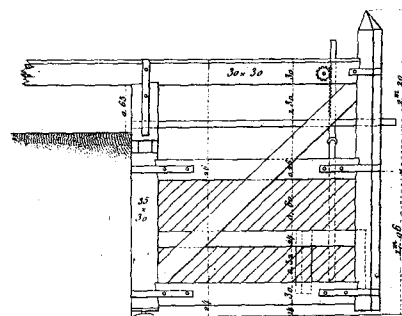
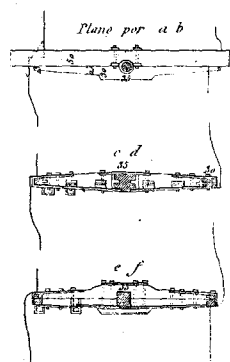
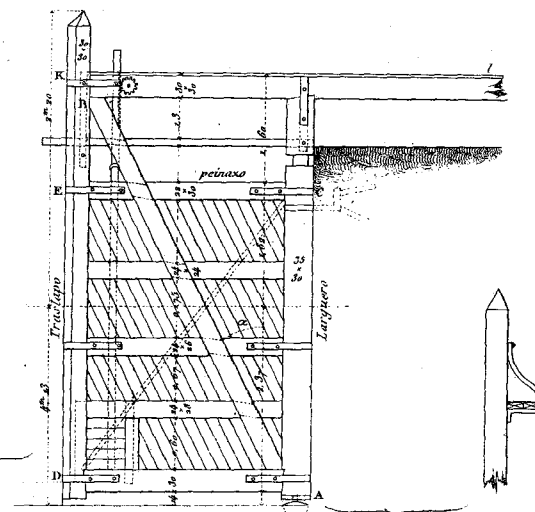
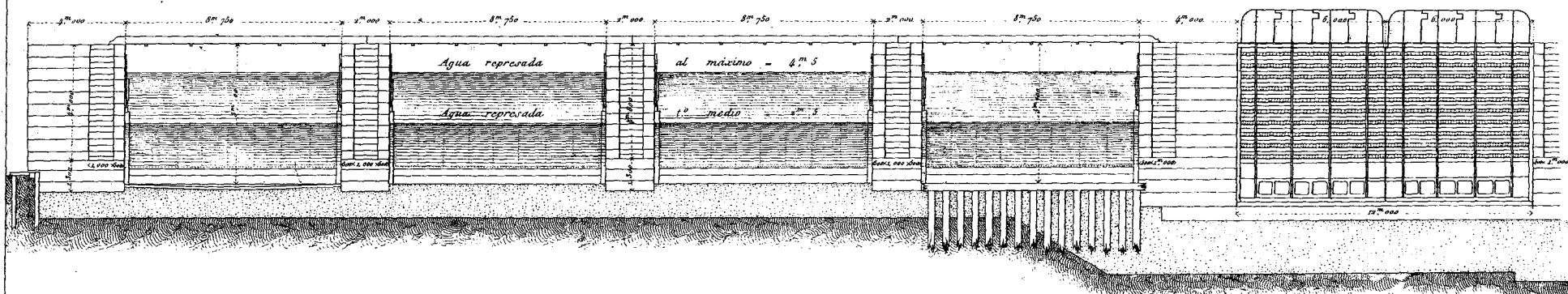


Fig. 912.

Fig. 918.

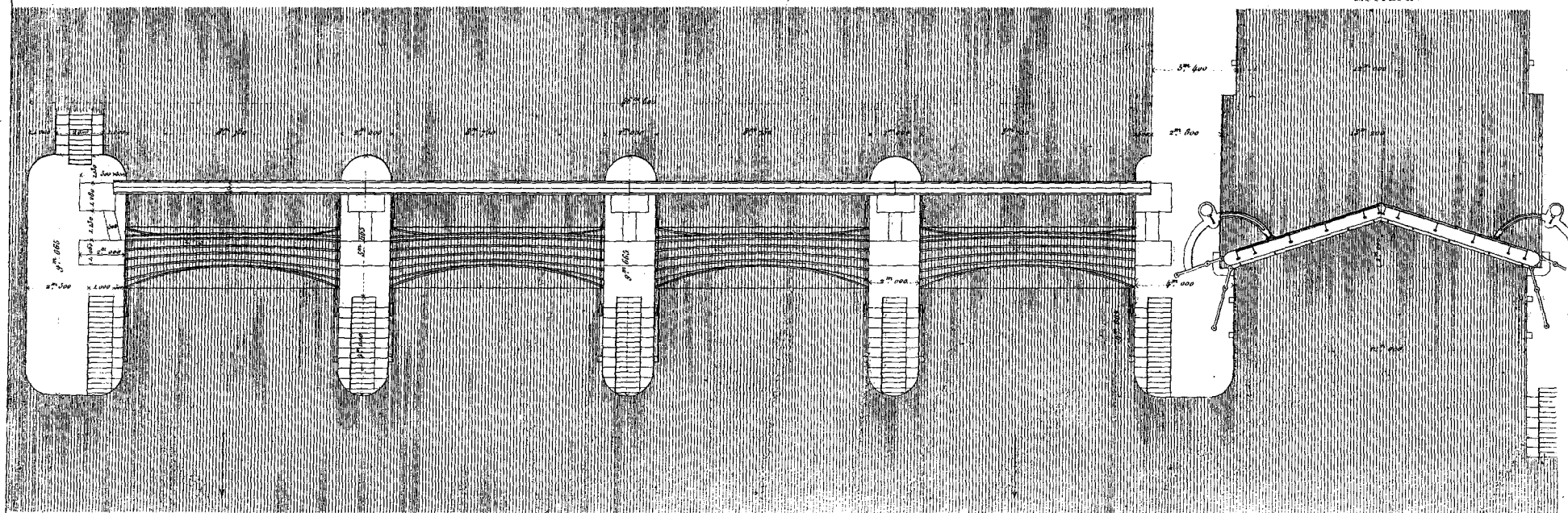


Elevación de la presa y puertas de esclusa

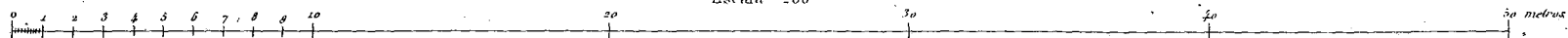


Plano general.

Esclusa.

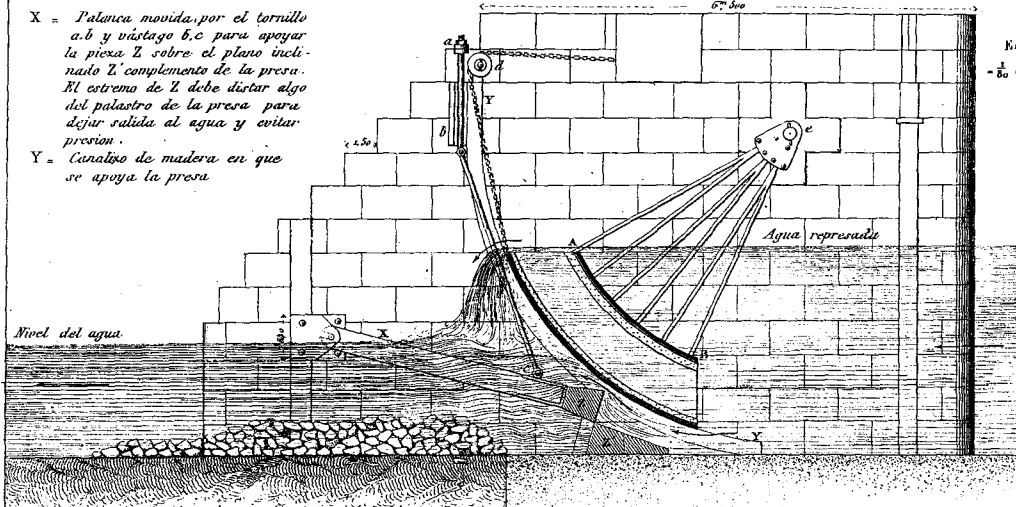


Escala 200

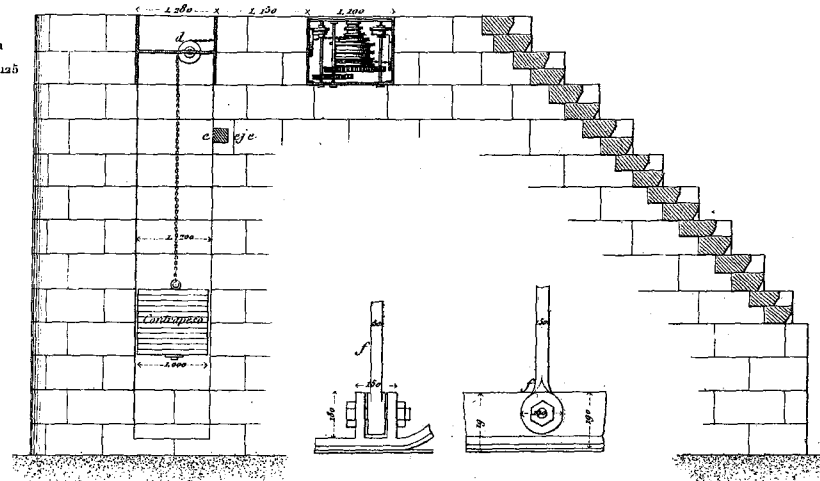


Detalles de un vano de la presa de la Moneda. (Paris.)

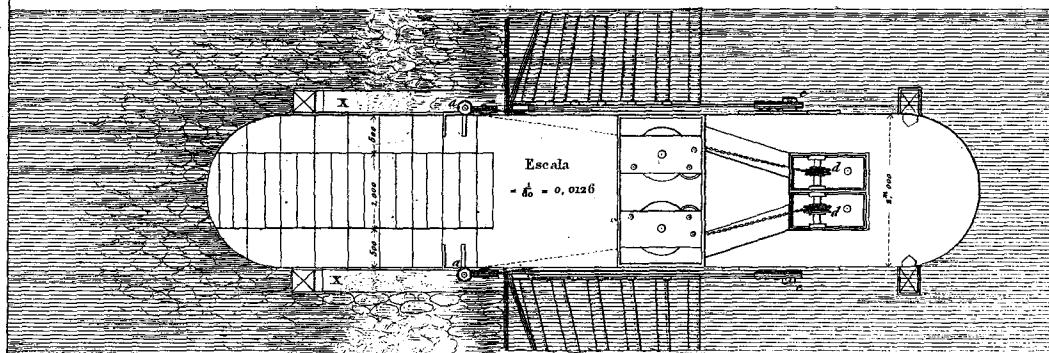
Perfil por medio de un vano



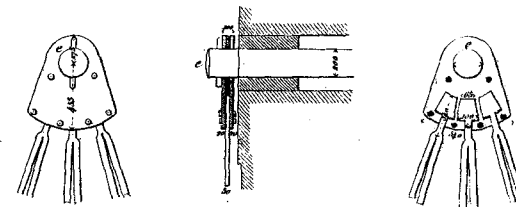
Perfil por medio de un pilar.



Plano de una pila dejando ver el aparato del movimiento



Precio de 4 vanos
de palastro y barras
60.000 fr.
Y de 1.ª de presa
500 fr.



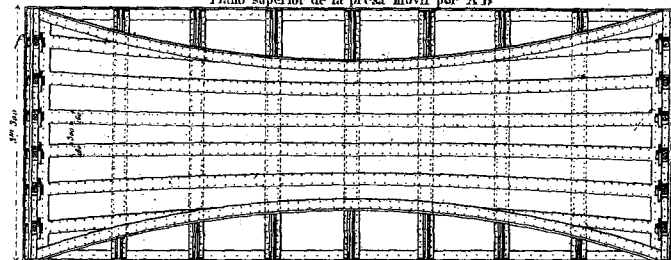
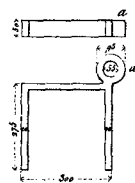
Perfil longitudinal.



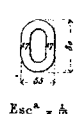
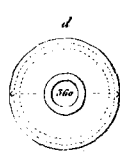
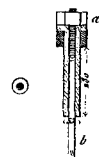
Vista lateral.



Plano superior de la presa móvil por A B

Escala $\frac{1}{80} = 0,0125$ Escala $\frac{1}{80}$ 

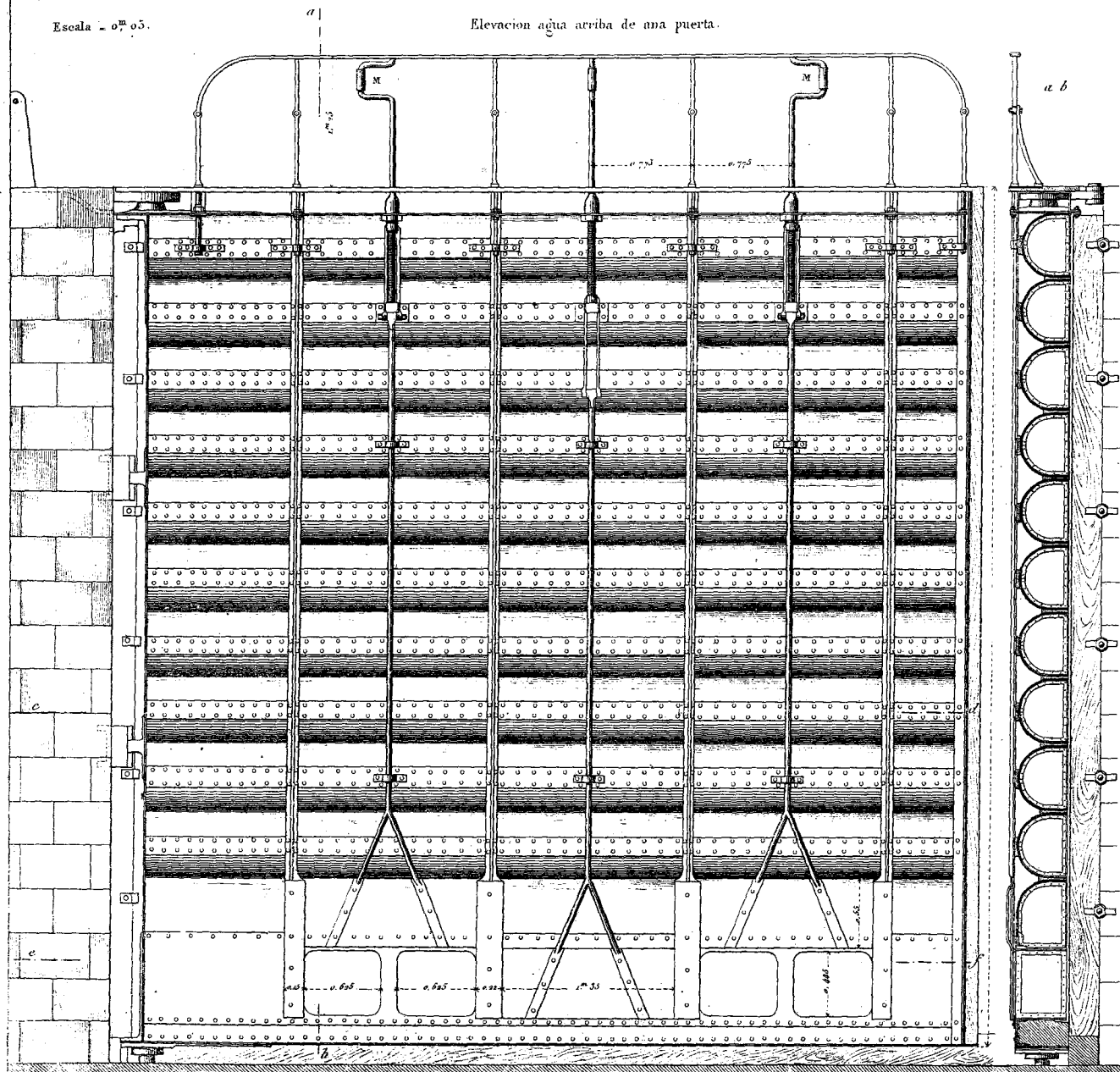
Enlabon

Escala $\frac{1}{80}$ Escala $\frac{1}{80}$ 

Esclusa de la Moneda. (Paris.)

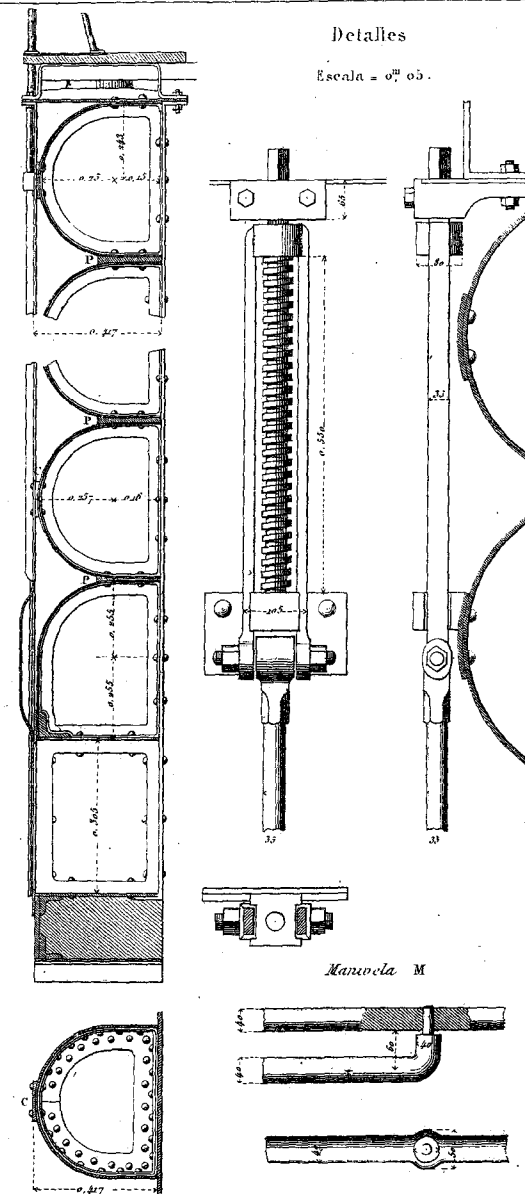
Escala = 0^m 05.

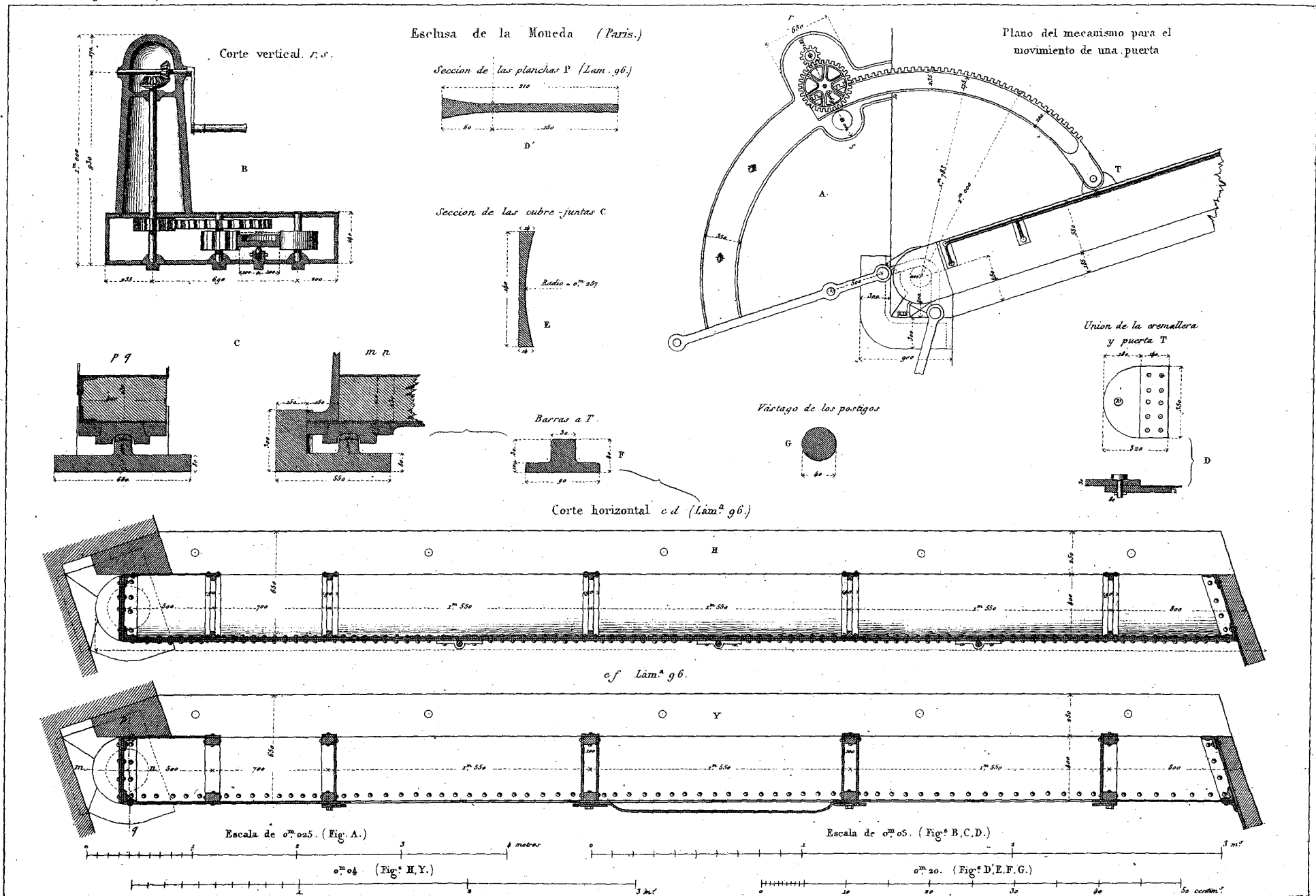
Elevacion agua arriba de una puerta.

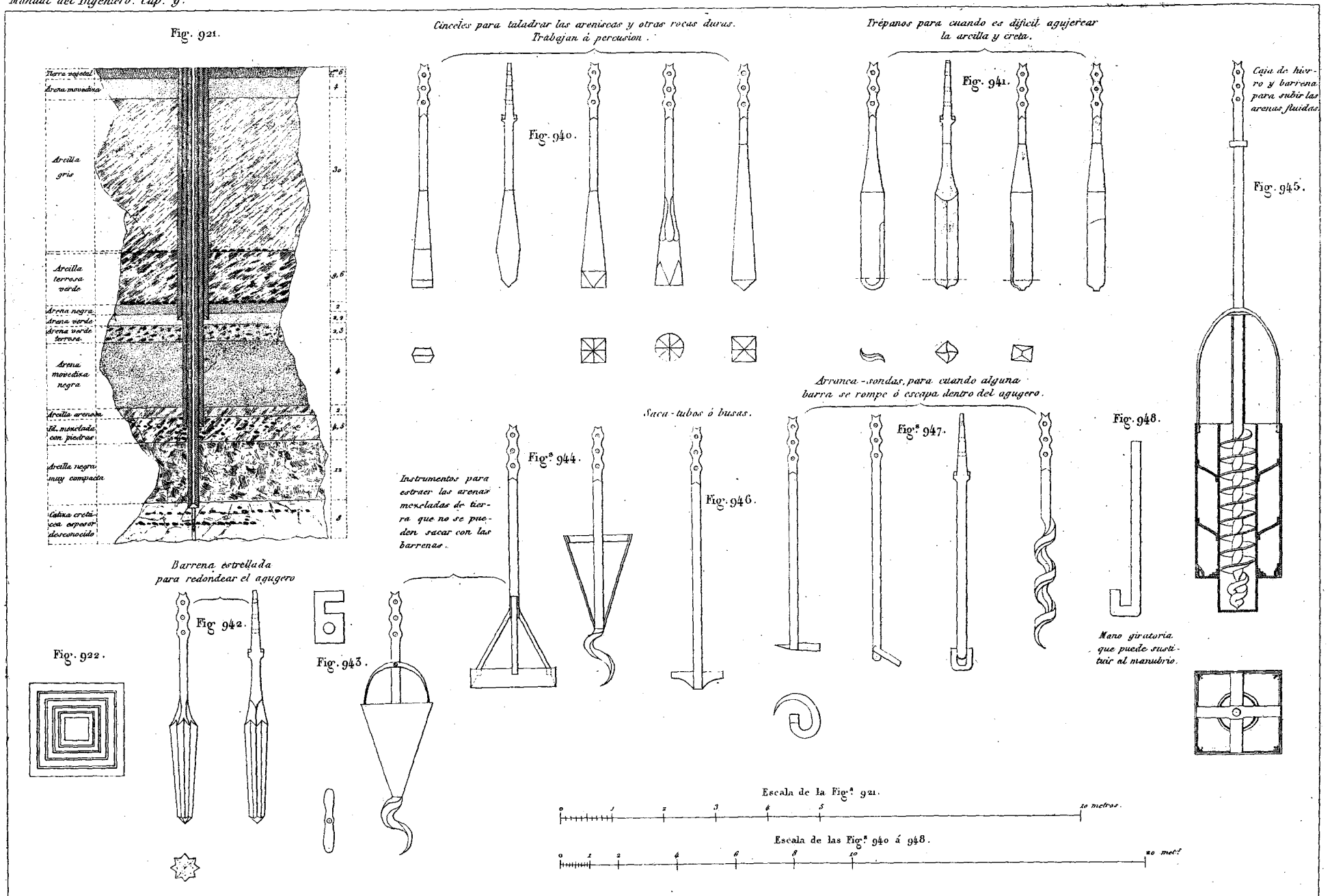


Detalles

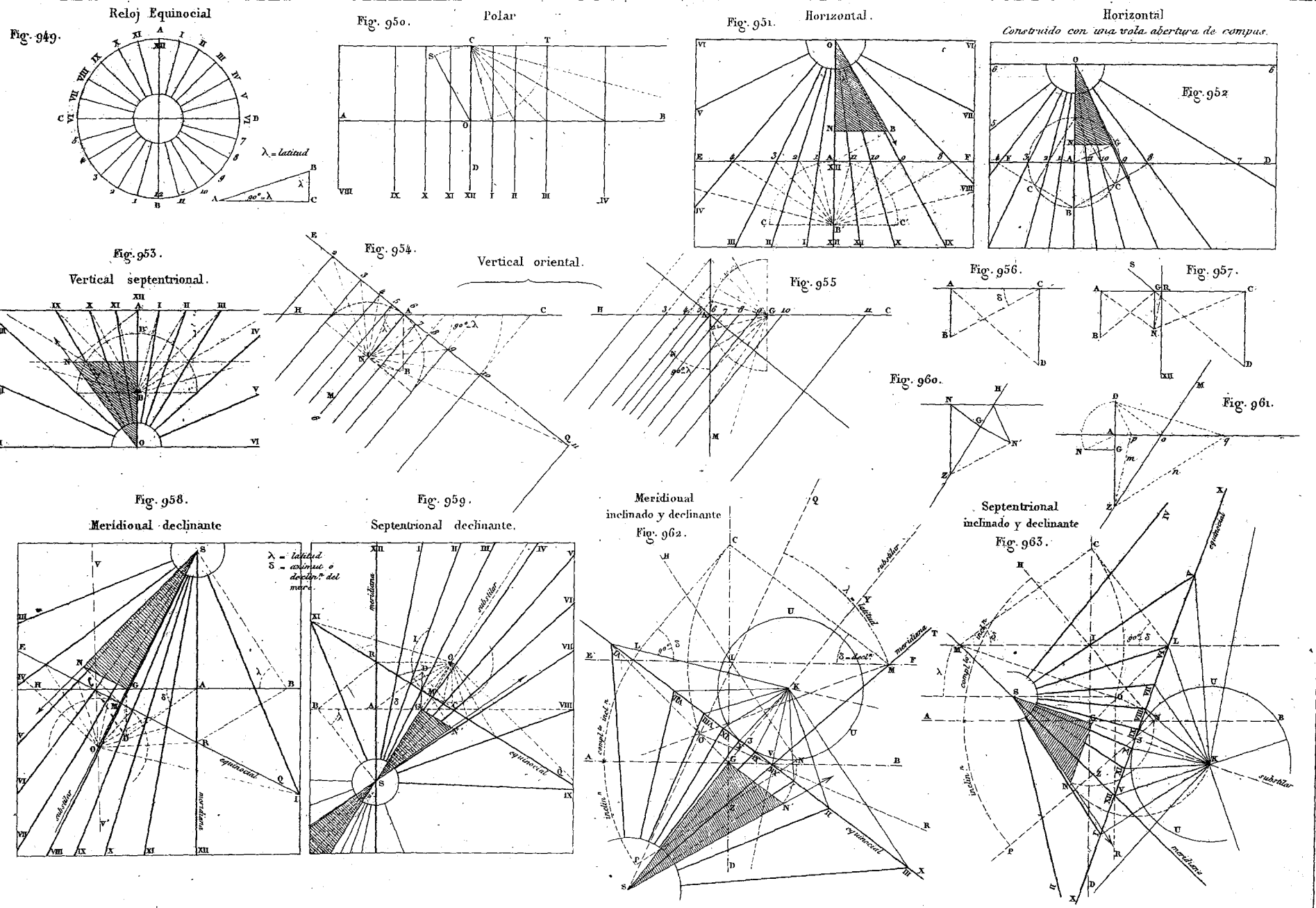
Escala = 0^m 05.

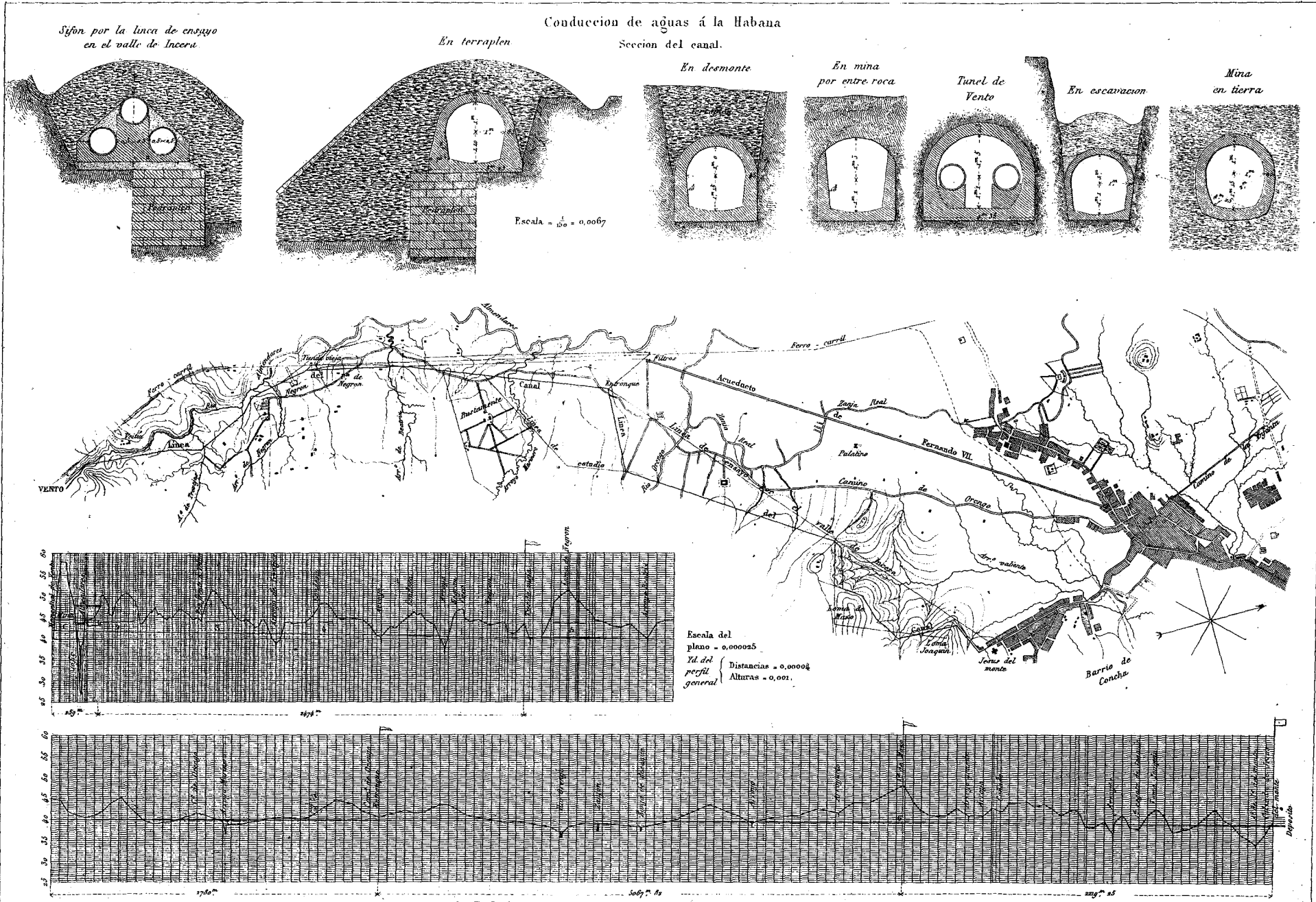


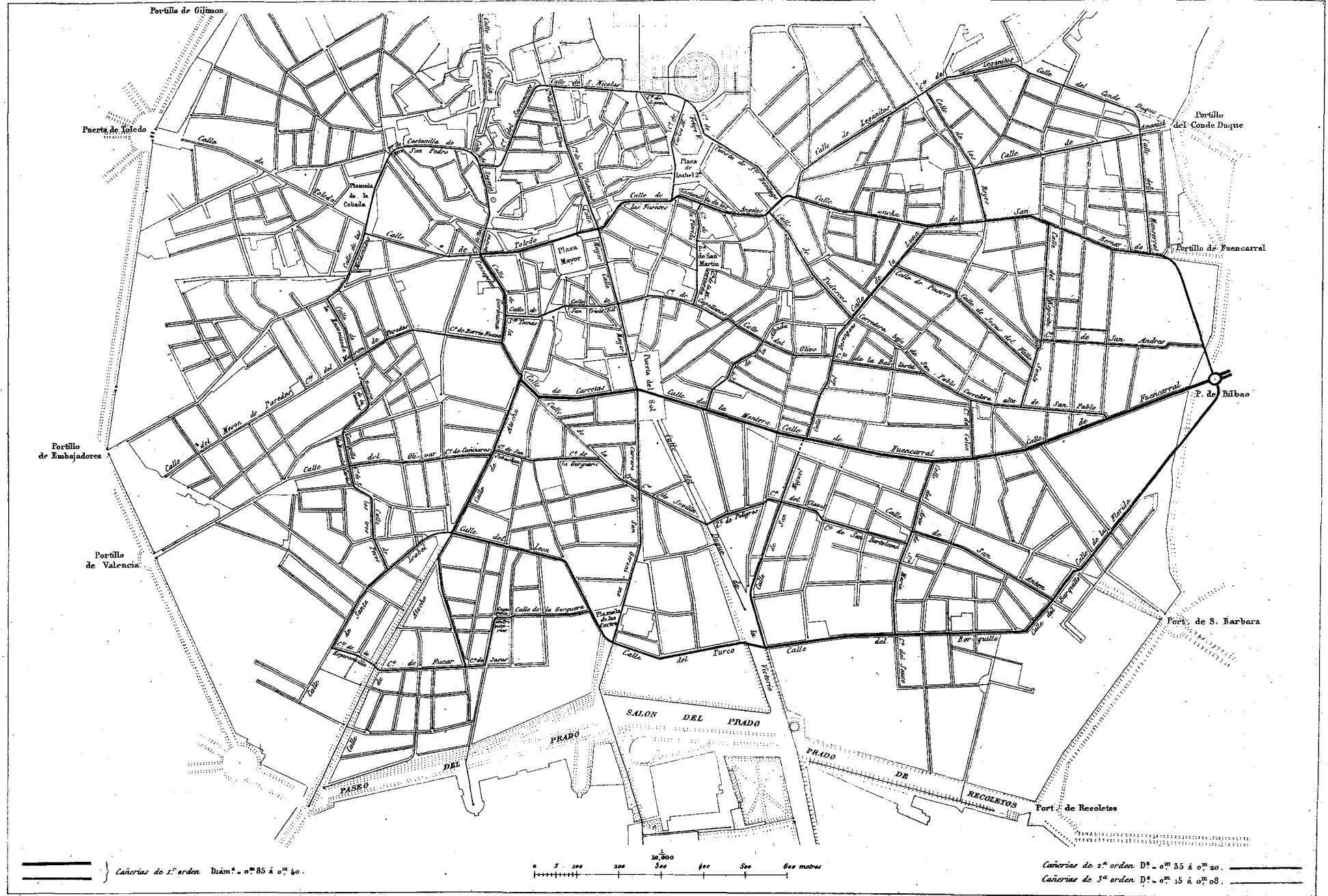












CANAL DE RIEGO DE MADRID.

Manual del Ingeniero y Arquitecto

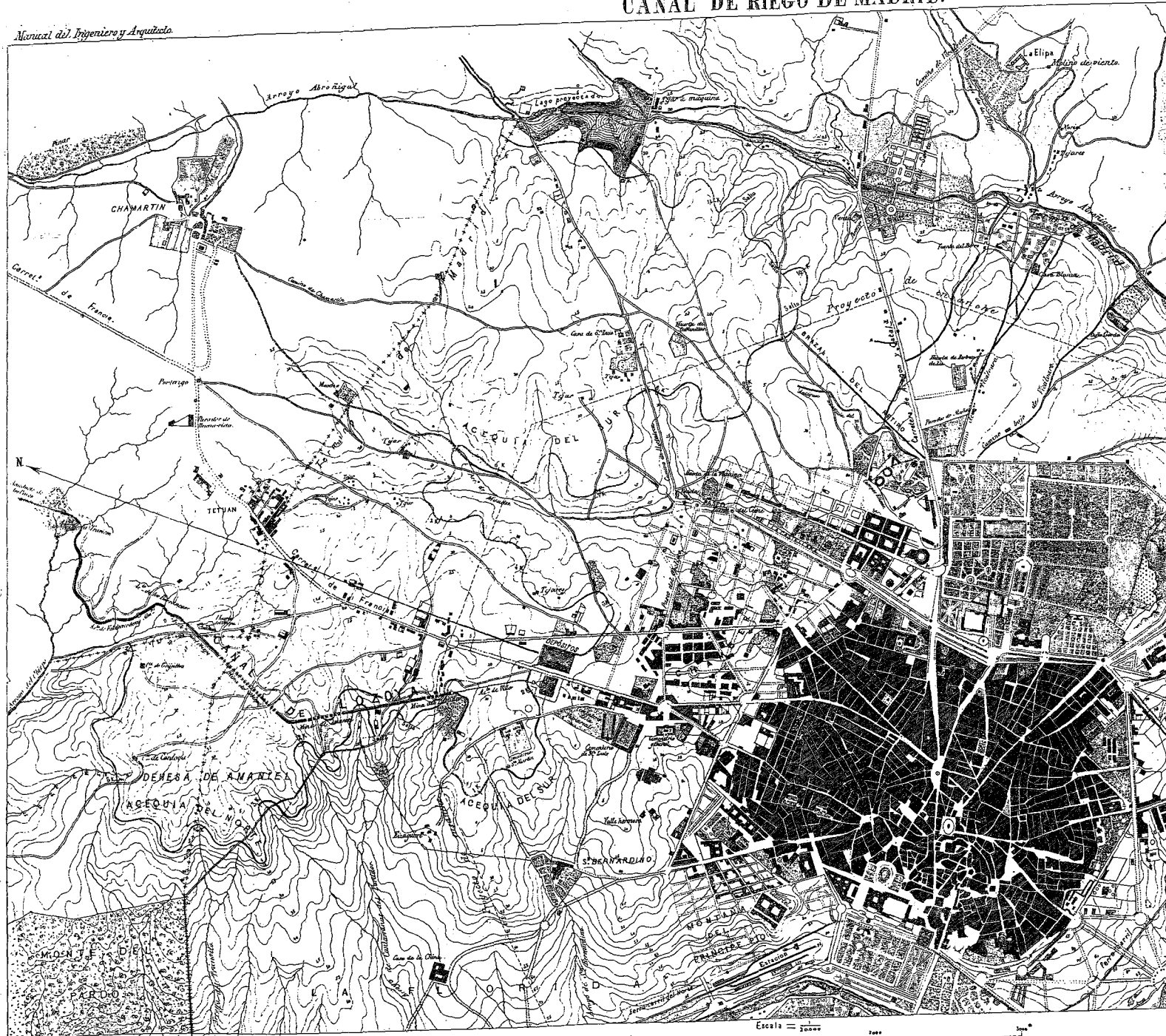
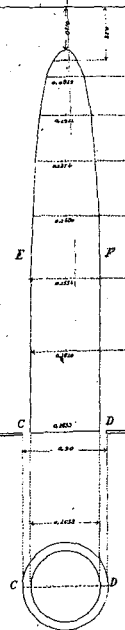
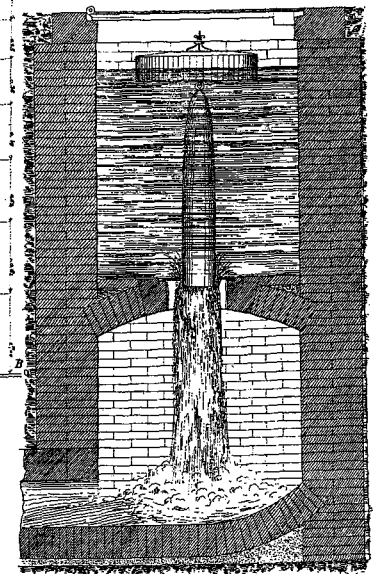
SECCION MAYOR.
Acequia del Sur.SECCION MEDIA.
Acequia del Norte.Escala = $\frac{1}{100}$ SECCION MENOR.
Acequia del Sur.Fig. 1.
Nivel del agua.

Fig. 2.

Seccion A.B.
MÓDULO PARA LA DISTRIBUCION DE
AGUAS DE RIEGO.Escala = $\frac{1}{10}$